

INSTITUTUL POLITEHNIC "TRAIAN VUJA"  
TIMIȘOARA  
FACULTATEA DE CONSTRUCȚII

Ing. Nguyen van Luong

CONTRIBUȚII LA ALCHEMIA LINIEI ROSII OPTICE  
A PROFILULUI LONGITUDINAL AL CĂII FERATE  
FOLOSIND CALCULATORUL ELECTRONIC

— — — — —

TEZA DE DOCTORAT

BIBLIOTECA CENTRALĂ  
UNIVERSITATEA "POLITEHNICA"  
TIMIȘOARA

STUFĂ

P

324039  
282 G

Conducător științific  
cod. prof. dr. D. I. COIU

## **C U P R I N S U L**

|                    |   |             |            |
|--------------------|---|-------------|------------|
| <b>Capitolul 1</b> | <b>Folosirea calculatoarelor electronice la proiectarea căilor ferate și problema de alegere a liniei optime la profilul longitudinal</b> | <b>pag.</b> | <b>1</b>   |
| <b>Capitolul 2</b> | <b>Calculul cheltuielilor de construcții</b>  | <b>pag.</b> | <b>8</b>   |
| <b>Capitolul 3</b> | <b>Calculul cheltuielilor de exploatare</b>   | <b>pag.</b> | <b>23</b>  |
| <b>Capitolul 4</b> | <b>Unele metode de alegerea liniei roșii optime la profilul longitudinal al unei căi ferate</b>   | <b>pag.</b> | <b>52</b>  |
| <b>Anexa</b>       | <b>Programul conceput</b>   | <b>pag.</b> | <b>117</b> |

## C A P I T O L U L    1

### FOLOSIRUA CALCULATORELOR ELECTRONICE SI PROBLEMA DE ALLOCAREA LINIEI ROII OPTIME LA PROFILUL LONGITUDINAL AL CAII FERATE.

#### 1-1 Folosirea calculatorelor electronice la proiectarea căilor ferate.

Apariția calculatorelor electronice a condus la înlocuirea unei unei părți importante a activității omului și în probleme de proiectare. Calculatorul electronic poate rezolva mai rapid și mai economic decât omul toate problemele de proiectare care pot fi programate, respectiv toate problemele care sunt bine definite din punct de vedere procedural și structural.

In ultimii 20 de ani se folosește și calculatorul electronic la diverse calcule de proiectare a căii ferate [42]

In U.R.S.S. se folosesc în mod curent calculatorul electronic pentru alegerea lungimii utile a liniilor de garare, mijloacelor de dotare, mărului de posturi de mișcare, <sup>timbul</sup><sup>ui</sup> graficului de circulație și a schemelor rationale de sporire în etape a capacitatii liniilor. De asemenea se folosesc pe scară largă calculatorul electronic în rezolvarea problemelor de rezistență ale suprastructurii căii.

Din diverse documentații apărute rezultă că se obțin prin acest procedeu parametrii cu o precisiune foarte mare, iar schimbarea variabilelor se realizează modificindu-se datele inițial introduse, obținindu-se totodată foarte multe variante. In proiectarea stațiilor de cale ferată, căile ferate sovietice au fost puse la punct metodele analitice de determinare a elementelor stației, a coordonatelor schimbătoarelor de cale, a virfurilor unghiurilor, metodologia de calcul a volumelor de lucrări de terasamente în stații nou construite, având date curbele de nivel al terenului, etc. In planificarea construcției s-au întocmit programele de repartizarea optimă a volumelor de terasament, de alegerea modului mecanizării lucrărilor de terasament, de alegerea mijloacelor mecanizării lucrărilor de artă, etc.

In privința proiectării unui profil longitudinal, în căile ferate sovietice se folosesc calculatorele electronice și unele metode automatice

moderne. Se mai folosesc calculatoarele electronice la calculul volumelor de stabilitate ale lucrării de terasamente în căi nou construite, la calculele de remblelor din documentația apărută rezultă că a fost pusă la punct o metodă privind calculul secțiunii transversale a ramblelor, plecindu-se de la coeficientul de stabilitate emunțat, în diferite condiții de teren și cu adâncimea de fundare a ramblelor de la 3 la 15 m.

Căile ferate ungare au elaborat și folosesc o metodă pentru proiectarea traseelor de cale ferată pe baza datelor obținute prin fotogrametrie, pe cale aeriană și prelucrate cu ajutorul calculatoarelor electronice.

Căile ferate din R.D. Germană și cele din U.R.S.S. folosesc deosebita calculatoare electronice pentru ridicări topografice.

În România ICI (Institutul de cercetări și proiectări tehnologico în transporturi) și Trustul de construcții căi ferate au întocmit programele importante pentru calculele podurilor, pentru calculele căii ferate și pentru calculele de tracțiune, etc.

În privința proiectării căii ferate există programele următoare:

- calculul devizului la supructura de cale ferată.
- calculul ridicării la niveletă a liniei de cale ferată
- calculul geometrici curbelor de cale ferată la traseele existente în arce de răcordare
- elaborarea proiectelor de suprastructură a căilor ferate [1]

În privința calculelor de tracțiune există programele următoare:

- îndreptarea profilelor reale de cale ferată cu ajutorul calculatoarelor electronice cifrice [7]
- calculul timpilor de mers și al consumului de energie cu ajutorul calculatorului electronic SIME RS 4004/45 (din dotarea ministerului transporturilor și telecomunicațiilor) și cu ajutorul calculatorului electronic de birou "OLIVETTI-PROGRAMMA 101" [32], [33]
- retragerea curbelor de cale ferată
- etc.

După autorul lucrării [42] majoritatea programelor întocmite de ICI și de Trustul de construcții căi ferate sunt aplicate în practică în mod

current, economisind o durată de timp substanțială la preiectare, obținând o calitate superioară a lucrărilor executate pe calculator electronic și făcând astfel posibilă abordarea unor probleme inaccesibile unui calcul manual.

#### 1-2 Caracteristicile problemelor de proiectare a căilor ferate

Procesul proiectării unei căi ferate este o problemă foarte mare și foarte complicată. Înăndă capacitatea calculelor traditionale (cu mână) și a calculatorului electronic este limitată, pentru executarea proiectării unei căi ferate se împarte această problemă în unele părți și anume:

- proiectarea traseelor pe planul de situație
- proiectarea profilelor longitudinale
- proiectarea profilelor transversale
- compararea variantelor de proiectare
- etc.

Aceste părți se leagă foarte strâns între ele. În rezolvarea fiecărei probleme amintite se face simplificarea unor condiții reale. De acasă variantele obținute se apropie doar spre cele optime.

În descrierea programelor pentru rezolvarea acestor probleme la calculatorul electronic, trebuie să se aplique numeroasele norme complicate ale standardelor despre proiectare.

Numărul de informații care se introduce în calculator, în general este foarte mare.

Înainte de a calcula la mașină, proiectantul trebuie să știe bine să pregătească și să folosească informațiile inițiale. În multe cazuri proiectantul trebuie să amplasene zona de proiectare în care se află variantele de proiectare. Aceste lucruri influențează în mod direct la rezultatele obținute și la consumul timpului pe calculator. Pentru a obține rezultate exacte și timpul consumat redus pe calculator, este necesar ca pregătirea și folosirea informațiilor inițiale să fie făcută cu atenție.

În comparația variantelor de proiectare a unei căi ferate se folosesc mulți indicatori economici, de exemplu prețul unui  $m^3$  de umplutură, de săpătură, etc. Formarea acestor indici se face prin stabilirea proceselor tehnologice, a metodelor de lucru, a condițiilor specifice în care se desfășoară lucre-

rea și în limitele variațiilor posibile ale cantităților de lucru. Stabilirea acestor indici trebuie făcută cu atenție pentru a nu influența soluția leasă.

### 1-3 Problema de alegere a liniei roșii optime la profilul longitudinal

#### 1-3-1 Datele fixate pentru construirea problemei

Problema de alegere a liniei roșii optime la profilul longitudinal al căii ferate se construiește pe baza datelor următoare:

- poziția traseului pe planul de situație
- valoarea maximă admisă a declivității liniei
- poziția și tipul punctelor de secționare, lungimea utilă a linilor pentru primirea și expedierea trenurilor
- numărul linilor din stații sau din halte de mișcare
- poziția, tipul și deschiderea lucrărilor de artă (podurile, tunelurile, podetelor, etc.).

#### 1-3-2 Construirea problemei

Căutarea liniei de proiectare optime este simplificată în felul următor:

Configurația terenului de a lungul traseului sau linia neagră a profilului longitudinal se exprimă în forma funcției  $Z = \psi(x)$

Soluția problemei sau linia roșie a profilului longitudinal se cauță în forma funcției  $\bar{Z} = \bar{\psi}(x)$ , [fig. 1-1]

Căutarea poziției optime a liniei de proiectare constă în minimizarea funcției-obiectiv

$$K = K(x, Z, \bar{Z}) \quad (1-1)$$

care exprimă suma simplificatoare a cheltuielilor de investiții și a cheltuielilor de exploatare și satisfac condițiile următoare:

1.- valoarea declivității liniei inclusiv rezistența dată de curbă este mai mică sau cel mult egală cu valoarea maximă admisă ( $i_{adm}$ ) a declivității la proiectarea profilului longitudinal, adică

$$|i_i + z_{c_i}| \leq i_{adm} \quad \text{sau} \quad \left| \frac{\bar{Z}_i - \bar{Z}_{i-1}}{l_i} \right| + z_{c_i} \leq i_{adm} \quad (1-2-a)$$

unde  $i_i$  - valoarea declivității reale a liniei, în %

$z_{c_i}$  - rezistența la mers dată de curbei, în %,

$l_i$  - lungimea elementului de profil, în Km

$\bar{z}_i$  - cota liniei roșii, în m.

2.- diferența dintre valorile declivităților elementelor alăturate în profilul longitudinal este mai mică sau cel mult egală cu diferența admisă  $\Delta i_{adm}$  la proiectare, adică

$$|i_{i+1} - i_i| \leq \Delta i_{adm} \quad \text{ sau } \left| \frac{i_{i+1} - \bar{z}_i}{l_{i+1}} - \frac{\bar{z}_i - \bar{z}_{i-1}}{l_i} \right| \leq \Delta i_{adm} \quad (1-2-b)$$

3.- lungimea elementului de profil este mai mare sau cel puțin egal cu lungimea admisă ( $l_{adm}$ ) la proiectare, adică

$$l \geq l_{adm} \quad (1-2-c)$$

4.- nivelul platformei căii sau nivelul liniei de proiectare este mai mare (mult) sau cel puțin egal cu nivelul necesar al punctelor particulare adică

$$\bar{z}_j z^* \quad \text{sau} \quad \bar{z}_s z^* \quad (1-2-d)$$

5.- punctele schimbătoarelor de declivitate pe profilul longitudinal nu sunt amplasate pe poduri fără balast sau pe curbe de răcire.

(1-2-e)

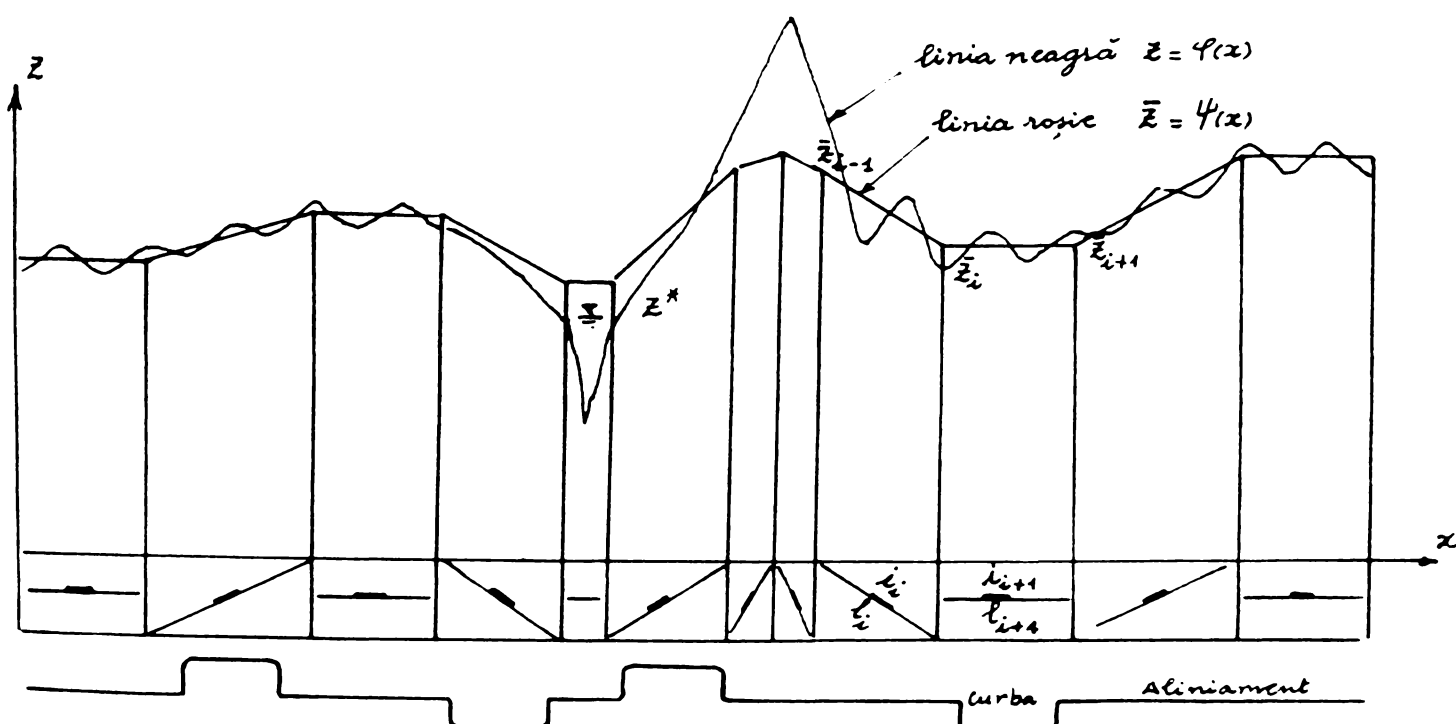


fig. 1-1 Prezentarea problemei

### 1-3-3. Definirea funcției obiectiv

In procesul de proiectare a unui profil longitudinal de cale ferată de cale mai multe ori pot fi date mai multe soluții tehnice respectând condițiile și cerințelor stabilite în termen de proiectare, dar în același

temp descompunându-se prin: volumul de lucrări, timpul de execuție, cheltuielile de construcție, cheltuielile de exploatare, etc. Fiecare soluție determină o anumită variantă de proiect. Variantele trebuie să satisfacă tema de proiectare și să fie comparate între ele în vederea găsirii variantei optime.

Pentru a putea calcula eficacitatea economică a variantelor este necesar să se stabilească în prealabil pentru fiecare variantă, valoarea cheltuielilor de construcție sau de investiție și valoarea cheltuielilor de exploatare ( $I_1$  și  $I_2$ )

Metoda cea mai des folosită la calculul eficienței economice a variantelor cu o singură etapă de investiție este metoda cheltuielilor anuale de investiție și de exploatare minime, [14], [49]

Această metodă constă în determinarea cheltuielilor anuale ca sumă a cheltuielilor de exploatare și a cheltuielilor de investiție separate pentru fiecare variantă. Se consideră variante cu eficacitatea economică maximă aceea pentru care se obține un minim pentru cheltuielile anuale.

Se notează cu

$I_1$ ,  $I_2$  - cheltuielile de investiții pentru varianta 1 și respectiv pentru varianta 2

$L_1$ ,  $L_2$  - cheltuielile de exploatare pentru varianta 1 și respectiv pentru varianta 2

atunci

$I_1 - I_2$  - surplusul cheltuielilor de investiții necesar pentru a se executa varianta cu cheltuielile de investiție mai mici (varianta 1)

$E_2 - E_1$  - economia realizată anual la cheltuielile de exploatare

Se notează cu  $t_n$  termenul de recuperare născut a investițiilor suplimentare.

În comparația celor 2 variante de proiectare dacă avem

$$\frac{I_1 - I_2}{E_2 - E_1} < t_n$$

rezultă  $\frac{I_1}{t_n} \rightarrow L_1 < \frac{I_2}{t_n} \rightarrow L_2$

rezultă că varianta mai scumpă este mai avantajoasă sub aspect economic.

Dacă se compară mai multe variante ca și în căutarea liniei roșii optime la cale ferată, varianta mai avantajoană sub aspect economic folosind metoda cheltuielilor anuale, va fi aceea care necesită cele mai mici cheltuieli anuale, adică  $\frac{I}{t_n} + E = \text{minim}$ .

In comparația variantelor de proiectare a căii ferate se ia  $t_n = 10$  ani. Dacă cheltuielile anuale totale se notează cu  $K$ , atunci se poate scrie

$$K = 0,1 I + E \quad (1-1-a)$$

și acestă relație este chiar funcția-obiectiv (1-1).

## C A P I T O L U L 2

### CALCULUL CHELTUIELILOR DE CONSTRUCȚIE

În comparația variantelor de proiectare ale unei căi ferate trebuie să se stabilească cheltuielile de construcție. În comparația cheltuielilor de construcție intră

- cheltuielile pentru terasamente
- cheltuielile lucrărilor de artă
- cheltuielile suprastructurii căii
- cheltuielile privind procurarea locomotivei și a vagoanelor,
- alte cheltuieli care depind de lungimea căii, de exemplu: cheltuielile privind procurarea și montarea instalațiilor de semnalizare și ale instalațiilor de comunicație; cheltuielile de construcție ale rețelei electrice și ale substațiilor de tracțiune, etc
- cheltuielile de construcție a stațiilor.

Pentru problema de alegerea liniei regii optime la profilul longitudinal ne interesează numai primele două cheltuieli - cheltuielile pentru terasamente și cheltuielile lucrărilor de artă. Nu se iau în considerare celelalte cheltuieli pentru că ele nu variază pentru toate variantele la proiectarea profilului longitudinal.

#### 2-1 Cheltuielile pentru terasament

Costul terasamentelor pentru construcția unei căi ferate noi în relieful usual ocupă 18-20 iar în relieful accidentat ocupă 25-30 din totalul cheltuielilor de construcție, [18]. Costul terasamentelor în linia curentă și în linile de primire și expediere se calculează cu ajutorul formulei arătoare:

$$V = \sum V_1 F_1 \quad (2-1)$$

unde:

$V_1$  - volumul de terasamente pe elementul de profil (sau pe tronsonul) de ordinul 1, în  $m^3$

$F_1$  - prețul unui  $m^3$  de terasament pe elementul de profil sau terasament

de ordinul 1, în unități bănești.

### 2-1-1 Metodele stabilirii volumului de terasament

Pentru a determina volumul de terasament la calculatorul electronic se pot împărți metodele de calcul în trei grupe:

1.- În grupa întâia sunt metodele complicate și exacte dar trebuie multe informații inițiale, de exemplu: programul elaborat de Institutul central de studiu științific pentru construcție al U.R.S.S. [40]

În aceste metode pentru a calcula suprafața profilului transversal se iau în considerare toate caracteristicile reliefului, toți parametrii posibili ale terasamentului ca de exemplu: lățimea platformei căii în eliniamente și în curbe, variația înclinării taluzului pe fiecare profil și pe fiecare tronson, înindu-se seama de caracteristicile geologice. Aceste metode cer prea mult timp la calculator, de aceea nu sunt potrivite cu problema de alegere a liniei roșii optime.

2.- În grupa a doua intră metodele care cer un număr relativ mic de informații inițiale, dar ele nu asigură precizia ridicată și nu pot da posibilitate de aplicare în toate cazurile reale. Se folosesc aceste metode pentru a alege linia roșie preliminar înainte de alegerea definitivă a ei pentru că se reduce timpul de calcul la calculator. Metoda elaborată de Havkin K. A. și Jagovki și A. N. [15] este în acestă grupă. Autorul acestei metode a calculat volumul terasamentului după formula:

$$V = S_o L \quad (2-2)$$

unde:

V - volumul terasamentului pe tronsonul de drum, în  $m^3$

L - distanța dintre 2 piochetti, în m

$S_o$  - suprafața medie a profilului transversal al tronsonului de cale ferată dintre 2 piochetti. Ea se calculează după înălțimea medie de umpluturi sau după adâncimea medie, de săptătură:

$$S_o = \frac{H_1 + H_2}{2}$$

$H_1$ ,  $H_2$  - înălțimea de umpluturi sau adâncimea de săptătură în profilul transversal la extremitățile tronsonului. Se calculează după formula următoare:

$$H_i = H_{pr} - H_t \quad (i = 1, 2)$$

$H_{pr}$  - nivelul platformei căii de proiectare

$H_t$  - nivelul terenului în axa profilului transversal

Potinole cu ajutorul cărora se stabilește suprafața profilului transversal sunt formate după felul de terasamente, în săptură sau în umplutură. Parametri și constantele care se introduc în formule sunt potrivite cu felurile de terasament.

**2-a Pentru felurile de terasamente prezentate în fig. 2-1-a, 2-1-b**

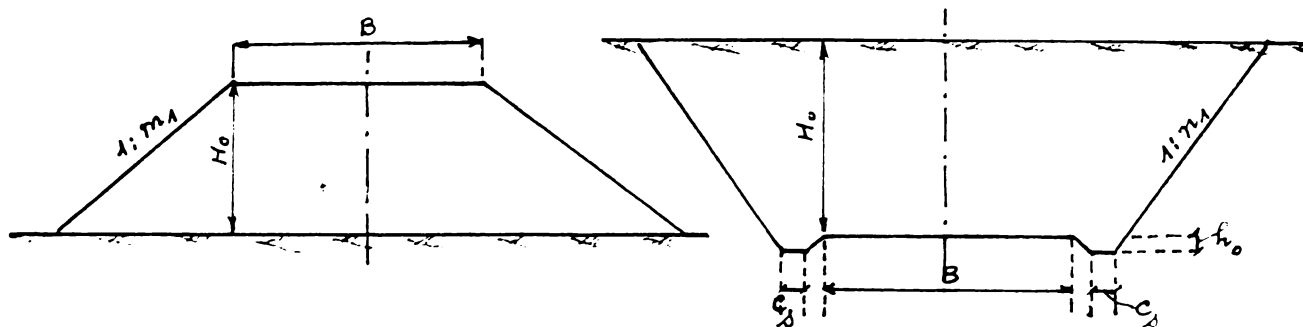


fig. 2-1-a

fig. 2-1-b

$$S_0 = \bar{B} + \frac{n_1}{n_1} H_0^2 + \frac{n_1(H_1 - H_2)^2}{12} \quad (2-3-a)$$

$$\bar{B} = \begin{cases} B & \text{pentru terasament în umplutură} \\ B + 2 [c_s + h_0(n_1 + n)] & \text{pentru terasament în săptură} \end{cases}$$

în care:

$c_s$  - lățimea șanțului

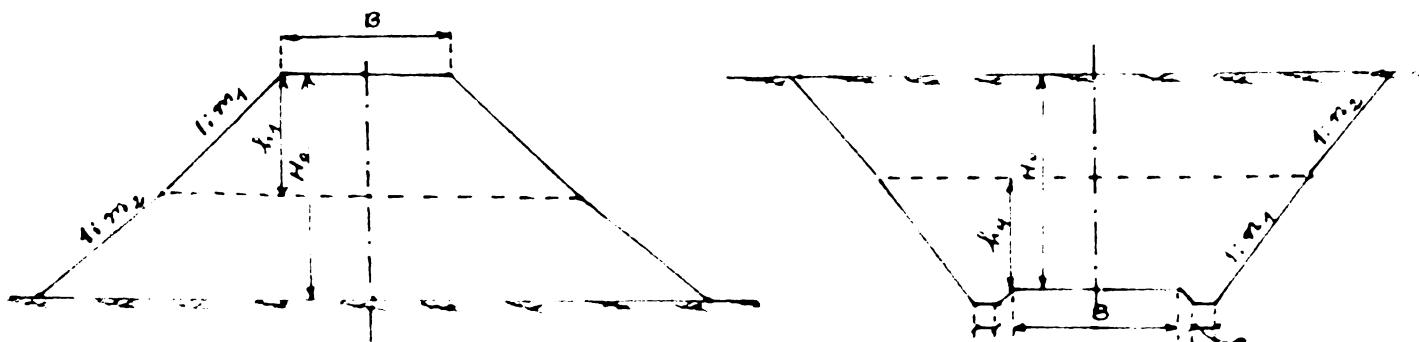
$h_0$  - adâncimea șanțului

$n$  - inclinarea talusului șanțului

$$\frac{1}{n_1} = \begin{cases} \frac{1}{n_1} & \text{- inclinarea talusului în umplutură} \\ \frac{1}{n_1} & \text{- inclinarea talusului în săptură} \end{cases}$$

$$\frac{n_1(H_1 - H_2)^2}{12} \quad \text{- e valoare de corecție}$$

**2b Pentru felurile de terasament prezentate în fig. 2-1-c și fig. 2-1-d**



$$S_0 = \bar{m}_0 + \bar{m}_1 h_1 (2H_0 - \bar{h}_1) + \bar{m}_2 (\bar{h}_0 - h_1)^2 + \bar{m}_3 \frac{(\bar{h}_1 - \bar{h}_2)^2}{12} \quad (2-3-b)$$

$\bar{m}_2 = \begin{cases} \bar{m}_2 & - \text{pentru terasament în umplutură} \\ \bar{m}_2 & - \text{pentru terasament în săptură} \end{cases}$

$\bar{h}_1 = \begin{cases} h_1 & - \text{pentru terasament în umplutură} \\ h_4 & - \text{pentru terasament în săptură} \end{cases}$

2-c Pentru felurile de terasament prezentate în fig. 2-1-e și fig. 2-1-f

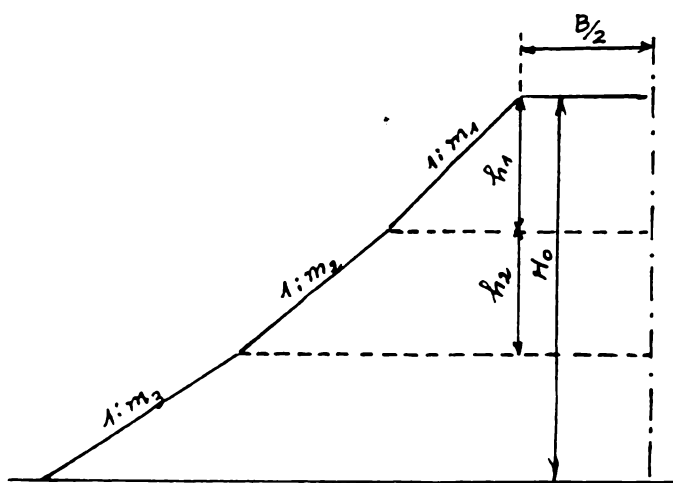


fig. 2-1-e

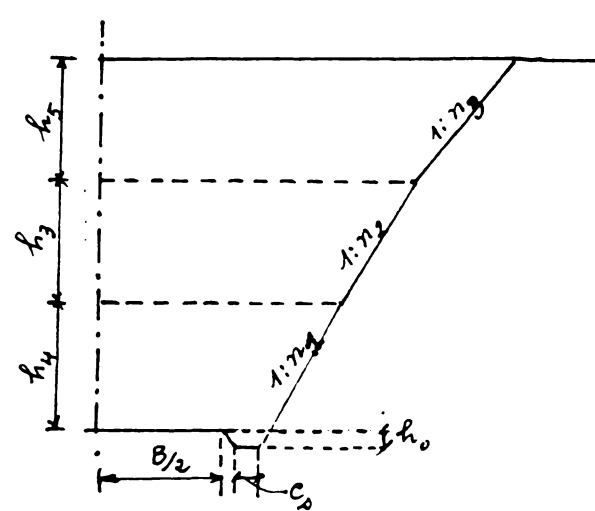


fig. 2-1-f

$$S_0 = \bar{m}_0 + \bar{m}_1 \bar{h}_1 (2H_0 - \bar{h}_1) + \bar{m}_2 \bar{h}_2 (\bar{h}_2 + \bar{h}_3) + \bar{m}_3 \bar{h}_3^2 + \bar{m}_4 \frac{(\bar{h}_1 - \bar{h}_2)^2}{12} \quad (2-3-c)$$

$$h_3 = H_0 - (\bar{h}_1 + \bar{h}_2)$$

$\bar{h}_2 = \begin{cases} \bar{h}_2 & - \text{pentru terasamente în umplutură} \\ \bar{h}_5 & - \text{pentru terasamente în săptură} \end{cases}$

$\bar{m}_3 = \begin{cases} \bar{m}_3 & - \text{pentru terasamente în umplutură} \\ \bar{m}_3 & - \text{pentru terasamente în săptură} \end{cases}$

$$\bar{m}_4 \frac{(\bar{h}_1 - \bar{h}_2)^2}{12} \text{ e valoare de corecție}$$

3.- În grupa a treia intră metodele care nu cer prea multe informații inițiale, dar dă precizie suficientă de exactitate și au o sferă de aplicare largă [18], [19]

Metoda prezentată în [19] cuprinde 2 programe: unul pentru tronsonul cu profilele transversale tip de ramblou și de dobleu și altul pentru tronconal cu

profilele speciale. În această lucrare se consideră că în condițiile favorabile geotehnice hidrologice se folosește profilul tip de umplutură cu înălțimea pînă 12 m. [fig. 2-3-a] profilul tip de săpătură cu adâncimea arbitrară, [fig. 2-3-b] în condițiile particulare excepționale se folosesc profilele speciale. Experiența de proiectare arată că profilele transversale tip, în general, cuprind 70 - 80%, resturile se caracterizează prin folosirea contrabanchetelor prin punerea taluzului cu înclinare mică sau prin folosirea zidurilor de sprijin

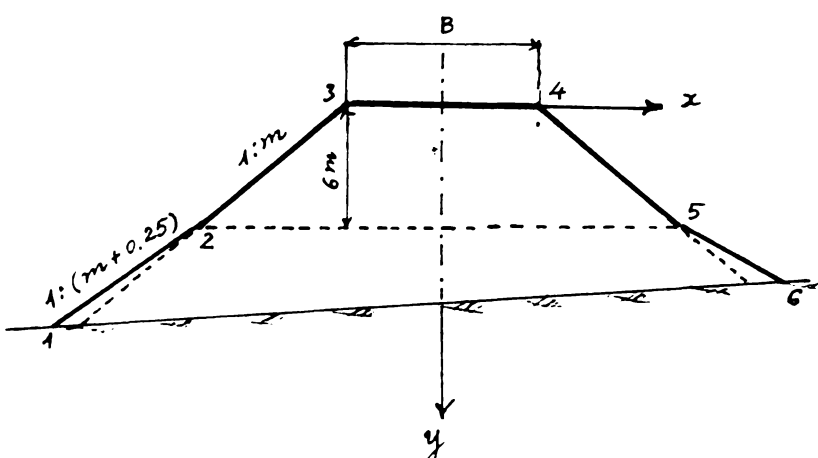


fig. 2-3.a

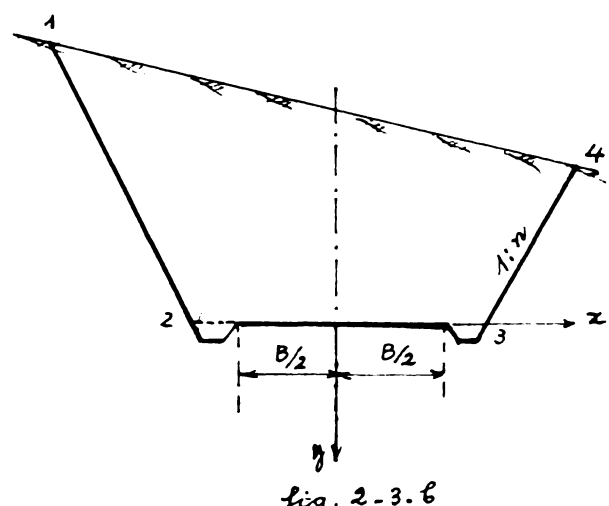


fig. 2-3.b

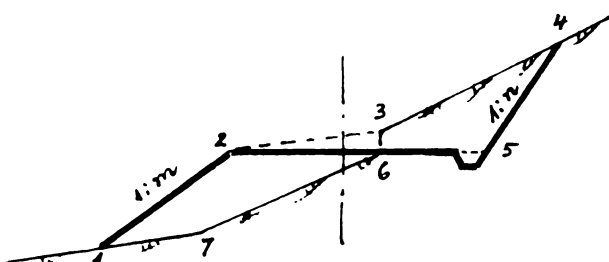


fig. 2-3.c

Pentru a calcula suprafața profilului transversal tip, în primul rînd, se stabilesc coordonatele punctelor 3 și 4 pentru umplutură (fig. 2-3-a) sau coordonatele punctelor 1, 4 pentru săpătură (fig. 2-3-b) și înîndu-se seama de supralărgimea a platformei căii în curbă. Relația dintre supralărgirea  $\Delta$  a platformei căii și raza curbei  $R$  este construită cu ajutorul metodei celor mai mici patrate și are forma următoare:

$$\Delta = 0,672 - 3,009 \cdot 10^{-4}R + 3,911 \cdot 10^{-6}R^2 \quad (2-4)$$

în care  $\Delta$  și  $R$  se calculează în m.

Coordonatele rămase se determină după formulele cunoscute din cursul de geometrie analitică. Aceste calcule depind de forma taluzului al pre-

profilui transversal fig. 2-3-a

Suprafața profilului transversal se calculează după formula următoare:

$$S = \frac{1}{2} \sum_{i=1}^n (x_i - x_{i+1}) (y_i + y_{i+1}) \quad (2-5)$$

unde  $n$  este numărul virfurilor conturului.

Se aplică formula (2-5) numai în cazul în care conturul nu se întâlnesc. Dacă în profil transversal conturul se întâlnește atunci să se facă o variație artificială în punctul de încrucișare punindu-se o mică deplasare arbitrară ca și ceea cea prezentată în fig. 2-3-c, pentru punctul 3.

Pentru calculul volumului de terasament se folosesc te formula lui V. A. Skiriabin [4], [19]

$$V = \frac{L}{3} \left[ \left( 1 + \frac{G_2}{2G_1} \right) S_1 + \left( 1 + \frac{G_1}{2G_2} \right) S_2 \right]$$

în care:

$L$  - distanța dintre 2 profile transversale alăturate, în m

$G_1$ ,  $G_2$  - mărimea amprizei profilului transversal 1 și respectiv 2

$S_1$ ,  $S_2$  - suprafața profilului transversal 1 și respectiv 2

Metoda stabilirii volumului de terasament prezentată în lucrare [10] este mai simplă și nu cere nici mult timp la calculator, decit cea prezentată mai sus. În cele ce urmează se va trata această metodă în detaliu.

#### 2-1-2 Metodă reprezentării liniare ale formei reliefului în profil transversal.

În prezent pentru calculul suprafeței profilelor transversale există 3 metode de reprezentare a liniei terenului:

- În metoda întâia se reprezintă configurația terenului ca și în metoda clasică prin unele fragmente de dreapta. Această reprezentare a liniei terenului pentru determinarea suprafeței la calculatorul electronic dă rezultate exacte, dar cere multe informații initiale și deci se necesită un consum de timp mult mai ridicat.

- Metoda a doua se construiește pe baza unei ipoteze fundamentale considerind că este posibilă, a defini corectă a liniei terenului prin intermediul unei curbe geometrice cunoscând poziția în plan (adică în profil transversal)

a unui număr suficient de puncte pentru ca în limitele unei aproximări acceptabile să se admită că terenul se confundă cu ansamblul liniilor definite de aceste puncte.

- În metoda a treia se consideră că linia terenului să fie înlocuită printr-o dreaptă. În lucrarea de față se folosește metoda reprezentării liniare ale formei reliefului în profil transversal, elaborată de S. Dorobanțin [10]. Cu ajutorul acestei metode, stabilirea suprafeței profilelor transversale la calculator nu cere multe informații inițiale, dar rezultatele obținute sunt suficient de exacte.

Se definește linia înlocuitoare în cele următoare:

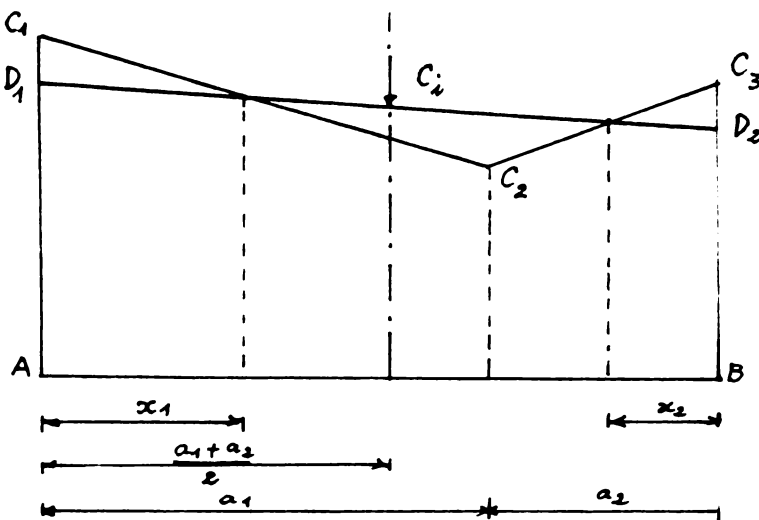


fig. 2-4

În profilul transversal fig. 2-4 linia  $C_1 C_2 C_3$  prezintă linia terenului. Linia înlocuitoare este o dreaptă așezată pe profil astfel ca suprafața poligonului  $A C_1 C_2 C_3 B$  să fie egală cu suprafața poligonului  $A D_1 D_2 B$ .

$$\begin{aligned} S_{A C_1 C_2 C_3 B} &= \frac{C_1 + C_3}{2} a_1 + \frac{C_2 + C_3}{2} a_2 \\ &= C_1 \frac{a_1}{2} + C_2 \frac{a_1 + a_2}{2} + C_3 \frac{a_2}{2} \end{aligned} \quad (2-8-a)$$

$$S_{A D_1 D_2 B} = C_1 (a_1 + a_2) \quad (2-8-b)$$

Egalând expresia 2-8-a cu 2-8-b se obține

$$C_1 = \frac{S_{A C_1 C_2 C_3 B}}{a_1 + a_2} \quad (2-9-a)$$

Sau pentru cazul general:

$$c_1 = \frac{s_{\text{bez}}}{\sum a_i} \quad (2-9-b)$$

adică cota înlocuitoare se determină din raportul dintre suprafața poligonului real și  $c_1 c_2 c_3 \dots$  și lățimea profilului.

Condiția care se determină din raportul dintre suma algebrică a diferențelor de cote ale terenului real și lățimea profilului exprimă panta medie. Dacă se atribuie convențional semnul minus diferențelor de cote, aceasta exprimă o descreștere a cotelor și semnul plus diferențelor de cote indică o creștere a cotelor, se obține

$$p_1 = \frac{-(c_1 - c_2) + (c_3 - c_2)}{a_1 + a_2} = \frac{c_3 - c_1}{a_1 + a_2} \quad (2-10-a)$$

sau pentru cazul general

$$p_1 = \frac{c_n - c_1}{\sum a_i} \quad (2-10-b)$$

În calculul suprafeței profilelor transversale cu ajutorul acestei metode se observă că există 2 surse de erori:

- Cind diferența dintre amprință reală a secțiunii căii și lățimea profilului sunt mai accentuate atunci crearea de suprafață este cu atât mai mare. Pentru a măgura crearea provenită din această mărsă, este necesar ca lățimile profilului transversal să fie analizate și atenuate cu atenție în funcție de cotele posibile ale liniei roșii în fiecare pîchet al căii.

- Cea de a doua sură de erori este proprie a metodei. Oricără de mare ar fi precizia cu care se determină lățimea secțiunii transversale de teren a cărui formă urmează să fie înlocuită cu dreapta, apar unele diferențe de suprafață negurăte ca în fig. 2-5 cind se aplică profilul tip al căii

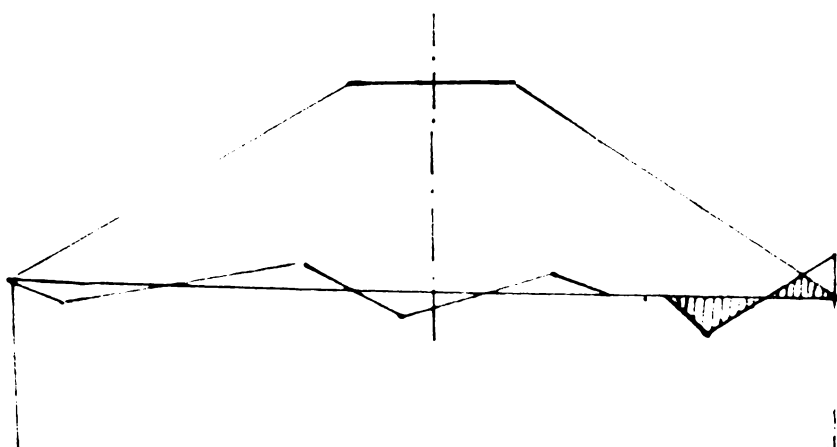


fig. 2-5

aceste diferențe sunt cu atit mai mari cu cît relieful este mai frântat iar profilul transversal tip este mixt și are talusuri cu inclinare rednsă. Față de această situație, autorul lucrării [10] a făcut o analiză amintită a metodei propuse. Din cercetare a celor 15 proiecte de drum realizate în relief de șes, deal și munte, cu ajutorul teoriei probabilităților acest autor a demonstrat că metoda propusă furnizează rezultatele suficient de exacte.

Pentru stabilirea suprafeței profilelor transversale la calculator sunt necesare următoarele informații initiale:

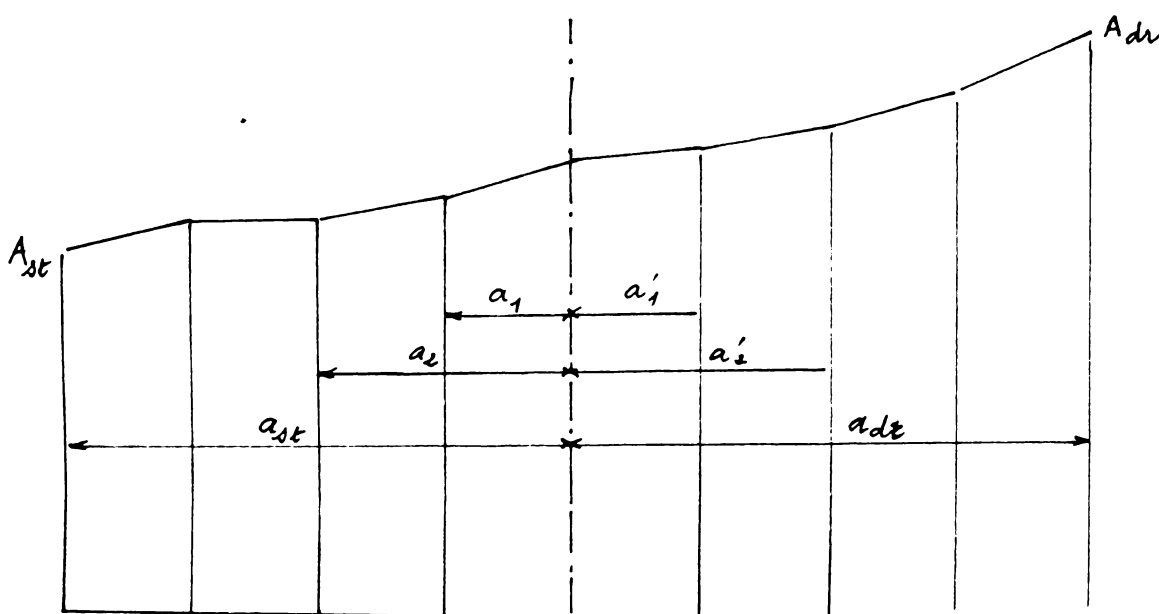


fig. 2-6

$a_{st}$ ,  $(a_{dr})$  corespunde unei jumătăți din ampreza maximă de săpătură sau umplutură posibilă în fiecare profil transversal pentru cale ferată obignuită  $a_{st}$  sau  $a_{dr}$  poate fi valorile

de 7 ~ 10 m în zone de șes

de 10 ~ 20 m în zone de deal

de 15 ~ 30 m în zone de munte

Cu ajutorul acestor date se determină, pentru fiecare pichet de ordinul i al căii așa cum s-a arătat, valorile ale cotei înlocuitoare și ale pantei droptei înlocuitoare.

$$c_i = \frac{dr}{a_{st} + a_{dr}} \quad (2-9-c)$$

$$p_i = \frac{dr - st}{a_{st} + a_{dr}} \quad (2-10-c)$$

Semnul pantei  $p_i$  este negativ cind cota  $c_{dr}$  este mai mică decât cota

$\alpha_{st}$  și este pozitiv cind ceta  $A_{dr}$  este mai mare decât ceta  $A_{st}$ .

### 2-1-3 Stabilitatea talusurilor

Inălțimea limită și inclinarea talusurilor terasamentelor de cale ferată sint date în STAS 3197/2-71, [20] Aceste date depind de natura terenului din care se execută terasamentul. Cind înălțimea umpluturii sau adâncimea săpăturii este mai mare decât cele prevăzute în STAS 3197/2-71 și cind linia ferată se află în condițiile nefavorabile este necesar un studiu privind stabilitatea terasamentelor. În lucrarea de față, privind stabilitatea talusurilor se ia propunerea autorului [10] care consideră că este necesar să execute ziduri de sprijin cind

$$t_u = |P_1| < 0,30$$

2-11

$$t_s = |P_1| < 0,45$$

în care  $t_u$  este valoarea taluzului de umplutură

$t_s$  este valoarea taluzului de săpătură

$P_1$  este valoarea pantei terenului transversal

Pentru a introduce în program volumul zidurilor de sprijin cind există relația (2-11) autorul lucrării [10] a folosit elementele scrise în caietul "Ziduri de sprijin tipizate" (Caiet de tip IPTANA- București 1972) precum și teoria analizei regresive pentru corelația volumelor de zidării cu zid  $h_z$  înălțime ce depinde de ceta  $Z_1$  în raport cu terenul natural și diferența de pantă din relația (2-11)

Zidurile de sprijin tipizate au fost calculate pentru un unghi de frecare internă a masivelor sprijinate de  $30^\circ$ , presiuni de talpa de fundații de 2, 3, 4, 5 daN/cm<sup>2</sup> și pentru fruct  $f_g = 3:1$  și 5:1 la ziduri de rambla și de debloc.

Relația dintre volumul pe metru liniar de lungime de drum este:

$$V_{zid} = 3,74 + 2,62 H \quad (2-12-a)$$

în care  $H = |Z_1 - C_{1d}| + h_f$  sau  $H = |Z_1 - C_{1d}| + h_g$ . Deocamdată se ia adâncimea de fundare  $h_f = 1,42$  atunci și terenul liber  $h_g$  dispără și relația (2-12-a) devine

$$V_{zid} = 2,62 |Z_1 - C_{1d}| \text{ sau } V_{zid} = 2,62 |Z_1 - C_{1d}| \quad (2-12-b)$$

\* În lucrarea de față relația (2-12-a) a fost folosită fără a fi verificată pentru cale ferată.

### 2-1-4 Stabilirea suprafeței profilului transversal

a.- Pentru profilul în săptură fără zid de sprijin:

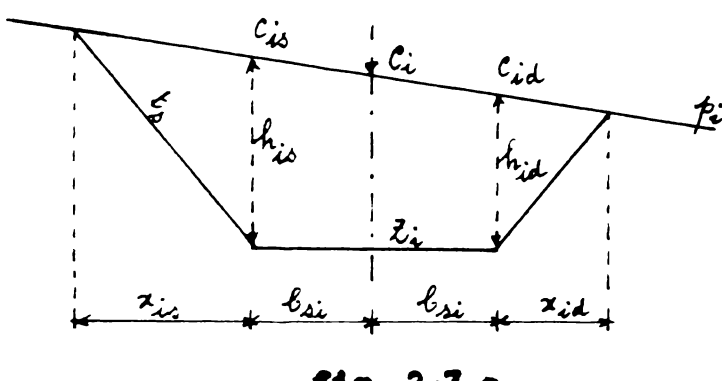


fig. 2-7-a

$$C_{is} = C_i + p_i b_{si}$$

$$C_{id} = C_i - p_i b_{si}$$

$$x_{is} = \frac{C_{is} - Z_i}{t_s + p_i}$$

$$x_{id} = \frac{C_{id} - Z_i}{t_s - p_i}$$

Suprafața profilului transversal este:

$$S_{si} = [(C_{is} - Z_i) + (C_{id} - Z_i)] \frac{b_{si} + b_{id}}{2} + (C_{is} - Z_i) \frac{x_{is}}{2} + (C_{id} - Z_i) \frac{x_{id}}{2} \quad (2-13-a)$$

Dacă se notează cu  $h_{is} = C_{is} - Z_i$

și cu  $h_{id} = C_{id} - Z_i$

atunci (2-13-a) devine:

$$S_{si} = (h_{is} + h_{id}) \frac{b_{si} + b_{id}}{2} + \frac{h_{is}^2}{2(t_s + p_i)} + \frac{h_{id}^2}{2(t_s - p_i)} \quad (2-13-b)$$

Relațiile de calcul (2-13-a), (2-13-b) rămân aceleași și în cazul în care linia terenului are înclinare inversă celei din fig. 2-7-a precum și în cazul în care  $C_i = Z_i$  sau  $p_i = 0$

b.- Pentru profilul în săptură cu zid de sprijin:

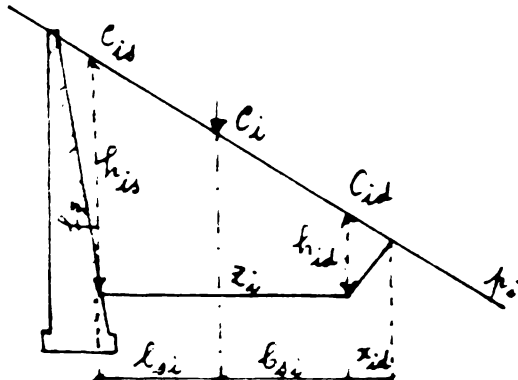


fig. 2-7-b

$$x_{is} = \frac{C_{is} - Z_i}{t_s + p_i}$$

Volumul zidului pe metru de lungime de căi este

$$V_{sid} = 2,62 (C_{is} - Z_i)$$

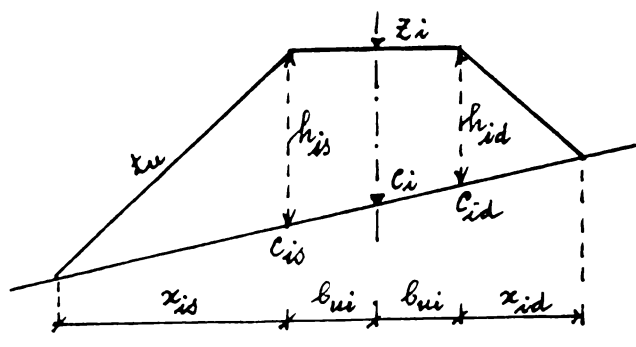
Suprafața profilului transversal în săptură cu zidul de sprijin este:

$$S_i = [(C_{is} - Z_i) + (C_{id} - Z_i)] \frac{b_{si} + b_{id}}{2} + (C_{is} - Z_i) \frac{x_{is}}{2} + 2,62 (C_{is} - Z_i) + (C_{id} - Z_i) \frac{x_{id}}{2} \quad (2-14-a)$$

sau:

$$S_{ui} = (h_{is} + h_{id}) \frac{b_{ui} + b_{id}}{2} + \frac{h_{is}^2}{2(t_u + p_i)} + 2,62 h_{is} + \frac{h_{id}^2}{2(t_u - p_i)} \quad (2-14-b)$$

c.- Pentru profilul în umplutură fără zid de sprijin



$$C_{is} = C_i - b_{ui} p_i$$

$$C_{id} = C_i + b_{ui} p_i$$

$$x_{is} = \frac{z_i - C_{is}}{t_u - p_i}$$

$$x_{id} = \frac{z_i - C_{id}}{t_u + p_i}$$

fig. 2-8-a

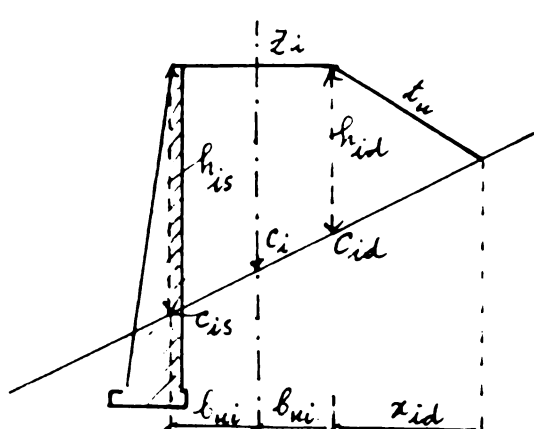
Suprafața profilului transversal este

$$S_{ui} = [(z_i - C_{is}) + (z_i - C_{id})] \frac{b_{ui} + b_{id}}{2} + (z_i - C_{is}) \frac{z_{is}}{2} + (z_i - C_{id}) \frac{x_{id}}{2} \quad (2-15-a)$$

$$\text{sau } S_{ui} = (h_s + h_d) \frac{b_{ui} + b_{id}}{2} + \frac{h_{is}^2}{2(t_u - p_i)} + \frac{h_{id}^2}{2(t_u + p_i)} \quad (2-15-b)$$

Relațiile de calcul (2-15-a), (2-15-b) rămân aceleșa și în cazul în care linia terenului are înclinare inversă celei din fig. 2-8-a precum și în cazul în care  $C_i = z_i$  sau  $p_i = 0$

d.- Pentru profilul în umplutură cu zid de sprijin



Volumul zidului pe un metru de lungime de căi este

$$V_{zid} = 2,62(z_i - C_{is})$$

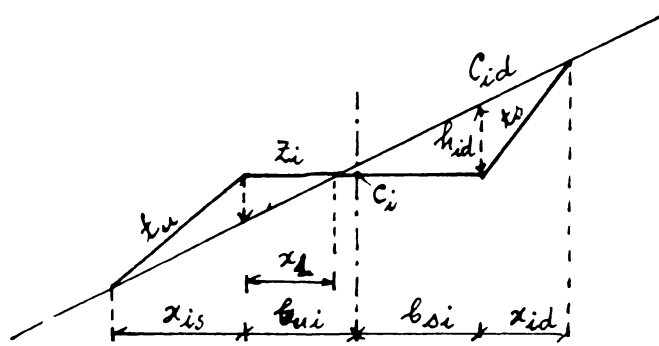
Suprafața profilului transversal în umplutură cu zidul de sprijin este

$$S_{ui} = [(z_i - C_{is}) + (z_i - C_{id})] \frac{b_{ui} + b_{id}}{2} + (z_i - C_{id}) \frac{x_{id}}{2} - 0,3 \times 2,62(z_i - C_{is}) \quad (2-16-a)$$

$$\text{sau: } S_{ui} = (h_{is} + h_{id}) \frac{b_{ui} + b_{id}}{2} + \frac{h_{id}^2}{2(t_u + p_i)} - 0,3 \times 2,62 h_{is} \quad (2-16-b)$$

In cadrul relațiilor (2-16-a), (2-16-b) se consideră că suprafața de umplutură cu zidul de sprijin se reduce cu 30% din secțiunea zidului

e.- Pentru profilul transversal mixt fără zid de sprijin



$$x_1 = \frac{z_i - c_{is}}{p_i}$$

$$x_2 = b_{ui} + b_{si} - x_1$$

$$h_{is} = z_i - c_{is}$$

$$h_{id} = c_{id} - z_i$$

fig. 2-9-a

Suprafața părții de umplutură este

$$S_{ui} = (z_i - c_{is}) \frac{x_{is} + x_1}{2} \quad (2-17-a)$$

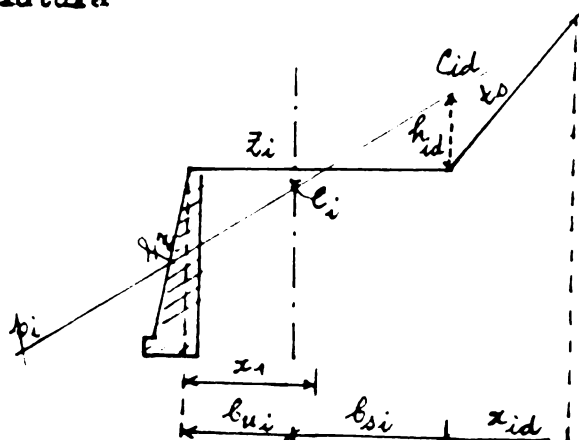
$$\text{ sau } S_{ui} = h_{is} \frac{x_1}{2} + \frac{h_{is}^2}{2(t_u - p_i)} \quad (2-17-b)$$

Suprafața părții de săpătură este

$$S_{si} = (c_{id} - z_i) \frac{x_2 + x_{id}}{2} \quad (2-18-a)$$

$$\text{ sau } S_{si} = h_{id} \frac{x_2}{2} + \frac{h_{id}^2}{2(t_g - p_i)} \quad (2-18-b)$$

f.- Pentru profilul transversal mixt cu zidul de sprijin așezat pe o parte de umplutură



$$c_{is} = c_i - p_i b_{ui}$$

$$c_{id} = c_i + p_i b_{ui}$$

$$x_1 = \frac{z_i - c_{is}}{p_i}$$

$$x_2 = b_{ui} + b_{si} - x_1$$

Suprafața părții de umplutură

cu zidul de sprijin este:

$$S_{ui} = (z_i - c_{is}) \frac{x_1}{2} - 0,3 \times 2,62 (z_i - c_{is}) \quad (2-19-a)$$

$$\text{ sau } S_{ui} = h_{is} \frac{x_1}{2} - 0,3 \times 2,62 h_{is} \quad (2-19-b)$$

Suprafața părții de săpătură este:

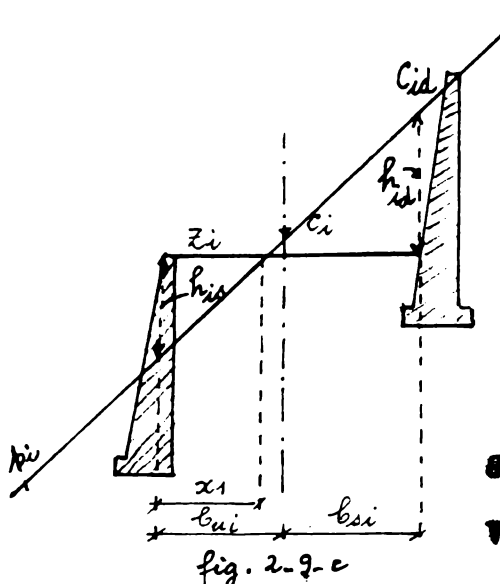
$$S_{si} = (c_{id} - z_i) \frac{x_2}{2} + (c_{id} - z_i) \frac{x_{id}}{2} \quad (2-20-a)$$

sau

$$s_{si} = h_{id} \frac{x_2}{2} + \frac{h_{id}^2}{2(t_s - p_1)} \quad (2-20-b)$$

c.- Pentru profilul transversal cu zidurile de sprijin aşezate pe umbeli

părți



$$x_1 = \frac{z_i - c_{is}}{p_1}$$

$$x_2 = b_{ui} + b_{si} - x_1$$

Volumul zidurilor pe un metru de lungimea căii este

$$V_{sid} = 2,62 [(c_{id} - z_1) + (z_1 - c_{is})]$$

Suprafața părții de umplutură este:

$$s_{ui} = (z_1 - c_{is}) \frac{x_1}{2} - 0,3 \cdot 2,62 (z_1 - c_{is}) \quad (2-21-a)$$

sau

$$s_{ui} = h_{is} \frac{x_1}{2} - 0,786 h_{is} \quad (2-21-b)$$

Suprafața părții de săpătură este:

$$s_{ei} = (c_{id} - z_1) \frac{x_2}{2} + (c_{id} - z_1) \frac{x_{id}}{2} + 2,62 (c_{is} - z_1) \quad (2-22-a)$$

sau

$$s_{ei} = h_{id} \frac{x_2}{2} + \frac{h_{id}^2}{2(f_g - p_1)} + 2,62 h_{id} \quad (2-22-b)$$

În toate cazurile de profil mixt și cazurile b. d. prezentate mai sus dacă dreapta ce reprezintă suprafața terenului are înclinare de sens invers celui din figurile 2-7-b, 2-8-b, 2-9-a, 2-9-b, 2-9-c, relațiile de calcul stabilită rămân identice cu diferența schimbării termenilor ce definesc o astfel de situație.

## 2-2 Costul lucrărilor de artă

Costul lucrărilor de artă depinde de mai mulți factori și amme:

- dimensiunile lucrării
- materialul din care se construiește lucrarea
- metoda de execuție a lucrării de artă
- condițiile naturale ale localității în care se află lucrarea
- etc.

Calculul costurilor lucrărilor de artă ținând seama de acești factori este o problemă foarte complicată. Pentru alegerea liniei roșii optime la profilul longitudinal al căii ferate sau al drumului această cheltuială nu a fost luată în considerare în unele lucrări [10], [15] dar a fost prezentată în alte lucrări [4], [44].

Autorii lucrării [44] au stabilit relațiile algebrice dintre costurile lucrărilor de artă și înălțimea de rambou. Pentru podețe aceste relații sunt funcții de gradul 2, în cazul simplu sunt funcțiile liniare. Relația dintre costul construcției podurilor și înălțimea de rambou aduce cu ea multe caracteristici complicate, pentru că posibilitatea de creștere a cheltuielilor podurilor este discontinuă. Această creștere este cauzată de prelungirea deschiderilor sau de mărimea numărului deschiderilor. Autorii lucrărilor menționate au considerat că aceste relații au formele funcțiilor de gradul 2.

În lucrarea [4] se calculează costul lucrărilor de artă cu ajutorul formulai următoare:

$$C_p = \sum_{i=1}^n (a_i + b_i h) \quad (2-23)$$

în care

$C_p$  - costul lucrărilor de artă

$a_i$  - prețul detaliilor lucrării de ordinul  $i$ , de exemplu, prețul grinzilor

$b_i$  - prețul detaliilor care depind de înălțimea de rambou, de exemplu prețul unei pile

$h$  - înălțimea de umplutură

$n$  - numărul lucrărilor de artă

Autorul lucrărilor de față consideră că trebuie să se calculeze costul lucrărilor de artă, și se poate aplica formula (2-23).

## C A P I T O L U M 3

### CALCULUL CHELTUIELILOR DE EXPLOATARE ALE UNEI CAI FERATE

La compararea variantelor în proiectarea unei căi ferate, în afara calculului cheltuielilor de construcție este necesar și stabilirea cheltuielilor de exploatare pentru a putea alege varianta optimă.

#### 3-1 Generalități despre cheltuieli de exploatare

In compunerea cheltuielilor de exploatare intră toate cheltuielile curente, legate de exploatarea transporturilor, întreținerea în stare de serviciu a mijloacelor tehnice de transport, a instalațiilor fixe și înlocuirea utilajului uzat + costurile de amortisare

Se împart cheltuielile de exploatare în două părți, una se referă la mișcarea trenurilor și alta se referă la întreținerea în stare de serviciu a instalațiilor fixe.

a.- Cheltuielile de exploatare care se referă la exploatarea trenurilor, cuprind:

- cheltuieli referitoare la întreținerea și repararea locomotivelor
- cheltuieli referitoare la întreținerea și repararea vagoanelor
- cheltuieli de combustibil sau de energie electrică consumat
- cheltuieli referitoare la întreținerea, repararea și amortizarea suprastructurii căii
- cheltuieli cu salariul echipei locomotivoi și ale trenului

b.- Cheltuielile de exploatare care se referă la întreținerea în stare de serviciu a instalațiilor fixe cuprind:

- cheltuieli de întreținere a terasamentului
- cheltuieli de amortizare a terasamentului, a podurilor, a tunelelor, a altor lucrări de artă și cheltuieli de înlocuirea traverselor
- cheltuieli de întreținere și amortizare ale instalațiilor de semnalizare și ale instalațiilor de comunicații
- cheltuieli de întreținere a liniilor de contact și a subestațiilor de tracțiune

- cheltuieli privind salariaj feroviariilor care lucrau în stații și în unități de întreținere a instalațiilor de semnalizare și a instalațiilor de comunicații
- etc.

Partea a doua din aceste două cheltuieli depinde numai de lungimea căii, de aceea în comparația variantelor de proiectare a profilului longitudinal nu trebuie să o luăm în considerare.

### 3.-2 Procesul și metoda de calcul al cheltuielilor de exploatare

#### a.- Procesul de calcul

In general, calculul cheltuielilor de exploatare se efectuează după următoarea ordine:

- Stabilirea capacitatei necesare a căii ferate care trebuie proiectat. Prin acestuia capacitate se înțelege numărul de porcări de trenuri sau numărul de trenuri care trebuie să fie transitat pe o linie ferată într-o unitate de timp, pentru a asigura transportul mărfurilor și al călătorilor.
- Calculul de tracțiune prin care se stabilesc tonajul trenului, timpul de mers, consumul de combustibil sau de energie electrică, lucruri mecanice al forțelor care acționează asupra trenului.
- Determinarea cheltuielilor de exploatare amale ale variantelor de proiectare.

#### b.- Metoda de calcul pentru cheltuielile de exploatare.

In general se folosesc două metode de calcul pentru stabilirea cheltuielilor de exploatare și anume: metoda de calculul simplificării și metoda de calculul detaliat. Metoda simplificării nu cere multe calcule dar dă rezultate cu eroare mare, metoda a două cere multe calcule dar dă rezultate cu eroare mică de la  $\pm 5\%$  pînă la  $\pm 8\%$ . Aplicarea acestor metode se face în conformitate cu fazele de întocmire a proiectului. Se folosește metoda simplificării pentru calculul cheltuielilor de exploatare în faza de studiu preliminar al traseului, iar metoda a două se folosește la faza de studiu definitiv al traseului.

In vederea rezolvării problemei de studiu ne interesanți metodele a două, care va fi prezentată mai tîrziu.

### 3-3 Calculul cheltuielilor de exploatare

Construcția unei căi ferate are scopul să asigure transportul mărfurilor și călătorilor. În fază de proiectare a unei linii noi prin cercetări economice se calculează volumul transporturilor de mărfuri și volumul transporturilor de călători. După ce s-a obținut volumul de transport se stabilesc datele de trafic ale liniei. Unele din aceste date, **trafic important**, necesare pentru calculul cheltuielilor de exploatare sunt:

- Volumul total al transporturilor de mărfuri în tone transportate, care reprezintă totalul transporturilor de mărfuri socite, expediate, locale și trimis în timp de un an.

$$T_M = T_{M.\text{soc}} + T_{M.\text{exp}} + T_{M.\text{loc}} + T_{M.\text{trm}} \quad \text{tone} \quad (3-1)$$

și reprezintă suma volumelor totale al transporturilor de mărfuri în ceea ce urmărește  $(T'_M)$  și în ceea ce urmărește  $(T''_M)$  volumul dominante și în ceea ce urmărește minim  $(T'''_M)$

$$E_M = T'_M + T''_M \quad \text{tone} \quad (3-2)$$

- Volumul total al transporturilor de mărfuri în timp de un an exprimat în tone-kilometri  $V'_M$ ,  $V''_M$

$$V_M = T_{M.\text{soc}}^1 \text{soc} + T_{M.\text{exp}}^1 \text{exp} + T_{M.\text{loc}}^1 \text{loc} + T_{M.\text{trm}}^1 \text{trm} \quad t \text{ km} \quad (3-3)$$

1 - distanță de transport, în km.

- Densitatea transporturilor de mărfuri  $D'_M$ ,  $D''_M$

$$D_M = \frac{V_M}{L} \quad \frac{\text{t.km}}{\text{km}} \quad (3-4)$$

Cunoscând datele de trafic se poate stabili numărul trenurilor necesare pentru a asigura transportul volumelor calculate de mărfuri și călători.

#### 3-3-1 Numărul trenurilor necesare

a.- Cind traficul pe două sensuri de circulație este aproape egal și și valoarea declivității caracteristice a liniei pe ambele sensuri este aceeași, se calculează numărul trenurilor necesare cu ajutorul formulelor următoare

$$N'_M = \frac{D'_M}{365 \cdot 0} \quad \text{trenuri/si} \quad (3-5)$$

$$N''_M = \frac{D''_M}{365 \cdot 0} \quad \text{trenuri/si}$$

in care  $G_{neto}'$ ,  $G_{neto}''$  - greutatea netă a garniturii de vagoane pe sensul dus și respectiv întors, în tf

Numărul tremurilor calculate nu trebuie să se convertesc că la întreg.

b.- Când traficuri pe două sensuri de circulație sunt diferențiate dar valoarea declivității caracteristice pe ambele sensuri este aceeași, numărul tremurilor necesare se stabilește tot cu ajutorul formulelor (3-5)

Traficurile pe două sensuri de circulație sunt foarte diferențiate, deci în fiecare zi există tremuri goale pe sensul traficului minim.

$$n_g = \frac{(N_L' - N_M'') n_M}{n_{OM}} \quad \text{tremuri/si} \quad (3-6)$$

in care:

$N_L'$ ,  $N_M''$  - numărul tremurilor necesare în sensul traficului dominant și respectiv în sensul traficului minim

$n_M$  - numărul vagoanelor cu mărfurile în tremul care circulă în sensul traficului dominant

$n_{OM}$  - numărul vagoanelor goale în tremul care circulă pe sensul traficului minim. Acest număr de vagoane depinde de tonajul tremurilor circulând pe sensul traficului minim și de lungimea liniilor de primire și expediere în stații.

Pentru că numărul tremurilor circulând în sensul traficului minim este mai mic decât numărul tremurilor circulând pe sensul traficului dominant, există surplusul de locomotive, care trebuie să circule fără a rezerva vagoane.

$$n_{L.OV} = N_L' - (N_M'' + n_g) \quad (3-7)$$

.- Când traficurile pe două sensuri de circulație sunt diferențiate și se folosesc de declivitatea caracteristică de trafic, numărul tremurilor circulând pe sensul traficului minim dat de relația

$$n_{L.M} = \frac{D_{M,bruto}''}{365 \cdot G_{M,bruto}''} \quad \text{tremuri/si} \quad (3-8)$$

in care

-  $D_{M,bruto}''$  - totalul densității transporturilor de mărfuri inclusiv greutățile vagoanelor;

$$D_{M,bruto}^{'''} = D_M^{'''} + 365 \cdot N' (c_{bruto}' - c_{neto}') \text{ tone km/km (3-9)}$$

- $c_{M,bruto}'$  - greutatea brută a garniturii de vagoane circulând pe sensul traficului minim, în tf
- $c_{bruto}', c_{neto}'$  - greutatea brută și respectiv greutatea netă a garniturii de vagoane circulând pe sensul traficului dominant
- .- Înlocuirea numărului tremurilor de călători în numărul tremurilor de mărfuri.

Cind numărul tremurilor de călători nu depășește 50 din numărul tremurilor de mărfuri și variantele de proiectare au aceeași declivitate caracteristică se poate face înlocuirea numărului tremurilor de călători în numărul tremurilor de mărfuri în vederea simplificării calculului cheltuielilor de exploatare

$$N_{M,i} = \gamma N_c \quad \text{tremuri/zi} \quad (3-10)$$

în care  $N_{M,i}$  - numărul de înlocuire al tremurilor de mărfuri

$\gamma$  - coeficientul de înlocuire

$N_c$  - numărul tremurilor de călători într-o zi

Se poate lua valoarea coeficientului de înlocuire din tabelul nr. 3-1

Tabelul nr. 3-1

| $\frac{c_L + c_{V,c}}{c_L + c_{V,M}}$ | 0,20 | 0,30 | 0,40 | 0,50 | 0,60 | 0,70 | 0,80 |
|---------------------------------------|------|------|------|------|------|------|------|
| $\gamma$                              | 0,40 | 0,48 | 0,50 | 0,64 | 0,72 | 0,80 | 0,88 |

$c_L + c_{V,c}$  - greutatea brută a tremurilor de călători, în tf

$c_L + c_{V,M}$  - greutatea brută a tremurilor de mărfuri în tf

3-3- Tonajul, viteza, timpul de mers, lucru mecanic ale forțelor care acionează asupra tremului.

Calculul de tractiune permite să se stabilească următoarele elemente:

- tonajul tremului
- viteza de circulație
- timpul de mers
- lucru mecanic al forței de tractiune și al forțelor de rezistență
- consumul de combustibil sau de energie electrică

Aceste elemente sunt indicatori de bază în exploatarea căilor

ferate. Ele influențează capacitatea de transport a liniilor de cale ferată și se reflectă în mod direct în prețul de cost al transporturilor.

A.- Tonajul tremului.

Stabilirea tonajului tremului se face în urma analizei indicatorilor tehnico-economici și de exploatare în funcție de condițiile concrete.

În fază de proiectare, pentru stabilirea tonajului tremului de mărfa se are în vedere următoarele:

- îndoplirarea sarcinilor de transport
- folosirea ratională a locomotivelor și a vagoanelor
- unificarea tonajelor și evitarea prelucrărilor repetitive

La stabilirea tonajului tremurilor de călători trebuie avut în vedere folosirea completă a puterii locomotivelor, stabilind în prealabil viteza de circulație a tremului pe declivitatea caracteristică, în funcție de rangul aceasta.

Calculul tonajului tremului la circulație cu viteză constantă pe declivitatea caracteristică se face din ccașia de echilibru a forțelor care acționează asupra tremului:

$$F_{oc} - (r_L + i_c) G_L - (r_V + i_c) G_V = 0$$

Resultă tonajul tremului

$$G_V = \frac{F_{oc} - (r_L + i_c) G_L}{r_V + i_c} \quad (3-11)$$

în care

$F_{oc}$  este forța de tracțiune de calcul, în tf

$G_L$  este grădina în serviciu a locomotivei, în tf

$r_L$  și  $r_V$  sunt rezistențele specifice principale a locomotivei respectiv a vagoanelor, în kgf/tf

$i_c$  este valoarea declivității caracteristice, în %

B.- Metoda propusă pentru a stabili viteza de circulație, timpul de mers, lucrul economic al forței de tracțiune și al forțelor de rezistență.

Pentru calculul viteză de circulație, al timpului de mers, al lucrului economic trebuie să se rezolve ccașia de mișcarea tremului. După modul de rezolvare a acestei ecuații se disting:

- metode care se bazează pe integrarea analitică

- metode care se bazează pe integrarea analitică aproximativă
- și metodile integrării grafice.

Metoda analitică de integrare a ecuației de mișcare a tremului prezintă dificultăți în rezolvare, deoarece necesită stabilirea, în prealabil a expresiei matematice a funcției forțelor specifice de acceleratie care intervin în ecuații, obținerea acestor expresii este foarte groasă datorită procesului complicit de producere a forței de tracțiune precum și datorită modificării continuu a valorii forțelor specifice în deplasarea tremului. Înțept următoare integrarea analitică a acestor funcții care conțin la calcule complicate nu se folosește pentru stabilirea vitezelor de circulație, a timpilor de mers și a lucrurilor mecanice.

Metodile integrării grafice au o largă răspândire deoarece sunt simple sugestive și dă rezultate suficient de exacte în stabilirea vitezelor de circulație, a timpilor de mers și a lucrurilor mecanice, dar aceste metode nu se pot programa pentru a rezolva în calculatoare electronice.

Metodile integrării aproximative constă în înlocuirea creșterilor infinit-mici prin creșteri finite ( $\Delta V$  - intervalul de viteză,  $\Delta T$  - intervalul de timp,  $\Delta S$  - intervalul de spațiu). Pentru fiecare interval de viteză  $\Delta V$ , valoarea forței specifice de acceleratie se consideră constantă și egală cu valoarea medie. Folosindu-se această metodă în lucrarea [34] se prezintă algoritmul și cheile logice de calcul a programului elaborat de Institutul de cercetări feroviare din Moscova și de autorul în vederea calculelor de tracțiune.

Autorul lucrării [17] a observat că pentru calculul de tracțiune programul elaborat de Institutul de cercetări feroviare din Moscova care se bazează pe metoda integrării aproximative trebuie un timp prea lung la prelîngirea informațiilor inițiale și la calculatoare și decare în proiectare acest program nu se folosește.

[17]

În această lucrare se consideră că pentru fiecare interval de viteză  $\Delta V$ , valoarea forței specifice de acceleratie este constantă și egală cu cea de la începutul intervalului de viteză. Pe baza metodei integrării aproximative se prezintă un alt algoritm de calcul al vitezei de circulație, al timpilor de mers, al lucrului mecanic. Cu ajutorul calculatorului electronic autorul lucrării [17]

a obținut material necesar în vederea construirii curbelor de viteză  $V = f_1(S)$  și a curbelor chelnicelilor de exploatare ale unui tren  $E_{tr} = f_2(S)$  pentru unele declivități și pentru unele tipuri de locomotive utilizându-se mai des în proiectare. În cazul în care numărul variantelor de proiectare ducind la comparație este ridicat, folosirea acestor curbe  $V = f_1(S)$ ,  $E_{tr} = f_2(S)$  este foarte practică. Alegerea liniei roșii optime a profilului longitudinal al unei căi ferate se face pe baza comparației unui număr mare de variante, nu se poate aplica această metodă.

Propunem metoda următoare:

Se calculează curbele de viteză  $V = f_1(S)$  în mod gata de folosire după une din metodele deja cunoscute [2], [14], [30], [35] apoi se înlocuiesc aproximativ fiecare curbă  $V = f_1(S)$  prin segmente de curbă  $\bar{V} = \varphi(S)$  având formă funcției matematice simple și care se numesc curbelor de înlocuire. Pe baza acestor curbe se calculează timpul de mers și lucru mecanic al forțelor care acționează <sup>dintre</sup> asupra trenului cu relațiile  $\varphi$  și viteza de circulație. Pentru acesta se propun astfel.

### B-1 Calculul curbelor de înlocuire $\bar{V} = \varphi(S)$

Pentru claritatea metodei propuse se dă exemplul următor:

a.- Se folosește locomotiva Diesel 060-D<sup>1</sup> având următoarele caracteristici:

- forță de tractiune de calcul  $F_c = 22500 \text{ Kgf}$
- greutatea în serviciu a locomotivei  $G_L = 114 \text{ t}$
- rezistență specifică principală a locomotivei:

cind trenul circulă în regim de tractiune:

$$r_L = 3,5 + 0,0403 \left( \frac{V + 12}{10} \right)^2 \quad \text{Kgf/tf}$$

cind trenul circulă în regim fără tractiune

$$r'_L = 2,3 + 0,035V + 0,0002V^2 \quad \text{Kgf/tf}$$

- viteză de calcul  $V_c = 16,7 \text{ km/h}$

b.- Se folosește trenul compus din vagoane cu 4 axii, având caracteristici următoare:

- rezistență specifică principală a vagonelor calculată cu formula:

$$r_V = 2 + \frac{V^2}{1600} \quad \text{Kgf/tf}$$

- forța de spăzare a sabotilor pe o roată:  $F_{sv} = 2,7 \text{ tf}$

c<sub>v</sub> - declevitatea caracteristică a liniei arc valoarea i<sub>c</sub> = 8%.

### B-1-1 Calculul de tracțiune:

#### 1.- Calculul trenajelor

Inlocuind valorile calculate  $r_L$  și  $r_V$  în (3-11) se obține

$$G_V = \frac{22500 - 114(3,88 + 8)}{2,22 + 8} \approx 2050 \text{ tf}$$

Presupunând că se folosesc 11 vagoane cu greutatea de calcul 43 tf (capacitatea de încărcare:  $g_{V1} = 30 \text{ tf}$ , greutatea vagonsului gal  $g_0 = 16 \text{ tf}$  coeficientul de încărcare  $\alpha = 0,9$ ) și 25 vagoane având greutatea de calcul 65 tf ( $g_{V1} = 45 \text{ tf}$ ,  $g_0 = 20 \text{ tf}$ ,  $\alpha = 0,9$ )

#### 2.- Calculul și construcția curbelor forțelor specifice de accelerare

##### a)- Calculul forțelor specifice de accelerare

Tabelul 3-2

| V Km/h                                 | 0     | 10    | 10,7  | 30    | 40    | 50   | 60    | 70    | 80    | 90     | 100    |
|--|-------|-------|-------|-------|-------|------|-------|-------|-------|--------|--------|
| Formula                                |       |       |       |       |       |      |       |       |       |        |        |
| $F = k_v F$                            | 32000 | 32000 | 22500 | 15700 | 11000 | 8900 | 7400  | 6400  | 5600  | 4400   | 3600   |
| $R_B = 3,54$                           |       |       |       |       |       |      |       |       |       |        |        |
| $0,0403 \frac{V+12}{10}^2$             | 3,56  | 3,70  | 3,88  | 4,21  | 4,58  | 5,05 | 5,58  | 6,20  | 6,91  | 7,68   | 8,55   |
| $R_L = r_L \cdot G_L$                  | 406   | 422   | 443   | 480   | 522   | 575  | 637   | 707   | 787   | 875    | 975    |
| $R_V = r_V \cdot G_V$                  | 4100  | 4225  | 4550  | 5420  | 6150  | 7200 | 8710  | 10360 | 12300 | 14430  | 16860  |
| $R_t = R_B + R_V$                      | 4506  | 4647  | 4993  | 5720  | 6672  | 7855 | 9347  | 11067 | 13087 | 15305  | 17835  |
| $F - R_t$                              | 27494 | 27353 | 17507 | 9980  | 4328  | 1045 | -1947 | -4667 | -7487 | -10905 | -14235 |
| $\frac{F - R_t}{R_L + G_V}$            | 12,7  | 12,6  | 8,1   | 4,7   | 2,0   | 0,5  | -0,9  | -2,2  | -3,5  | -5,0   | -6,6   |
| $R'_L = 2,3 + 0,035V +$<br>$0,0003V^2$ | 2,3   | 2,67  | 3,02  | 3,58  | 4,02  | 4,55 | 5,12  | 5,73  | 6,38  | 7,07   | 7,80   |
| $R'_L = R_L \cdot a_L$                 | 262   | 304   | 344   | 402   | 458   | 518  | 583   | 653   | 728   | 805    | 890    |

| V Km/h                            | 0     | 10    | 18,7  | 30    | 40    | 50    | 60    | 70    | 80    | 90    | 100   |
|-----------------------------------|-------|-------|-------|-------|-------|-------|-------|-------|-------|-------|-------|
| Formula                           |       |       |       |       |       |       |       |       |       |       |       |
| $R_t' = R_L' + R_V'$              | 4362  | 4529  | 4894  | 5642  | 6608  | 7798  | 9293  | 11013 | 13028 | 15235 | 17750 |
| $x' = \frac{R_t'}{G_L' + G_V'}$   | -2,0  | -2,1  | -2,3  | -2,6  | -3,0  | -3,6  | -4,3  | -5,2  | -6,0  | -7,0  | -8,0  |
| $\mu = 0,27 \frac{V+100}{5V+100}$ | 0,270 | 0,198 | 0,166 | 0,140 | 0,126 | 0,116 | 0,108 | 0,102 | 0,098 | 0,094 | 0,089 |
| $f_g = 1000 \cdot u \cdot t$      | 102   | 74,7  | 62,7  | 52,8  | 47,5  | 43,8  | 41,4  | 38,8  | 37,0  | 35,0  | 32,8  |
| $0,5f_g$                          | 56    | 37,3  | 31,3  | 26,4  | 23,2  | 21,9  | 20,7  | 19,4  | 18,5  | 17,5  | 16,4  |
| $-(0,5f_g + z')$                  | -50   | -39,4 | -33,6 | -29,0 | -26,0 | -25,5 | -25,0 | -24,6 | -24,5 | -24,5 | -24,5 |

θ. coeficientul de frinare al tremului  $t = \frac{\sum K_{SV}}{G_V} = 0,377$

### B-1-2 Căutarea ecuațiilor matematice ale curbelor de

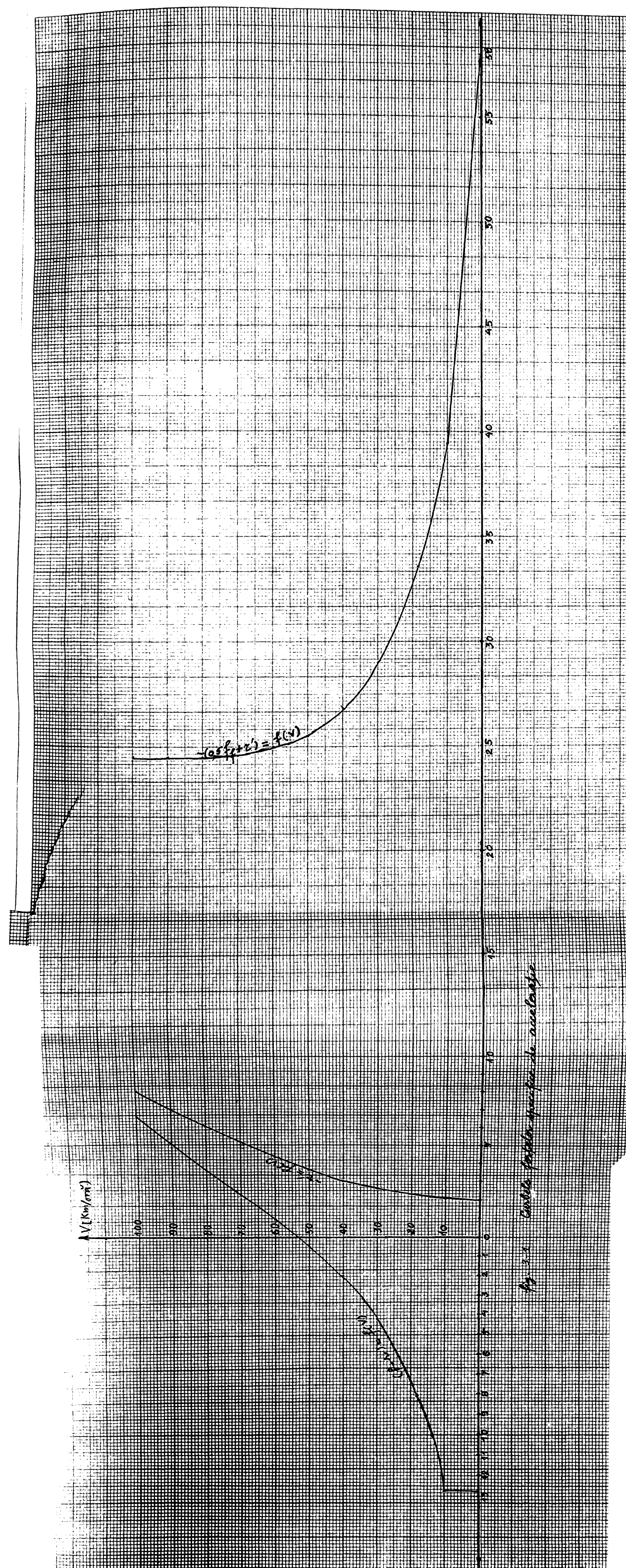
înloguire  $\bar{V} = \varphi(S)$

După ce s-a obținut graficul (3-2-a) comparind prima parte a curbei  $V = f_1(S)$  cu graficul funcției  $y = ax^b$  s-a observat că ele au formă aproximativă, de aceea se alege formula  $\bar{V} = ax^b$  pentru a exprima prima parte a curbei  $V=f_1(S)$ . Se verifică posibilitatea de folosire a acestei formule după metoda de notezire, [5]

Metoda de notezire are cuprinsul următor:

Preocupându-se că dintre  $y$  și  $x$  există o relație de forma definitivă, trebuie că se caute oricare valori  $X = \varphi(x,y)$  și  $Y = \psi(x,y)$  astfel încât, între ele să existe o relație liniară, de exemplu  $y = \frac{x}{ax+b}$  se alege  $X=x$  și  $Y=\frac{x}{y}$  sau  $X=\frac{1}{x}$  și  $Y=\frac{1}{y}$ . Calculindu-se valorile lui  $X$  și ale lui  $Y$  corespunzătoare cu valorile date ale lui  $x$  și  $y$ , apoi exprimându-se grafic se observă că relația dintre  $X$  și  $Y$  este aproximativ liniară adică punctele corespondențe se află aproape de dreapta, de aceea formula alesă este potrivită. În cazul contrar cind punctele nu se află pe o dreaptă relația propusă nu este adesea.

Pentru cazul amintit, în prealabil, se face notezirea dintre  $x$  și  $y$  și  $V = \lg V$ , apoi se construiește tabela (3-3-a) și se exprimă pe graficul (3-3-a)



1. cind în începutul elementului de profilă viteza de circulație a trenului este mai mare decat cel mult egal cu viteză de acțiune :  $V_t \leq 54 \text{ Km/h}$
2. cind la începutul elementului de profilă  $V_t > 54 \text{ Km/h}$
3. cind trenul merge în regim de frenare.

Curbele  $V = f_3(s)$   
curbele de linie

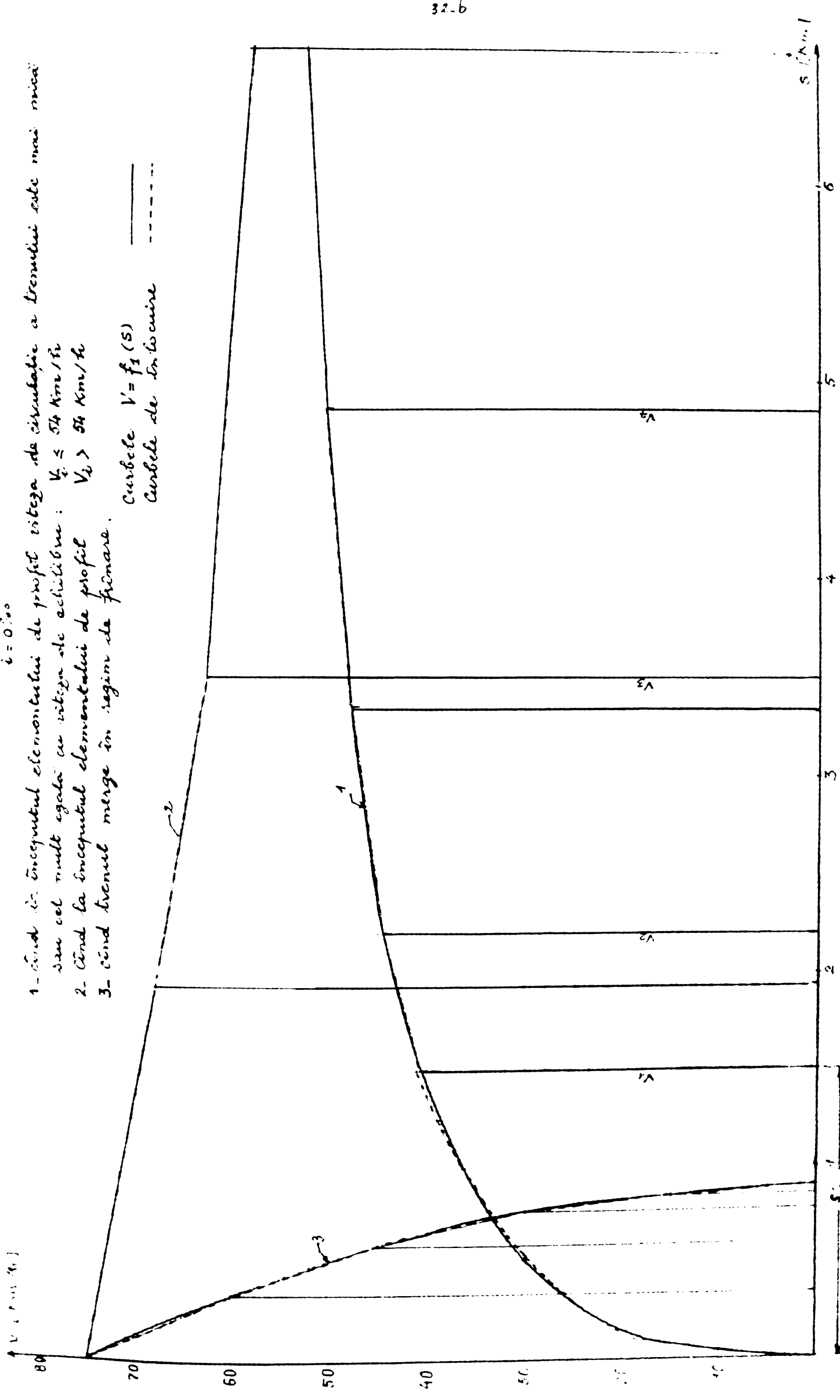
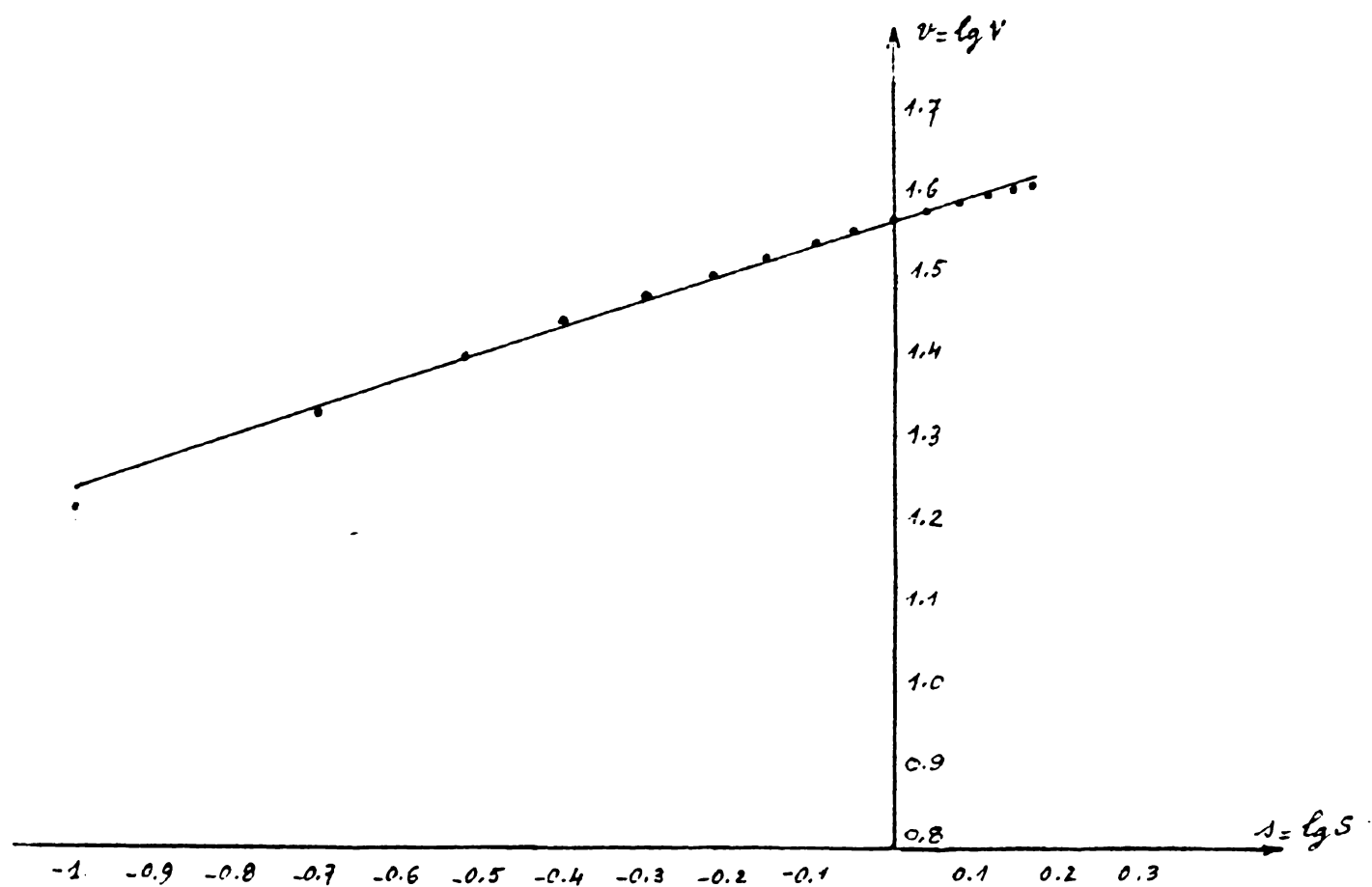
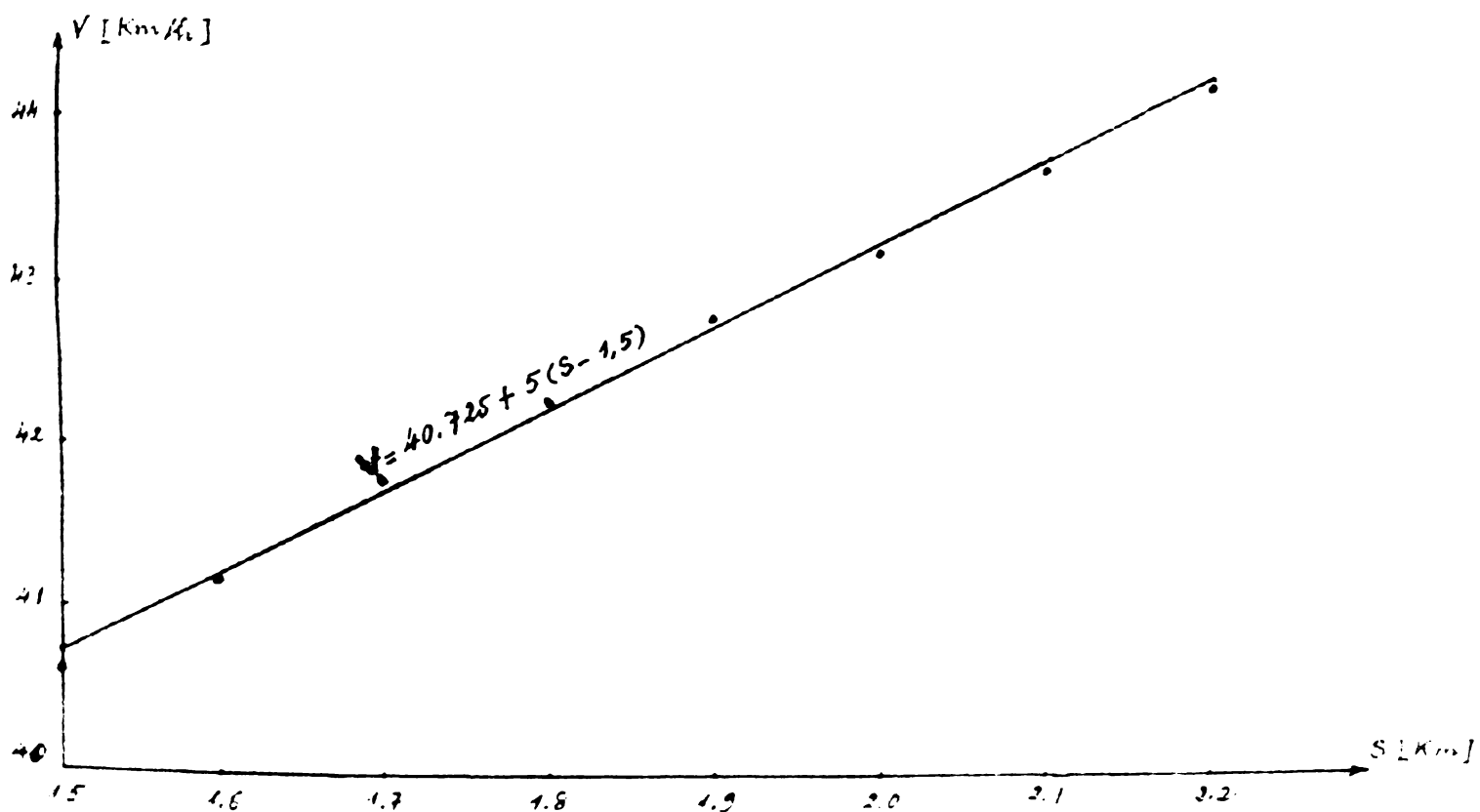


fig. 3.2-a curvile de viteza a trenurilor

fig. 3-3-a Relatia dintre  $v$  și  $s$ .fig. 3-3-b relatia dintre  $v$  și  $s$

(3-3-a) relația dintre  $v$  și  $s$ . Prin graficul (3-3-a) s-a observat că formula aleasă  $\bar{V} = a S^b$  este potrivită.

Acum se determină parametrii  $a$  și  $b$ . Metoda cea mai exactă pentru a determina parametrii este metoda celor mai mici patrate, dar în multe cazuri se poate aplica cu succes metoda mai simplă, mai ușoară metodă de Hodoro, [41]. După această metodă, mai întâi, trebuie să se determine relația liniară dintre variabilele notezite  $s$  și  $v$ . Dacă se notează cu  $b_1 = \lg a$ , relația liniară dintre  $s$  și  $v$  este  $v = b_1 + b_2 s$ .

Tabelul 3-3-a

| $s$<br>km/h | $v$<br>km/h | $s = \lg S$   | $v = \lg V$  | $\bar{V}$ calcul |
|-------------|-------------|---------------|--------------|------------------|
| 1           | 2           | 3             | 4            | 5                |
| 0,1         | 16,4        | -1,000        | 1,215        | 17,5             |
| 0,2         | 21,4        | -0,699        | 1,330        | 21,8             |
| 0,3         | 24,9        | -0,523        | 1,396        | 24,7             |
| 0,4         | 27,5        | -0,390        | 1,439        | 27,1             |
| 0,5         | 29,6        | -0,301        | 1,471        | 29,0             |
| 0,6         | 31,3        | -0,222        | 1,496        | 30,8             |
| 0,7         | 32,9        | -0,155        | 1,517        | 32,1             |
| 0,8         | 34,3        | <u>-0,097</u> | <u>1,532</u> | 33,7             |
| 0,9         | 35,5        | -0,046        | 1,550        | 35,0             |
| 1,0         | 36,5        | 0,000         | 1,562        | 36,2             |
| 1,1         | 37,5        | 0,041         | 1,574        | 37,3             |
| 1,2         | 38,4        | 0,079         | 1,587        | 38,4             |
| 1,3         | 39,2        | 0,114         | 1,593        | 39,4             |
| 1,4         | 39,9        | 0,146         | 1,602        | 40,3             |
| 1,5         | 40,6        | 0,176         | 1,609        | 41,1             |

Atunci funcțiile condiționate  $v_1 = b_1 + b_2 s$  pentru perioade de variori  $s_1$  și  $v_1$  sint separate în 2 grupe având numărul de funcții aproape egal, după ordinul de creștere a variabililor  $s$  și  $v$  în ordine să fie. În grupa I sunt 3 funcții și în grupa II două sunt 7 funcții. Dându-se funcții din fiecare grupă se obține sistemul de ecuații următor:

$$-3,395b + 6b_1 = 11,399$$

$$+0,310b + 7b_1 = 11,073$$

rezolvind sistemul se obtine

$$b = 0,316$$

$$b_1 = 1,5538 \quad a = 36,20$$

curba de înlocuire a vitezei de circulație pentru partea în-

**tîia arc formă:**

$$\bar{v} = 36,20 + 0,316 \quad t \in [0; 1,500]$$

Pentru partea a doua a curbei se construiește tabelul 3-3-b

**Tabelul 3-3-b**

| S          | v km/h      | v <sub>cal</sub> |
|------------|-------------|------------------|
| 1,5        | 40,6        | 40,7             |
| 1,6        | 41,2        | 41,2             |
| 1,7        | 41,8        | 41,7             |
| <u>1,8</u> | <u>42,3</u> | 42,9             |
| 1,9        | 42,8        | 42,7             |
| 2,0        | 43,2        | 43,7             |
| 2,1        | 43,7        | 43,7             |
| 2,2        | 44,2        | 44,2             |

Relația dintre v și S se exprimă în fig. 3-3-b. Această relație este aproximativ liniară și arc formă

$$v = cS + d$$

în care c și d sunt coeficienți

Pentru căutarea acestor coeficienți se aplică metoda do mediere.

Funcțiile condiționate pentru periohi de valori  $v_i$  și  $S_i$  sunt separate în 2 grupă, fiecare grupă are 4 funcții. Summa funcțiilor din fiecare grupă se obține un sistem de 2 ecuații cu 2 necunoscute:

$$6,6c + 4d = 165,9$$

$$8,2c + 4d = 173,9$$

Rezolvând acest sistem se obține:

$$c = 5,000$$

$$d = 32,225$$

Partea a doua a curbei  $V = f_1(s)$  este înlocuită prin dreapta

$$\bar{V} = 5s + 33,225$$

$$\text{sau } \bar{V} = 5(s-1,5) + 40,725 \quad s \in [1,5, 2,2]$$

Părțile următoare ale curbei  $V = f_1(s)$  se determină analog cu cele calculate pentru partea a doua și se obțin:

- pentru cazul în care trenul circulă în regim de tracțiune

$$\bar{V} = 44,225 + 2,911(s - 2,2) \quad s \in [2,2, 3,325]$$

$$\bar{V} = 47,500 + 1,645(s - 3,325) \quad s \in [3,325, 4,445]$$

$$\bar{V} = 50,000 + 0,866(s - 4,445) \quad s \in [4,445, 7,731]$$

$$\bar{V} = 52,500 + 0,456(s - 7,731) \quad s \in [7,731, 11,020]$$

$$\bar{V} = 54,000 \quad s > 11,020$$

- pentru cazul când la începutul elementului de profil viteza trenului a fost egală sau mai mare decât viteza de echilibru ( $V \geq 54 \text{ km/h}$ )

$$\bar{V} = -3,865s + 75 \quad s \in [0, 1,939]$$

$$\bar{V} = -2,793(s - 1,939) + 67,5 \quad s \in [1,939, 3,729]$$

$$\bar{V} = -1,692(s - 3,729) + 62,5 \quad s \in [3,729, 6,684]$$

$$\bar{V} = -0,807(s - 6,684) + 57,5 \quad s \in [6,684, 11,020]$$

- când trenul merge în regim de frânare:

$$\bar{V} = 75 - 43,800s_f \quad s_f \in [0, 0,342]$$

$$\bar{V} = 60 - 57,915(s_f - 0,342) \quad s_f \in [0,342, 0,401]$$

$$\bar{V} = 45 - 07,209(s_f - 0,401) \quad s_f \in [0,401, 0,473]$$

$$\bar{V} = 30 - 168,539(s_f - 0,473) \quad s_f \in [0,473, 0,862]$$

$$\bar{V} = 15 - 652,174(s_f - 0,862) \quad s_f \in [0,862, 0,915]$$

Repetindu-se calculurile ca și cele efectuate mai sus se obțin următoarele ecuații ale curbelor de înlocuire  $\bar{V} = f(s)$

- pentru declivitatea 2%

a.- Când trenul merge în regim de tracțiune:

$$\bar{V} = 31,725^{0,287} \quad s \in [0, 1,5]$$

$$\bar{V} = 3,034(s - 1,5) + 35 \quad s \in [1,5, 3,145]$$

$$\bar{V} = 1,617(s - 2,145) + 37,5 \quad s \in [2,145, 4,000]$$

$$\bar{V} = 41,250 \quad s \geq 4,000$$

b.- Cind la inceputul elementului de profil viteza trenului este egală sau mai mare decât viteza de echilibru ( $v \geq 41,25 \text{ km/h}$ )

$$\begin{aligned}\bar{v} &= -6,933 s + 75 & s \in [0, , 1,003] \\ \bar{v} &= -5,486(s - 1,003) + 62,500 & s \in [1,003, 3,170] \\ \bar{v} &= -4,115(s - 3,170) + 55 & s \in [3,170, 4,385] \\ \bar{v} &= -2,759(s - 4,385) + 50 & s \in [4,385, 6,197] \\ \bar{v} &= -1,012(s - 6,197) + 45 & s \in [6,197, 9,900]\end{aligned}$$

c.- Cind trenul merge în regim de frânare

$$\begin{aligned}\bar{v} &= -47,170 s_f + 75 & s_f \in [0, , 0,317] \\ \bar{v} &= -62,761(s_f - 0,317) + 60 & s_f \in [0,317, 0,557] \\ \bar{v} &= -93,750(s_f - 0,557) + 45 & s_f \in [0,557, 0,717] \\ \bar{v} &= -160,723(s_f - 0,717) + 30 & s_f \in [0,717, 0,800] \\ \bar{v} &= -652,174(s_f - 0,800) + 15 & s_f \in [0,800, 0,773]\end{aligned}$$

- Pentru declivitatea 4%

a.- Cind trenul merge în regim de tracțiune:

$$\begin{aligned}\bar{v} &= 27,95 s^{0,276} & s \in [0, , 1,0 ] \\ \bar{v} &= 5,178(s - 1) + 27,750 & s \in [1,000, 1,700] \\ \bar{v} &= 0,864(s - 1,700) + 30 & s \in [1,700, 4,314] \\ \bar{v} &= 32,25 & s \geq 4,314\end{aligned}$$

b.- Cind la inceputul elementului de profil viteza trenului este egală sau mai mare decât viteza de echilibru ( $v \geq 32,25 \text{ km/h}$ )

$$\begin{aligned}\bar{v} &= -10,234 s + 75 & s \in [0, , 1,710] \\ \bar{v} &= -8,446(s - 1,710) + 57,5 & s \in [1,710, 3,170] \\ \bar{v} &= -6,165(s - 3,170) + 45 & s \in [3,170, 4,385] \\ \bar{v} &= -3,676(s - 4,385) + 40 & s \in [4,385, 6,197] \\ \bar{v} &= -1,228(s - 6,197) + 35 & s \in [6,197, 9,900]\end{aligned}$$

c.- Cind trenul merge în regim de frânare:

$$\begin{aligned}\bar{v} &= -51,020 s_f + 75 & s_f \in [0, , 0,224] \\ \bar{v} &= -67,567(s_f - 0,224) + 60 & s_f \in [0,224, 0,410] \\ \bar{v} &= -100(s_f - 0,410) + 45 & s_f \in [0,410, 0, ] \\ \bar{v} &= -189,873(s_f - 0, ) + 30 & s_f \in [0, , 0,14] \\ \bar{v} &= -714,286(s_f - 0,745) + 15 & s_f \in [0,745, 0,776]\end{aligned}$$

a.- Cind tremul circulă în regim de tractiune:

$$\bar{V} = 23,550 \text{ } s^{0,247} \quad s \in [0, 1]$$

$$\bar{V} = 1,310(s - 1) + 23 \quad s \in [1, 2,336]$$

$$\bar{V} = 24,75 \quad s > 2,336$$

b.- Cind la începutul elementului de profil viteza tremului este egală sau mai mare decât viteza de echilibru

$$\bar{V} = -13,860 \text{ } s + 75 \quad s \in [0, 2,413]$$

$$\bar{V} = -12,647(s - 1,413) + 55 \quad s \in [1,413, 2,629]$$

$$\bar{V} = -9,481(s - 2,629) + 40 \quad s \in [2,629, 3,420]$$

$$\bar{V} = -5,650(s - 3,420) + 32,5 \quad s \in [3,420, 4,305]$$

$$\bar{V} = -1,903(s - 4,305) + 27,5 \quad s \in [4,305, 5,750]$$

- Pentru declivitatea  $8_c$

a.- Cind tremul circulă în regim de tractiune:

$$\bar{V} = 19,190 \text{ } s^{0,125} \quad s \in [0, 1]$$

$$\bar{V} = 18,7 \quad s > 1$$

b.- Cind la începutul elementului de profil viteza tremului este egală sau mai mare decât viteza de echilibru ( $V \geq 18,7 \text{ km/h}$ )

$$\bar{V} = -17,520 \text{ } s + 75 \quad s \in [0, 2,202]$$

$$\bar{V} = -13,515(s - 2,202) + 55 \quad s \in [2,202, 3,033]$$

$$\bar{V} = -4,972(s - 3,033) + 25 \quad s \in [3,033, 4,300]$$

- Pentru declivitatea  $-2_c$

a.- Cind tremul circulă în regim de tractiune:

$$\bar{V} = 40,180 \text{ } s^{0,338} \quad s \in [0, 1,500]$$

$$\bar{V} = 7,143(s - 1,5) + 45,5 \quad s \in [1,500, 2,200]$$

$$\bar{V} = 4,167(s - 2,2) + 50,5 \quad s \in [2,200, 4,000]$$

$$\bar{V} = 1,420(s - 4) + 58 \quad s \in [4,000, 8,400]$$

$$\bar{V} = 0,724(s - 8,4) + 64,250 \quad s \in [8,400, 14,960]$$

$$\bar{V} = 69,000 \quad s > 14,960$$

b.- Cind la începutul elementului de profil viteza tremului este egală sau mai mare decât viteza de echilibru ( $V \geq 69 \text{ km/h}$ )

$$\bar{V} = -0,596 \text{ } s + 70 \quad s \in [0, 1,675]$$

a.- Cind trenul circulă în regim de frinare:

$$\begin{aligned}\bar{V} &= -40,214 s_f + 75 & s_f \in [0,373] \\ \bar{V} &= -53,381(s_f - 0,373) + 60 & s_f \in [0,373 ; 0,654] \\ \bar{V} &= -80,645(s_f - 0,654) + 45 & s_f \in [0,654 ; 0,840] \\ \bar{V} &= -157,894(s_f - 0,840) + 30 & s_f \in [0,840 ; 0,935] \\ \bar{V} &= -625,000(s_f - 0,935) + 15 & s_f \in [0,935 ; 0,959]\end{aligned}$$

Pentru declivitatea  $-4^\circ$

a.- Cind trenul circulă în regim de tractiune:

$$\begin{aligned}\bar{V} &= 43,750 s^{0,341} & s \in [0, ; 2,300] \\ \bar{V} &= 6,272(s - 2,3) + 57,6 & s \in [2,300 ; 3,400] \\ \bar{V} &= 3,590(s - 3,4) + 64,5 & s \in [3,400 ; 4,932] \\ \bar{V} &= 70 & s \geq 4,932\end{aligned}$$

b.- Cind trenul circulă în regim de frinare:

$$\begin{aligned}\bar{V} &= -36,674 s_f + 75 & s_f \in [0, ; 0,409] \\ \bar{V} &= -48,860(s_f - 0,409) + 60 & s_f \in [0,409 ; 0,716] \\ \bar{V} &= -74,627(s_f - 0,716) + 45 & s_f \in [0,716 ; 0,917] \\ \bar{V} &= -140,515(s_f - 0,917) + 30 & s_f \in [0,917 ; 1,018] \\ \bar{V} &= -576,923(s_f - 1,018) + 15 & s_f \in [1,018 ; 1,044]\end{aligned}$$

Pentru declivitatea  $-6\%$

Cind trenul circulă în regim de tractiune:

$$\begin{aligned}\bar{V} &= 47,710 s^{0,355} & s \in [0, ; 2,450] \\ \bar{V} &= 65 & s \geq 2,450\end{aligned}$$

Pentru declivitatea  $-8\%$ :

Cind trenul circulă în regim de frinare:

$$\begin{aligned}\bar{V} &= 51,530 s^{0,378} & s \in [0, ; 1,880] \\ \bar{V} &= 65 & s \geq 1,880\end{aligned}$$

In studiul de proiectare trebuie să se construiască ecuațiile de înlocuire ca și cele făcute pentru unele declivități caracteristice locomotivei, care se folosesc mai des în proiectare. Aceste ecuații au

$$(3-12) \quad \bar{V} = a s^b \text{ pentru partea prima a curbei } V = f_1(s)$$

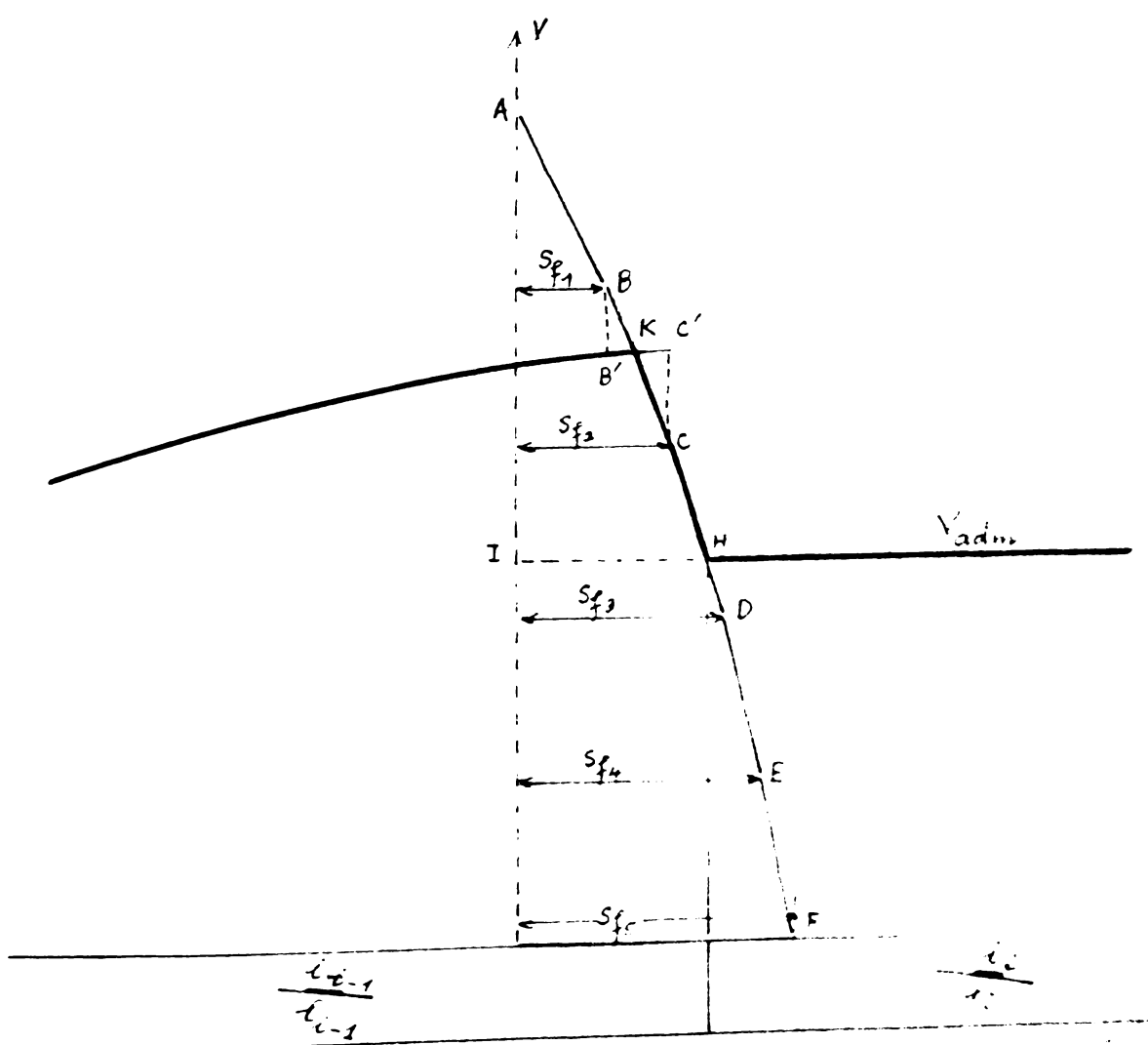
$$(3-13) \quad \bar{V} = c_1(s - e_1) + d_1 \text{ pentru partile următoare}$$

în care:  $\bar{V}$  - vitesa de circulație a trenului, în Km/h

S - spații de mers al tremului. În fig.

$a_1, b_1, c_1, d_1, e_1$  sunt coeficienții.

Depinde de valoarea declivității caracteristice date în temă de proiectare să se introducă ecuațiile curbelor de înlocuire corespunzătoare în programul de calcul. În procesul de calcul pornind de la viteza dată a trenului la începutul primului element de profil, se calculează viteza trenului de circulație la sfîrșitul acestui element cu ajutorul curbelor de înlocuire. Viteza calculată la sfîrșitul primului element de profil este și oca inițială pentru calculul vitezei trenului la sfîrșitul elementului al doilea. Se face continuu procedeul pînă la obținerea vitezei de circulație a trenului pe toate elementele de profil. În cazul, în care valoarea declivității elementului de profil se află între 2 valori pentru care există curbe de înlocuire, calculul vitezei de circulație a trenului se face cu ajutorul metodei de interpolare. În cazul, în care trenul se frinăză, calculul vitezei de circulație și al parcursului de frinare se face cu schema următoare



Cunoscindu-se viteza admisă de circulație a tremului pe declivitatea  $i_1$ , din ecuația curbei de înlocuire  $\bar{V} = \varphi(S)$  pentru segmentul CD se calculează distanța  $l_{II}$ , care este parcursul de frânare de la viteză maximă la viteza admisă. Cunoscându-se curba de înlocuire  $\bar{V} = \varphi(S)$  a vitezei tremului pe declivitatea  $i_{1-1}$  și considerindu-se că  $B'C'$  este un segment de dreaptă, se pot calcula coordonatele  $V_K$  și  $s_K$  ale punctului K cu ajutorul relației următoare:

$$\frac{V_B - V_{B'}}{V_C' - V_C} = \frac{V_B - V_K}{V_K - V_C} = \frac{s_K - s_{f_1}}{s_{f_2} - s_K} \quad (3-14)$$

în care

$B'$ ,  $C'$  sunt punctele de intersecție dintre curba  $\bar{V} = \varphi(S)$  pe declivitatea  $i_{1-1}$  și verticale trase din  $B$  și  $C$

$V_B$ ,  $V_{B'}$ ,  $V_C$ ,  $V_{C'}$  - vitesele de circulație ale tremului în punctele  $B$ ,  $B'$ ,  $C$  și  $C'$

$s_K$  - abscisa punctului K

$s_{f_1}$ ,  $s_{f_2}$  - abcisale punctelor B și C

### B-2 Calculul timpilor de mers ale tremului

Avind ecuațiile curbelor de înlocuire ale vitezei tremului  $\bar{V} = \varphi(S)$  se poate aplica relația  $dt = \frac{ds}{\bar{V}}$  (3-15) pentru calculul timpilor de mers ale tremului. Pentru aceasta se procedează în felul următor.

#### 1.- Pentru elemente de profil pe care tremul circulă după ecuație

$$v = a s^b \quad (3-12)$$

Inlocuind ecuația (3-12) în (3-15) și întrăgind această relație se obține:

$$t = \int_{S_i}^{S_s} \frac{ds}{a s^b} = \frac{1}{a(1-b)} \left| \frac{1}{s^{1-b}} \right|_{S_i}^{S_s} \quad (3-16)$$

în care  $S_i$ ,  $S_s$  - limitele de integrare

#### 2.- Pentru elemente de profil pe care tremul circulă după ecuație

$$v = c(s - e) + d \quad (3-13)$$

Inlocuind ecuația (3-13) în (3-15) și întrăgind această relație se obține:

$$t = \int_{S_i}^{S_s} \frac{ds}{c(s-e)+d} = \frac{1}{c} \ln |c + c(s-e)| \Big|_{S_i}^{S_s} = \frac{1}{c} \ln \frac{c + c S_s}{c + c S_i} \quad (3-17)$$

în care  $v_1$  - viteza la începutul intervalului

$v_s$  - viteza la sfârșitul intervalului

Relația (3-17) există cind  $v > 0$  de aceea pentru cazul special în care trenul circulă în regim de frânare de la orice viteză, la oprirea trenului se ia valoarea vitezei la sfârșitul intervalului egală cu 1 Km. Aceasta conduce la o eroare mică pentru calculul timpilor de mers al trenului.

3.- Pentru elemente de profil pe care trenul circulă cu o viteză constantă  $v = d$ , timpul de mers este:

$$t = \frac{S}{v} \quad (3-18)$$

B.3 Calculul lucrarilor mecanice ale forțelor care acionează asupra trenului.

Se poate utiliza ecuațiile curbelor de înlocuire ale vitezelor de circulație  $\bar{v} = \varphi(s)$  pentru calculul lucrului mecanic al forței de tracțiune și pentru calculul lucrului mecanic al forțelor de rezistență

B-3-1 Calculul lucrului mecanic al forței de tracțiune

Lucrul mecanic al forței de tracțiune este dat de formula:

$$L_f = \int_{S_i}^{S_f} F \, ds \quad \text{Kgf Km} \quad (3-19)$$

în care:

$F$  - forța de tracțiune dezvoltată de locomotiva, în Kgf

$S_f, S_i$  - spațiile de mers, pe care trenul circulă în regim de tracțiune în Km.

Ecuația care exprimă forța de tracțiune a locomotivei, după Alexandru Popa [34] are forma:

$$F = A + BV + \frac{C}{v} \quad \text{Kgf.} \quad (3-20)$$

în care  $A, B, C$  sunt coeficienții și care se pot stabili cu ajutorul curbelor experimentale  $F(v)$ . Pentru aceasta se aleg trei puncte pe curba  $F(v)$  de coordinate  $(v_1, F_1), (v_2, F_2), (v_3, F_3)$  și în baza lor se scrie un sistem din 3 ecuații cu trei necunoscute astfel:

$$A + BV_1 + \frac{C}{v_1} = F_1$$

$$A + BV_2 + \frac{C}{v_2} = F_2$$

$$A = BV_3 + \frac{C}{V_3} = F_3$$

Rezolvind acest sistem pentru fiecare locomotivă se obțin valorile necunoscutelor A, B, C. Aceste valori sunt date în [30], [34] pentru locomotiva diesel O60 DA și pentru locomotiva electrică O60 EA. Se transcrie aceste valori pentru locomotiva O60 DA.

Tabelul 3-4

| Tipul locomotivei | V<br>km/h | A    | B    | C    |
|-------------------|-----------|------|------|------|
| O 60 DA           | 10-40     | 21,5 | 0,35 | 1,40 |
|                   | 40-80     | 1,4  | 0,01 | 4,00 |

Pentru elemente de profil pe care trenul circulă după roata

$$\bar{V} = a S^b \quad (3-12)$$

Inlocuind (3-12) în (3-20) și apoi (3-20) în (3-19) se obține lucrul mecanic al forței de tracțiune:

$$L_f = \int_{S_i}^{S_o} \left( A - B a S^b + \frac{C}{a S^b} \right) dS = \left( A.S - \frac{B.a}{b+1} S^{b+1} + \frac{C}{a(1-b)} S^{1-b} \right) \Big|_{S_i}^{S_o} \quad (3-21)$$

Pentru elemente de profil pe care trenul circulă după secțiune

$$\bar{V} = c(S - e) + d \quad (3-13)$$

Inlocuind (3-13) în (3-20) și apoi (3-20) în (3-19) se obține lucrul mecanic al forței de tracțiune

$$L_f = \int_{S_i}^{S_o} \left\{ A - B [c(S - e) + d] + \frac{C}{c(S - e) + d} \right\} dS$$

$$L_f = \left\{ (A + Bce - Bd)S - \frac{Bc}{2} S^2 + \frac{C}{c} \ln[c(S - e) + d] \right\} \Big|_{S_i}^{S_o} \quad (3-22)$$

Pentru elemente de profil pe care trenul circulă cu o viteză constantă

$$\underline{\underline{V = d}}$$

Pentru că în acest caz forța de tracțiune este constantă, se calculează lucrul mecanic al forței de tracțiune din relația:

$$L_f = S \left( A - Bd + \frac{C}{d} \right) \quad (3-23)$$

### B-3-2 Calculul lucrului mecanic al forțelor de rezistență

Lucrul mecanic al forțelor de rezistență este dat de relația:

$$-43-$$

$$L_1 = (G_L + G_V) \left[ \frac{1}{4} \int_{S_i}^{S_f} \frac{dV}{dt} ds + \int_{S_i}^{S_f} r_t ds + \int_{S_i}^{S_f} r_v ds + \int_{S_i}^{S_f} r_c ds + \alpha \int_{S_i}^{S_f} r_f ds \right] \quad (3-24)$$

în care:

- $G_L$  - greutatea locomotivei în tf
- $G_V$  - greutatea brută a vagoanelor compuse din tren, în tf
- $\frac{dV}{dt}$  - reprezintă accelerarea specifică imprimată a trenului de către o forță de către 1 Kgf/tf și se exprimă în  $\text{Km/h}^2$  și depinde de tipul vehiculului și are o valoare medie  $\frac{dV}{dt} = 120 \text{ Km/h}^2$
- $r_t$  - forță specifică de rezistență a trenului, în Kgf/tf
- $r_v$  - rezistență de mers în declivitate, în Kgf/tf
- $r_c$  - rezistență de mers în curbă, în Kgf/tf
- $r_f$  - forță de frânare a trenului, în Kgf/tf
- $\alpha$  - coeficientul de utilizare a frânării

Integrind se observă că primul termen reprezintă cantitatea de energie cinetică a trenului în cazul creșterii vitezei de la  $v_i$  la  $v_f$ :

$$L_1 = (G_L + G_V) \frac{\frac{v_f^2 - v_i^2}{2} - \frac{v_f^2}{120}}{Kgf\text{km.}} \quad (3-24-a)$$

Al doilea termen caracterizează lucrul mecanic al forței de rezistență la mers a trenului în aliniament și palier. Forța de rezistență la mers a trenului în aliniament și palier este dată de relația următoare:

$$r_t = \frac{G_L r_L + G_V r_V}{G_L + G_V}$$

Lucrul mecanic al forței de rezistență la mers a trenului în aliniament și palier este:

$$L_2 = G_L \int_{S_i}^{S_f} r_t ds + G_V \int_{S_i}^{S_f} r_v ds \quad (3-24-b)$$

$r_L$  - forță specifică de rezistență pentru locomotivă, în Kgf/tf și date de următoarea formulă:

$$r_L = A_1 + B_1 V + C_1 V^2 \quad \text{Kgf/tf} \quad (3-25)$$

$A_1, B_1, C_1$  sunt coeficienții experimentali. Pentru locomotivele din parcul C.F.R. acești coeficienți sunt date în [30], [35]. Într-o locomotivă diesel electrică Ogo D din parcul C.F.R., cind trenul circulă în regim de tractiune, forța specifică de rezistență, este:  $r_L = 55 + 0.0403 \left( \frac{V+12}{10} \right)^2$  (3-25-a) cind trenul circulă în regim fără tractiune, forța specifică de rezistență este

$$r_L' = 2,3 + 0,035 V + 0,0002 V^2 \quad \text{kgf/tf} \quad (3-25-b)$$

$r_V$  - forță specifică de rezistență pentru vagoane, în kgf/tf și date de următoarea formulă:

$$r_V = A_2 + B_2 V^2 \quad (3-26)$$

$A_2$ ,  $B_2$  sunt coeficienții experimentali. După I.C.P.T.T. Institutul de cercetări și proiectări tehnologice în transporturi pentru vagoanele din parcul C.F.R.

$$r_V = 2 + \frac{V^2}{B_2} \quad (3-26-a)$$

Valurile lui  $B_2$  depind de tipul vagoanelor și sunt date în [30], [34], [35].

Inlocuind relațiile (3-25) și (3-26) în formula (3-24-b) pentru elemente de profil pe care trenul circulă după ecuația

$$\bar{V} = a s^b$$

se obține lucrul mecanic al forței de rezistență la mers a trenului în alinierăment și palier:

$$L_2 = G_L \int_{S_i}^{S_f} (A_1 + B_1 a s^b + C_1 a^2 s^{2b}) ds + G_V \int_{S_i}^{S_f} (A_2 + B_2 a^2 s^{2b}) ds$$

$$L_2 = \left[ G_L (A_1 s + B_1 a \frac{s^{b+1}}{b+1} + C_1 a^2 \frac{s^{2b+1}}{2b+1}) + G_V (A_2 s + B_2 a^2 \frac{s^{2b+1}}{2b+1}) \right] \Big|_{S_i}^{S_f} \quad (3-24-b)$$

Pentru elemente de profil pe care trenul circulă după ecuația

$$\bar{V} = c (s - e) + d \quad \text{se procedează astfel:}$$

$$a s = \frac{1}{c} d \bar{V} \quad (3-27)$$

Inlocuind relațiile (3-25), (3-26), (3-27) în formula (3-24-b) se obține lucrul mecanic al forței de rezistență la mers a trenului în alinierăment și palier:

$$L_2 = G_L \int_{\bar{V}_i}^{\bar{V}_f} (A_1 + B_1 \bar{V} + C_1 \bar{V}^2) \frac{1}{c} d\bar{V} + G_V \int_{\bar{V}_i}^{\bar{V}_f} (A_2 + B_2 \bar{V}^2) \frac{1}{c} d\bar{V}$$

$$L_2 = \frac{1}{c} \left[ G_L (A_1 \bar{V} + B_1 \frac{\bar{V}^2}{2} + C_1 \frac{\bar{V}^3}{3}) + G_V (A_2 \bar{V} + B_2 \frac{\bar{V}^3}{3}) \right] \Big|_{\bar{V}_i}^{\bar{V}_f} \quad (3-24-b'')$$

Pentru elemente de profil pe care circula trenul cu viteza constantă  $V = d$  să calculăm lucrul mecanic al forței de rezistență la mers din relația

$$L_2 = S \left[ G_L (A_1 + B_1 d + C_1 d^2) + G_V (A_2 + B_2 d^2) \right] \quad (3-24-b''')$$

Al treilea termen din formula (3-24) caracterizează lucru mecanic dat pe declivitatea  $r_i$ . Pentru un element de profil având valoarea declivității ( $r_i$ ) și lungimea elementului  $l_i$ , lucru mecanic dat pe declivitate este

$$L_3 = (G_V + G_L) \int_{S_i}^{S_0} r_i ds$$

$$L_3 = (G_V + G_L) l_i r_i \quad \text{Kgf.Km} \quad (3-24-c)$$

Al patrulea termen caracterizează lucru mecanic consumat pentru învingerea rezistenței curbelor. Rezistență specifică datorită curbelor se calculează din relația lui Röckl [34], [49]

$$r_c = \frac{A_c}{\beta_c - B_c} \quad \text{Kgf.Km}$$

$A_c$  și  $B_c$  sunt coeficienți experimentalări date în [30], [34], [49]

$\beta_c$  este raza de curbură a căii, în m.

In cadrul unei curbe această rezistență este o constantă  
De aceea pe o curbă lucru mecanic este:

$$L_4 = (G_L + G_V) \int_{S_i}^{S_0} r_c ds$$

$$L_4 = (G_L + G_V) r_c l_c \quad \text{Kgf.Km.} \quad (3-24-d)$$

$l_c$  este lungimea curbei, în m.

In cazul, în care se face simplificarea profilului longitudinal al liniei, rezistență specifică datorită curbelor se adună cu rezistență dată de declivitatea și nu trebuie să se calculeze separat  $L_3$  și  $L_4$

Al cincilea termen caracterizează lucru mecanic al forței de frinare. Forța specifică de frinare este dată de relația următoare:

$$f_f = 1000 \mu_c t_c \quad \text{Kgf/tf} \quad (3-25)$$

în care

$\mu_c$  - coeficient de frecare de calcul dintre saboți și bandaje

Coefficientul de frecare  $\mu_c$  depinde de viteză, de presiunea desvoltată de saboți, de materialul din care sunt confecționate saboții și bandajele, de formă sabotului, de capacitatea sabotului de a conduce căldură, ...  
Într-un anumită sârbață și cu forță de aplicare de calcul a sabotului pe roată ( $K = 2,7$  tf), coefficientul de frecare de calcul ar trebui să fie

$$\mu_c = 0,27 \frac{V + 100}{5V + 100} \quad (3-29)$$

în care  $V$  este viteză de mers a trenului, în km/oră

$\theta_c$  este coeficientul de frinare de calcul. Pentru trenul de marfă care circulă pe pantă având valoarea mai mică sau egală cu 2% coeficientul

$$\theta_c = \frac{\sum K_{sv}}{G_V} \quad (3-30)$$

în care  $K_{sv}$  forță de apăsare de fricare sabet a vehiculelor remorcate, în tf  
 $G_V$  greutatea vagoanelor remorcate, în tf

Fiindcă ecuațiile curbelor de înlocuire a vitezei de circulație a trenului sunt liniare  $\bar{V} = c(3 - e) + d$  se obține lucrul mecanic al forței de frinare

$$L_3 = (G_L + G_V) \alpha \int_{S_i}^{S_f} f_f d S = 1000 (G_L + G_V) \times 0,27 \int_{V_i}^{V_f} \frac{V + 100}{5V + 100} \cdot \frac{dV}{e} \\ L_3 = \frac{270 \alpha (G_L + G_V)}{e} \left[ \frac{1}{5} V + 16 \ln(V + 20) \right] \Big|_{V_i}^{V_f} \text{ kgfkm} \quad (3-24-e)$$

În cazul cînd trenul circulă în regim de frinare cu o viteză constantă, lucrul mecanic al forței de frinare este

$$L'_3 = \alpha f_f (G_L + G_V) S \\ L'_3 = 270 \frac{V + 100}{5V + 100} \theta_c \alpha (G_L + G_V) S \quad (3-24-e')$$

Avînd toti termenii din formula (3-24) se poate calcula lucrul mecanic al forțelor de rezistență:

$$L_r = L_1 + L_2 + L_3 + L_4 + L_5$$

#### B-4 Determinarea consumului de combustibil și energie electrică.

##### a.- Calculul consumului de combustibil la locomotive diesel.

Consumul de combustibil al locomotivei Diesel în timpul parcursului se determină pe baza curbelor de viteză  $V = f(S)$  și curbelor de timp  $t = f(S)$  definite la regimul de lucru de durată a locomotivelor diesel.

El se poate calcula fie direct cu ajutorul parametrilor de funcționare ai locomotivei, fie indirect cu ajutorul lucrului mecanic al forțelor rezistente întîmpinate de tren, punind condiția egalității lucrului mecanic al forțelor rezistente cu cel produs prin arderea combustibilului în cilindrii motorului diesel. În lucrarea de față se folosește metoda a doua.

Lucrul mecanic produs prin arderea unui kibometru de combustibil

în motorul diesel, este dat de relația:

$$L_m = 427 H_i \eta_L \quad \text{Kg fm} \quad (3-31)$$

lucrul mecanic total produs prin arderea combustibilului în timpul unui parcurs, se determină cu relația

$$L = C_D L_m = 427 C_D H_i \eta_L \quad (3-32)$$

unde:

$\eta_L$  randamentul locomotivei la obânda roților

$H_i$  este puterea calorifică infurioară a combustibilului, în Kcal/Kg. După anteriorii lucrărilor [36], [43] valoarea lui  $H_i$  este 10000-10100 Kcal/Kg

Notind cu  $L_r$  lucrul mecanic al forțelor rezistente, egal cu cel produs prin arderea combustibilului se obține relația

$$\frac{L}{L_r} = 427 C_D H_i \eta_L \quad \text{Kg fm} \quad (3-33)$$

de unde rezultă combustibil consumat pentru româncă unui tren:

$$C_D = \frac{\frac{L}{L_r}}{427 H_i \eta_L} \quad \text{Kg} \quad (3-34)$$

După anteriorii lucrărilor [14], [35] consumul de combustibil pe un tfkm de lucru mecanic poate fi 0,800-0,85 Kg. Pentru calculul consumului de combustibil Diesel la comparația variantelor de proiectare se poate lua  $C_D = (0,800-0,85) L_r \quad \text{Kg} \quad (3-34-h)$ ,  $L_r$  se măsoară în tfkm.

#### b.- Calculul consumului de energie electrică la locomotive electrice

In casul tracțiunii electrice, energia absorbită din rețea de alimentare în tot timpul cît locomotiva circulă sub curenț se consumă pentru deplasarea și realizarea deplasării trenului. Cea mai mare parte a energiei electrice se transformă în lucru mecanic util, care se consumă pentru învingerea rezistențelor la mers și pentru sporirea energiei cinetice și potențiale ale trenului, iar restul se consumă sub forma de pierderi în motoarele electrice de tracțiune, transformatoare, instalațiile de redresare a curentului etc.

Consumul de energie electrică se poate determina fie cu ajutorul parametrilor de funcționare ai locomotivei și du linia de contact, fie cu ajutorul lucrului mecanic al forțelor de tracțiune sau forțelor rezistente.

După metoda a doua consumul de energie electrică pentru un parcurs se poate calcula cu relația:

$$W_t = \frac{k_a L_x}{367 \eta_{lc} \eta_s \eta_L}$$

3-35

unde:

$L_x$  - lucru mecanic al forțelor rezistente, măsurat în kgf.m

$k_a$  - coeficientul care tănește sezonii de consumul de energie în instalațiile auxiliare de pe locomotive

$\eta_{lc}$  - rendamentul liniei de contact

$\eta_s$  - rendamentul substațiilor de tractiune

$\eta_L$  - rendamentul locomotivei

Datele privitoare la linia de contact și la substația de tractiune ( $\eta_{lc}$  și  $\eta_s$ ) se pot considera ca fiind constante și egale cu valorile lor medii. În lucrarea [14] pentru aceste date se iau valorile:

$\eta_{lc} = 0,92 - 0,93$  pentru curentul continuu

$\eta_s = 0,90 - 0,91$  pentru curentul continuu

$\eta_{lc} = 0,96 - 0,97$  pentru curentul alternativ

$\eta_s = 0,95 - 0,65$  pentru curentul alternativ

$\eta_L$  depinde de tipul locomotivei și de regimul de funcționare a locomotivei.

După autorii lucrărilor [14], [35] consumul de energie la barele de intrare în substația de tractiune pe o tfkm de lucru mecanic poate fi 3,6 Kwh pentru curentul continuu, 3,5 Kwh pentru curentul alternativ. La comparația variantelor de proiectare se poate calcula consumul de energie ca relație:

$$\text{consum} = (3,5 \text{ sau } 3,6) L_x \quad (3-35-b)$$

în care  $L_x$  este măsurat în tfkm

### 3-III-3 Determinarea cheltuielilor de exploatare ale unui tren

După cum s-a arătat mai sus, pentru alegerea liniei roșii optime a profilului longitudinal al căii ferate se ia în considerare numai cheltuielile de exploatare legate de mișcare a tronurilor. Aceste cheltuieli a unui tren trac de locomotivă Diesel se calculează cu ajutorul formulei următoare [17]

$$dp = a_1 h_f + a_2 L_x + (a_3 + a_4) C + a_4 t_{e.1} + a_5 t_{e.tr} + a_6 t_{l.0} + a_7 t_{v.0}$$

$$a_8 h_{v.0} + a_9 T_{bruto} \quad \text{ub/tren (unități bunezi/tren)} \quad (3-36)$$

în care:



- $L_f$  - lucrul mecanic al forței de tracțiune, în tf Km  
 $L_r$  - lucrul mecanic al forțelor de rezistență, care acționează asupra trenului, în tf Km

C - consumul de combustibil, în kg

$t_{e.1}$  - timpul de lucru al echipei locomotivei, în ore

$t_{etr}$  - timpul de lucru al echipei de tren, în ore

$t_{l.e}$  - timpul de mers al locomotivei, în ore pentru o locomotivă, dacă trenul este tras de 2 locomotive trebuie să se înmulțească

$t_{l.e}$  cu 2

$t_{v.e}$  - se prezintă în loco de osii a vagoanelor-ora. Se calculează  $t_{v.e}$  după relația următoare:

$$t_{v.e} = \frac{n_0}{1000} t_m \quad (3-37)$$

unde  $n_0$  - numărul osiilor vagoanelor trenului

$t_m$  - timpul de mers al trenului

$N_{v.k}$  - se prezintă în loco de osii a vagoanelor-Km. Se calculează  $N_{v.k}$  după relația următoare:

$$N_{v.k} = \frac{n_0}{1000} l \quad (3-38)$$

unde  $n_0$  - numărul osiilor vagoanelor trenului

$l$  - lungimea prin care trece trenul, în Km

$T_{bruto}$  se prezintă în locoooo tfkm de greutate-brută a trenului circulat pe cale. Se calculează  $T_{bruto}$  după relația următoare:

$$T_{bruto} = \frac{a_{bruto}}{10^6} l^2 \quad (3-39)$$

în care

$a_{bruto}$  - greutatea brută a trenului, în tf

$l$  - lungimea drumului prin care trece trenul, în Km

$a_1$  - cheltuiala pe o tfkm de lucru mecanic al forței de tracțiune, referitoare la repararea mașinii diesel, a motoarelor de tracțiune și a instalațiilor pentru conducederea căldurii în unități binecăti

$a_2$  - cheltuiala pe o tfkm de lucru mecanic al forțelor de rezistență, referitoare la repararea și ungerea părților de mers ale trenului, provocată și referitoare la întreținerea și repararea suprastructurii cili

pentru părți uscate cărora corespunde lucru mecanic , în unități bănești

$a_3$  -cheltuiala pe un Kg de combustibil Diesel, referitoare la echipamente ale locomotivei și întreținerea acestora în unități bănești

$a_4$  -prețul unui Kg de combustibil Diesel, în unități bănești

$a_4$  -cheltuiala cu salariul echipei de locomotivă pentru o oră de lucru, în unități bănești

$a_5$  -cheltuiala cu salariul echipei de tren pentru o oră de lucru, în unități bănești

$a_6$  -cheltuiala de reparare a unei locomotive Diesel datorită uzurii în funcție de timp, în unități bănești

$a_7$  -cheltuiala de reparare a vagoanelor din tren în funcție de timp, pentru loco de osii-oră, în unități bănești

$a_8$  -cheltuiala referitoare la verificarea tehnică a vagoanelor din tren, în unități bănești pentru loco de osii-Km

$a_9$  -cheltuiala referitoare la amortizarea suprastructurii cili pentru  $10^6$  tkm de greutate brută circulații pe cale în unități bănești

Dacă în formula (3-36) se iau:

$$t_{e.l} = t_{e.tr} = t_{l.o} = t_{v.o} = t_{ni}$$

adică timpul de lucru al echipei de locomotivă, timpul de lucru al echipei de tren, timpul de mers al locomotivei, timpul de mers al vagoanelor sunt egale cu timpul de mers al tremului pe acest element de profil

$$l = l_1$$

adică lungimea drumului l prin care tremul trece, este egală cu lungimea elementului de profil  $l_1$  atunci formula (3-36) devine formula pentru calculul cheltuielilor de exploatare legate de dopasarea unui tren trac de locomotiva Diesel pe un element de profil

$$E_{dp} = a_1 L_f + a_2 L_r + (a_3 + a_6) C + (a_4 + a_5 + a_6 + 10^{-3} a_7) t_{m.i} + 10^{-3} n_0 l_1 a_8 +$$

$$10^{-6} G_{bruto} a_9 l_1 \quad \text{unități bănești/tran} \quad (3-36-a)$$

Dacă înlocuindu-se C prin valoarea dată de (3-34-6) formula (3-36-a) devine:

$$E_{dp} = a_1 L_f + a_2 L_r + (a_3 + a_4) \cdot 0,85 L_r + (a_4 + a_5 + a_6 + 10^{-3} a_7) t_{m.i.} +$$
$$10^{-3} n_o l_i a_8 + 10^{-6} G_{bruto} a_9 l_i \text{ unități bănești/tren (3-36-a')}$$

## C A P I T O L U L 4

### UNELE METODE DE ALGORITMA LINIEI ROSII OPTIME LA PROFILUL LONGITUDINAL AL ORII CAI FERATE

4-1. Metoda programării dinamice și aplicarea ei în elaborarea  
liniei rosii optime la profilul longitudinal al orii fe-  
rate [4], [15], [21], [26], [28], [29], [39]

#### 4-1-1. Generalități

Programarea dinamică este o metodă de optimizare a sistemelor în care se operează pe faze sau secvențe. Baza acestei metode este "teorema optimalității" a lui R. Bellman, care enunță astfel: o șir de politici optime nu poate fi formată decât din subpolitici optime

O politică este alcătuită dintr-o succesiune de decizii.

In cazuri aleatoare în locul termenului de politică se utilizează termenul de strategie.

Eficacitatea metodelor de optimizare convențională căreia le-a dat naștere teorema lui Bellman se accentiază pe măsură ce se observă că multe fenomene sau probleme sunt de natură convențională, adică permit descompunerea lor în faze sau secvențe, fiecare fază depinzând de cele apropiate, de fază anterioră și de cea următoare.

Programarea dinamică privește evoluția în timp a unui sistem economic, acesta fiind la fiecare fază parțial aleatorie, parțial controlată. Casurile extreme sunt cele exclusiv deterministe și cele exclusiv aleatoare.

Anumite caractere ale programării dinamice, ca împărțirea în secvențe a problemelor, se conservă și în casurile deterministe în care nu intervine o evoluție de timp.

#### 4-1-2. Tehnica de calcul a programării dinamice

$$\sum_{j=1}^n a_{ij} x_j \leq b_i \quad a_{ij} > 0 \quad j = 1, 2, \dots, n, \quad i = 1, 2, \dots, m \quad (4-1-1)$$
$$x_j \geq 0, \quad j = 1, 2, \dots, n \quad \min \sum_{j=1}^n c_j(x_j) \quad (4-1-2)$$
$$\text{Fie } x^* = \min \sum_{j=1}^n c_j(x_j), \text{ în condițiile (4-1-1), (4-1-2)}$$
$$\text{Se presupune că s-a fixat o valoare } \bar{x} \text{ pentru } x_n$$

In acest caz valorile variabilelor  $x_1, x_2, \dots, x_{n-1}$ , care minimizesc funcția obiectiv  $\sum_{j=1}^n c_j(x_j)$  vor depinde evident de  $\bar{x}_n$ .

Cu  $x_n = \bar{x}_n$  se poate lua în considerare programul care cere:

$$\min \sum_{j=1}^n c_j(x_j) = c_n(\bar{x}_n) + \min \sum_{j=1}^{n-1} c_j(x_j) \quad (4-1-3')$$

$$x_1, x_2, \dots, x_n \quad x_1, x_2, \dots, x_{n-1}$$

Este clar, că variabilele  $x_1, x_2, \dots, x_{n-1}$ , vor trebui să satisfacă sistemu de restricții (4-1-2), (4-1-4) unde (4-1-4) este

$$\sum_{j=1}^{n-1} a_{ij} x_j \leq b_i - a_{in} \bar{x}_n \quad i = 1, 2, \dots, n \quad (4-1-4)$$

Notind cu  $a_n$  vectorul coloană de componente  $a_{in}$  ( $i=1, 2, \dots, n$ ) și cu  $b$  vectorul de componente  $b_i$ , se notează

$$f_{n-1}(b - \bar{x}_n a_n) = \min \sum_{j=1}^{n-1} c_j(x_j)$$

$$x_1, x_2, \dots, x_{n-1}$$

minimum fiind calculat în condițiile (4-1-2) și (4-1-4)

Totodată din (4-1-1) și (4-1-2) rezultă că  $\bar{x}_n$  trebuie ales din multimea

$$0 \leq x_n \leq \min \frac{b_i}{a_{in}} \quad (4-1-5)$$

$$1 \leq i \leq n$$

Atunci este clar că

$$s^* = \min_{x_n} [c_n(\bar{x}_n) + f_{n-1}(b - \bar{x}_n a_n)] \quad 4-1-6$$

minimum fiind calculat în condițiile (4-1-5)

Se observă deci, că dacă se poate obține  $f_{n-1}(b - \bar{x}_n a_n)$  atunci problema originală s-ar reduce la rezolvare programului (4-1-5), (4-1-6), care conține doar o singură variabilă.

Pentru a vedea care este modalitatea de a obține pe  $f_{n-1}(b - \bar{x}_n a_n)$

se observă că aceasta reprezintă valoarea minimă a funcției  $\sum_{j=1}^{n-1} c_j(x_j)$  în condițiile

$$\sum_{j=1}^{n-1} a_{ij} x_j \leq b_j - a_{in} \bar{x}_n \quad i = 1, 2, \dots, n \quad (4-1-4')$$

$$x_j \geq 0 \quad j = 1, 2, \dots, n \quad (4-1-7')$$

Procedind în același mod ca în etapa precedente va rezulta

$$f_{n-1}(b - x_n a_n) = \min_{x_{n-1}} [g_{n-1}(x_{n-1}) + f_{n-2}(b - x_n a_n - a_{n-1} x_{n-1})] \quad (4-1-7)$$

în condițiile

$$0 \leq x_{n-1} \leq \min \frac{b - a_n x_n}{a_{n-1}} \quad (4-1-8)$$

$$1 \leq i \leq n$$

și unde

$$f_{n-2}(b - x_n a_n - x_{n-1} a_{n-1}) = \min_{\substack{j=1 \\ x_1, x_2, \dots, x_{n-2}}} \sum_{j=1}^{n-2} g_j(x_j)$$

variabilele  $x_1, \dots, x_{n-2}$  satisfac sistemul de restricții (4-1-2), (4-1-9)

$$\sum_{j=1}^{n-2} a_{ij} x_j \leq b_i - a_{in} x_n - a_{i,n-1} x_{n-1}, \quad i = 1, 2, \dots, n \quad (4-1-9)$$

Se obține astfel o descompunere a problemei într-o succesiune

de subprograme.

In general, la etapa  $k$  va fi de rezolvat programul

$$\min_{x_1, \dots, x_k} \sum_{j=1}^k a_{ij} x_j$$

$$\sum_{j=1}^k a_{ij} x_j \leq b_i - a_{in} x_n - \dots - a_{ik+1} x_{k+1}$$

$$x_j \geq 0 \quad j=1, 2, \dots, k$$

Valearea optimă a obiectivului fiind  $f_k(b_i - \xi_k)$

(s-a notat  $\xi_k = x_n a_n + \dots + x_{k+1} a_{k+1}$ )

Dacă în etapa  $n$  se poate obține valoarea optimă  $f_1(b - \xi_1)$

atunci  $f_2(b - \xi_2), \dots, f_{n-1}(b - \xi_{n-1})$  se pot calcula recursiv din relația

$$f_k(b - \xi_k) = \min_{x_k} [g_k(x_k) + f_{k-1}(b - \xi_k - a_k x_k)] \quad (4-1-10)$$

$$f_k(b - \xi_k) = \min_{x_k} [g_k(x_k) + f_{k-1}(\xi_k - a_k x_k)]$$

rezultând în final la  $x^* = f_n(b)$ , adică optimul căutat. Totodată

(4-1-10) dă și decizia optimă  $x_k^*$  corespondătoare fiecărei etape adică componentă  $k$  a politicii optime ( $x_1^*, x_2^*, \dots, x_n^*$ ) care nu va fi altceva decât soluția optimă a problemei initiale.

4-1-3. Aplicarea metodei programării dinamice în cadrul unei regiuni optime la profilul longitudinal.

Se consideră profilul longitudinal următor:

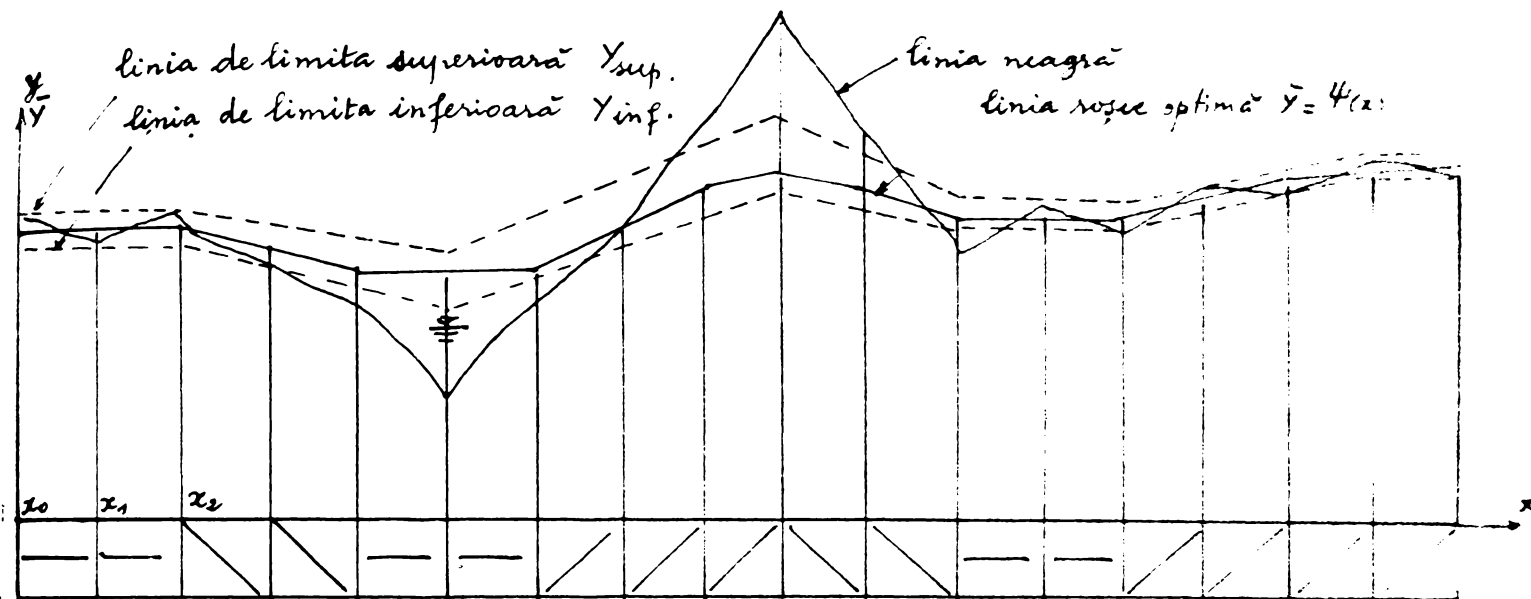


fig. 4-1-1 Profilul longitudinal al umbrăi tronson de cale ferată

În domeniul variantelor de proiectare dat de proiectant între linia de limite inferioare și linia superioară se construiește rețeaua de variație.

Pentru aceasta se împarte axa absciselor profilului longitudinal în pagi. La extremitățile pagilor, pe toate punctele caracteristice ale terenului de a lungul traseului se trasează verticale  $x_0, x_1, \dots, x_n$  (fig. 4-1-1). Verticalele sunt aşezate și pe axele lucrărilor de artă. Pe fiecare verticală, domeniul variantelor se împarte între linia de limită inferioară  $y_{inf}$  și linia de limită superioară  $y_{sup}$ , în părți având lungimea egală ( $\Delta y$ ), (fig. 4-1-2). Se numerotează cu  $0^{i-2}, 1^{i-2}, 2^{i-2}, \dots$  punctele aşezate pe verticala  $x_{i-2}$ , iar cu  $0^{i-1}, 1^{i-1}, 2^{i-1}, \dots$  punctele aşezate pe verticala  $x_{i-1}$ , etc.

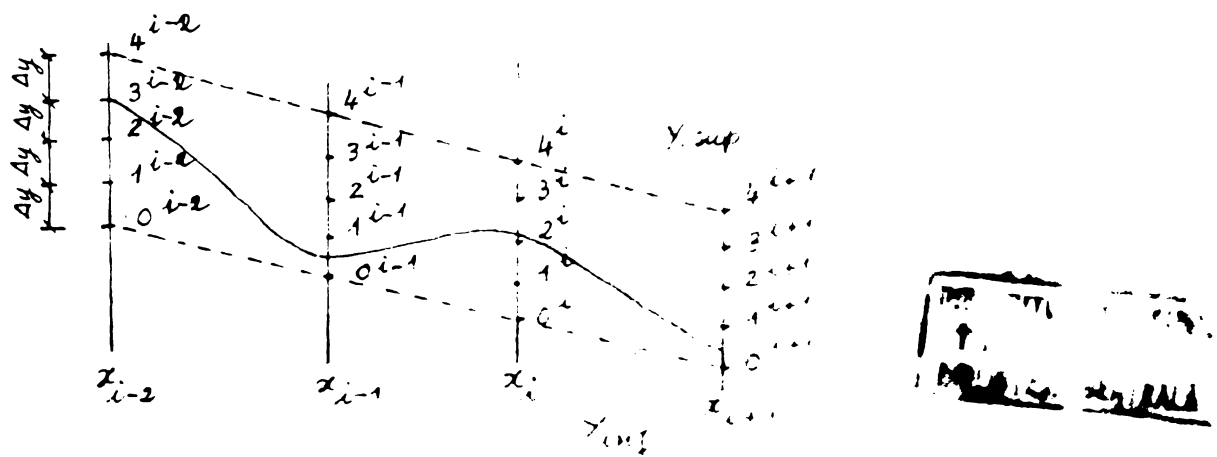


fig. 4-1-2. Rețeaua de variație

Pentru fiecare punct obținut din această divizie se va trage o linie de proiecțare și se va calcula coordonatelor sale. După acest mod de împărțire un punct de pe o verticală are ca ordonată necunoscută  $\bar{Y}_i$ ,  $j_1 = 0, 1, 2, \dots, n_i$  (indicele inferior reprezintă verticala de ordinul  $i$ , iar indicele superior corespunde punctului al  $j_i$ -lea pe aceeași verticală.)

Multimea  $\{\bar{Y}_i\}$  are valori discontinui și se variază între limitele următoare:

$$Y_{i \text{ inf}} \leq \bar{Y}_i \leq Y_{i \text{ sup}}$$

Această problemă de studiu constă în căutarea multimi:

$$\bar{Y} = \{(x_0, \bar{Y}_0), (x_1, \bar{Y}_1), \dots, (x_n, \bar{Y}_n)\}$$

care satisface condițiile (1-2-a) + (1-2-c) și asigură funcției obiectiv (1-1-a) valoarea minimă.

Pentru aceasta se folosește metoda programării dinamice. În pasul  $k$ , ( $k = 1, 2, \dots, n$ ), minimul funcției-obiectiv  $\min_k K(x, y, \bar{Y})$  se rezolvă în funcție de variabila  $\bar{Y}_k$  pe segmentul  $x_0 \leq x \leq x_k$ . În acest pas minimul funcției obiectiv depinde de funcția  $K(x, y, \bar{Y})$  în pasul  $k-1$  și de valorile funcției-obiectiv în segmentul  $x_{k-1} \leq x \leq x_k$ .

Dacă se notează cu  $K_k$  minimul funcției-obiectiv în pasul  $k$  și cu  $K_{k-1}$  minimul funcției-obiectiv în pasul  $k-1$ , atunci

$$K_k = \min_{\bar{Y}_k} [K(x, y, \bar{Y}) + K_{k-1}] \quad (4-1-11)$$

Se obține multimea valorilor  $\{K_k\}$ . Fiecare element al acestei multimi se calculează numai în punctele  $x = \{x_0, x_1, \dots, x_k\}$ . Alte valori pentru  $K$  care nu corespund valorilor așezate în mulțimea  $x = \{x_0, x_1, x_2, \dots, x_k\}$  se calculează prin interpolare.

Minimizarea formulai (4-1-11) se execută prin comparări variantele de proiecțare, care trece prin punctele așezate pe verticale.

Algoritmul se derulează în felul următor:

1.- Se unește un punct așezat pe verticală 1 cu punctele așezate pe verticală 0 și apoi cu punctele așezate pe verticală 2, prin aliniamente. [fig. 4-1-3]. Fiecare legătură care unește un punct așezat pe verticală 1

cu un punct așezat pe verticala 0 și cu un punct așezat pe verticala 2 se numește o variantă

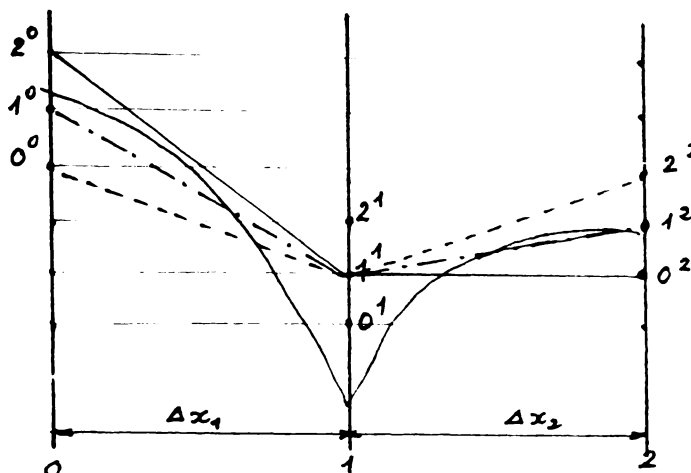


fig. 4-1-3

In fig. 4-1-3 a variantele care trece prin punctul  $l^1$  sunt:

$$\left. \begin{array}{l} 0^0 - l^1 - 0^2 \\ 1^0 - l^1 - 0^2 \\ 2^0 - l^1 - 0^2 \end{array} \right\} \text{aceste variante au segmentul comun } l^1 - 0^2$$

$$\left. \begin{array}{l} 0^0 - l^1 - 1^2 \\ 1^0 - l^1 - 1^2 \\ 2^0 - l^1 - 1^2 \end{array} \right\} \text{aceste variante au segmentul comun } l^1 - 1^2$$

$$\left. \begin{array}{l} 0^0 - l^1 - 2^2 \\ 1^0 - l^1 - 2^2 \\ 2^0 - l^1 - 2^2 \end{array} \right\} \text{aceste variante au segmentul comun } l^1 - 2^2$$

1-a. Se ia în considerare pe rind fiecare variantă, de exemplu pentru varianta  $0^0 - l^1 - 0^2$ , se calculează valorile declivităților:

$$i_1 = \frac{y_1^1 - y_0^0}{\Delta x_1}$$

$$i_2 = \frac{y_2^0 - y_1^1}{\Delta x_2}$$

Se verifică relația 1-2-a :

$$\begin{aligned} |i_1| + r_{c1} &\leq i_{adm} \\ |i_2| + r_{c2} &\leq i_{adm} \end{aligned} \quad (1-2-a')$$

unde  $r_{c1}, r_{c2}$  - rezistență dată de curbă în pasul 1 (între vîrticula 0 și vîrticula 1), respectiv în pasul 2 (între vîrticula 1 și vîrticula 2)

Dacă una din inegalitățile (1-2-a') nu este satisfăcătoare, se abandonează această variantă și se trasează punctul (1-c) al algoritmului.

Dacă aceste inegalități sunt satisfăcute se trece la punctul următor.

1-b. Se calculează diferențele algebrice dintre valorile declivităților elementelor alăturate în profil longitudinal:

$$\Delta i_1 = i_1 - i_0$$

$$\Delta i_2 = i_2 - i_1$$

unde  $i_0$  - valoarea declivității elementului de profil din fața elementului 1

Se verifică relația (1-2-b) :

$$\begin{aligned} |\Delta i_1| &\leq \Delta i_{\text{adm}} \\ |\Delta i_2| &\leq \Delta i_{\text{adm}} \end{aligned} \quad (1-2-b')$$

Dacă una din inegalitățile (1-2-b') nu este satisfăcută se abandonează această variantă și se trece la punctul (1-g) al algoritmului.

Dacă aceste inegalități sunt satisfăcute se trece la punctul următor.

1-c. Se verifică punctele cu cotele obligatorii în pasul 1 și în pasul 2, adică se verifică condiția (1-2-d) .

Dacă relația (1-2-d) nu este satisfăcută se abandonează varianta și se trece la punctul (1-g) al algoritmului.

Dacă relația (1-2-d) este satisfăcută se trece la punctul următor.

1-d. Se calculează volumul de terasament, volumul lucrărilor de artă și apoi se stabilesc cheltuielile de construcții.

1-e. Se calculează cheltuielile anuale de exploatare.

1-f. Se determină valoarea funcției-obiectiv, care se calculează la începutul profilului longitudinal pînă la verticala  $i$

1-g. Se compară numărul variantelor calculate cu numărul variantelor care trece printr-un punct de pe verticala 1. Este ușor de observat că numărul variantelor trece printr-un punct pe verticala  $i$  se calculează după relația  $n_v = n_{i-1} \cdot n_{i+1}$  unde  $n_{i-1}, n_{i+1}$  - numărul punctelor așezate pe verticala  $(i-1)$  și respectiv pe verticala  $(i+1)$ .

Dacă mai există o variantă care trebuie să se ia în considerare,

se intorce la punctul (1-a) al algoritmului cu altă variantă.

Dacă nu mai există varianță care trebuie să se ia în considerare se trece la punctul (1-h).

1-h. Se compară variantele calculate și se alege varianta cea mai bună dintre ele. Prin varianta aleasă se precizează legătura dintre punctul  $l^1$  cu punctele așezate pe verticala 0.

Se calculează valoarea funcției obiectiv în punctul  $l^1$

2.- Întru variantele care trec prin alte puncte așezate pe verticala 1 se procedează la fel ca mai sus (pentru varianta trecând prin punctul  $l^1$ ).

Așafel, la sfîrșitul primului pas se obține un număr de  $n_1$  variante cele mai bune. În procesul prezentat rezultă că pe verticala 1 se află un număr de  $n_1$  puncte deci există un număr de  $n_1$  variante cele mai bune.

3.- Procedind în același mod ca pînă acum pentru următorii pași se obține soluția optimă a problemei.

În algoritmul prezentat mai sus se consideră în același timp doi pași alăturati dintre verticala 0 și verticala 2 pentru că diferența  $\Delta h$  a declivității dintre două elemente alăturate are caracteristică de răspindire între doi pași, [28]. Aceasta influențează la alegerea soluției cele mai bune dintre variantele care trec printr-un punct așezat pe verticala 1, mai ales în poziția de groapă sau în poziția de vîrf a profilului longitudinal. În fig. 4-1-3a dacă se presupune că  $i_{adm} = 8.5^\circ$ ,  $\Delta y = 1^m$ ,  $\Delta x_1 = \Delta x_2 = 500\text{ m}$ , dintre variantele care trec prin punctul  $l^1$  se alege varianta  $l^0 - l^1 - l^2$ , iar dacă se consideră numai un pas din variantele care trec prin punctul  $l^1$  se alege varianta  $l^0 - l^1 - l^2$ .

După cum se știe, cheltuielile de exploatare depind de numărul trenurilor, de viteza trenului, de alți factori ai explotării și de caracteristicile tehnice ale căii ferate. Aceste cheltuieli trebuie să se calculeze pe ambele sensuri de circulație.

În procesul de căutare a liniei rogii optime cu ajutorul metodei programării dinamice, partea cheltuielilor de exploatare este calculată numai pe direcție de la începutul la sfîrșitul profilului longitudinal, iar pe direcția inversă această parte nu se poate calcula fiindcă nu se știe viteză trenului care se întoarce în punctul de calcul.

In vederea considerării ambelor părți de cheltuieli (de construcție și de exploatare) căutarea liniei de proiectare se face în felul următor:

- La început se caută linia roșie optimă din cheltuielile de construcții cu ajutorul metodei programării dinamice.

- Se calculează cheltuielile de exploatare pentru această variantă pe ambele sensuri de circulație și se stabilește valoarea funcției obiectiv.

- Apoi în zona de groapă și în zona de virf a profilului longitudinal se determină punctele 1, 2, 3, ... (fig. 4-1-4) Prin aceste puncte și în ordinea obligatorie se realizează analog variantele nici ale liniei de proiectare. Pentru fiecare variantă se calculează pe rînd cheltuielile de construcție, cheltuielile de exploatare (în ambele sensuri de circulație) și valoarea funcției-obiectiv.

Ridicarea poziției liniei de proiectare în zona de groapă și coborârea poziției liniei de proiectare în zonă de virf conduc la reducerea cheltuielilor de exploatare pentru că declivitatea elementelor de profil descrește. Aceste lucruri se execută pînă cînd valoarea funcției-obiectiv nu începe să crească. Astfel se obține soluția optimă a problemei.

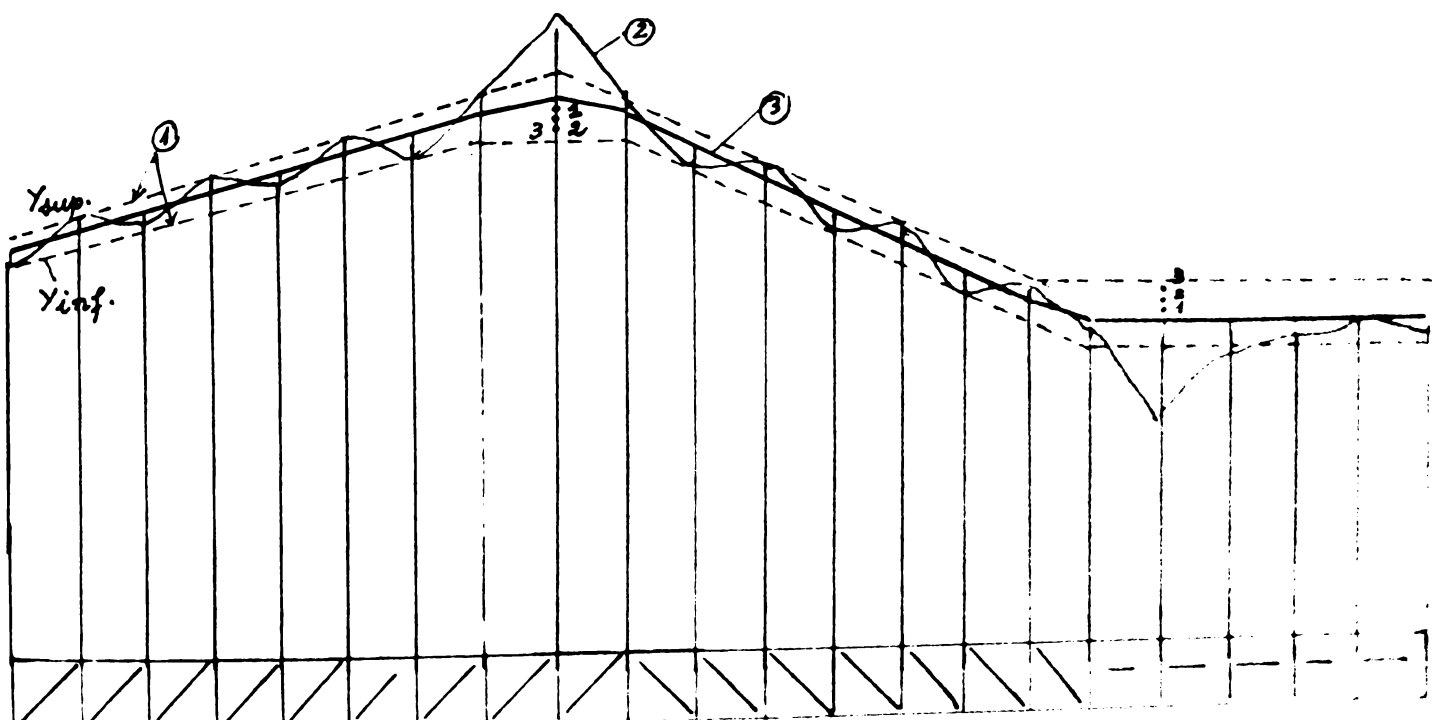
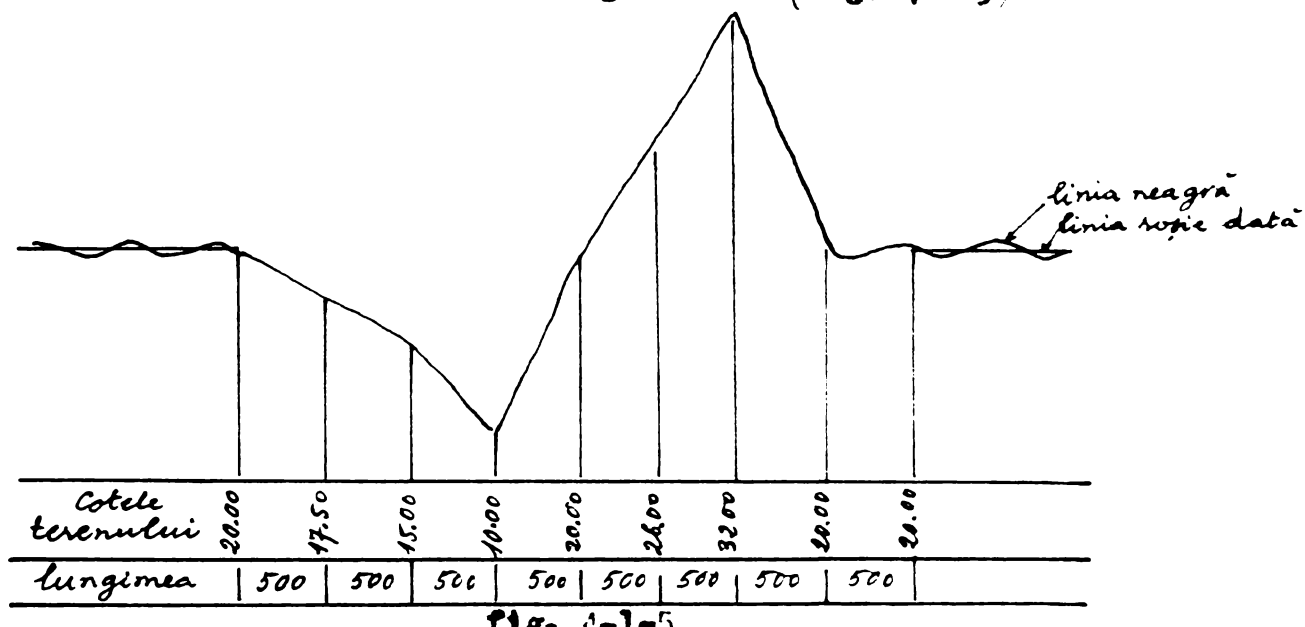


fig. 4-1-4 Schema explicativă, la coborârea și ridicarea poziției liniei de proiectare în zonă de virf și în zonă de groapă.

- ① -linia de limită superioară și inferioară
- ② -linia neagră
- ③ -linia roșie pentru care cheltuielile de construcție sunt minime.

#### 4-1-4. Răsolvarea unui exemplu.

Fiind dat profilul longitudinal (fig. 4-1-5)



Să se determine linia roșie care face minimul cheltuielilor de construcție și satisfac următoarele date:

-declivitatea liniei  $i_{adm} = 8\%$

-diferența admisă dintre valoarea declivităților elementelor alăturate  $\Delta i_{adm} \leq 8\%$

-lungimea elementului de profil  $l_{adm} \geq 500 \text{ m}$

In domeniul variantelor de proiectare dat de proiectant se construiesc reieseau de variație.

Pentru aceasta pe toate punctele caracteristice ale terenului de-a lungul traseului analizat se ridică verticalele 1, 1, 2, 2, 4, 5, 6, 7, 8, 9, 10, 11. Verticalele sunt aşezate și pe axele lunorilor de artă. În fiecare verticală domeniul variantelor de proiectare se împarte între  $y_{inf.}$  și  $y_{sup.}$  în părți având distanță egală de 1 m. Numărul de diviziuni pe verticală 1 se numără cu 0<sup>1</sup>, 1<sup>1</sup>, 2<sup>1</sup>, iar pe verticală 2 cu 0<sup>2</sup>, 1<sup>2</sup>, 2<sup>2</sup>, 3<sup>2</sup> și pentru alte verticale se face în același mod.

Domeniul variantelor de proiectare dat de proiectant

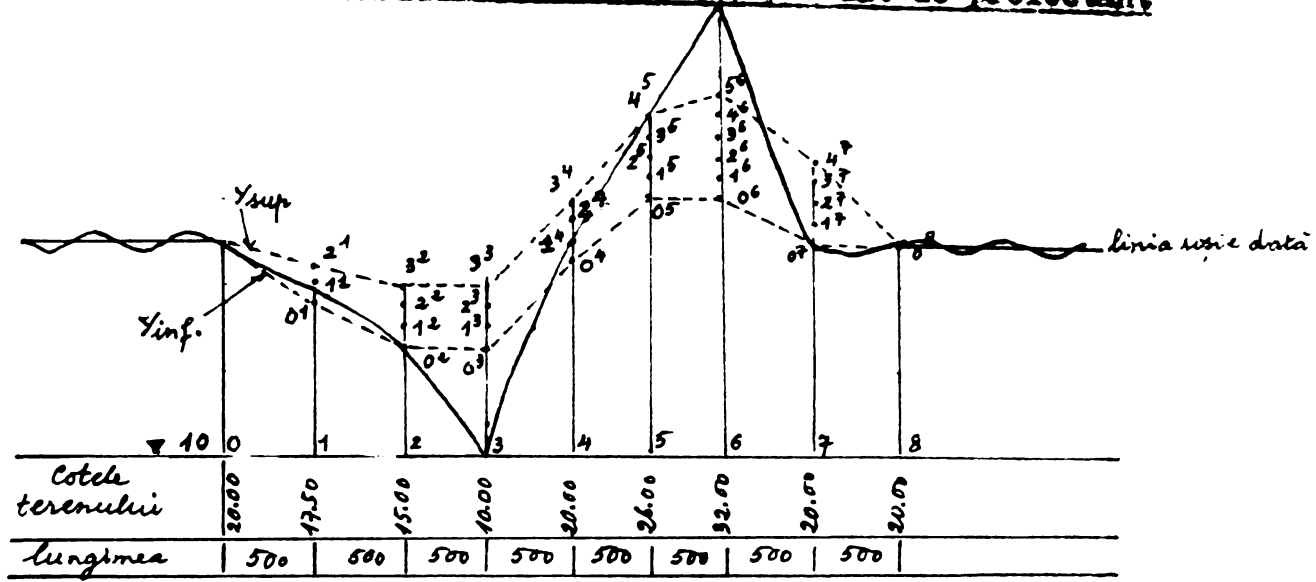
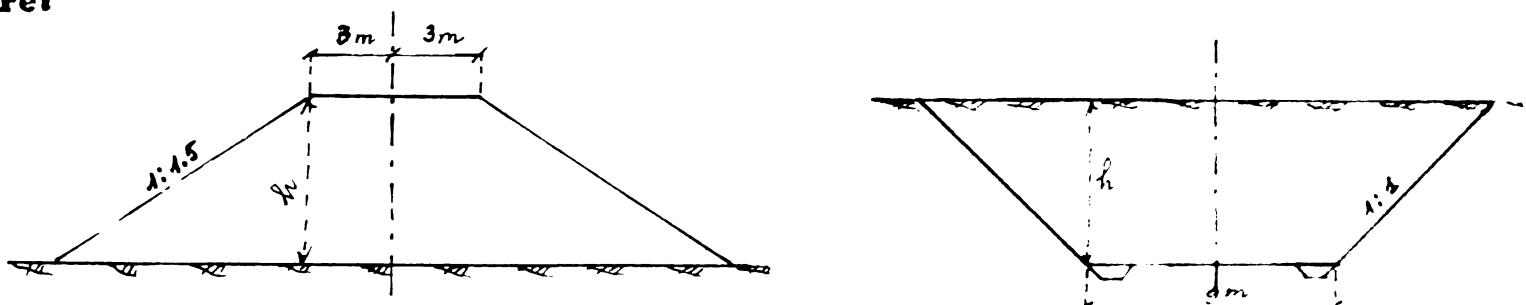


fig. 4-1-6

Alegerea și eliminarea variantelor de proiectare se face după verificarea relațiilor (1-2-a) - (1-2-e) și prin comparația dintre ele. În acest exemplu pentru simplificare presupunem că nu ținem seama de înclinarea terenului pe profilul transversal și calculăm suprafața și volumul terasanamentului numai în extremitățile pasilor. Profilele transversale pot avea formele următoare:



În aceste cazuri suprafața de umplutură este  $S^u = (6+1,5h) h$

iar suprafața de săpătură este  $S^d = (9+h) h$  (4-1-18)

Volumul de umplutură dintre 2 profile transversale este:

$$V_{u_{m-n}} = \frac{S^u + S^d}{2} l m^3$$

Volumul săpăturii dintre 2 profile transversale este:

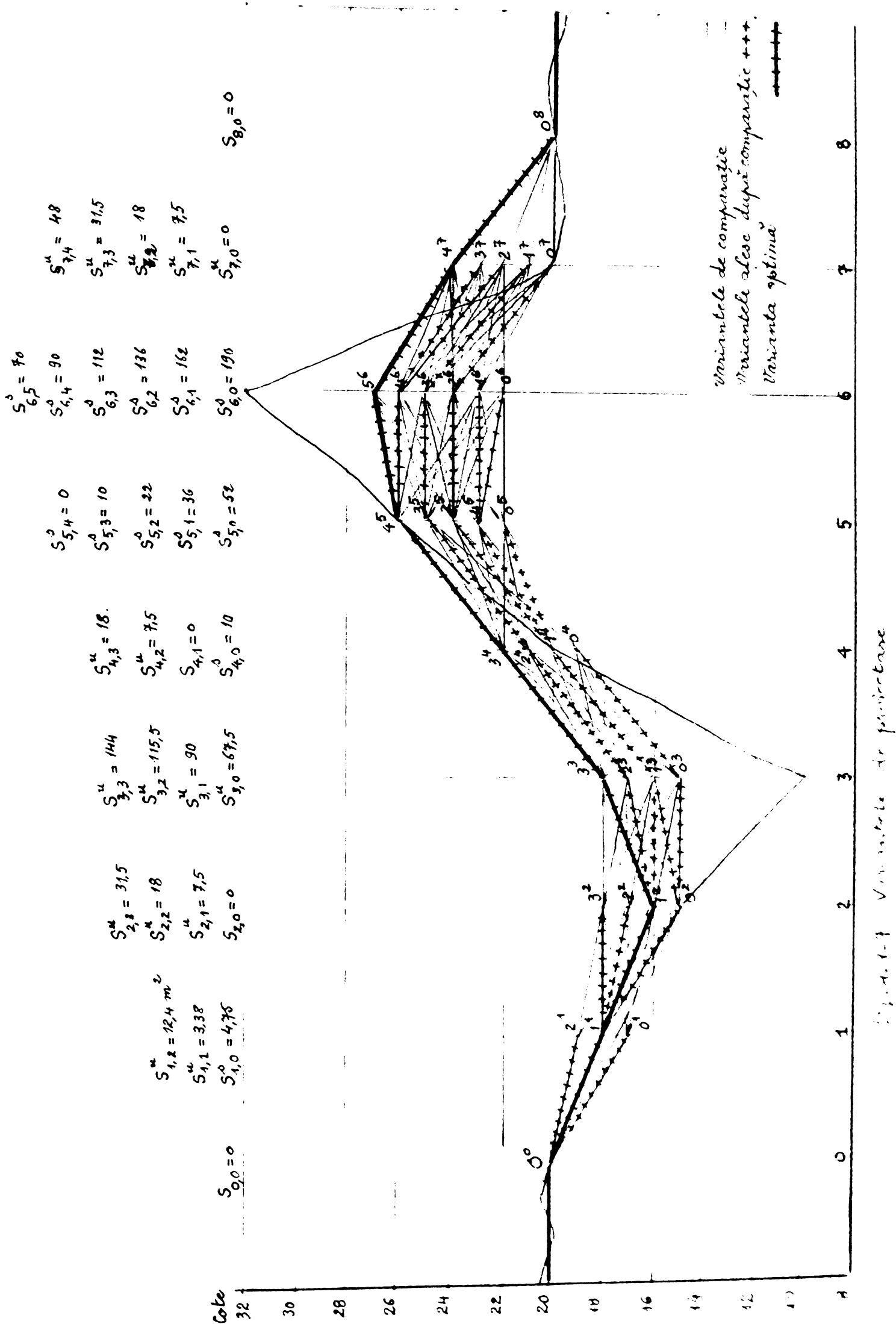
$$V_{s_{m-n}} = \frac{S^d - S^u}{2} l m^3$$

unde  $l$  - distanța dintre 2 profile transversale din care se calculează volumul.

În acest exemplu luăm: - prețul de umplutură 10 u.b./m<sup>3</sup>

- prețul de săpătură 50 u.b./m<sup>3</sup>

u.b. - unități binegăti



Se notează ca:

- $S_{i,k}^n$  - suprafața profilului transversal în umplutură, care se calculează în punctul  $k$  așezat pe verticala  $i$
- $S_{i,k}^n$  - suprafața profilului transversal în săptură, care se calculează în punctul  $k$  așezat pe verticala  $i$
- $V_{m-n}^{k_1, k_2}$ ,  $V_{m-n}^{k_1, k_2}$  - volumul terasamentului de umplutură și respectiv de săptură al tronsonului  $m-n$  de la verticala  $m$  pînă la verticala  $n$  și acest volum se calculează cînd linia roșie trece în punctul  $k_1$  așezat pe verticala  $m$  și la punctul  $k_2$  așezat pe verticala  $n$
- $V_{m-n}^{k_1, 0}$ ,  $V_{m-n}^{k_2, 0}$  - volumul de umplutură și respectiv de săptură al tronsonului  $m-n$  calculat de la punctul de încrucișare dintre linia neagră și linia roșie ( $0$ )
- $C^{0-m}$  - costul terasamentului pentru tronsonul  $0-m$ .

la fig. 4-1-7 Variantele de proiectare:

Se unesc punctele  $0^1, 1^1, 2^1$  așezate pe verticala 1 cu punctele  $0^0$  așezat pe verticala 0, apoi se unesc punctele  $0^0, 1^2, 2^2, 3^2$  așezate pe verticala 2 cu fiecare punct așezat pe verticala 1, fig. 4-1-7

#### I. Pasul 1.

1.- Se iau în considerare variantele care trece prin punctul  $0^1$ .

Pentru fiecare variantă trebuie să se efectueze următoarele faze.

-Se verifică condițiile  $1-2-a = 1-2-b$

-Se calculează diferența dintre cele două linii roșii și coloanele terenului

-Se stabilesc suprafețele secțiunilor transversale

-Se determină punctul de încrucișare între linia roșie și linia neagră

-Se calculează volumul terasamentului de umplutură și de săptură

-Se stabilesc cheltuielile de construcție

Pentru varianta  $0^0-0^1-0^2$

$$V_{0-1}^{0,0} = 1185 \text{ m}^3$$

$$V_{0-2}^{0,0} = 1185 \text{ m}^3$$

$$C^{0-2} = 50(1165+1185) = 118500 \text{ u.b. (unități baremări)} \quad *$$

Pentru varianta  $0^0 - 0^1 - 1^2$

$$V_{S_{0-1}}^{0,0} = 1185 \text{ m}^3$$

$$V_{S_{1-2}}^{0,x} = \frac{4875}{2} 167 = 396 \text{ m}^3$$

$$V_{H_{1-2}}^{1,1} = \frac{755}{2} 333 = 1249 \text{ m}^3$$

$$C^{0-2} = 50(1185+396) + 10 \times 1249 = 91540 \text{ u.b.}$$

Pentru varianta  $0^0 - 0^1 - 2^2$

$$V_{S_{0-1}}^{0,0} = 1185 \text{ m}^3$$

$$V_{S_{1-2}}^{0,x} = \frac{4875}{2} 100 = 237 \text{ m}^3$$

$$V_{H_{1-2}}^{x,2} = \frac{15}{2} 400 = 3600 \text{ m}^3$$

$$C^{0-2} = 50(1185+237) + 10 \times 3600 = 107100 \text{ u.b.}$$

Pentru varianta  $0^0 - 0^1 - 3^2$

$$V_{S_{0-1}}^{0,0} = 1185 \text{ m}^3$$

$$V_{S_{1-2}}^{0,x} = \frac{4875}{2} 70 = 166 \text{ m}^3$$

$$V_{H_{1-3}}^{x,3} = \frac{1165}{2} 430 = 6773 \text{ m}^3$$

$$C^{0-2} = 50(1185+166) + 10 \times 6773 = 135230 \text{ u.b.}$$

Dintre variantele care trece prin punctul  $0^1$  se alege varianta

$$0^0 - 0^1 - 1^2$$

2.- Se iau în considerare variantele care trece prin punctul  $1^1$ ,

Pentru varianta  $0^0 - 1^1 - 0^2$

$$V_{U_{0-1}}^{0,1} = 845 \text{ m}^3$$

$$V_{U_{1-2}}^{1,0} = 845 \text{ m}^3$$

$$C^{0-2} = 10(845+845) = 16900 \text{ u.b.}$$

Pentru varianta  $0^0 - 1^1 - 1^2$

$$V_{U_{0-1}}^{0,1} = 845 \text{ m}^3$$

$$V_{U_{1-2}}^{1,1} = \frac{3653+755}{2} 500 = 2720 \text{ m}^3$$

$$C^{0-2} = 10(845+2720) = 35650 \text{ u.b.}$$

In relația cu lungimea căii în zăpătura este de 167 m, iar în amplătură 333 m.

Pentru varianta  $0^0 - 1^1 - 2^2$

$$v_u_{0-1}^{0,1} = 845 \text{ m}^3$$

$$v_u_{1-2}^{1,2} = \frac{3,38+18}{2} 500 = 5345 \text{ m}^3$$

$$c^{0-2} = 10(845+5345) = 61900 \text{ u.b.}$$

Pentru varianta  $0^0 - 1^1 - 3^2$

$$v_u_{0-1}^{0,1} = 845 \text{ m}^3$$

$$v_u_{1-2}^{1,3} = \frac{3,38+31,5}{2} 500 = 8720 \text{ m}^3$$

$$c^{0-2} = 10(845+8720) = 95650 \text{ u.b.}$$

Dintre variantele care trece prin punctul  $1^1$  se alege varianta  $0^0 - 1^1 - 1^2$

3.- Se ia în considerare variantele care trece prin punctul  $2^1$

Pentru varianta  $0^0 - 2^1 - 0^2$

$$v_u_{0-1}^{0,2} = 3100 \text{ m}^3$$

$$v_u_{1-2}^{0,0} = 3100 \text{ m}^3$$

$$c^{0-2} = 10(3100+3100) = 62000 \text{ u.b.}$$

Pentru varianta  $0^0 - 2^1 - 1^2$

$$v_u_{0-1}^{0,2} = 3100 \text{ m}^3$$

$$v_u_{1-2}^{2,1} = \frac{12,40+7,5}{2} 500 = 4975 \text{ m}^3$$

$$c^{0-2} = 10(3100+4975) = 80750 \text{ u.b.}$$

Pentru varianta  $0^0 - 2^1 - 2^2$

$$v_u_{0-1}^{0,2} = 3100 \text{ m}^3$$

$$v_u_{0-1}^{0,2} = \frac{12,40+12}{2} 500 = 7600 \text{ m}^3$$

$$c^{0-2} = 10(3100+7600) = 107000 \text{ u.b.}$$

Pentru varianta  $0^0 - 2^1 - 3^2$

$$v_u_{0-1}^{0,2} = 3100 \text{ m}^3$$

$$v_u_{1-2}^{2,3} = \frac{12,40+31,5}{2} 500 = 10975 \text{ m}^3$$

$$c^{0-2} = 10(3100+10975) = 140750 \text{ u.b.}$$

Dintre 4 variante care trece prin punctul  $2^1$  se alege varianta

$$0^0 - 2^1 - 0^2$$

Astfel în pasul 1, de la verticala 0 pînă la verticala 1 există 3 variante:  $0^0 - 0^1$ ,  $0^0 - 1^1$ ,  $0^0 - 2^1$ . Se calculează cheltuielile de construcții pentru fiecare variantă și se obțin:

varianta  $0^0 - 1^1$  cu costul de construcție de 59250 u.b.

varianta  $0^0 - 1^1$  cu costul de construcție dc 8450 u.b.

varianta  $0^0 - 2^1$  cu costul de construcție de 31000 u.b.

### II. Pasul 2.

Se unesc punctele  $0^2$ ,  $1^2$ ,  $2^2$ ,  $3^2$  așezate pe verticala 2 cu fiecare punct așezat pe verticala 1, apoi se unesc punctele  $0^3$ ,  $1^3$ ,  $2^3$ ,  $3^3$  așezate pe verticala 3 cu punctele așezate pe verticala 2.

a.- Se iau în considerare variantele care trec prin punctul  $0^2$ :

a.1.- Variantele cu segmentul comun  $0^2 - 0^3$ :

Pentru varianta  $0^0 - 0^1 - 0^2 - 0^3$

$$V_{u,1-2}^{0,0} = 1185 \text{ m}^3$$

$$V_{u,2-3}^{0,0} = \frac{675}{2} 500 = 16875 \text{ m}^3$$

$$C^{0-3} = 59250 + 50 \times 1185 + 10 \times 16875 = 207250 \text{ u.b.}$$

Pentru varianta  $0^0 - 1^1 - 0^2 - 0^3$

$$V_{u,1-2}^{1,0} = 845 \text{ m}^3$$

$$V_{u,2-3}^{1,0} = 16875 \text{ m}^3$$

$$C^{1-3} = 8450 + 10(845 + 16875) = 185650 \text{ u.b.}$$

Pentru varianta  $0^0 - 2^1 - 0^2 - 0^3$

$$V_{u,1-2}^{2,0} = 3100 \text{ m}^3$$

$$V_{u,2-3}^{2,0} = 16875 \text{ m}^3$$

$$C^{2-3} = 3100 + 10(3100 + 16875) = 230750 \text{ u.b.}$$

a.2.- Se iau în considerare variantele care trec prin punctul  $0^2$  și au segmentul comun  $0^2 - 1^3$  și

Pentru varianta  $0^0 - 0^1 - 0^2 - 1^3$

$$V_{u,1-2}^{0,0} = 1185 \text{ m}^3$$

$$V_{u,2-3}^{0,1} = \frac{22}{2} 500 = 55000 \text{ m}^3$$

$$C^{0-3} = 59250 + 50x1185 + 10x22500 = 344000 \text{ u.b.}$$

Pentru varianta  $0^0 - 1^1 - 0^2 - 1^3$

$$v_{u_{1-2}}^{1,0} = 845 \text{ m}^3$$

$$v_{u_{2-3}}^{0,1} = 22500 \text{ m}^3$$

$$C^{0-3} = 8450 + 10(845 + 22500) = 241300 \text{ u.b.}$$

Pentru varianta  $0^0 - 2^1 - 0^2 - 1^3$  relația (1-2-b) nu este satisfăcută, de aceea se abandonează.

a.3.- Se iau în considerare variantele care trec prin punctul  $0^2$  și au segmentul comun  $0^2 - 2^3$

Pentru varianta  $0^0 - 0^1 - 0^2 - 2^3$

$$v_{u_{1-2}}^{0,2} = 1185 \text{ m}^3$$

$$v_{u_{2-3}}^{0,2} = \frac{11505}{2} 500 = 28875 \text{ m}^3$$

$$C^{0-3} = 59250 + 50x1185 + 10x28875 = 407250 \text{ u.b.}$$

Pentru variantele  $0^0 - 1^1 - 0^2 - 2^3$ ,  $0^0 - 2^1 - 0^2 - 2^3$  condiția (1-2-b) nu este satisfăcută, de aceea se abandonează.

a.4.- Se iau în considerare variantele care trec prin punctul  $0^2$  și au segmentul comun  $0^2 - 3^3$ .

Pentru aceste variante ( $0^0 - 1^1 - 0^2 - 3^3$ ;  $0^0 - 1^1 - 0^2 - 3^3$ ;  $0^0 - 2^1 - 0^2 - 3^3$ ) condiția (1-2-b) nu este satisfăcută, de aceea ele se abandonează.

Dintre variantele care trec prin punctul  $0^2$  se alege varianta  $0^0 - 1^1 - 0^2 - 0^3$ .

B.- Acum se iau în considerare pe rând variantele care trec prin punctele  $1^2$ ,  $2^2$ ,  $3^2$ .

Se repete procedeul de mai sus și se obține:

-varianta  $0^0 - 1^1 - 1^2 - 0^3$  dintre variantele trecind prin punctul  $1^2$

-varianta  $0^0 - 1^1 - 2^2 - 0^3$  dintre variantele trecind prin punctul  $2^2$

-varianta  $0^0 - 1^1 - 3^2 - 0^3$  din variantele trecind prin punctul  $3^2$

Astfel în paralel 2, de la vîrticula 0 pînă la vîrticulă 2 există 4 variante bune:

$$0^0 - 1^1 - 1^2$$

$$0^0 - 1^1 - 2^2$$

$$0^0 - 1^1 - 3^2$$

Se calculează cheltuielile de construcție pentru fiecare din aceste variante și se obțin:

-varianta 0° - 1<sup>1</sup> - 0<sup>2</sup> cu costul de 16900 u.b.

-varianta 0° - 1<sup>1</sup> - 1<sup>2</sup> cu costul de 35650 u.b.

-varianta 0° - 1<sup>1</sup> - 2<sup>2</sup> cu costul de 61900 u.b.

-varianta 0° - 1<sup>1</sup> - 3<sup>2</sup> cu costul de 95650 u.b.

Procedând în același mod ca pînă acum pentru pagii 3, 4, 5, 6, 7, 8

se obțin:

-pentru pasul 3, variantele

|   |              |             |
|---|--------------|-------------|
| 0° - 1 <sup>1</sup> - 0 <sup>2</sup> - 0 <sup>3</sup> | cu costul de | 185650 u.b. |
| 0° - 1 <sup>1</sup> - 0 <sup>2</sup> - 1 <sup>3</sup> | cu costul de | 241900 u.b. |
| 0° - 1 <sup>1</sup> - 1 <sup>2</sup> - 0 <sup>3</sup> | cu costul de | 343150 u.b. |
| 0° - 1 <sup>1</sup> - 1 <sup>2</sup> - 3 <sup>3</sup> | cu costul de | 414400 u.b. |

-pentru pasul 4, variantele

|  |              |             |
|--|--------------|-------------|
| 0° - 1 <sup>1</sup> - 0 <sup>2</sup> - 0 <sup>3</sup> - 0 <sup>4</sup> | cu costul de | 447200 u.b. |
| 0° - 1 <sup>1</sup> - 0 <sup>2</sup> - 1 <sup>3</sup> - 1 <sup>4</sup> | cu costul de | 456900 u.b. |
| 0° - 1 <sup>1</sup> - 1 <sup>2</sup> - 0 <sup>3</sup> - 1 <sup>4</sup> | cu costul de | 650650 u.b. |
| 0° - 1 <sup>1</sup> - 1 <sup>2</sup> - 3 <sup>3</sup> - 3 <sup>4</sup> | cu costul de | 819400 u.b. |

-pentru pasul 5, variantele

|   |              |              |
|---|--------------|--------------|
| 0° - 1 <sup>1</sup> - 0 <sup>2</sup> - 1 <sup>3</sup> - 1 <sup>4</sup> - 0 <sup>5</sup> | cu costul de | 1116900 u.b. |
| 0° - 1 <sup>1</sup> - 0 <sup>2</sup> - 1 <sup>3</sup> - 1 <sup>4</sup> - 1 <sup>5</sup> | cu costul de | 916900 u.b.  |
| 0° - 1 <sup>1</sup> - 0 <sup>2</sup> - 1 <sup>3</sup> - 1 <sup>4</sup> - 2 <sup>5</sup> | cu costul de | 741200 u.b.  |
| 0° - 1 <sup>1</sup> - 1 <sup>2</sup> - 0 <sup>3</sup> - 1 <sup>4</sup> - 3 <sup>5</sup> | cu costul de | 782500 u.b.  |
| 0° - 1 <sup>1</sup> - 1 <sup>2</sup> - 3 <sup>3</sup> - 3 <sup>4</sup> - 4 <sup>5</sup> | cu costul de | 864400 u.b.  |

-pentru pasul 6, variantele

|  |              |              |
|--|--------------|--------------|
| 0° - 1 <sup>1</sup> - 0 <sup>2</sup> - 1 <sup>3</sup> - 1 <sup>4</sup> - 1 <sup>5</sup> - 0 <sup>6</sup> | cu costul de | 373140 u.b.  |
| 0° - 1 <sup>1</sup> - 0 <sup>2</sup> - 1 <sup>3</sup> - 1 <sup>4</sup> - 1 <sup>5</sup> - 1 <sup>6</sup> | cu costul de | 3391300 u.b. |
| 0° - 1 <sup>1</sup> - 0 <sup>2</sup> - 1 <sup>3</sup> - 1 <sup>4</sup> - 2 <sup>5</sup> - 2 <sup>6</sup> | cu costul de | 2716400 u.b. |
| 0° - 1 <sup>1</sup> - 1 <sup>2</sup> - 0 <sup>3</sup> - 1 <sup>4</sup> - 3 <sup>5</sup> - 3 <sup>6</sup> | cu costul de | 2471400 u.b. |
| 0° - 1 <sup>1</sup> - 1 <sup>2</sup> - 3 <sup>3</sup> - 3 <sup>4</sup> - 3 <sup>5</sup> - 4 <sup>6</sup> | cu costul de | 2302400 u.b. |
| 0° - 1 <sup>1</sup> - 1 <sup>2</sup> - 3 <sup>3</sup> - 3 <sup>4</sup> - 3 <sup>5</sup> - 5 <sup>6</sup> | cu costul de | 1739400 u.b. |

-pentru pasul 7, variantele

|   |              |              |
|---|--------------|--------------|
| $0^0 - 1^1 - 0^2 - 1^3 - 1^4 - 2^5 - 2^6 - 0^7$ | cu costul de | 4416900 u.b. |
| $0^0 - 1^1 - 1^2 - 2^3 - 2^4 - 3^5 - 3^6 - 1^7$ | cu costul de | 3474860 u.b. |
| $0^0 - 1^1 - 1^2 - 3^3 - 3^4 - 4^5 - 4^6 - 2^7$ | cu costul de | 2964450 u.b. |
| $0^0 - 1^1 - 1^2 - 3^3 - 3^4 - 4^5 - 4^6 - 3^7$ | cu costul de | 2935000 u.b. |
| $0^0 - 1^1 - 1^2 - 3^3 - 3^4 - 4^5 - 5^6 - 4^7$ | cu costul de | 2279180 u.b. |

-pentru ultimul pas, variantele

|   |                           |
|---|---------------------------|
| $0^0 - 1^1 - 1^2 - 3^3 - 3^4 - 4^5 - 5^6 - 4^7 - 0^8$ | cu costul de 1779180 u.b. |
|---|---------------------------|

Linia roșie cu cheituriile de construcții minime este varianta

$$0^0 - 1^1 - 1^2 - 3^3 - 3^4 - 4^5 - 5^6 - 4^7 - 0^8 \quad (\text{vezi Fig. 4-1-7})$$

**4-2. Metoda gradientului și aplicarea ei în elaborarea liniei roșii optime la profilul longitudinal.**

Autorul lucrării [10] a aplicat metoda gradientului în elaborarea liniei roșii optime la profilul longitudinal al drumului.

**4-2-1. Descrierea metodei.**

Pentru claritatea metodei se folosește un model geometric considerind funcția de două variabili  $\varphi = \varphi(q_1, q_2)$ . Metoda se poate generaliza ușor.

În fig. 4-2-1 este prezentată o suprafață  $\varphi = \varphi(q_1, q_2)$  pe care trebuie să se caute punctul minim M, presupus unic

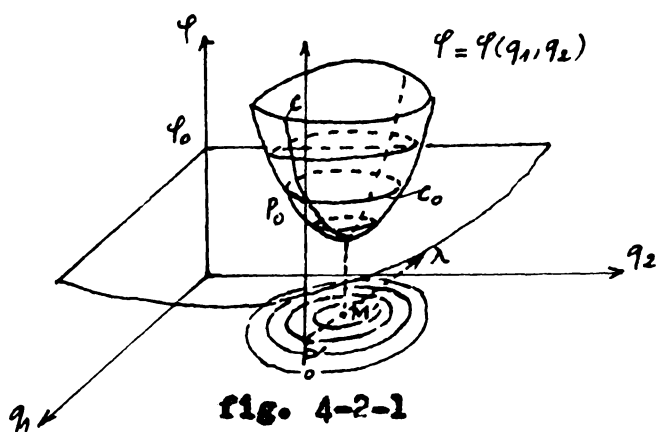


fig. 4-2-1

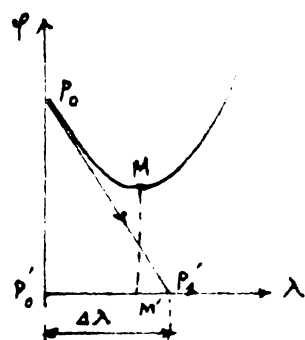


fig. 4-2-2

Coresponditor primei aproximări, punctul reprezentativ este  $P_0^0 (q_1^0, q_2^0)$  iar valoarea funcției corespunzătoare  $\varphi^0$ . Intersecția suprafeței  $\varphi$  cu planul  $\varphi = \varphi^0$  dă curba  $C_0$ . Planul normal al acestei curbe  $P_0^0$  intersectează suprafață după o curbă C. După cum se știe, coborîrea cea mai rapidă se poate face de a lungul acestei curbe. În planul  $(q_1, q_2)$  acesta corespunde direcției gradientului funcției  $\varphi(q_1, q_2)$  în  $P_0^0$ ; pentru a determina mișcarea punctului deplasării se consideră variația în planul coborîrii cele mai rapide către minim, alegind ca variabila parametrul  $\lambda$  (fig. 4-2-2). În planul  $(\lambda)$  utilizând dezvoltarea în serie Taylor în jurul punctului  $P_0^0$  și reținind termenii pînă la cel de ordinul doi, se poate scrie

$$\varphi = \varphi_0 + (\Delta \varphi) \frac{d\varphi_0}{d\lambda} + \dots + \frac{d^2\varphi_0}{d\lambda^2} \quad 4-2-3$$

Condiția de minim devine

$$\frac{d\varphi}{d\lambda} = 0 \quad 4-2-4$$

De unde rezultă pasul deplasării

$$\Delta \lambda = - \frac{\frac{d\varphi}{d\lambda}}{\frac{d^2\varphi}{d\lambda^2}} \quad (4-2-5)$$

Corespunzător, se obțin evident

$$\begin{aligned} \Delta q_1 &= \frac{\frac{d\varphi}{dq_1}}{\left| \text{grad } \varphi \right|} \Delta \lambda \\ \Delta q_2 &= \frac{\frac{d\varphi}{dq_2}}{\left| \text{grad } \varphi \right|} \Delta \lambda \end{aligned} \quad (4-2-6)$$

In urma acestui "pas" se va ajunge într-un punct  $P_1$  după care urmează o nouă apropiere etc.

Dezavantajul metodei constă în necesitatea de a calcula derivatele a două a funcției ceea ce complice procedeul. Uneori, metoda se modifică, împunindu-se mărimea pasului și prevăzând o diminuare treptată a acestuia pe măsură desfășurării procesului iterativ.

E.V. Booth [37] procedează similar, reținind însă în ecuația (4-2-3) numai termenul de ordinul 1.

$$\varphi = \varphi_o + \Delta \lambda \frac{d\varphi_o}{d\lambda} \quad (4-2-7)$$

Aceasta corespunde coboririi în planul  $(\varphi, \lambda)$  după tangentă în  $P_o$  (fig. 4-2-2) pînă în punctul de intersecție cu axa absciselor. Calculul variațiilor parametrilor  $q_1, q_2$  se face deasemenea cu (4-2-6) după care urmează, ca și în cazul precedent, o nouă iterație din punctul  $P_1$  astfel determinat.

Este de menționat că metoda relaxării [16] - mult aplicată în procesul de optimizare la drumuri - folosește deplasarea succesivă prin schimbare cîte unui singur parametru  $q_1$ , restul parametrilor fiind blocați. Metoda relaxării este în principiu similară metodei gradientului însă raportarea se face la un plan de secțiune paralel cu plan  $(\varphi, q_1)$ .

Conform relației (4-2-3) se obține

$$\varphi = \varphi_o + (\Delta q_1) \frac{d\varphi_o}{dq_1} + \frac{1}{2} \cdot (\Delta q_1)^2 \frac{d^2\varphi_o}{dq_1^2} \quad (4-2-8)$$

De unde rezultă că și în relația (4-2-5) mărimea pasului

$$\Delta q_i = - \frac{\frac{d\varphi_o}{dq_i}}{\frac{d^2\varphi_o}{dq_i^2}} \quad (4-2-10)$$

L

La fel se poate proceda și în cazul metodei sericii Taylor, dar în acest caz, este necesar calculul derivatelor funcției tuturor variabilelor două cîte două și soluționarea unui sistem de ecuații prin eliminarea sau in-

versarea de matrice. Metoda este laberitoasă și necesită o subrutină pentru rezolvarea sistemului de ecuații.

Dintre toate aceste metode, cea mai simplu de aplicat și cu convergență cea mai rapidă este metoda gradientului [37].

#### 4-2-2. Stabilirea funcției obiectiv

Pentru aplicarea metodei gradient autorul lucrării [10] a luat în considerare pentru funcția-obiectiv numai cheieștiile de construcție ale terasamentului și ale zidurilor, adică

$$f = C_{ST} \cdot r \cdot \sum_i^{S_{\text{sap}}} S_{bi} + C_u \cdot r \cdot \sum_j^{V_{\text{unpl}}} S_{uj} + C_z \cdot \sum_i V_{zi} \quad (4-2-11)$$

în care:  $r$  - echivalenta dintre mărfuți,

$C_{ST}$  - costul săpăturii și transportul în umpluturi, în u.b./m<sup>3</sup>

$C_u$  - costul umpluturii, în u.b./m<sup>3</sup> unități băncioți /m<sup>3</sup>

$C_z$  - costul unui m<sup>3</sup> de zidărie în ziduri de sprijin, în u.b./m<sup>3</sup>

Volumul săpăturii  $V_s$  și volumul umpluturii  $V_u$  se calculează după formulele următoare

$$V_s = r \cdot \sum_i^{S_{\text{sap}}} S_{bi}, \quad V_u = r \cdot \sum_j^{V_{\text{unpl}}} S_{uj}$$

Conform metodei distanței aplicabile, folosite cu preponderență în România [10], [11] pentru calculul volumelor de terasament, volumul de săpătură aferent unui profil de săpătură (volumul întreprofilului) este:

$$V_{si} = r \cdot S_{si}$$

și volumul de umplutură aferent unui profil de umplutură este:

$$V_{uj} = r \cdot S_{uj}$$

Aceeași metodă se aplică și în cazul zidurilor de sprijin

$$V_{zid} = r \cdot V_{si}$$

Funcția-obiectiv  $f$  exprimă costul total al lucrărilor de terasamente și ziduri de sprijin. Autorul lucrării [10] a considerat că alte costuri de suprastructură și de exploatare sunt relativ constante într-un larg ecăr al variației posibile a liniei roșii pe un traseu dat și din această cauză nu contribuie sensibil la pozitionarea optimă a liniei roșii. În același timp trebuie recunoscut că ponderea lucrărilor de terasament și de ziduri de sprijin în lucrările de infrastructură a drumurilor crește cu accidentarea pe-

liefului și cu poziția liniei roșii în raport cu formele de relief. Din aceste motive s-a apreciat că funcția obiectiv exprimată de relația (4-2-11) este suficientă pentru a contribui la determinarea poziției optime a liniei roșii.

#### 4-2-3. Soluția procesului de calcul.

Pentru aplicarea metodei gradientului anterior lucrării [10] a ales procedeul lui E.V. Booth reținind din ecuația [4-2-3] numai termenul de ordinul unu.

Termenul 2 poate fi neglijat deoarece nu contribuie decit într-o măsură redusă la determinarea mărimea gradientelor. Simplificarea se dovedește însă a fi substanțială în ceea ce privește economia de timp de calcul pe calculatorul electronic.

Așa cum s-a arătat este posibil că prin aplicarea acestor metode să se determine sensul și mărimea cu care urmează să se modifice variabilele  $Z_i$  în procesul de calcul al elaborării liniei roșii optime.

Această determinare este posibilă în cadrul procesului de calcul prin parcurgerea următorilor pași ai algoritmului conceput:

- 1.- Potrivit unei soluție inițiale posibile de linie roșie schițată de proiectant se citesc chiar grafic cu cît mai multă precizie cotele inițiale

$$Z_1^0 = (z_1^0, z_2^0, \dots, z_j^0, \dots, z_n^0)$$

- 2.- Se calculează gradientul funcției-obiectiv pentru seria de valori inițiale  $Z_1^0$

$$d_i^0 = \nabla f(Z_1^0) = \left[ \frac{\partial f}{\partial z_1}, \frac{\partial f}{\partial z_2}, \dots, \frac{\partial f}{\partial z_n} \right] \quad (4-2-12)$$

- 3.- O soluție mai bună decit cea inițială, definită de  $Z_1^0$  se va obține dacă se aplică relația

$$Z_1^1 = Z_1^0 + \lambda d_i^0 \quad (4-2-13)$$

unde  $\lambda$  este un scalar arbitrar pozitiv și constant în cadrul fiecărei iteratii.

- 4.- Relația (4-2-13) furnizează noile valori care se înlocuiesc în toate restricțiile menționate luate însă cu stricte condiții. În felul acesta fiecare restricție poate fi rezolvată furnizând o anumită

valoare a parametrului  $\lambda$  : dintre toate valorile  $\lambda$  furnizate de fiecare restricție, se alege  $\lambda_{\min}$  cel mai mic pozitiv pe care-l vom denumi  $\lambda_{\min}$ . Restricțiile pentru care parametrul  $\lambda$  rezultă negativ sau zero sunt indeplinite pentru setul de valori inițiale  $Z_1^0$ .

5.- Vînd  $\lambda$  determinat ca  $\lambda_{\min}$ , este posibil să se determine noul set de valori  $Z_1^1$  cu ajutorul relației (4-2-13)

Rezultă deci că modificarea cetelelor inițiale  $Z_1^0$  se face cu cea mai mică mărime pozitivă a parametrului  $\lambda$  din neîndeplinirea uneia dintre restricții. Din numeroase studii efectuate aplicând această metodă în cazul liniei roșii la drumuri a rezultat că restricția care dela început furnizează valorile  $\lambda$  cele mai mari este cea referitoare la compensarea volumelor de terasamente. În baza acestei observații a fost posibil să se determine și sensul modificării  $Z_1^0$  pentru obținerea noilor valori  $Z_1^1$ . Dacă pentru cetele  $Z_1^0$  volumul de săpătură este mai mare decât cel de umplutură  $V_s > cV_u$  (c este un coeficient) preconizat și în cazul cind  $V_s < cV_u$  este că cetele picheșilor cu linia roșie în săpătură să crească, pentru a se micșora volumul de săpătură, iar cetele picheșilor cu linia roșie în umplutură să scadă pentru ca egalitatea să se realizeze pentru cel mai mic volum de terasamente posibil. Este necesar însă că cetele picheșilor să se modifice cu mărimi diferite după cum  $V_s > cV_u$  sau  $V_s < cV_u$  ținând seama de faptul că gradienții funcției obiectiv a întreprofilelor de săpătură sunt mult mai mari decât gradienții funcției-obiectiv a întreprofilelor de umplutură și anume proporționali cu costul săpăturii și transportul ( $C_{st}$ ) respectiv costul umpluturii  $C_u$ . Procesul de calcul se modifică deci, în primul rînd, prin afectarea lui  $\lambda_{\min}$  cu sensul minus astfel încât deplasarea obținută să conduce la minimizarea atât a săpăturilor cât și a umpluturilor (cetele de săpătură să crească, cele de umplutură să scadă).

Gradienții fiind afectați de costuri diferite ca mărime, vor conduce la deplasări diferite: mai mari pentru săpătură și mai mici pentru umplutură, ceea ce convine minimizării funcției obiectiv. În cazul  $V_s > cV_u$

$$\text{Săp. } Z_1^1 = Z_1^0 - d_1^0(-\lambda_{\min}) \quad (4-2-14)$$

$$\text{Umpl. } Z_j^1 = Z_j^0 + d_1^0(-\lambda_{\min}) \quad (4-2-15)$$

In cazul in care  $V_u > V_s$ , deoarece  $C_u < C_{st}$  procesul de calcul trebuie inversat, proportional cu  $C_u$  și  $C_{st}$  pentru obtinerea procesului simetric de minimizare:

$$\text{Sap. } Z_i^1 = Z_i^0 - d_i(-\lambda_{\min}) \cdot \frac{C_u}{C_{st}} \quad (4-2-16)$$

$$\text{Umpl. } Z_i^1 = Z_i^0 + d_i(-\lambda_{\min}) \cdot \frac{C_{st}}{C_u} \quad (4-2-17)$$

In cazul indeplinirii de la inceputul restricției  $V_s = c V_u$  procesul de calcul continuă cu verificarea restricților.

6.- Având noul set de valori  $Z_i^1$  se repetă pagii de la 2 la 6 la fiecare iterație determinindu-se o nouă valoare  $\lambda_{\min}$  pozitiv din ansamblul restricților, precum și volumele de săpătură și umplutură totale  $V_s$  și  $V_u$ .

Datăcum se știe suma  $V_s + V_u$  este minimă și deci funcția obiectiv este minimă, cind produsul  $V_s \cdot V_u = \text{constant}$ , iar  $V_u = V_s$ , condiții cuprinse în modelul matematic pentru precisarea iterației în care se indeplinește condiția de minim a funcției obiectiv.

7.- Din momentul în care, la pasul 6, condiția de minim a funcției obiectiv a fost indeplinită, procesul de calcul folosind metoda gradientului încoazi să dea cea mai mică valoare cotelor  $Z_i^t$  (unde  $Z_i^t$  reprezintă suita de cote  $Z_i$  la iterația  $t$ ). Modelul matematic continuă cu verificarea restricților.

#### 4-2-4. Aplicarea metodei gradientului în procesul de elaborare liniei optime la profilul longitudinal.

În elaborarea funcției obiectiv s-a stabilit dependența ei de cotele variabilelor  $Z_i$  ale liniei roșii, ceilalți termeni - costul umpluturii  $C_u$ , costul săpăturii și transportul în umpluturi  $C_{sp}$ , costul unui  $m^3$  de zidărie de sprijin  $C_z$ , echivalentă dintre pieșe - fiind constanți pentru un drum dat.

În aceste condiții determinarea gradientului funcției obiectiv se face pornind de la suprafața care conține atât variabilele  $Z_i$ , cât și proiecțiile taluzurilor pe orizontală prezentată în formulele (2-13-a) - (2-22-a).

8.- Pentru secțiunea de cale în săpătură (fig. 2-7-a) a fost stabilită relația de calcul a suprafeței (2-13-a). Folosind relația ajutătoare se

preced relația (2-13-a) explicitind  $x_{is}$  și  $x_{id}$  în funcție de  $Z_i$  și ordinime după  $Z_i$  expresia suprafeței de săpătură devine:

$$S_{si} = -(b_{si} + b_{si})Z_i + \frac{b_{si} + b_{si}}{2}(c_{is} + c_{id}) + \frac{Z_i^2}{2(t_s + p_i)} - \frac{c_{is}Z_i}{t_s + p_i} + \frac{c_{is}^2}{2(t_s + p_i)} + \frac{Z_i^2}{2(t_s - p_i)} - \frac{c_{id}Z_i}{t_s - p_i} + \frac{c_{id}^2}{2(t_s - p_i)} \quad (4-2-18)$$

$b_{si}$ ,  $t_s$  nu sunt cu necesitate egali pe cele 2 jumătăți de platformă ale drumurilor, fiecare jumătate de platformă  $b_{si}$  poate avea valori diferite după cum taluzul de săpătură  $t_s$  poate fi diferit pe o parte și cealaltă a secțiunii, valoările concrete fiind scrise pentru fiecare pîchet al drumului.

Derivînd (4-2-18) în raport cu  $Z_i$  se obține:

$$\begin{aligned} \frac{dS_{si}}{dZ_i} &= -(b_{si} + b_{si}) = \frac{c_{is}}{t_s + p_i} - \frac{Z_i}{t_s + p_i} - \frac{c_{id}}{t_s - p_i} - \frac{Z_i}{t_s - p_i} \\ &= -(b_{si} + b_{si}) - \left( \frac{c_{is} - Z_i}{t_s + p_i} \right) - \left( \frac{c_{id} - Z_i}{t_s - p_i} \right) \end{aligned} \quad (4-2-19 \text{ a})$$

în care, conform relațiilor ajutătoare, cel de al doilea și treilea termen reprezintă proiecțiile talusurilor pe orizontală, respectiv  $x_{is}$  și  $x_{id}$ . Deci

$$\frac{dS_{si}}{dZ_i} = -(b_{si} + b_{si} + x_{is} + x_{id}) \quad (4-2-19 \text{ b})$$

Înînd seama că funcția-obiectiv a unui întreprofil este afec-  
tată de echidistanța dintre pîchete și de costul de săpătură și transport  
 $c_{ST}$ , atunci gradientul funcției-obiectiv pentru întreprofilul corespunzător  
va fi

$$\frac{\partial f_{gi}}{\partial Z_i} = -(b_{si} + b_{si} + x_{is} + x_{id}) \cdot r \cdot c_{ST} \quad (4-2-20)$$

Totodată, ordinind termenii în relația suprafeței (2-13-a)  
se obține

$$S_{si} = -Z_i(b_{si} + b_{si} + \frac{x_{is}}{2} + \frac{x_{id}}{2}) + \frac{c_{is}}{2}(b_{si} + b_{si} + x_{is}) + \frac{c_{id}}{2}(b_{si} + b_{si} + x_{id}) \quad (4-2-21)$$

Relațiile de calcul (4-2-20), (4-2-21) rămîn același și în  
casul în care linia terenului are înclinare inversă celei din fig. 2-7-a pre-  
cum și în cazurile în care  $c_i = Z_i$  sau  $p_i = 0$

In cazul profilului transversal în săptură prevăzut cu zidul de sprijin (fig. 2-7-b) relația ce exprimă suprafața (2-14-a), conform același metode de mai sus gradientul funcției-obiectiv a întreprofilului de săptură va fi egal cu

$$\frac{\partial f_{si}}{\partial z_i} = -(b_{si} + b_{si} \cdot x_{is} + x_{id} + 2 \cdot 62) r \cdot C_{RT} \quad (4-2-22)$$

Pentru zidul de sprijin cu adâncimea de fundare  $h_f = 1,4$  m și costul unui  $m^3$  de zidărie  $C_Z$  gradientul funcției obiectiv este

$$\frac{\partial f_{Z1}}{\partial Z_1} = 2,62 \cdot r \cdot C_Z \quad (4-2-23)$$

In acest caz se obține:

-gradientul întregii secțiuni a întreprofilului, inclusiv pentru zidul de sprijin

$$\frac{\partial f_{sc}}{\partial z_i} = - \left[ b_{si} + b_{si} \cdot x_{is} + x_{id} + 2,62 \left( 1 - \frac{C_Z}{C_{ST}} \right) \right] r \cdot C_{ST} \quad (4-2-24)$$

-suprafața de săptură ordonată după  $Z_1$

$$S_{si} = -Z_1 (b_{si} + b_{si} \cdot \frac{x_{is}}{2} + \frac{x_{id}}{2}) + C_{is} \left( \frac{b_{si} + b_{si} \cdot x_{is} + x_{id}}{2} + 2,62 \right) - \frac{C_{id}}{2} (b_{si} + b_{si} \cdot x_{id}) \quad (4-2-25)$$

-secțiunea zidului de sprijin

$$V_{Z_{si}} = 2,62 (C_{is} - Z_1) \quad (4-2-26)$$

3.b.- Pentru profilul transversal în umpluturi (fig. 2-8-a) se obține gradientul funcției a întreprofilului în același mod

$$\frac{\partial f_{ui}}{\partial z_i} = (b_{ui} + b_{ui} \cdot x_{is} + x_{id}) r \cdot C_u \quad (4-2-27)$$

și suprafața

$$S_{ui} = Z_1 (b_{ui} + b_{ui} \cdot \frac{x_{is}}{2} + \frac{x_{id}}{2}) - \frac{C_{is}}{2} (b_{ui} + b_{ui} \cdot x_{is}) - \frac{C_{id}}{2} (b_{ui} + b_{ui} \cdot x_{id}) \quad (4-2-28)$$

In cazul (fig. 2-8-b), în care există zidul de sprijin, se obține - funcția obiectiv a întreprofilului

$$\frac{\partial f_{ui}}{\partial z_i} = \left[ b_{ui} + b_{ui} \cdot x_{id} + 2,62 \left( \frac{C_2}{C_u} - 0,3 \right) \right] r \cdot C_u \quad (4-2-29)$$

-suprafața de umpluturi ordonată după  $Z_1$

$$S_{ui} = Z_1 (b_{ui} + b_{ui} \cdot \frac{x_{id}}{2} - 0,786) - C_{is} \left( \frac{b_{ui} + b_{ui}}{2} - 0,786 \right) - \frac{C_{id}}{2} (b_{ui} + b_{ui} \cdot x_{id})$$

-secțiunea zidului de sprijin

$$V_{z_{ui}} = 2,62(z_1 - c_{is}) \quad (4-2-31)$$

In ceea ce privește relațiile ce exprimă gradienții este de observat că:

cei de săpătură rezultă cu semnul minus, iar cei de umplutură cu semnul plus

la aceeași mărime a secțiunilor gradienții ce exprimă săpături sunt mai mari decit cei ce exprimă umpluturi

intervenția zidurilor de sprijin face să crească diferența dintre mărurile gradienților.

3.c.- Pentru profilul transversal mixt fig. 2-9-a se obțin

-gradientul funcției obiectiv a întreprofilului:

$$\frac{\partial f_{mi}}{\partial z_i} = (x_{is} + x_1) r \cdot c_u - (x_2 + x_{id}) r \cdot c_{st} \quad (4-2-32)$$

-suprafețele ordonate după  $Z_1$

$$s_{ui} = z_1 \frac{x_{is} + x_1}{2} - c_{is} \frac{x_{is} + x_1}{2} \quad (4-2-33)$$

$$s_{si} = -z_1 \frac{x_2 + x_{id}}{2} + c_{is} \frac{x_2 + x_{id}}{2}$$

In cazul fig. 2-9-b se obține

-gradientul funcției obiectiv

$$\frac{\partial f_{mi}}{\partial z_i} = \left[ x_1 + 2,62 \left( \frac{c_u}{c_u} - 0,3 \right) \right] r \cdot c_u - (x_2 + x_{id}) r \cdot c_{st} \quad (4-2-34)$$

-suprafețele ordonate după  $Z_1$

$$s_{ui} = z_1 \left( \frac{x_1}{2} - 0,785 \right) + c_{is} \left( 0,786 - \frac{x_1}{2} \right) \quad (4-2-35)$$

$$s_{si} = -z_1 \frac{x_2 + x_{id}}{2} + c_{id} \frac{x_2 + x_{id}}{2}$$

-secțiunea zidului de sprijin

$$V_{z_{ui}} = 2,62(z_1 - c_{is}) \quad (4-2-36)$$

In cazul fig. 2-9-c se obțin

-gradientul funcției obiectiv

$$\frac{\partial f_{mi}}{\partial z_i} = \left[ x_1 + 2,62 \left( \frac{c_u}{c_u} - 0,3 \right) \right] r \cdot c_u - \left[ x_2 + x_{id} + 2,62 \left( 1 + \frac{c_u}{c_u} \right) \right] r \cdot c_{st} \quad (4-2-37)$$

-suprafețele ordonate după  $Z_1$

$$S_{ui} = Z_1 \left( \frac{z_1}{2} - 0,786 \right) + C_{is} \left( 0,786 - \frac{z_1}{2} \right) \quad (4-2-38)$$

$$S_{si} = Z_1 \left( \frac{z_2 + z_{id}}{2} + 2,62 \right) + C_{id} \left( \frac{z_2 + z_{id}}{2} + 2,62 \right)$$

-secțiunile zidurilor de sprijin

$$V_{Z_{ui}} = 2,62(Z_1 - C_{is}) \quad (4-2-39)$$

$$V_{Z_{si}} = 2,62(C_{id} - Z_1)$$

Ca și în cazurile precedente amintite relațiile de calcul stabilite mai sus rămân aceleșa și în cazul în care linia terenului are înclinare inversă celor din figurile (2-7-b), (2-9-b).

Totodată este menționat că de la primul set de cote  $Z_1^0$  ca și în cazul iterărilor următoare, variabilele  $Z_1$  iau valori bine precizate. Termenii  $x_{is}$  și  $x_{id}$  se determină cu usurință din relațiile ajutătoare astfel încât, atât gradientii funcției obiectiv a întreprofilelor cât și suprafețele, iau și ele valori bine definite.

Cu ajutorul relațiilor stabilite se determină:

- Suprafața umpluturii  $S_{ump}$ , suprafața săpaturii  $S_{sap}$ , suprafața secțiunii zidului de sprijin  $S_{sid}$  în fiecare pîchet al drumului
- Volumul umpluturii  $V_{ump}$ , volumul săpaturii  $V_{sap}$ , volumul zidului de sprijin  $V_{sid}$  pe întreprofile prin multiplicarea suprafețelor cu distanța aplicabilă  $r$ , precum și pe întregul sector de drum considerat, prin însumarea întreprofilelor.
- Costul fiecărui întreprofil, prin înmulțirea volumelor cu costuri unitare corespunzătoare  $C_u$ ,  $C_{BT}$ ,  $C_r$  precum și costul total, prin însumarea costurilor întreprofilelor.
- Gradientii necesari trecerii de la un pas la altul al algoritmului, în determinarea poziției optime a liniei rogii.

4-3. O metodă de programare neliniară dată de I. Maruşan și F. Radulescu și posibilitatea aplicării ei în elaborarea liniei răsăriti optime.

Se poate aplica o metodă de rezolvare a problemei de programare convexă dată de autorii lucrărilor [23], [24] în elaborarea liniei răsăriti optime la profilul longitudinal.

In cele ce urmează se prezintă acenastă metodă:

4-3-1. Descrierea metodei.

Fie  $f(x_1, x_2, \dots, x_n)$  o funcție de  $n$  variabile  $x_1, x_2, \dots, x_n$  continue și care admite derivate  $\frac{\partial f}{\partial x_i}$ , ( $i=1, 2, \dots, n$ ) continue într-o reuniune  $\Omega$  din spațiul euclidian al variabilelor  $x_1, x_2, \dots, x_n$  definită de inegalitățile

$$\Delta_i(x) = \sum_{k=1}^n a_{ik}x_k - b_i \geq 0, \quad i = 1, 2, \dots, m \quad (4-3-1)$$

In cele ce urmează, se va presupune că mulțimea  $\Omega$  nu este vidă și că funcția  $f(x_1, x_2, \dots, x_n)$  este o funcție convexă pe punctele mulțimii  $\Omega$  adică pentru orice punct  $x^0 = (x_1^0, \dots, x_n^0)$  din corpul finit de

$$f(x_1, x_2, \dots, x_n) \leq f(x_1^0, x_2^0, \dots, x_n^0)$$

este un corp convex.

Problema de programare de care ne ocupăm este următoarea:

Să se găsească minimul funcției  $f(x_1, x_2, \dots, x_n)$  în condițiile ca punctul  $x = (x_1, x_2, \dots, x_n)$  să aparțină mulțimii  $\Omega$ .

Se observă că dacă unul din punctele care realizează minimul absolut al funcției  $f(x_1, \dots, x_n)$  este conținut în  $\Omega$  atunci aceasta constituie soluția problemei. De aceea se presupune că punctele de minim absolut nu aparțin lui  $\Omega$ .

Se trece acum la descrierea algoritmului.

Se pleacă dela un punct arbitrar  $x^0 = (x_1^0, \dots, x_n^0)$  din domeniul  $\Omega$  și se consideră suprafața de nivel

$$f(x_1, \dots, x_n) = f(x_1^0, \dots, x_n^0) \quad (4-3-2)$$

Se presupune mai întii că în  $x$  avem  $\Delta_i(x) > 0$ ,  $i = 1, 2, \dots, m$ .

Din acest punct deplasarea se face pe direcția gradientului funcției  $f(x_1, x_2, \dots, x_n)$  spre interiorul corpului

$$f(x) \leq f(x^0) \quad (4-3-3)$$

unde s-a notat pentru prescurtare cu  $x = (x_1, \dots, x_n)$ ,  $x^0 = (x_1^0, \dots, x_n^0)$  punctul ce se întâlnește cu unul din planele

$$\Delta_i(x) = 0 \quad i = 1, 2, \dots, n \quad (4-3-4)$$

mai apropiat la punctul în care  $f(x)$  ia valoarea minimă.

Pentru aceste se calculează gradientul funcției-obiectiv  $f(x)$  în punctul  $x^0$ , adică vectorul  $Z^0 = (\zeta_1^0, \dots, \zeta_n^0)$  unde

$$\zeta_k = \left[ \frac{\partial f}{\partial x_k} \right]_{x=x^0} \quad k = 1, 2, \dots, n \quad (4-3-5)$$

și se alege semnul din fața radicalului în așa fel ca

$$\left[ \frac{d}{dt} f(x_0 + tZ^0) \right]_{t=0} < 0$$

adică funcția  $f(x_0 + tZ^0)$  să descrească pe această direcție.

Se calculează apoi valorile lui  $t$  din expresiile

$$\sum_{k=1}^n a_{ik}(x_k + t\zeta_k^0) = b_i \quad i = 1, 2, \dots, m$$

adică

$$t = t_i = - \frac{\Delta_i(x^0)}{\sum_{k=1}^n a_{ik}\zeta_k^0} \quad i = 1, 2, \dots, m$$

Pie  $\tilde{t}_c' = \min_i t_i > 0$

se presupune că  $\tilde{t}_c'$  este atins pentru  $i = 1$  și numai pentru acesta. (In cas că minimul este atins pentru mai mulți indici, acest pas nu există și trebuie să treacă la pasul următor)

Se calculează apoi minimul funcției  $g(t) = f(x^0 + tZ^0)$

Pie  $\tilde{t}_c''$  cea mai mică valoare a lui  $t$  pentru care  $g(t)$  își atinge minimul. Se notează cu  $\tilde{t}_c = \min(\tilde{t}_c', \tilde{t}_c'')$

A doua aproximare va fi punctul  $x^1 = x^0 + \tilde{t}_c Z^0$

Dacă  $\tilde{t}_c < \tilde{t}_c'$  atunci punctul  $x^1$  joacă rolul lui  $x^0$  și, prin urmare, se trece la punctul  $x^2$  urmând aceeași cale prin care s-a treout de la  $x^0$  la  $x^1$ .

Dacă  $\tilde{t}_c = \tilde{t}_c'$  adică punctul  $x^1$  se găsește în planul  $\Delta_1(x) = 0$ , se consideră suprafața de nivel  $f(x) = f(x^1)$  și se determină vectorul gradientului funcției  $f(x)$  în punctul  $x^1$  după formulele (4-3-5), luate în punctul  $x^1$  ale cărui semn din fața radicalului este același ca funcția  $f(x)$  să fie

desearcătoare, adică așa încât

$$\left[ \frac{d}{dt} f(x^1 + tv^1) \right]_{t=0} < 0$$

unde cu  $v^1 = (v_1^1, v_2^1, \dots, v_n^1)$  s-a notat versorul gradient al funcției  $f(x)$  în punctul  $x^1$ .

Dacă pentru  $t$  suficient de mic punctele  $x + x^1 + tv^1$  verifică toate ecuațiile sistemului (4-3-1), atunci se deplasază în continuare pe această direcție. Pentru acesta se observă că este suficient să se verifice numai inegalitatea  $\Delta_1(x^1 + tv^1) > 0$ , ceea ce revine la a verifica că precum

$$\sum_{k=1}^n a_{1k} v_k^1 > 0 \quad (4-3-6)$$

dacă din  $\Delta_1(x^1) > 0$  pentru  $i \neq 1$  rezultă că se are și  $\Delta_i(x^1 + tv^1) > 0$  dacă  $t$  este suficient de mic.

Dacă inegalitatea (4-3-6) este verificată, atunci din punctul  $x^1$  deplasarea se face pe direcția vectorului  $v^1 = v^1$  ca și în cazul precedent.

Iată că  $\sum_{k=1}^n a_{1k} v_k^1 < 0$ , atunci deplasarea se face după liniul proiecției versorului  $v^1$  pe planul  $\Delta_1(x) = 0$ , adică se determină versorul  $\zeta_1 = (\zeta_1^1, \dots, \zeta_n^1)$  din formula [48]

$$\zeta_k^1 = v_k^1 + \lambda_1 a_{1k} \quad k = 1, \dots, n \quad (4-3-7)$$

unde  $\lambda_1$  se determină punând condiția ca  $\zeta^1$  să fie conținut în planul  $\Delta_1(x) = 0$  adică

$$\lambda_1 = - \frac{\sum_{k=1}^n a_{1k} v_k^1}{\sum_{k=1}^n a_{1k}^2}$$

În punctul  $x^1$  deplasarea se face pe direcția versorului  $\zeta^1$  pînă se ajunge din nou fie la un alt plan de ecuație (4-3-1), fie la un punct de minim al funcției  $f(x^1 + t\zeta^1)$  în raport cu  $t$ .

Se presupune că procedînd în modul arătat și mai sus se ajunge la un punct  $x^p = (x_1^p, \dots, x_n^p)$  pentru care

$$\Delta_1(x^p) = \Delta_2(x^p) = \dots = \Delta_q(x^p) = 0 \quad i \leq q \leq n$$

$$\Delta_i(x^p) > 0 \quad i = q+1, q+2, \dots, m$$

Se consideră și de data aceasta suprafața de nivel  $f(x) = f(x^p)$  și se construiește versorul gradient  $v^p = (v_1^p, \dots, v_n^p)$  al funcției  $f(x)$  în punctul  $x$  în spate interiorul corpului mărginit de suprafața  $f(x) = f(x^p)$  adică calculind componente sale după formula

$$v_k^p = \left[ \frac{f'_{x_k}}{\pm \sqrt{\sum f'_{x_k}^2}} \right]_{x=x^p} \quad k = 1, 2, \dots, n \quad (4-3-8)$$

și alegind semnul din fața radicalului astfel ca

$$\left[ \frac{d}{dt} f(x^p + tv^p) \right]_{t=0} < 0$$

Dacă acest versor este conținut în domeniul  $\Omega$  atunci deplasarea se face pe această direcție pînă se ajunge la un nou punct  $x^{p+1}$ , care este sau punctul minim pentru  $f(x)$ , sau este situat pe un alt plan din planele (4-3-4) diferit de primele  $q$  plane.

Analitic aceasta se verifică analizînd semnul sumelor  $\sum_{k=1}^n a_{ik} v_k^p$

Dacă

$$\sum_{k=1}^n a_{ik} v_k^p > 0 \quad i = 1, 2, \dots, q$$

atunci versorul  $v^p$  se găsește în domeniul  $\Omega$ . În acest caz funcția  $f(x)$  poate fi micșorată mergînd pe această direcție și procedînd ca la primul pas.

Dacă există un plan  $\Delta_{i_0}(x) = 0$ , ( $1 \leq i_0 \leq q$ ) pentru care

$$\sum_{k=1}^n a_{i_0 k} v_k^p < 0$$

atunci versorul  $v^p$  nu intră în  $\Omega$  și deci nu se poate deplasa pe această direcție. În acest caz deplasarea se face pe proiecția versorului  $v^p$  pe muchia comună a planelor  $\Delta_1(x) = 0, \dots, \Delta_q(x) = 0$  adică pe direcția versorului  $\zeta^p = (\zeta_1^p, \dots, \zeta_n^p)$  determinat din relația

$$\zeta_k^p = v_k^p + \sum_{j=1}^q \lambda_j a_{jk} \quad k = 1, 2, \dots, n \quad (4-3-9)$$

unde parametrii  $\lambda_1, \lambda_2, \dots, \lambda_q$  se determină din condițiile

$$\sum_{k=1}^n (v_k^p + \sum_{j=1}^q \lambda_j a_{jk}) a_{ik} = 0 \quad j = 1, 2, \dots, q \quad (4-3-10)$$

Acest sistem poate fi rezolvat ușor, observînd că dacă se notează cu  $a_{11}^{-1}$  ( $a_{11} \neq 0$ ),

$a_{12}, \dots, a_{1n}$ ,  $i = 1, 2, \dots, m$  vectorii normali ai planelor (4-3-4), determinantul sistemului

$$\sum_{j=1}^q \left( \sum_{k=1}^n a_{jk} a_{ik} \right) \lambda_j = - \sum_{k=1}^n a_{kk} v_k^p \quad (4-3-11)$$

$$\text{sun } \sum_{j=1}^q (a^i a^j) \lambda_j = -(a^i v^p) \quad (4-3-12)$$

este un determinant a lui Gram [4]

$$D = \begin{vmatrix} (a^1 a^1) & (a^1 a^2) & \dots & (a^1 a^q) \\ (a^2 a^1) & (a^2 a^2) & \dots & (a^2 a^q) \\ \dots & \dots & \dots & \dots \\ (a^q a^1) & (a^q a^2) & \dots & (a^q a^q) \end{vmatrix} \quad (4-3-13)$$

Dacă se notează cu  $D_j$  determinantul corespunzător numărătorului lui  $\lambda_j$  adică

$$D_j = \begin{vmatrix} (a^1 a^1) \dots (a^1 a^{j-1}) & (a^1 v^p) & (a^1 a^{j+1}) \dots (a^1 a^q) \\ (a^2 a^1) \dots (a^2 a^{j-1}) & (a^2 v^p) & (a^2 a^{j+1}) \dots (a^2 a^q) \\ \dots & \dots & \dots \\ (a^q a^1) \dots (a^q a^{j-1}) & (a^q v^p) & (a^q a^{j+1}) \dots (a^q a^q) \end{vmatrix}$$

atunci

$$\lambda_j = - \frac{D_j}{D} \quad (4-3-14)$$

Proiecția  $z^p$  a gradientului  $v^p$  pe planele  $A_1(x) = 0$  care trece prin punctul  $x^p$  se poate calcula din aproape în aproape după formulele următoare: [25], [23]

$$\begin{aligned} u^1 &= a^1 \\ u^2 &= a^2 + \alpha_{11} u^1 \\ u^3 &= a^3 + \alpha_{21} u^1 + \alpha_{31} u^2 \\ &\dots \\ u^q &= a^q + \alpha_{q1} u^1 + \alpha_{q2} u^2 + \dots + \alpha_{qq-1} u^{q-1} \\ z^p &= v^p + \alpha_{01} u^1 + \alpha_{02} u^2 + \dots + \alpha_{0q} u^q \end{aligned} \quad (4-3-14b)$$

unde

$$\alpha_{ij} = \frac{a^i u^j}{u^j u^j}, \quad i \neq j, \quad i \neq 0$$

$$\alpha_{0j} = \frac{v^p u^j}{u^j u^j}$$

$u^j'$  este matricea transpusă a matricii  $u^j$

Deoarece în cazul nostru determinantul  $D$  este diferit de zero, căci vectorii  $a^1, \dots, a^q$  sunt liniar independenti rezultă că sistemul (4-3-12) este totdeauna compatibil. În urmare  $z^p$  se poate totdeauna determina și dacă  $z^p \neq 0$ , atunci se ajunge la următoarele aproximării, mergind pe același direcție, la fel ca și în cazurile precedente.

Dacă  $Z^P=0$ , atunci gradientul v este perpendicular pe muchia comună a planelor  $\Delta_1(x) = 0, \Delta_2(x) = 0, \dots, \Delta_q(x) = 0$  (4-3-15) adică aceasta din urmă se află în planul tangent la suprafața de nivel  $f(x) = f(x^P)$  și în orice direcție de pe această varietate n-1 dimensionată ne am deplasat, valoarea funcției crește.

Condițiile analitice pentru  $Z^P=0$  se obțin din

$$v_k^P + \sum_{j=1}^q \lambda_j a_{jk} = 0 \quad k = 1, 2, \dots, n$$

Inlocuind pe  $\lambda_j$  cu valorile din (4-3-14) se obține

$$D v_k^P - \sum_{j=1}^q D_j a_{jk} = 0 \quad k = 1, 2, \dots, n \quad (4-3-16)$$

cea ce reprezintă tocmai condiția ca muchia comună planelor (4-3-15) să fie conținută în planul tangent la suprafața de nivel în punctul  $x^P$ .

Pentru a găsi o altă direcție admisă, considerăm proiecțiile gradientului  $v^P$  pe planele (4-3-15), care determină după formulele analoge cu (4-3-7), adică notând cu  $Z^1 = (\zeta_1^i, \dots, \zeta_n^i)$  proiecțiile lui  $v^P$  pe planul  $\Delta_1(x) = 0$  se obține

$$\zeta_k^i = v_k^P - \frac{a_{ik}^1 v^P}{a_{ii}} a_{ik}, \quad k = 1, 2, \dots, n \quad i = 1, 2, \dots, q$$

Se verifică dacă unul din vectorii  $Z^1$  se păstrează în  $\Omega$  adică dacă

$$(a^i a^i) (a^j v^P) - (a^i a^j) (a^i v^P) (a^j a^i) \geq 0 \quad j = 1, 2, \dots, q \quad (4-3-17)$$

pentru un i fixat. Dacă pentru un anumit  $i = i_1$  are loc (4-3-17) atunci doparea se face pe direcția  $Z^{i_1}$ . Dacă inegalitățile (4-3-17) nu au loc pentru nici un  $i = 1, 2, \dots, q$ , atunci punctul  $x^P$  este un punct optimal, decaroc se poate arăta ușor că în acest caz orice direcție care intră în  $\Omega$  este de partea exterioară a planului tangent dus în punctul  $x^P$  la suprafața de nivel  $f(x) = f(x^P)$ .

Condiția analitică de optim în acest caz este verificarea relațiilor (4-3-16) și în plus a relațiilor

$$(a^i a^i) (a^{j_1} v^P) - (a^i v^P) (a^{i_1} a^{j_1}) < 0 \quad i = 1, 2, \dots, q \quad (4-3-18)$$

pentru colțul în un  $j_1$  ( $1 \leq j_1 \leq q$ )

Să se presupună că s-a continuat procesul de mai sus ajungindu-se într-un punct  $x^S$  în care se are

$$\Delta_1(x^S) = \Delta_2(x^S) = \dots = \Delta_p(x^S) = 0 \quad r > n$$

adică la un punct situat pe planul

$$\Delta_1 x = 0, \dots, \Delta_r x = 0$$

4-3-19

Se consideră și în acest caz suprafața de nivel  $f(x^0)$  și gradientul  $v^0 = (v_1^0, \dots, v_n^0)$  al funcției  $f(x)$  în punctul  $x^0$ , îndreptat împrejurul corpului definit de  $f(x) \leq f(x^0)$ .

Dacă vectorul  $v^0$  intră în  $\Omega$  adică

$$\sum_{k=1}^n a_{ik} v_k^0 \geq 0 \quad i = 1, 2, \dots, r \quad (4-3-19)$$

atunci deplasarea se face pe direcția acestui vector ajungând astfel la un alt punct de aproximare mai bună.

Dacă printre expresiile  $\sum_{k=1}^n a_{ik} v_k^0$ ,  $i = 1, 2, \dots, r$  există cel puțin una negativă, atunci se procedează în felul următor:

Pie că rangul matricei coeficienților sistemului (4-3-19)

Dacă  $r < n$ , atunci planele (4-3-19) nu în acun o mulțime dimensională și se procedează, prin urmare, ca în pasul precedent, cind prin punctul  $x^0$  treceau mai puțin de  $n$  plane din (4-3-19).

Dacă  $r = n$  atunci planele (4-3-19) au în comun un punct (punctul  $x^0$ ). Se consideră toate muchile determinante ale cito  $n-1$  plane din (4-3-19) și se proiectează vectorul gradient  $v^0$  pe aceste drepte. Viz de exemplu, muchia determinată de planele  $\Delta_1(x) = 0, \dots, \Delta_{n-1}(x) = 0$ , proiectindu-se vectorul  $v^0$  pe această dreaptă și notându-se cu  $Z = (z_1^0, \dots, z_n^0)$  vectorul-proiecție obținut, se verifică dacă acesta nu ieșe din domeniul  $\Omega$  adică se are

$$\sum_{k=1}^n a_{ik} z_k^0 \geq 0 \quad i = n, n+1, \dots, r \quad (4-3-20)$$

Dacă cel puțin pentru un indice  $i = i_0$  ( $n \leq i_0 \leq r$ ) are inegalitatea contrară, atunci nu se poate deplasa pe această direcție. Dacă însă relațiile (4-3-20) sunt, atunci deplasarea se face pe această direcție ajungând astfel la un alt punct de aproximare mai bună. Dacă relațiile (4-3-20) nu sunt verificate pentru această muchie se consideră o altă muchie, pînă se ajunge la una pentru care relațiile analoge cu (4-3-20) sunt verificate.

In cazul cind pentru nici ună din aceste muchii relațiile (4-3-20) nu sunt verificate, atunci acest punct  $x^0$  este un punct optim.

#### 4-3-2. Aplicația metodei minitite în elaborarea liniei roții.

Observăm că problema de alegerea liniei roții la profilul longitudinal are și forma problemei de programare matematică. Funcția obiectivă după cum s-a definit în (4-2-11) este o funcție de gradul 2 în raport cu  $Z$  pentru că suprafața de umplutură și de săptură este funcție de gradul 1 de

In partea 4-2 s-a determinat gradientul acestei functii deci putem aplica metoda amintita in elaborarea liniei rosii. Nelip vom rezolva problema in cazul in care sa luam in considerare numai cheltuielile de constructie fiindca in cazul general cheltuielile de exploatare depind atat de linia rosie a profilului longitudinal cat si de factorii exploatarii deci nu putem aplica aceasta metoda.

Considerind un profil longitudinal arbitrar al cailor ferate sa observam:

-cind cotele liniei rosii sunt mici, atunci lungimea cailor in umplutura este mare, iar lungimea cailor in sapitura este mare si in schimb, cind cotele liniei rosii sunt mari, atunci lungimea cailor in umplutura este mare, iar lungimea cailor in sapitura este minima. Aceasta variatie a liniei rosii provoca modificararea functiei obiectiv, adica functie-obiectiv are forma dinamica.

-un profil transversal care depinde de cota liniei rosii, poate fi umplutura sau sapitura. Aceasta variatie de formă (umplutura sau sapitura) provoca modificararea in calculul gradientului functie-obiectiv.

De aceea nu putem folosi intregul algoritm descris mai sus, ci sa aplicam acest algoritm cu putină modificare. Si facem algoritmul in felul urmator:

1./ Se da un punct arbitrar  $\mathbf{z}^0 = (z_1^0, z_2^0, \dots, z_n^0)$  adica linia rosie initiala cu cotele de proiectare  $z_1^0, z_2^0, \dots, z_n^0$ .

Se inlocuiesc cotele liniei rosii initiale in restricțiile (1-2-a), (1-2-b), (1-2-d) si se cauta restricțiile care sunt satisfacute in egalitate. Restricțiile (1-2-c), (1-2-e) nu sunt satisfacute cind se alege linia rosie initiala.

-Dacă nu sunt restricțiile satisfacute ca egalități atunci punctul de pornire se află în interiorul domeniului  $\Omega$  (domeniu  $\Omega$  a varianteelor), se trece la punctul 2 al algoritmului.

-Locul sunt unele din restricțiile (1-2-a), (1-2-b), (1-2-d) - satisfacute in egalitate, de exemplu se notează aceste restricții cu  $\Delta_1(z^0) = \Delta_2(z^0) = \dots = \Delta_q(z^0) = 0$  atunci se trece la punctul 3 al algoritmului.

2./ Se calculeaza gradientul  $u^0$  a functiei-obiectiv in punctul  $\mathbf{z}^0$  dupa formulele (4-2-20) ~ (4-2-37) si se alege sensul gradientului calculat in

aza fel ca  $\frac{d}{dt} f(z^0 + tu^0) < 0$  adică se alege semnul invers în formula (4-2-2c)

(4-2-37) 3-a./ Se calculează valorile lui  $t$  din restricțiile (1-2-a), (1-2-b) și (1-2-d) în care se consideră că  $z$  este înlocuit prin  $z^0 + tu^0$ , și restricțiile sunt considerate ca egalități. Dintre aceste valori calculate se alege valoarea pozitivă minimă:  $\tilde{\tau}_0 = \min t_i$

3-b./ Se calculează funcția  $g(t) = f(z^0 + tu^0)$  și se cauță valoarea  $t = \tilde{\tau}_0''$  pentru care  $g(t)$  atinge minimum.

Dintre valorile calculate din (3-a) și (3-b) se alege valoarea minimă  $\tilde{\tau}_0 = \min(\tilde{\tau}_0', \tilde{\tau}_0'')$

4./ O nouă aproximare va fi punctul  $z^1 = z^0 + \tilde{\tau}_0 u^0$  adică linia roșie a două cu cotele de proiecțare  $z^1 = (z_1^1, z_2^1, \dots, z_n^1)$

Dacă  $\tilde{\tau}_0 < \tilde{\tau}_0'$  atunci punctul  $z^1$  joacă rolul lui  $z^0$ , prin urmare se repetă procedeul descris lăsând ca punct de plecare acest punct  $z^1$ . Această reînviere a procedeului se aplică fie pînă cînd ne mulțumim cu aproximarea găsită a punctului de extrem, fie cînd unul dintre punctele obținute se află pe frontiera domeniului  $\Omega$ . În ultimul caz se trece la punctul 5 al algoritmului.

Dacă  $\tilde{\tau}_0 = \tilde{\tau}_0'$  atunci punctul  $z^1$  se află pe frontiera domeniului  $\Omega$ , mai precis pe unul din hiperplanele ce mărginesc domeniul  $\Omega$  (restricția corespunzătoare este verificată ca egalitate de acest punct)

5./ Se presupune că procedînd în modul arîtat mai sus s-a ajuns la un punct  $z^p = (z_1^p, z_2^p, \dots, z_n^p)$  pentru care există  $q$  restricții satisfăcute ca egalități:  $\Delta_1(z^p) = \Delta_2(z^p) = \dots = \Delta_q(z^p) = 0$

Se calculează gradientul  $u^p$  al funcției obiectiv în acest punct și se verifică formula (4-3-6)

Dacă acest vector este conținut în domeniul  $\Omega$  se întoarce punctul 3 al algoritmului.

Dacă acest vector nu este în domeniul  $\Omega$  nu se poate deplasa pe o anastă direcție. În acest cas se proiectează gradientul  $u^p$  mai întîi pe hiperplanul  $\Delta_1(z^p) = 0$

Dacă acestastă direcție este admisă atunci se construiește iterația următoare după cele scrise mai sus punctele 3, 4. În cas contrar se trece la proiecția pe hiperplanul  $\Delta_2(z^p) = 0$  cu care se procedează în fel.

Dacă nici una din aceste proiecții nu furnizează o direcție admisă, atunci se proiectează gradientul  $u^P$  pe muchia comună planelor  $\angle_1(z^P) = \angle_2(z^P) = \dots = \angle_q(z^P) = 0$ . Această proiecție se calculează cu ajutorul formulaelor (4-3-14b), (4-3-9).

Procesul de calcul se oprește cind valoarea funcției-obiectiv nu mai descrește atunci cind ea începe să crească. Deci în sfîrșitul fiecărui iterării trebuie să se calculeze valoarea funcției obiectiv și se compar această valoare cu cea obținută în iterăția precedentă. Dacă funcția obiectiv ia valoarea mai mică decât cea obținută în iterăția precedentă, se face continuă procesul de calcul. În cas contrar se oprește procedoul și se ia valoarea funcției obiectiv în iterăția înainte imediată.

Pentru cazul general cind trebuie să se ia în considerare cheltuielile de exploatare se aplică următoarea măsură:

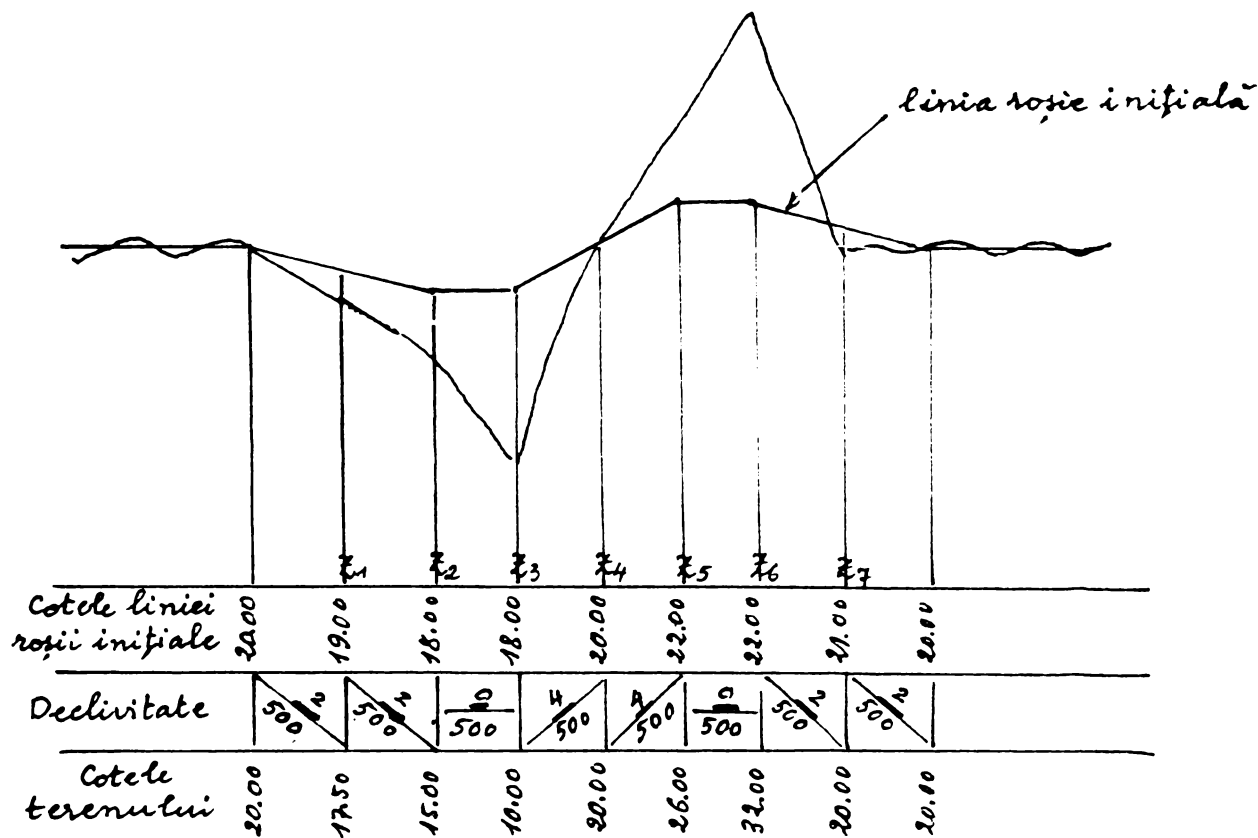
După ce s-a obținut linia roșie optimă pentru cheltuielile de construcții, în zona de groapă și în zona de vîrf ale profilului longitudinal se determină punctele 1, 2, 3, ... ca și cele făcute în fig. 4-1-4. Considerindu-se că aceste puncte sunt punctele obligatorii prin care se trece variantele noi. Se realizează variantele noi cu ajutorul algoritmului scris mai sus. Întrucătare varianta se calculează cheltuielile de construcții, și de exploatare, apoi se determină valorile funcției-obiectiv după formula (1-1-a) și se compar între ele.

Ridicarea poziției liniei roșii în zona de groapă și coborarea poziției ei în zona de vîrf se execută pînă cind valoarea funcției obiectiv nu începe să crească. Astfel se obține soluția optimă a problemei,

#### 4-3-3. Rezolvarea unui exemplu

Întrucătatea algoritmului prezentat mai sus se miște folosindu-un exemplu dat în partea 4-1-4

fig. 4-3-1. Profilul longitudinal al căii ferate cu linia roșie inițială dată de proiectant.



Funția obiectiv are forma următoare:

$$f(z) = C_{ST} \sum_i^{S_{ap}} r_i S_{ci} + C_u \sum_j^{ump} r_j S_{uj} \quad (4-2-11)$$

Să se minimeze funcția cu condițiile:

-Suma valorii absolute a declivității liniei și rezistența dată de curba este mai mică sau cel mult egală cu valoarea maximă admisă a declivității la proiectarea profilului longitudinal al căii ferate:

$$\left| \frac{z_{i+1} - z_i}{l_i} \right| + r_{Ci} \leq 8^\circ \quad (1-2-a)$$

-Diferența dintre valorile declivităților elementelor sălăturate în profilul longitudinal este mai mică sau cel mult egală cu diferența admisă

$$\left| \frac{z_{i+1} - z_i}{l_i} - \frac{z_{i+1} - z_{i-1}}{l_{i-1}} \right| \leq 8\% \quad (1-2-b)$$

-Lungimea elementului de profil este mai mare sau cel puțin egală cu lungimea admisă la proiectare:

$$l_i > l_{adm} \quad , \quad l_{adm} = 500^m \quad (1-2-c)$$

-Nivelul platformei căii este mai mare sau cel puțin egal cu nivelul necesar  $z^*$  al punctelor particulare  $z \geq z^*$  (1-2-d)

-Unicele schimbările de declivitate pe profilul longitudinal nu sunt

amplasate pe poduri fără balast sau pe curbe de recordare (1-2-c)

In formulele amintite:

$C_{ST}$  -costul săpăturii și transportul în umpluturi, în unități bănești.

In acest exemplu  $C_{ST} = 50$  unități bănești

$C_u$  -costul umpluturii, în unități bănești. In acest exemplu  $C_u = 10$  u.b.

$S_{si}$  -suprafața profilului transversal de săpătură

$S_{ui}$  -suprafața profilului transversal de umplutură

$r_{\frac{1}{2}}$  -distanța dintre pichetă

$Z_1$  -cota de proiectare a liniei rogii, în m

Reolvarea acestei probleme poate fi descrisă în felul următor:

1.- Se dă o linie rogă inițială ca cea prezentată în fig. 4-B-1

Se ia lungimea elementelor de profil de 500 m. Cotele liniei rogii inițiale

sunt:  $Z_1^0 = 19, Z_2^0 = 18, Z_3^0 = 18, Z_4^0 = 20, Z_5^0 = 22, Z_6^0 = 22, Z_7^0 = 21$

-Se notează pentru prescurtare cu  $Z^0 = (19, 18, 18, 20, 22, 22, 21)$  cotele liniei rogii inițiale.

-Se înlocuiesc cotele liniei rogii inițiale în restricțiile (1-2-a) (1-2-b) și se observă că nu sunt restricțiile satisfăcute cu egalitățile, deci această linie se află în interiorul mulțimii  $\Omega$ . (Pentru simplificare în acest exemplu nu se ia în considerare rezistența dată de curbă)

1-a. Se calculează gradientul funcției-obiectiv, în punctul  $Z^0$  după formulele (4-2-20) ~ (4-2-37). (In acest exemplu nu se ia în considerare extremitățile pichetăi intermediare dintr-o extremitate a elementelor de profil)

$$u^0 = (-1050, -1500, -3000, -600, +8500, +14500, -900)$$

1-b. Se calculează apoi valorile lui  $t$  din restricțiile (1-2-a), (1-2-b)

care se ia în considerare ca egalități și se alege valoarea pozitivă minimă dintre ele

$$\tilde{t}_c' = \min t_i > 0$$

$$\tilde{t}_c' = 0,00014$$

1-c. Se calculează minimul funcției  $g(t) = f(z^0 + tu^0)$  într-o aceasta

se pună

$$\frac{z_1 - 19}{-1050} = \frac{z_2 - 18}{-1500} = \frac{z_3 - 18}{-3000} = \frac{z_4 - 20}{-600} = \frac{z_5 - 22}{+8500} = \frac{z_6 - 22}{+14500} = \frac{z_7 - 20}{-900} = t = t_c$$

de unde

$$z_1 = 19 - 1050t, z_2 = 18 + 1500t, z_3 = 18 - 3000t, z_4 = 20 - 600t$$

$$z_5 = 22+8500t, z_6 = 22+14500t, z_7 = 20-900t$$

Inlocuindu-se aceste expresii în formulele (4-1-18) pentru calculul suprafeței profilului longitudinal, se obțin:

$$S_1 = [6+1,5(19-1050t-17,5)](19-1050t-17,5) = 1.653.750t^2 - 11025t + 12,375$$

$$S_2 = [6+1,5(18-1500t-15)](18-1500t-15) = 3.375.000t^2 - 22500t + 31$$

$$S_3 = [6+1,5(18-3000t-10)](18-3000t-10) = 13.500.000t^2 - 9000t + 144$$

$$S_4 = [6+1,5(20-600t-20)](20-600t-20) = 540.000t^2 - 3600t$$

$$S_5 = [9+(26-22-8500t)](26-22-8500t) = 72.250.000t^2 - 144500t + 52$$

$$S_6 = [9+(32-22-14500t)](32-22-14500t) = 210,250.000t^2 - 420500t + 190$$

$$S_7 = [6+1,5(20-900t)](20-900t-20) = 1.215.000t^2 - 5400t$$

(In acest exemplu nu se iau în considerare suprafețele profilelor tr  
extremitățile transversale ale pichenilor intermediare dintre extretele elementelor de profil)

Inlocuindu-se aceste valori ale lui S în funcția-obiectiv și se obține:

$$g(t) = 1.024.880 t^2 - 2.116 t + 1$$

Va cărarea lui t pentru care  $g(t)$  atinge minimul este:

$$\tilde{t}_0'' = t = 0,00014$$

Se alege valoarea cea mai mică a lui t dintre valorile  $\tilde{t}_0'$  și  $\tilde{t}_0''$

In acest caz această valoare este  $t = \tilde{t}_0' = 0,00014$

A doua aproximare va fi punctul  $Z^1 = Z^0 + t u^0$  adică linia regie a două cu cotele de proiecțare:

$$Z^1 = (18,85, 17,79, 17,58, 19,92, 23,19, 24,03, 20,87)$$

2.- Inlocuind aceste cote în restricțiile (1-2-a), (1-2-b) și se observă că restricția următoare care este satisfăcută cu egalitatea:

$$\frac{z_1 - z_6}{500} - \frac{z_6 - z_5}{500} = 0\%$$

$$\text{sun } z_5 - 2z_6 + z_7 + 4 = 0$$

2.a- Calculând gradientul funcției-obiectiv se obține:

$$u^1 = (-1005, -1457, -2074, +4580, +7310, +12450, +860)$$

Se verifică dacă vectorul  $u^1$  intră în domeniu  $\mathcal{D}$  după formula (4-3-6)

$$(1-2+1) \begin{pmatrix} +7310 \\ +12460 \\ -860 \end{pmatrix} < 0$$

Ceea ce se arată ca vector gradient  $u^1$  nu este în  $\Omega$ . Se construiește proiecția vectorului  $u^1$  pe hiperplanul  $z_5 - 2z_6 + z_7 + 4 = 0$  cu ajutorul formulelor (4-3-7)

$$u^1 = \begin{pmatrix} -1005 \\ -1437 \\ -2874 \\ +4580 \\ +7310 \\ +12460 \\ -860 \end{pmatrix} - \frac{1(+7310) - 2(+12460) + 1(-860)}{1^2 + (-2)^2 + 1^2} \begin{pmatrix} 0 \\ 0 \\ 0 \\ 1 \\ -2 \\ 1 \end{pmatrix} = \begin{pmatrix} -1005 \\ -1437 \\ -2874 \\ +4580 \\ +10388 \\ +6304 \\ +2218 \end{pmatrix}$$

Se va deplasa în continuare de-a lungul vectorului  $u^1$

2.b- Ca și punctul 1-b se calculează valorile lui  $t$  din restricțiile (1-2-a), (1-2-b), pe care se ia în considerare ca egalități și se alege valoarea pozitivă minimă dintre ele:

$$\tilde{\zeta}_1' = \min t_{\alpha} > 0$$

$$\text{În cazul de față } \tilde{\zeta}_1' = \frac{0.73}{5808} = 0,000126$$

2.c- Se calculează funcția  $g(t) = f(z^1 + tu^1)$  ca și în punctul 1-c și se obține  $g(t) = 867280 t^2 - 2213 t + 1$

Valoarea lui  $t$  pentru care  $g(t)$  atinge minimul este  $\tilde{\zeta}_2' = t = 0,00127$

Se alege valoarea cea mai mică dintre  $\tilde{\zeta}_1'$  și  $\tilde{\zeta}_2'$  adică se alege  $t = \tilde{\zeta}_1'$

A treia aproximatie va fi punctul  $z^2 = z^1 + tu^1$  adică linia roșie a treia cu cotele de proiecțare:

$$z^2 = (18.72, 17.61, 17.22, 20.49, 24.49, 24.82, 21.15)$$

3.- Înlocuind aceste cote în restricțiile (1-2-a), (1-2-b) și se obțin următoarele cote care sunt satisfăcute cu egalități:

$$z_4 - z_5 - 4 = 0$$

$$z_5 - 2z_6 + z_7 + 4 = 0$$

adică am ajuns deci în punctul  $z^2$  pe intersecția dintre 2 hiperplane

$$z_4 - z_5 - 4 = 0 \quad \text{și} \quad z_5 - 2z_6 + z_7 + 4 = 0$$

3.-a- Gradientul funcției obiectiv  $u^1$  calculat în punctul  $z^2$

cste:

$$u^2 = -966, -1303, -2760, -747, +6010, +11680, -945$$

Se verifică dacă vectorul  $u^2$  intră în domeniu  $\Omega$  după formula 4-3-6

$$(1-1) \begin{pmatrix} -747 \\ +6010 \end{pmatrix} < 0$$

$$(1-2+1) \begin{pmatrix} +6010 \\ +11680 \\ -945 \end{pmatrix} < 0$$

Ceace se arată că vectorul  $u^2$  nu este în  $\Omega$ . Trebuie să se calculeze proiecția vectorului  $u^2$  pe muchia determinată de hiperplanele

$$z_4 - z_5 - 4 = 0$$

$$z_5 - 2z_6 + z_7 + 4 = 0$$

cu ajutorul formulelor 4-3-14 b

$$s^1 = (0 \ 0 \ 0 \ 1 \ -1 \ 0 \ 0)$$

$$s^2 = (0 \ 0 \ 0 \ 0 \ 1 \ -2 \ 1) + \alpha_{21} (0 \ 0 \ 0 \ 1 \ -1 \ 0 \ 0)$$

$$\alpha_{21} = \frac{\begin{vmatrix} 0 & 0 & 0 & 1 & -2 & 1 \\ 0 & 0 & 0 & 0 & 1 & -1 & 0 & 0 \end{vmatrix}}{\begin{vmatrix} 0 & 0 & 0 & 1 & -1 & 0 & 0 \\ 0 & 0 & 0 & 1 & -1 & 0 & 0 \end{vmatrix}} = +\frac{1}{2}$$

$$\begin{array}{c|c} & \begin{matrix} 0 \\ 0 \\ 0 \\ 1 \\ -1 \\ 0 \\ 0 \end{matrix} \\ \hline 0 & \begin{matrix} 0 \\ 0 \\ 0 \\ 1 \\ -1 \\ 0 \\ 0 \end{matrix} \\ 0 & \begin{matrix} 0 \\ 0 \\ 0 \\ 0 \\ 0 \\ 1 \\ -1 \end{matrix} \\ 0 & \begin{matrix} 0 \\ 0 \\ 0 \\ 0 \\ 0 \\ -1 \\ 0 \end{matrix} \\ 0 & \begin{matrix} 0 \\ 0 \\ 0 \\ 0 \\ 0 \\ 0 \\ 0 \end{matrix} \end{array}$$

$$s^2 = (0 \ 0 \ 0 \ \frac{1}{2} \ \frac{1}{2} \ -2 \ 1)$$

$$u'^2 = u^2 + \alpha_{21} s^1 + \alpha_{21} s^2$$

$$(-966 \ -1383 \ -2760 \ -747 \ +6010 \ +11680 \ -945) \begin{pmatrix} 0 \\ 0 \\ 0 \\ 1 \\ -1 \\ 0 \\ 0 \end{pmatrix}$$

$$\alpha_1 = \frac{(-966 \ -1383 \ -2760 \ -747 \ +6010 \ +11680 \ -945) \begin{pmatrix} 0 \\ 0 \\ 0 \\ 1 \\ -1 \\ 0 \\ 0 \end{pmatrix}}{8} = 3378$$

$$(-966 \ -1383 \ -2760 \ -747 \ +6010 \ +11680 \ -945) \begin{pmatrix} 0 \\ 0 \\ 0 \\ 0.5 \\ 0.5 \\ -2 \\ 1 \end{pmatrix}$$

$$\alpha_2 = \frac{(-966 \ -1383 \ -2760 \ -747 \ +6010 \ +11680 \ -945) \begin{pmatrix} 0 \\ 0 \\ 0 \\ 0.5 \\ 0.5 \\ -2 \\ 1 \end{pmatrix}}{1} = 3941$$

$$u'^2 = \begin{pmatrix} -966 \\ -1383 \\ -2760 \\ -747 \\ +6010 \\ +11680 \\ -945 \end{pmatrix} + 3378 \begin{pmatrix} 0 \\ 0 \\ 0 \\ 1 \\ -1 \\ 0 \\ 0 \end{pmatrix} + 3941 \begin{pmatrix} 0 \\ 0 \\ 0 \\ 0.5 \\ 0.5 \\ -2 \\ 1 \end{pmatrix} = \begin{pmatrix} -966 \\ -1383 \\ -2766 \\ +4602 \\ +4602 \\ +3799 \\ +3000 \end{pmatrix}$$

3.-b Se calculează valorile lui  $t$  din restricțiile (1-2-a), (1-2-b) care, ia în considerare ca egalități și se alege valoarea pozitivă minimă dintre ele

$$\zeta_1' = \min t_1 > 0$$

In casul de față

$$\zeta_2' = \frac{0.34}{8751}$$

3.-c Se calculează minimul funcției  $\varrho(t) = f(z^2 + tu'^2)$ . Pentru acesta se procedează calculul ca și în punctul 1-c și se obține

$$\zeta_2'' = t > \zeta_2'$$

deci se alege

$$t = \zeta_2' = \frac{0.34}{8751}$$

A 4-a aproximatie va fi punctul  $z^3 = z^2 + \zeta_2 u'^2$  adică soluția a 4-a cu cotele de proiecțare:

$$z^3 = (18.69, 17.55, 17.11, 20.67, 24.67, 24.97, 21.27)$$

Procedind în continuă ca și cele menținute se obține soluția a 5-a cu cotele de proiecțare:

$$z^4 = (18.16, 17.16, 17.16, 21.16, 25.16, 25.42, 21.68)$$

și soluția a 6-a cu cotele de proiecțare

$$z^5 = (17.92, 18.00, 18.00, 22.00, 26.00, 27.00, 24.00)$$

care este aproape de soluția găsită în rezolvarea acestei probleme cu metoda programării dinamice.

4-4 Metoda gradientului proiectat a lui Rosen și posibilitatea aplicării ei în elaborarea liniei recte la profilul longitudinal al căii ferate.

Metoda gradientului proiectat este o metodă de rezolvare a problemelor de programare neliiniară convexă, cu restricții liniare sau nu, unde funcția obiectiv  $f(x)$  este convexă și diferențială în  $\mathbb{R}^n$  [8], [12], [13], [22].

#### 4-4-1. Descrierea algoritmului

In cele ce urmează se descriu algoritmul gradientului proiectat în cazul restricțiilor liniare.

Se consideră problema

$$\min f(x) \quad (4-4-1)$$

cu restricțiile liniare

$$\sum_{j=1}^n a_{ij}x_j \leq b_i, \quad i = 1, \dots, m$$

și

$$\sum_{j=1}^n a_{ij}x_j = b_i, \quad i = m+1, \dots, m_1 \quad (4-4-2)$$

în care sunt incluse și eventualele restricții de nonnegativitate pentru variabile.

Pie  $x^{k-1}$  o soluție admisibilă a problemei la iterația  $k-1$

Atunci

$$x^k = x^{k-1} + t d^{k-1} \quad (4-4-3)$$

unde vectorul  $d^{k-1} \in \mathbb{R}^n$  reprezintă direcția de explorare, iar  $t$  se determină astfel încât nouă punct  $x^k$  să satisfacă (4-4-2) și evident  $f(x^k) < f(x^{k-1})$ .

Se notează cu

$$I^{k-1} = \left\{ i \mid \sum_{j=1}^n a_{ij}x_j^{k-1} = b_i, \quad i = 1, 2, \dots, m_1 \right\} \quad (4-4-4)$$

multimea indicilor  $i$  ai restricțiilor care sunt satisfăcute cu egalitate de către punctul  $x^{k-1}$ , și

$$H_1^{k-1} = \left\{ x \mid \sum_{j=1}^n a_{ij}x_j = b_i, \quad i \in I^{k-1} \right\} \quad (4-4-5)$$

hiperplanele corespunzătoare restricțiilor  $i$ , ( $i \in I^{k-1}$ ). Direcția  $d^{k-1}$  este dată de proiecția vectorului  $-\nabla f(x^{k-1})$  pe varietatea liniară obținută prin intersecția hiperplanelor restricții  $H_1$ ,  $i \in I^{k-1}$ .

Dacă se notează cu  $A_{k-1}$  matricea formată din vectorii liniști  $(a_{11}, a_{12}, \dots, a_{1n})$ ,  $i \in I^{k-1}$ , atunci matricea de proiecție a unui vector pe

subspațiul paralel cu varietatea liniară dată de intersecția hiperplanelor restricții care conțin punctul  $x^{k-1}$  este:

$$P_{k-1} = I - A_{k-1}' (A_{k-1} A_{k-1}')^{-1} A_{k-1} \quad (4-4-6)$$

unde

$I$  - matricea unitate

$A_{k-1}'$  - matricea transpusă a matricei  $A_{k-1}$

$(A_{k-1} A_{k-1}')^{-1}$  - matricea inversă

Prin urmare

$$d^{k-1} = P_{k-1} [-\nabla f(x^{k-1})] \quad (4-4-7)$$

Condiția ca un punct astfel obținut să fie optim este dată de teorema lui Rosen:

Condiția necesară și suficientă ca soluția admisibilă  $x^{k-1}$  să fie optimă este ca

$$P_{k-1} [-\nabla f(x^{k-1})] = 0 \quad (4-4-8)$$

și

$$(A_{k-1} A_{k-1}')^{-1} A_{k-1} [-\nabla f(x^{k-1})] > 0 \quad (4-4-9)$$

1.- Dacă punctul  $x^{k-1}$  este astfel încât  $P_{k-1}[-\nabla f(x^{k-1})] \neq 0$  se determină noul punct  $x^k$  cu ajutorul formulei (4-4-3), unde direcția  $d^{k-1}$  se calculează conform relației (4-4-7)

Pentru ca  $x^k$  să rămână o soluție admisibilă trebuie să verifice

(4-4-2), deci

$$\sum_{j=1}^n a_{ij} x_j^{k-1} + t \sum_{j=1}^n a_{ij} d_j^{k-1} \leq b_i, \quad i=1, 2, \dots, m$$

$$\sum_{j=1}^n a_{ij} x_j^{k-1} + t \sum_{j=1}^n a_{ij} d_j^{k-1} = b_i, \quad i= m+1, \dots, n$$

Rezultă

$$\sum_{j=1}^n a_{ij} d_j^{k-1} \leq 0 \quad \text{pentru } i \in I^{k-1} \quad (4-4-10)$$

Condiție să verifică pentru  $d^{k-1}$  dată de (4-4-7) și

$$\sum_{j=1}^n a_{ij} d_j^{k-1} = 0 \quad \text{pentru } i= m+1, \dots, n \quad (4-4-11)$$

Pentru  $i \notin I^{k-1}$ ,  $i=1, 2, \dots, m$  trebuie ca

$$t \sum_{j=1}^n a_{ij} d_j^{k-1} \leq b_i - \sum_{j=1}^n a_{ij} x_j^{k-1} \quad (4-4-12)$$

Dacă (4-4-10) și (4-4-11) sunt verificate, condiția (4-4-12) este verificată pentru orice  $0 \leq t \leq \frac{1}{2}$  unde

$$\zeta' = \min_i \frac{b_i - \sum_{j=1}^n a_{ij} x_j^{k-1}}{\sum_{j=1}^n a_{ij} d_j^{k-1}} \quad \text{pentru } i \notin I^{k-1}, i=1, \dots, n \quad (4-4-13)$$

$$\text{și } \sum_{j=1}^n a_{ij} d_j^{k-1} > 0$$

$\zeta' = \infty$  dacă nu există  $i \notin I^{k-1}$ ,  $i=1, 2, \dots, n$

$$\text{și } \sum_{j=1}^n a_{ij} d_j^{k-1} > 0$$

Pentru ca să se obțină o scădere maximă a funcției pe direcția  $d^{k-1}$ , se consideră pasul  $t \in (0, \zeta')$  pentru care funcția  $\xi(t)$  să ia valoarea minimă adică

$$\xi(t) = \min_{t \in (0, \zeta')} f(x^{k-1} + t d^{k-1}) \quad (4-4-14)$$

Se determină astfel  $x^k$  și procesul iterativ continuă

2. Dacă  $x^{k-1}$  verifică condiția (4-4-8) și este verificată și condiția (4-4-9),  $x^{k-1}$  este punctul de optim conform teoremei lui Rosen. Dacă (4-4-9) nu este înăpunctită, înseamnă că există cel puțin o componentă negativă a vectorului.

$$U = (A_{k-1} \ A'_{k-1})^{-1} A_{k-1} [-\nabla f(x^{k-1})] \quad (4-4-15)$$

Există deci un indice  $i^*$ ,  $i^* \in I^{k-1}$  astfel încât  $u_{i^*} < 0$

Notând cu  $\bar{A}_{k-1}$  matricea obținută din  $A_{k-1}$  prin suprimarea liniei  $i$ , se determină matricea de proiecție corespunzătoare cu ajutorul formulai (4-4-6) și iterările continuă.

#### 4-4-2. Aplicatia metodei gradientului proiectat a lui Rosen în elaborarea liniei roșii la profilul longitudinal.

După observații în partea 4-3-2 se poate aplica și metoda amintită în elaborarea liniei roșii la profilul longitudinal al căii ferate. Algoritmul se face în felul următor:

1.- Plecind de la un punct admisibil  $Z^k$  situat pe frontieră domeniului  $\Omega$  a variantelor, adică pornind de la o linie roșie inițială dată de proiectant ca cotele de proiecțare

$$Z^k = (Z_1^k, Z_2^k, \dots, Z_n^k)$$

Cu cotele de proiecțare ale acestei linii roșii inițiale există cel puțin una din restricțiile (1-2-a), (1-2-b), (1-2-d) satisfăcută ca egalitate

- leia

te. Dacă plecind de la un punct arbitrar în interiorul domeniului  $\Omega$  ajungem la un punct pe frontieră cu ajutorul algoritmului scris în partea 4-3-2. Se calculează gradientul  $\nabla f(Z)$  cu ajutorul formulelor (4-2-20) + (4-2-37).

2. Se determină matricea  $A^k$ , care este formată din coeficienții restricțiilor satisfăcuți cu egalitate.

3. Se calculează matricea de proiecție  $P_k$  cu formula (4-4-6).

4. Se determină direcția  $d^k$  cu formula (4-4-7).

5. Se calculează valorile lui  $t$  din restricțiile (1-2-a), (1-2-b) (1-2-d) care sunt luate în considerare ca egalități și în aceste restricții  $Z$  este înlocuit prin  $Z^k + td^k$ . Dintre valorile calculate se alege valoarea pozitivă minimă  $\zeta' = \min t_i$

6. Se calculează funcția  $g(t) = f(Z^k + td^k)$  și se caută valoarea lui  $t$  pentru care funcția  $g(t)$  atinge minimul:

$$t = \zeta''$$

7. Se alege valoarea minimă dintre  $\zeta'$  și  $\zeta''$

$$t = \min (\zeta', \zeta'')$$

8. Se determină punctul  $Z^{k+1} = Z^k + td^k$  adică se obține linia roșie  $a-k+1-a$  cu cotele de proiecțare

$$Z^{k+1} = (Z_1^{k+1}, Z_2^{k+1}, \dots, Z_n^{k+1})$$

9. Se calculează valoarea funcției-obiectiv în punctul  $Z^{k+1}$  apoi se compară valoarea obținută cu cea calculată în punctul  $Z^k$

Dacă valoarea funcției-obiectiv în punctul  $Z^{k+1}$  este mai mică decât cea calculată în punctul  $Z^k$  se repetă procedeul, luând ca punct de plecare punctul  $Z^{k+1}$ .

Dacă valoarea funcției-obiectiv în punctul  $Z^{k+1}$  este mai mare decât cea calculată în punctul  $Z^k$  se oprește procedeul luând ca punct de staționare punctul  $Z^k$ .

Până aici se obține linia roșie optimă pentru care cheltuielile de construcții sunt minime. În cazul în care trebuie să se ia în considerare și cheltuielile de exploatare, se face algoritmul la fel ca cel prezentat în sfîrșitul părții 4-3-2.

#### 4-4-3 Rezolvarea urmări exemplu

Pentru claritate se folosește și exemplu dat în partea 4-3-3

Rezolvarea acestei probleme se face în felul următor:

- 1.- Pormind de la un punct admisibil situat pe frontieră domeniului și adică de la linia roșie inițială dată de proiectant cu cotele de proiectare de exemplu do la punctul

$$z^1 = (18.85, 17.79, 17.58, 19.92, 23.19, 24.03, 20.87)$$

- Se calculează gradientul funcției-obiectiv cu ajutorul formulelor (4-2-20)~(4-2-37). În acest exemplu nu se iau în considerare păchetii intermediali dintre extretele elementelor de profil

$$-\nabla f(z) = \begin{pmatrix} -1005 \\ -1437 \\ -2074 \\ +4580 \\ +7310 \\ +12460 \\ -860 \end{pmatrix}$$

- Se înlocuiesc valorile lui  $z^1 = (18.85, 17.79, 17.58, 19.92, 23.19, 24.03, 20.87)$  în restricțiile (1-2-a), (1-2-b) și se observă că restricția următoare care este satisfăcută cu egalitate de către punctul  $z^1$ :

$$\left| \frac{z_7 - z_6}{500} - \frac{z_6 - z_5}{500} \right| = 8.0$$

$$\text{ sau } z_5 - 2z_6 + z_7 + 4 = 0$$

Se determină matricea  $A_1 = (0 \ 0 \ 0 \ 0 \ 1 \ -2 \ 1)$

Matricea transpusă

$$A_1' = \begin{pmatrix} 0 \\ 0 \\ 0 \\ 0 \\ 1 \\ -2 \\ 1 \end{pmatrix}$$

Se calculează matricea  $P_1$  de proiecție după formula (4-4-6)

$$A_1 A_1'^{-1} = (0 \ 0 \ 0 \ 0 \ 1 \ -2 \ 1) \begin{pmatrix} 0 \\ 0 \\ 0 \\ 0 \\ 1 \\ -2 \\ 1 \end{pmatrix} = 6$$

$$(A_1 A_1'^{-1})^{-1} = \frac{1}{6}$$

$$A_1' (A_1 A_1')^{-1} = \begin{pmatrix} 0 & 0 & 0 & 0 & 0 & 0 & 0 \\ 0 & 0 & 0 & 0 & 0 & 0 & 0 \\ 0 & 0 & 0 & 0 & 0 & 0 & 0 \\ 0 & 0 & 0 & 0 & 0 & 0 & 0 \\ 1 & 1 & 1 & 1 & 1 & 1 & 1 \\ -2 & -2 & -2 & -2 & -2 & -2 & -2 \\ 1 & 1 & 1 & 1 & 1 & 1 & 1 \end{pmatrix} \frac{1}{6} = \begin{pmatrix} 0 & 0 & 0 & 0 & 0 & 0 & 0 \\ 0 & 0 & 0 & 0 & 0 & 0 & 0 \\ 0 & 0 & 0 & 0 & 0 & 0 & 0 \\ 0 & 0 & 0 & 0 & 0 & 0 & 0 \\ 1/6 & 1/6 & 1/6 & 1/6 & 1/6 & 1/6 & 1/6 \\ -2/6 & -2/6 & -2/6 & -2/6 & -2/6 & -2/6 & -2/6 \\ 1/6 & 1/6 & 1/6 & 1/6 & 1/6 & 1/6 & 1/6 \end{pmatrix}$$

$$A_1' (A_1 A_1')^{-1} A_1 = \begin{pmatrix} 0 & 0 & 0 & 0 & 0 & 0 & 0 \\ 0 & 0 & 0 & 0 & 0 & 0 & 0 \\ 0 & 0 & 0 & 0 & 0 & 0 & 0 \\ 0 & 0 & 0 & 0 & 0 & 0 & 0 \\ 1/6 & 1/6 & 1/6 & 1/6 & 1/6 & 1/6 & 1/6 \\ -2/6 & -2/6 & -2/6 & -2/6 & -2/6 & -2/6 & -2/6 \\ 1/6 & 1/6 & 1/6 & 1/6 & 1/6 & 1/6 & 1/6 \end{pmatrix} (0 \ 0 \ 0 \ 1 \ -2 \ 1) = \frac{1}{6} \begin{pmatrix} 0 & 0 & 0 & 0 & 0 & 0 & 0 \\ 0 & 0 & 0 & 0 & 0 & 0 & 0 \\ 0 & 0 & 0 & 0 & 0 & 0 & 0 \\ 0 & 0 & 0 & 0 & 0 & 0 & 0 \\ 0 & 0 & 0 & 0 & 1 & -2 & 1 \\ 0 & 0 & 0 & 0 & -2 & 4 & -2 \\ 0 & 0 & 0 & 0 & 1 & -2 & 1 \end{pmatrix}$$

$$P_1 = I - A_1' (A_1 A_1')^{-1} A_1 = \frac{1}{6} \begin{pmatrix} 6 & 0 & 0 & 0 & 0 & 0 & 0 \\ 0 & 6 & 0 & 0 & 0 & 0 & 0 \\ 0 & 0 & 6 & 0 & 0 & 0 & 0 \\ 0 & 0 & 0 & 6 & 0 & 0 & 0 \\ 0 & 0 & 0 & 0 & 5 & 2 & -1 \\ 0 & 0 & 0 & 0 & 2 & 2 & 2 \\ 0 & 0 & 0 & 0 & -1 & 2 & 5 \end{pmatrix}$$

$d'$  este data de proiecția gradientului  $\nabla f(z')$  pe hiperplanul  $z_5 - 2z_6 + z_7 + 4 = 0$

$$d' = P_1 [-\nabla f(z')] = \frac{1}{6} \begin{pmatrix} 6 & 0 & 0 & 0 & 0 & 0 & 0 \\ 0 & 6 & 0 & 0 & 0 & 0 & 0 \\ 0 & 0 & 6 & 0 & 0 & 0 & 0 \\ 0 & 0 & 0 & 6 & 0 & 0 & 0 \\ 0 & 0 & 0 & 0 & 5 & 2 & -1 \\ 0 & 0 & 0 & 0 & 2 & 2 & 2 \\ 0 & 0 & 0 & 0 & -1 & 2 & 5 \end{pmatrix} \begin{pmatrix} -1005 \\ -1437 \\ -2874 \\ +4580 \\ +7310 \\ +11747 \\ -860 \end{pmatrix} = \begin{pmatrix} -1005 \\ -1437 \\ -2874 \\ +4580 \\ +10338 \\ +6303 \\ +2218 \end{pmatrix}$$

Se calculează valorile lui  $t$  din restricțiile (1-2-a), (1-2-b) care sunt luate în considerare ca egalități și se alege valoarea pozitivă minimă dintre ele:

$$\tilde{t}_0 = \min t_i > 0$$

$$\text{In cazul de față } \tilde{t}_0 = 0,000126$$

Apoi se calculează funcția  $\varepsilon(t) = f(z^1 + td^1)$ . Întrucât aceasta se pune

$$\frac{z_1 - 18,85}{-1005} = \frac{z_2 - 17,79}{-1437} = \frac{z_3 - 17,58}{-2874} = \frac{z_4 - 19,92}{4580} = \frac{z_5 - 23,19}{10338} = \frac{z_6 - 24,03}{6303} =$$

$$-\frac{z_7 - 20,87}{2218} = t \quad t > 0$$

de unde

$$z_1 = 18,85 - 1005t, \quad z_2 = 17,79 - 1437t, \quad z_3 = 17,58 - 2874t, \quad z_4 = 19,92 + 4580t$$

$$z_5 = 23,19 + 10338t, \quad z_6 = 24,03 + 6303t, \quad z_7 = 20,87 + 2218t$$

Inlocuindu-se aceste expresii în formulele (4-1-10) pentru calculul

suprafeței profilului longitudinal, se obțin:

$$S_1 = 1515 \cdot 037 t^2 - 10100 t + 11$$

$$S_2 = 3097 \cdot 453 t^2 - 26650 t + 28$$

$$S_3 = 12389 \cdot 814 t^2 - 82599 t + 132$$

$$S_4 = 20976 \cdot 400 t^2 - 114500 t + 1$$

$$S_5 = 107910 \cdot 544 t^2 - 151873 t + 33$$

$$S_6 = 39690 \cdot 000 t^2 - 157500 t + 136$$

$$S_7 = 7392 \cdot 000 t^2 + 19302 t + 6$$

In acest exemplu nu se iau în considerare suprafețele profilelor transversale ale pichenilor intermediare dintre extremitățile elementelor de profil

Inlocuindu-se aceste valori ale lui S în funcția-obiectiv și se obține:

$$g(t) = 867 \cdot 280 t^2 - 2213 t + 1$$

Valoarea lui t pentru care  $g(t)$  atinge minimul este

$$\zeta''_0 = t = 0,00127$$

- Dintre  $\zeta'_0$  și  $\zeta''_0$  se alege  $t = \min(\zeta'_0, \zeta''_0) = 0,000126$

- A doua aproximatie va fi punctul  $z^2 = z^1 + 0,000126 d^1$  adică

$$z^2 = (18,72, 17,61, 17,22, 20,49, 24,49, 24,82, 21,15)$$

2.- Se calculează gradientul funcției-obiectiv în acest punct și se obține:

$$-\nabla f(z^2) = \begin{pmatrix} -966 \\ -1383 \\ -2760 \\ -747 \\ 6010 \\ 11680 \\ 945 \end{pmatrix}$$

- Se înlocuiesc valorile lui  $z^2 = (18,72, 17,61, 17,22, 20,49, 24,49, 24,82, 21,15)$  în restricțiile (1-2-a), (1-2-b) și se observă că restricțiile următoare care sunt satisfăcute ca egalități:

$$z_4 - z_5 - 4 = 0$$

$$z_5 - 2z_6 + z_7 + 4 = 0$$

- Se determină matricea  $A_2$

$$A_2 = \begin{vmatrix} 0 & 0 & 0 & 1 & -1 & 0 & 0 \\ 0 & 0 & 0 & 0 & 1 & -2 & 1 \end{vmatrix}$$

- Se calculează matricea de proiecție a vectorului  $\nabla f(z^2)$  pe subspațial paralel cu varietatea liniară dată de intersecția hiperplanelor restricții amintite:

$$P_2 = I - A_2^{-1} (A_2 A_2^T)^{-1} A_2 = \frac{1}{11} \begin{vmatrix} 11 & 0 & 0 & 0 & 0 & 0 & 0 \\ 0 & 11 & 0 & 0 & 0 & 0 & 0 \\ 0 & 0 & 11 & 0 & 0 & 0 & 0 \\ 0 & 0 & 0 & 5 & 5 & 2 & -1 \\ 0 & 0 & 0 & 5 & 5 & 2 & -1 \\ 0 & 0 & 0 & 2 & 2 & 3 & 4 \\ 0 & 0 & 0 & -1 & -1 & 4 & 9 \end{vmatrix}$$

Direcția d<sup>2</sup> dateă de proiecția vectorului  $\nabla f(z^2)$  pe varietatea liniară obținută prin intersecția hiperplanelor restricții amintite este

$$d^2 = P_2 [-\nabla f(z^2)] = \begin{vmatrix} -966 \\ -1383 \\ -2760 \\ 4602 \\ 3799 \\ 2996 \end{vmatrix}$$

- Se calculează valorile lui t din restricțiile (1-2-a), (1-2-b) și valoarea lui t pentru care  $g(t) = f(z^2 + t \times d^2)$  atinge minimul.

Se alege valoarea pozitivă minimă dintre ele:  $t = 0,000039$

- Aproximația a 3-a va fi punctul  $z^3 = z^2 + 0,000039 \times d^2$  adică linia roșie a 3-a cu cotole de proiecțare:

$$z^3 = (18.69, 17.55, 17.11, 20.67, 24.67, 24.97, 21.27)$$

Procedind continuu în același mod ca pînă acum se obține: aproximăția a 4-a

$$z^4 = (18.16, 17.16, 17.16, 21.16, 25.16, 25.42, 21.68)$$

aproximația a 5-a

$$z^5 = (17.92, 18.00, 18.00, 22.00, 26.00, 27.00, 24.00)$$

Procesul de calcul se oprește în iterată a 5-a pentru că dacă se mai face continuu, funcția-obiectiv nu mai descrește, ea începe să crească. Soluția n 5-a este aproape de soluția găsită în rezolvarea acestor probleme cu programele dinamice.

#### 4-5 Metoda variatiilor locale si aplicarea ei in elaborarea liniei roșii optime la profilul longitudinal al căii ferate [6],[46],[47]

In această parte se va da un procedeu iterativ de obținere a minimului unei funcționale neliniare și se reprezintă aplicația acestuia procedeu în elaborarea liniei roșii optime la profilul longitudinal al căii ferate.

##### 4-5-1 Descrierea metodei

Fie  $X$  un spațiu Banach reflexiv.

Se notează cu  $f(x)$  o funcțională neliniară definită pe  $X$ , continuă, strict convexă și coercitivă, adică

$$\lim_{\|x\| \rightarrow \infty} f(x) = +\infty \quad (4-5-1)$$

In aceste condiții există un element  $x^*$ , unic, astfel că

$$f(x^*) = \min_{x \in X} f(x)$$

Demonstrația acestei teoreme se găsește în [46]

Fie  $\{X_n\}$  un sir de subspații de dimensiune finită, conținute în  $X$  și  $\overline{\bigcup_{n=1}^{\infty} X_n}$  densă în  $X$ , adică  $\overline{\bigcup_{n=1}^{\infty} X_n} = X$

Considerăm o bază a lui  $X_n$  formată cu elementele

$$\{e_1, e_2, \dots, e_n\}$$

Fie  $\varphi > 0$  arbitrar și  $X_n$  mulțimea tuturor elementelor de forma  $x = \sum_{i=1}^n \alpha_i e_i \in X_n$ , unde  $\alpha_i$  sunt de forma  $\alpha_i \pm \varphi$ . Se notează cu

$$\begin{aligned} f^* &= f(x^*) = \inf_{x \in X} f(x) \\ f_n^* &= f(x_n^*) = \inf_{x \in X_n} f(x) \\ f_n^{*\varphi} &= f(x_n^{*\varphi}) = \inf_{x \in X_n^\varphi} f(x) \end{aligned} \quad (4-5-2)$$

In [46] se demonstrează

- 1.-  $f_n^* \rightarrow f^*$  cind  $n \rightarrow \infty$
- 2.-  $f_n^{*\varphi} \rightarrow f^*$  cind  $\varphi \rightarrow 0$
- 3.-  $x_n^* \rightarrow x^*$  cind  $n \rightarrow \infty$
- 4.-  $x_n^{*\varphi} \rightarrow x^*$  cind  $\varphi \rightarrow 0$

In sfîrșit, această metodă constă în a găsi o aproximatie a lui  $x_n^*$ .

Fie  $\mathbf{g}(x_1, x_2, \dots, x_n) = f(x_1 e_1 + \dots + x_n e_n)$  (4-5-3)

Atunci problema revine la a minimiza o funcție de mai multe variabile,  $g : \mathbb{R}^n \rightarrow \mathbb{R}$

$$\inf_{(\alpha_i)_1^n} g(x_1, x_2, \dots, x_n) = \inf_{x \in X_n} f(x) \quad (4-5-4)$$

Se alege o valoare initială  $(x_1^0, x_2^0, \dots, x_n^0)$  și un număr arbitrar  $\varepsilon$ .

Fie

$$\nabla_i^0 = g(x_1^0, \dots, x_{i-1}^0, x_i^0, x_{i+1}^0, \dots, x_n^0)$$

$$\nabla_i^+ = g(x_1^0, \dots, x_{i-1}^0, x_i^0 + \varepsilon, x_{i+1}^0, \dots, x_n^0) \quad (4-5-5)$$

$$\nabla_i^- = g(x_1^0, \dots, x_{i-1}^0, x_i^0 - \varepsilon, x_{i+1}^0, \dots, x_n^0)$$

Fie  $x_i^\varepsilon$  punctul din mulțimea  $(x_1^0, x_i^0 + \varepsilon, x_i^0 - \varepsilon)$  care realizează minimul în mulțimea  $\{\nabla_i^0, \nabla_i^+, \nabla_i^-\}$ . Se înlocuiește apoi  $x_i^0$  prin  $x_i^\varepsilon$  în  $\nabla_2, \nabla_2^+, \nabla_2^-$ .

Se notează cu  $x_2^\varepsilon$  punctul din mulțimea  $(x_2^0, x_2^0 + \varepsilon, x_2^0 - \varepsilon)$  care realizează minimul lui  $\{\nabla_2, \nabla_2^+, \nabla_2^-\}$  și se înlocuiesc în  $(\nabla_3, \nabla_3^+, \nabla_3^-)$   $x_1^0$  prin  $x_1^\varepsilon$  iar  $x_2^0$  prin  $x_2^\varepsilon$ .

Se face continu procesul pînă cînd se obține  $x_n^\varepsilon$ .

Se obține astfel vectorul  $(x_1^\varepsilon, x_2^\varepsilon, \dots, x_n^\varepsilon)$  și se face continu procesul cu valoarea inițială  $(x_1^\varepsilon, x_2^\varepsilon, \dots, x_n^\varepsilon)$  pînă cînd se obține un punct staționar, adică

$$\left\{ \begin{array}{l} \nabla_1^+ \geq \nabla_1 \\ \nabla_1^- \geq \nabla_1 \\ \vdots \\ \nabla_i^+ \geq \nabla_i \\ \nabla_i^- \geq \nabla_i \end{array} \right. \Leftrightarrow \left\{ \begin{array}{l} g(x_1^\varepsilon + \varepsilon, x_2^\varepsilon, \dots, x_n^\varepsilon) \geq g(x_1^\varepsilon, x_2^\varepsilon, \dots, x_n^\varepsilon) \\ \vdots \\ g(x_1^\varepsilon, x_2^\varepsilon, \dots, x_n^\varepsilon - \varepsilon) \geq g(x_1^\varepsilon, x_2^\varepsilon, \dots, x_n^\varepsilon) \end{array} \right. \quad (4-5-6)$$

Pentru  $n$  și  $\varepsilon$  fixați, metoda conduce într-un număr finit de pași către existența unui vector  $(x_1^\varepsilon, x_2^\varepsilon, \dots, x_n^\varepsilon)$  care verifică relația (4-5-6).

Intr-adevăr, notind cu  $x_n^\varepsilon$  vectorii de componentă  $(x_1^\varepsilon, x_2^\varepsilon, \dots, x_n^\varepsilon)$  ce intervin în procesul de calcul precedent, se obține

$$\|x_n^\varepsilon\| \leq C$$

( $C$  – o constantă pozitivă), căci  $\|x_n^\varepsilon\| \rightarrow +\infty \Rightarrow \lim f(x_n^\varepsilon) = +\infty$

ceea ce nu este posibil căci  $f(x_n^\varepsilon)$  descrescă.

Deci există o constantă astfel că  $|x_i^\varepsilon| \leq K$ ,  $i = 1, 2, \dots$

Obținind staționaritatea se dividează cu 2 și se continuă procesul

Să noteăm cu  $x_n^{*P} = (x_1^{*P}, x_2^{*P}, \dots, x_n^{*P})$  vectorul obținut prin procesul descris.

Pie  $f_n^{*P} = f(x_n^{*P})$  și se presupune că funcția  $f$  admite derivate parțiale continue în  $x$ . În lucrarea [46] se demonstrează  $f_n^{*P} \rightarrow f_n^*$  cind  $P \rightarrow 0$   
cind  $x_n^{*P} \rightarrow x_n$  cind  $P \rightarrow 0$ .

#### 4-5-2 Aplicatia metodei variațiilor locale în elaborarea liniei rogii optime la profilul longitudinal al căii ferate

În metoda variațiilor locale se dă o soluție inițială, apoi se îmbunătățește această printr-o serie de iterări continue. Aplicarea acestei metode în elaborarea liniei rogii optime se face în felul următor:

I. Proiectantul dă o linie roasie inițială cu cotoane punctelor schimbătoarelor de declivitate, fig. 4-5-1. Pentru această linie se calculează:

- lungimea și declivitatea elementelor de profil
- cotoane de proiecție ale pichenților aflate în fiecare element de profil
- volumul de umplutură și de săpătură
- cheltuielile de construcții
- cheltuielile de exploatare pentru ambele sensuri de circulație ale tremarilor
- cheltuielile amalec adică valoarea funcției-obiectiv după relația (1-1-a)

II. Se execută prima variație locală pentru partea 0-1-2,

fig. 4-5-1

#### II-1. Construirea și calculul variantei ridicată.

a.- Pentru aceasta se ridică poziția liniei rogii inițiale în punctul 1 cu o valoare pozitivă arbitrară  $\delta$

$$z_1^P = z_1^0 + \delta$$

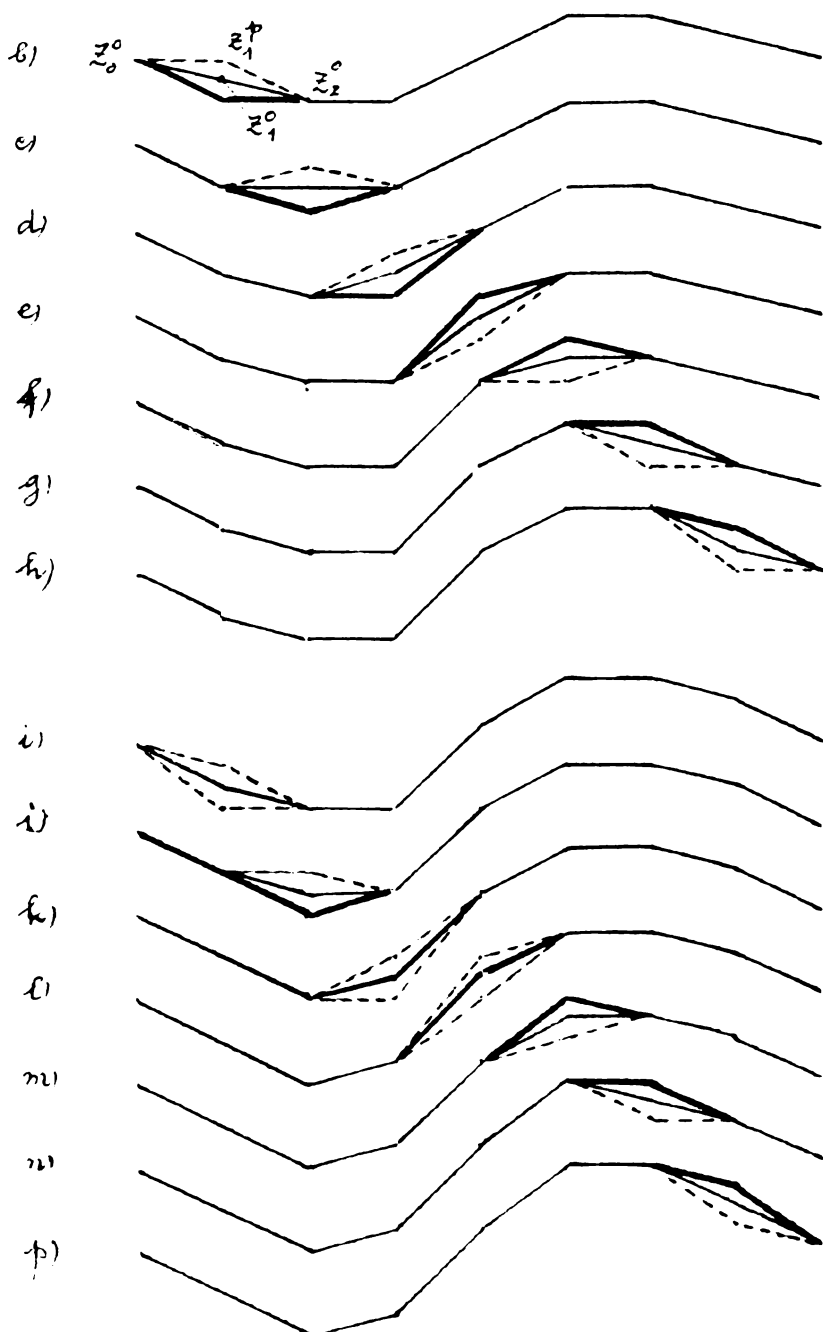
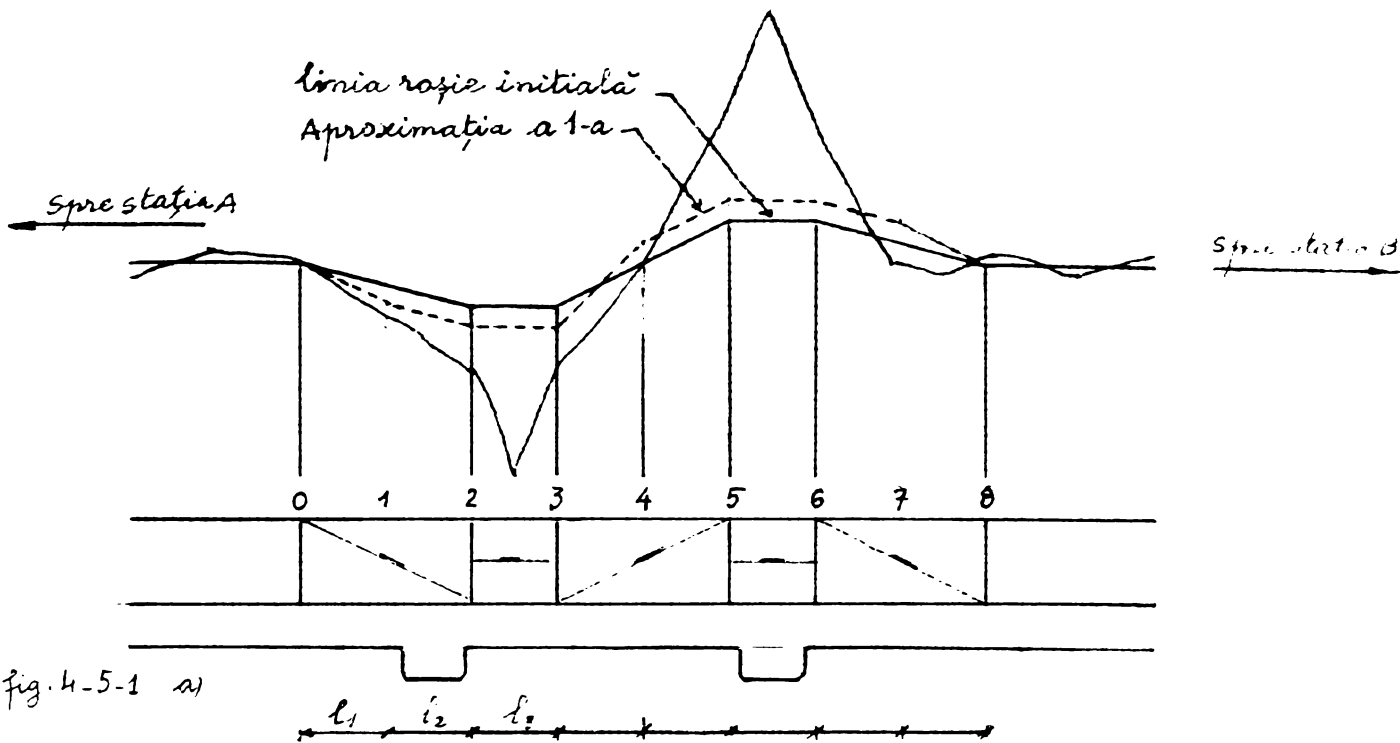
b.- Se calculează declivitatea pentru variantele ridicante

$$i_1^P = \frac{z_1^P - z_0^0}{l_1}$$

Not.  $l_1$  - lungimea părții 0-1 a profilului longitudinal

Se verifică restricția (1-2-a):

$$|i_1^P| + \gamma_c \leq i_{adm}$$



$r_{c1}$  - rezistență dată de cărburi în partea o-l a profilului

$i_{adm}$  - valoarea maximă admisă a declivității la proiectare

- Dacă la această inegalitate nu este satisfăcută se elimină această variantă și se trece la construirea și calculul variantei coborite.

- Dacă această inegalitate este satisfăcută se calculează

$$i_2^P = \frac{z_2^0 - z_1^P}{l_2}$$

Se verifică restricția (1-2-a) :  $|i_2^P| + r_{c2} \leq i_{adm}$

- Dacă această inegalitate nu este satisfăcută se elimină această variantă și se trece la construirea și calculul variantei coborite.

- Dacă această inegalitate este satisfăcută se trece la punctul următor al algoritmului.

c.- Se calculează diferența algebraică dintre valorile declivităților elementelor alăturate în profilul longitudinal:

$$\Delta i_1 = i_1^P - i_1^0$$

Se verifică restricția (1-2-b) :  $|\Delta i_1| \leq \Delta i_{adm}$

- Dacă această inegalitate nu este satisfăcută se elimină această variantă și se trece la construirea și calculul variantei coborite.

- Dacă această inegalitate este satisfăcută se calculează

$$\Delta i_2 = i_2^P - i_1^P$$

Se verifică restricția (1-2-b) :  $|\Delta i_2| \leq \Delta i_{adm}$

- Dacă această inegalitate nu este satisfăcută se elimină această variantă și se trece la construirea și calculul variantei coborite

- Dacă această inegalitate este satisfăcută se calculează

$$\Delta i_3 = i_3^0 - i_2^P$$

Se verifică restricția (1-2-b) :  $|\Delta i_3| \leq \Delta i_{adm}$

- Dacă această inegalitate nu este satisfăcută se elimină această variantă și se trece la construirea și calculul variantei coborite.

- Dacă această inegalitate este satisfăcută se trece la punctul următor al algoritmului.

d.- Se verifică restricția (1-2-d) pentru punctele avind coduri obligatorii alocate în partile o-l și l-2

-Dacă această restricție nu este satisfăcută se trece la construirea și calculul variantei cobește.

-Dacă această restricție este satisfăcută se trece la următorul punct al algoritmului

e.- Se calculează cotele de proiectare ale pichenților așezate în fiecare element de profil, volumul de umplutură și săpătură, cheltuielile de construcții

f.- Se determină cheltuielile de exploatare pentru ambele sensuri de circulație a tremurilor

g.- Se calculează cheltuielile anuale (adică valoarea funcției obiectiv)

### II-2 Construirea și calculul variantei cobește

Se procedează la fel ca cele prezентate pentru varianta ridicată și după aceea se trece la punctul următor.

II-3 Se compară cele trei variante varianta inițială, varianta ridicată și varianta cobește și se alege varianta cu cheltuielile anuale minime.

III- Se execută variațiile următoare (pentru partea 1-2-3, 2-3-4, etc) la fel ca cele prezентate mai sus pînă la sfîrșitul profilului. Astfel se obține linia roșie care corespunde ultimei variații. Această linie roșie se numește linia de proiectare a primei schimbări sau aproximarea întâia. Acum aproximarea întâia joacă rolul liniei roșii inițiale și plecind de la această aproximare procesul de îmbunătățire se continuă.

Se mai îmbunătățește soluția obținută după fiecare schimbare a liniei de proiectare pînă cînd valoarea funcției obiectiv nu se mai modifică.

In algoritmul scris mai sus nu trebuie să se verifice restricțiiile (1-2-c), (1-2-e) despre lungimea elementelor de profil și despre poziția punctul schimbătoarelor de declivitate pentru că noastre restricții au fost satisfăcute în procesul inițial cînd proiectantul a traseat linia roșie inițială. In procesul iterativ lungimea elementelor de profil și poziția schimbătoarelor de declivitate nu se schimbă.

Lungimile elementelor de profil pot fi egale sau diferite dar cu condiția  $l_i \geq l_{\text{adm}}$

Pentru economia timpului la calculator se poate aplica următoare-

relor măsură:

- la început se căută linia roșie cea mai bună după algoritmul scris mai sus, dar în acest algoritm se folosesc formulele mai simple de elculat.

Se pot folosi formulele pentru calculul volumelor de terenament neînînd seane de inclinarea terenului și de geologie. Se poate lua vîrsta de echilibru a terenului pentru calculul cheltuielilor de exploatare. După ce s-a obținut linia roșie cea mai bună cu ajutorul acestei măsuri, se căută linia roșie optimă cu formulele mai exacte.

- la început se ia valoarea mare pentru  $\delta$ . Cînd obține punctul staționar se divizează  $\delta$  cu 2.

#### 4-5-3 Un exemplu

Pentru claritatea algoritmului scris mai sus se ia profilul longitudinal dat în fig. 4-5-1. În acest exemplu pasul de variație este constantă și are valoarea de 500 m. Valoarea lui  $\delta$  este 1 m.

Procesul de imbunătățire a liniei roșii se executa după algoritmul amintit, adică se face în felul următor:

1.- Se dă o linie inițială, fig. 4-5-1a;

2.- Se efectuă punctele - de la punctul II-1 până la punctul II-3 - ale algoritmului și se obține soluția cea mai bună coborindu-se poziția liniei roșii inițiale cu 1 m în punctul 1, fig. 4-5-1b, pentru că asta reduce cheltuielile de construcție și cheltuielile de exploatare dacă se iau aceste cheltuieli în considerare

3.- Variația locală a-2-a (pentru partea 1-2-3) se construiește cu condiții că punctul 1 să coboară în variația locală precedente. După executarea algoritmului se obține soluția cea mai bună coborindu-se poziția liniei roșii cu 1 m în punctul 2, fig. 4-5-1c.

4.- Variațiile locale următoare se fac analog cu cele precedente, fig. 4-5-1d, 4-5-1e, 4-5-1f, 4-5-1g, 4-5-1h, astfel linia roșie care corespunde ultimei variații locale a fost construită. A se deosebi că linia roșie inițială în punctele 1, 2, 3 linia de proiecțare inițială a fost coborâtă cu 1 m, iar în punctele 4, 5, 6, 7 linia de proiecțare inițială a fost ridicată cu 1 m. Această linie se numește aproximăție finală.

Considerind aproximarea întâia ca linie roșie inițială, procedeul se continuă și se obține aproximarea a doua, fig.4.5-1i + fig.4.5-1p

Se mai îmbunătățește soluția obținută pînă cînd valoarea funcție obiectiv nu se mai modifică.

Dacă se ia în considerare datele scrise în partea 4-1-4 pentru acest exemplu, se obține linia roșie optimă coincisă cu soluția obținută din exemplul 4-1-4

## CITELVA OBSERVATII SI CONCLUSA

### A.- Observatii

- Căutarea liniei roșii optime cu ajutorul metodei programării dinamice este complicată, timpul de rezolvare a problemei este mai ridicat, numărul de informații care trebuie să se introducă în calculator este mare.

Acastă metodă dă posibilitatea de a lua în considerare costurile terasamentelor ținind seama de repartizarea volumelor de terasament, de toate costurile lucrărilor de artă, etc.

- Elaborarea liniei roșii optime cu ajutorul metodelor de tip gradient (părțiile 4-2, 4-3, 4-4 și [45]) nu permite să ia în considerare toate caracteristicile existente în realitate, de exemplu, nu se pot calcula, costurile terasamentelor ținându-se seama de repartizarea volumelor de terasament în casul necesar.

Acetea metode au algoritmi simpli. Timpul de rezolvare a problemei, în general, nu este prea mare și el depinde de linia roșie inițială dată de proiectant. Numărul de informații care trebuie să se introducă în calculator nu este mare.

Elaborarea liniei roșii optime cu ajutorul metodei scrise în partea 4 4-2 nu dă posibilitatea de a fi aplicată în cazul în care majoritatea liniei se află în săpătură sau în umplutura, pentru criteriul de optim nu este cu caracter general.

- Elaborarea liniei roșii optime cu ajutorul metodei variațiilor locale este foarte simplă. Numărul de informații care trebuie să se introducă în calculator nu este mare și în procesul de calcul nu trebuie să se păstreze multe informații ca și în căutarea liniei roșii optime cu ajutorul metodei programării dinamice.

Intrăderea în programul de calcul sau scoaterea din programul de calcul a subprogramelor arbitrar se face cind este necesar și nu trebuie să se scrie programul din nou. Această posibilitate permite să în condițiile diferite din realitate, de exemplu:

-se pot stabili costurile terasamentelor ținându-se seama de repartizarea

volumelor de terasament în cazul necesar.

-se pot stabili cheltuielile diferite pentru terenamente și pentru lucrări de artă, ținindu-se seama de condițiile diferite fr. fiecare localitate unde se află construcția.

-etc.

În lucrarea de față se folosește metoda variațiilor locale pentru a construi programul de elaborare a liniei roșii optime la profilul longitudinal al căii ferate.

#### B.- Concluzii

În urma studiilor efectuatoare pentru elaborarea unor metode de alegere a liniei roșii optime a profilului longitudinal al căii ferate se consideră următoarele rezultate și importante obținute de autor:

1.- S-a făcut o strângere a metodelor de calcul al volumelor de terasament la calculatoare electronice și se folosesc o metoda cerând un număr mai mic de informații inițiale și un timp mai redus la calculator.

2.- Pentru a determina cheltuielile de exploatare o-a propus o metodă care cere un timp convenabil pentru calculul vitezei, al timpului de mers al trenului, al lucrului mecanic al forței de tracțiune și al forței de rezistență.

3.- S-a făcut o sinteză a metodelor utilizate pînă în prezent pentru alegerea liniei roșii optime a profilului longitudinal al căii ferate.

4.- S-a propus două metode (metoda gradientului proiectat a lui Rosen și o metodă a lui Mariniciac I.) având posibilitatea de a fi aplicată în elaborarea liniei roșii optime a profilului longitudinal al căii ferate.

5.- S-a conceput un program în limbaj PASCAL pentru elaborarea liniei roșii optime a profilului longitudinal al căii ferate prin metoda variațiilor locale.

6.- Studiile făcute de autor nu rezolvă problema de alegere a liniei roșii optime aprofilului longitudinal al căii ferate.

Sunt făcu multe abordări de rezolvat, care necesită cercetări în continuare, cum ar fi calculul volumelor de terasament, ținind seama de

geologia regiunii, calculul cheltuielilor pentru lucrari de arta, conceptual programelor după metodele propuse și compararea acestor programe, etc.

Autorul își va orienta activitatea în viitor pe cercetarea acestor aspecte.

### Programul concept

Programul rezolva probleme de alegere a liniei roșii optime la profilul longitudinal al căii ferate următoarelor variantele locoale, conform algoritmului descris în lucrarea "Metoda varianteilor locoale și aplicatia ei în elaborarea liniei roșii optime la profilul longitudinal al căii ferate". Al se menționează C. L. I. R. C. S., și astăzi scrie în: F. C. R. A. I., [9], [31], [32].

1.- Rezervarea datelor de intrare: Pentru a rezolva fiecare problemă sunt necesare următoarele date:

I - numărul elementelor de profil ale liniei roșii inițiale date de proiectant

II - numărul total al pichenților în tronsonul de studiu adică în tronsonul în care se caștigă linia roșie optimă

III (I) - numărul pichenților care se măsoară de la primul pichenet pînă la sfîrșitul pasului I

MOB (I) - numărul punctelor obligatorii în pasul I

R<sub>c</sub> (I) - rezistența dată de curba în pasul I, în t<sub>ef</sub>/tf

SC (I) - lungimea curbei în pasul I, în Km

GU (I) - costul unui m<sup>3</sup> de asfaltură în pasul I, în unități bănești

C<sub>u</sub> (I) - costul unui m<sup>3</sup> de săpatură în pasul I, în unități bănești

ZD (I) - cota punctului schimbării de declivitate al liniei roșii inițiale, în m

ZOB (I, II) - reprezentarea formă punctelor obligatorii în pasul I

In acest program se presupune că în fizică pas numărul punctelor obligatorii este mai mic sau cel mult cu 1, (114.3)

MOB (I, II) = 1 exprimă inegalitatea ZT2 < ZTP (I, II)

MOB (I, II) = 2 exprimă inegalitatea ZT2 > ZDP (I, II)

MOB (I, II) = 0 exprimă inegalitatea ZT2 = ZDP (I, II)

ZTP - cota liniei roșii în punctul obligatoriu, în m

... (I, II) - cota obligatorie, punctului în m

X (I, II) - distanță măsurată de la începutul pasului I pînă la fiecare punct obligatoriu, în m

C (J) - cota terenului în pichențul de ordinul J, în m

P(J) -panta terenului în profilul transversal de ordinul J

Semnul pantei este P(J) pozitiv cind cota terenului la dreapta este mai mare decât cea la stînga. În cazul invers semnul pantei este negativ.

PADM -valoarea admisă a declivității la proiecție sau dată în termen de proiecțare în °

D'DM -diferența admisă dintre valorile declivităților elementelor alternante de profil, în %

DELTA -valoarea dată de proiectant cu care se formează varianta ridicată și varianta coborâță, în m

R -echidistanța dintre pîcheti, în m

V0 -viteză tremului la începutul tronsonului de studiu, în m/h

NB3 -numărul tremurilor care circulă pe direcția N-S de la începutul pînă la sfîrșitul tronsonului de proiecțare

NBA -numărul tremurilor care circulă pe direcția E-W de la sfîrșitul pînă la începutul tronsonului de proiecțare

A(K,L), VT(K,L), ST(K,L) -sunt coeficienți în ecuația de mișcare a tremului  $\ddot{Y} = c(S-e) + d$ , (vezi capitolul 3)

În această ecuație coeficientul c este înlocuit prin A(K,L)

d este înlocuit prin VT(K,L)

e este înlocuit prin ST(K,L)

a(L), b(L) -coeficienți în ecuația  $v = at^b$ , (vezi capitolul 3). Ici coeficientul a este înlocuit prin a(L) iar coeficientul b prin b(L)  $a \rightarrow 8 \times 10^{-6}$

ca(1) + ca(10) -costurile de exploatare în formula (3-36)

SO(1), SO(2), SO(3) -lungimea elementului de ordinul 1, 2, 3, al profilului longitudinal

PC(1), PC(2), PC(3) -declivitatea elementului de ordinul 1, 2, 3,;

## 2.- Subroutinele necesare

a- Subroutinea RUMA se scrie după algoritmul următor:

- Se calculează lungimea elementului de profil SO(1), în m

- Se calculează declivitatea elementului de profil PC(1), în °

- Se calculează cotele de proiecțare ale vîchegilor situate în elementul

I al profilului longitudinal

- Se determină volumul de terasament în umplutură VUO(I) și în săpătură USO(I) prin chemarea subruteinei VOLUM
- Se calculează costul terasamentului CIA

b- Subroutine VOLUM

Se calculează volumul de terasament volumul umpluturii VUT și volumul săpăturii VST pentru 4 cazuri:

- 1.- profilul transversal în săpătură
- 2.- profilul transversal în umplutură
- 3.- profilul transversal mixt cu umplutură la stînga și cu săpătură la dreapta
- 4.- profilul transversal mixt cu săpătură la stînga și cu umplutură la dreapta

Pentru a deosebi aceste patru cazuri se compară valorile lui HS (înălțimea de umplutură sau de săpătură la stînga) și ale lui HD (înălțimea de umplutură sau de săpătură la dreapta) cu zero (vezi schema logică a subruteinei VOLUM)

- Dacă  $HS > 0$  și  $HD < 0$  se obține cazul 4
- Dacă  $HS < 0$  și  $HD > 0$  se obține cazul 3
- Dacă  $HS < 0$  și  $HD < 0$  se obține cazul 2

Alte valori pentru HS și HD conduc la obținerea cazului 1

In acest subprogram se folosesc datele următoare:

BU - jumătatea lățimii platformei căii în umplutură, în m

BS - jumătatea lățimii platformei căii în săpătură, în m (inclusiv lățimea panjurilor) și se presupune că BS = 3,1 m, BU = 5 m

c,d- Subroutine S.A.P și subrutina UMF

Se calculează suprafața secțiunii transversale în săpătură umplutură pentru 3 cazuri vezi scheme logice :

- 1.-profilul transversal în săpătură(umplutură)fără sid de sprijin
- 2.-profilul transversal în săpătură(umplutură)cu sid de sprijin la stînga
- 3.-profilul transversal în săpătură(umplutură)cu sid de sprijin la dreapta

e- Subroutine UMS

Se calculează suprafața secțiunii transversale mixte pentru n cazuri

1.- Cind înălțimea umpluturii și adâncimea săpăturii sunt mai mici sau cel mult egale cu 0,10 m se consideră că suprafața secțiunii este egală cu zero.

2.- profilul mixt fără zid de sprijin

3.- profilul mixt cu zidul de sprijin la stînga

4.- profilul mixt cu zidurile de sprijin, una la stînga și alta la dreapta.

Pentru a deosebi aceste 4 cazuri se compară valorile lui HS și ale lui HD cu 0,1 m.

Cind  $HS \leq 0,1$  și  $HD \leq 0,1$  se obține cazul 1

Cind aceste inegalități nu sunt satisfăcute se verifică relația 2-11 :

$$0,66 - |P(I)| < 0,3 \quad (2-11a)$$

$$1 - |P(I)| < 0,45 \quad (2-11b)$$

Dacă relațiile (2-11a), (2-11b) sunt satisfăcute se obține cazul 4

Dacă relațiile (2-11a), (2-11b) nu sunt satisfăcute se verifică relațiiile:

$$0,66 - |P(I)| > 0,3$$

$$1 - |P(I)| > 0,45$$

Dacă aceste relații sunt satisfăcute se obține cazul 2

Dacă aceste relații nu sunt satisfăcute se obține cazul 3

In aceste subprogram se folosesc inclinările taluzului  $t_u = 0,66$  și  $t_s = 1$  (Vedi schema logică a subrutinei UMSA)

#### f- Subrutina SAUM

Se calculează suprafața secțiunii transversale mixte pentru 4 cazuri:

1.- cind adâncimea săpăturii și înălțimea umpluturii sunt mai mici sau cel mult egale cu 0,10 m se consideră că suprafața profilului transversal este egală cu 0

2.- profilul mixt fără zid de sprijin

3.- profilul mixt cu zidul de sprijin la dreapta

4.- profilul mixt cu zidurile de sprijin, una la dreapta și alta la stînga

Pentru a deosebi aceste 4 cazuri se compară valoările lui HS și ale lui HD cu  $0,1 \text{ m}$

Când  $HS \leq 0,1 \text{ m}$  și  $HD \leq 0,1 \text{ m}$  se obține cazul 1

Când aceste inegalități nu sunt satisfăcute se verifică relațiile (2-11a), (2-11b)

Dacă relațiile (2-11a), (2-11b) sunt satisfăcute se obține cazul 4

Dacă relațiile (2-11a), (2-11b) nu sunt satisfăcute se verifică relațiile:

$$0,66 - |P(I)| > 0,3$$

$$1 - |P(I)| > 0,45$$

Dacă aceste relații sunt satisfăcute se obține cazul 2

Dacă aceste relații nu sunt satisfăcute se obține cazul 3

In acest subprogram se folosesc inclinările taluzului  $t_u = 0,66$  și  $t_s = 1$  (Vedi schema logică a subrutinei SAUW)

### 5- Subroutine FEXPL

După cum se știe în capitolulu 3, curbelor pentru viteza trenului sint redată în fig. 5-1

Pentru ușurință în descrierea programului se schimbă notațiile în ecuațiile curbelor vitezei trenului:

$$\text{pentru segmentul 0 : } V = A(0, M) x^{B(0)} \quad (3-12a)$$

$$\text{pentru segmentul 1 : } V = A(1, M) x^{B(1)} \quad (3-13a)$$

$$\text{pentru segmentul 2 : } V = A(2, M) x^{B(2)} \quad (3-14a)$$

etc.

unde indicele  $1, 2, \dots$  reprezintă numele segmentelor

indicele  $M$  arată care este declivitatea elementului de profil pentru care se calculează curba de viteza.

In programul de calcul la mașina electronică indicele trebuie să fie pozitivi, dar valoarea declivității elementelor de profil poate fi și negativă. De aceea nu se poate folosi valoarea declivității în locul indicei.

In programul conceput pentru declivitatea caracteristică  $i_0 = 8\%$  se folosește formula  $M = \frac{AM}{2} + 5$  în care  $AM$  este valoarea declivității elementului de profil pentru a arăta declivitatea elementului de profil.

|    |    |    |    |    |   |   |   |   |   |
|----|----|----|----|----|---|---|---|---|---|
| AM | -8 | -6 | -4 | -2 | 0 | 2 | 4 | 6 | 8 |
| M  | 1  | 2  | 3  | 4  | 5 | 6 | 7 | 8 | 9 |

- 1-  $V = A(1,M) \times (F - ST(1,M)) + VT(1,M)$
- 2-  $V = A(2,M) \times (F - ST(2,M)) + VT(2,M)$
- 3-  $V = A(3,M) \times (F - ST(3,M)) + VT(3,M)$
- 4-  $V = A(4,M) \times (F - ST(4,M)) + VT(4,M)$
- 5-  $V = A(5,M) \times (F - ST(5,M)) + VT(5,M)$
- 6-  $V = VT(6,M)$
- 7-  $V = A(7,M) \times (F - ST(7,M)) + VT(7,M)$
- 8-  $V = A(8,M) \times (F - ST(8,M)) + VT(8,M)$
- 9-  $V = A(9,M) \times (F - ST(9,M)) + VT(9,M)$
- 10-  $V = A(10,M) \times (F - ST(10,M)) + VT(10,M)$
- 11-  $V = A(11,M) \times (F - ST(11,M)) + VT(11,M)$
- 12-  $V = VT(12,M)$

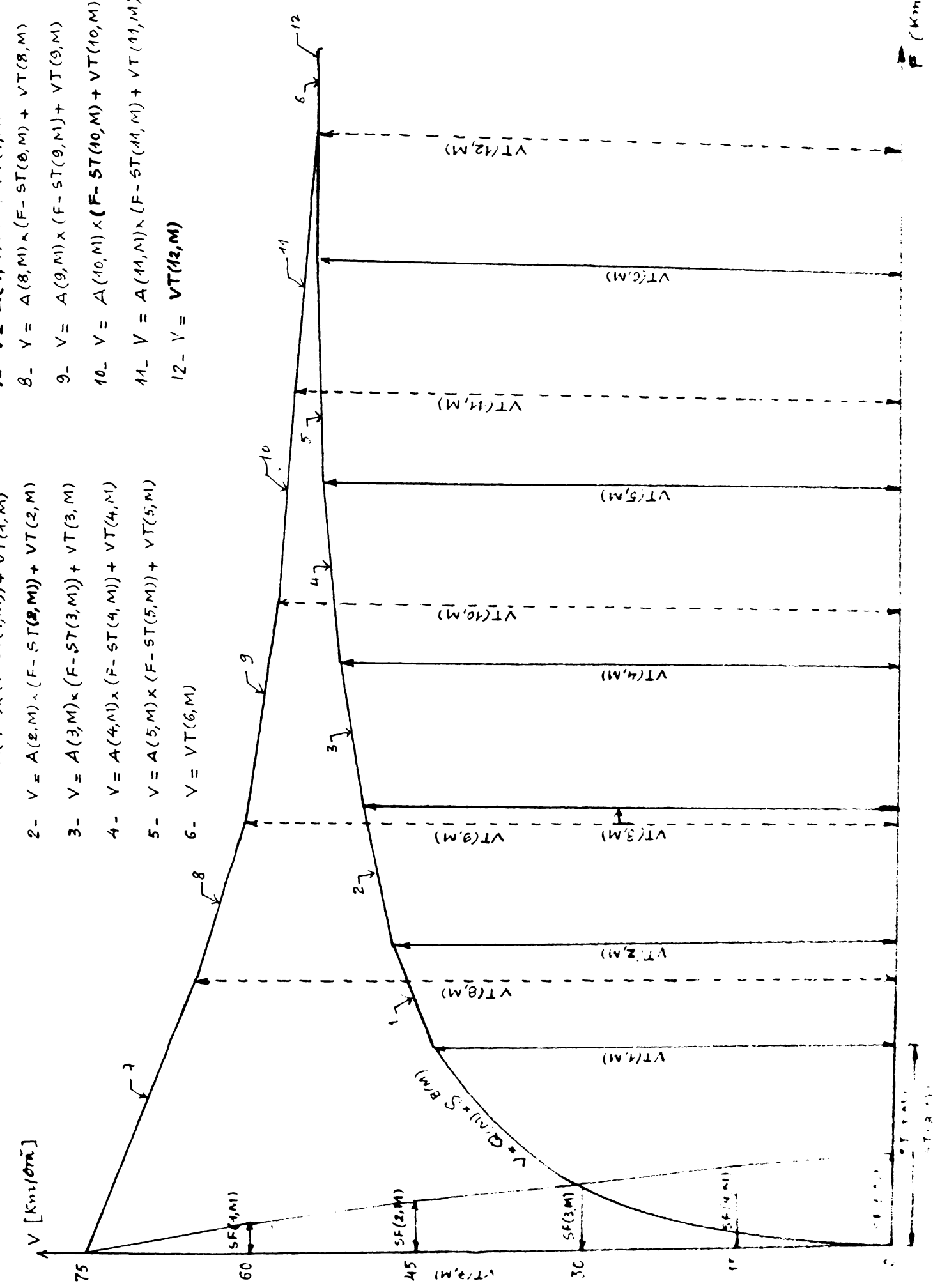


Fig. 5-1. Formación de un lateral en la brecha

Conform metodei prezentate în capitolul 3 se scrie subprogramul PEXPLO cu ajutorul algoritmului următor:

1.- Se determină indicele  $M$  în ceeaștilo de viteză a trenului

2.- Se calculează viteză  $VS$ , timpul  $T$ , lucru mecanic al forței de tracțiune  $AF$ , lucru mecanic al forțelor de rezistență  $AR$  pentru declivitățile corespunzînd indicelui  $M$  prin subrute.

3.- Fiindcă curbele de viteză sunt determinate numai în anumite valori întregi ale declivităților, iar valoarea declivității elementelor de profil poate fi un număr arbitrar, trebuie să se compare valoarea declivității reale  $P(I)$  cu valoarea întreagă  $M'$ . Dacă  $P(I) = M'$  se adună valorile obținute în punctul 2 cu valorile inițiale ale lui  $VK$ ,  $TK$ ,  $AFK$ ,  $ARK$ .

Dacă  $P(I) \neq M'$  se atribuie rezultatele obținute în punctul 2 ca valori pentru

$$VA = VS, TA = T, AFV = AF, ARA = AR$$

Se calculează viteză, timpul, lucru mecanic al forțelor care acționează asupra trenului pentru declivitatea corespunzînd indicelui  $(M - 1)$  și se atribuie rezultatele ca valori pentru:

$$VB = VS, TB = T, AFB = AF, ARB = AR$$

Se face interpolarea și se adună valorile obținute cu valorile inițiale ale lui  $VK$ ,  $TK$ ,  $AFK$ ,  $ARK$ .

4.- Se calculează cheltuiala de exploatare după formula (3-36a) pentru un tren și pentru întregul tronson de proiectare.

In acest subprogram se folosesc următoarele variabile și date:

SK =

$S_k$  - lungimea tronsonului de calcul măsurată de la valoarea de pînă la sfîrșitul pasului de calcul în Km

$TK$  - timpul de mers al trenului calculat de la început  $TK$ -o pînă la sfîrșitul pasului de calcul, în ore

$AFK$  - lucru mecanic al forței de tracțiune calculat de la valoarea  $AFK$ -o pînă la sfîrșitul pasului de calcul, în Km

$AR$  - lucru mecanic al forțelor de rezistență care acționează asupra trenului calculat de la începutul  $AR$ -o pînă la sfîrșitul pasului de calcul, în tfKm

$VK$  - viteză trenului în sfîrșitul pasului de calcul, în Km/h

CALT - cheltuielile de exploatare pentru un tren circulind pe un sens de circulație

144 - numărul osilor vagoanelor din tren (dând exențu dată în partea 3-3-2)

2050- greutatea brută a vagoanelor compuse din tren, în t

CA (1) - CA (1c) - costurile de exploatare vezi formula (3-36)

h- Subroutine VITLU pentru a calcula viteza VS, timpul de mers T, lucrul mecanic al forței de tracțiune AF, lucrul mecanic al forțelor care acționează asupra tremului AR după formulele corespunzătoare scrise în capitolul 3.

In acest subprogram se folosesc următoarele variabile date:

VO -viteza trenului la începutul elementului de profil, în Km/h

SH -valoarea inițială corespunzătoare a lui S în formulele (3-12a),

(3-13a) cind  $V = VO$

TH -valoarea inițială corespunzătoare a lui t în formulele (3-16),

(3-17), (3-18) cind  $V = VO$

ARRH -valoarea inițială corespunzătoare a lucrului mecanic al forței de rezistență la mers cind viteza trenului  $V = VO$

114 -greutatea locomotivei Diesel tip 600DA în serviciu (vezi partea 3-3-2)

2050-tonajul tremului (vezi partea 3-3-2)

$3,558 + 0,009672VS + 0,000403VS^2$  - formula (3-25-a) pentru care se determină forța specifică de rezistență a locomotivei cind tremul circulă în regim de tracțiune

$2,3 + 0,035VS + 0,0002VS^2$  - formula (3-25-b)

In acest subprogram se folosesc următoarele funcții formule

$$TDMPL(P1, l, S1) = \frac{\overline{S1}^{1-l}}{P1 \times l-1} \quad (\text{vezi formula (3-16)})$$

$$TRPL2(R1, V1) = \frac{l-1}{R1} \quad (\text{vezi formula (3-17)})$$

$$ARRZ1(P1, l, S1) = 4505.612S1 + 1,1826e8P1 \frac{S^{1-l}}{l-1} + 1.327192.l^{+2} \frac{S^2}{2.l-1}$$

$$RGOLF(V1) = 1.3040V1^2 + 3.99V1 + 4362.2$$

$$RMERS(V1) = 1.3272V1^2 + 1.1026V1 + 4505.612$$

Funcția AREZ1 este formată din formula (3-24-b'), iar funcțiile RGOLF, RMERS sunt formate din formula (3-24-b'').

$$AREZ2 RL,V1 = \frac{1}{RL} \cdot 4505.617V1 + 0,551304V1^2 + 0,122379V1^3$$

ACESTĂ FUNCȚIE ESTE FORMATĂ DIN FORMULA (3-24-b'')

In general pentru a calcula viteza tremului, timpul de mers, lucrul mecanic al forțelor care acționocă asupra tremului trebuie să se știe coordonatele unui punct pe curbele de viteză, căruia îi corespunde viteză V0. Pentru acesta se compară de rind viteză V0 a tremului la începutul elementului de profil cu valorile C, VF(1,M), VT(2,M), ... (vezi fig. 5-1)

Se calculează valorile inițiale Sli, Th, AM, cărora la corespunde viteză V0.

Se determină relația  $F = Sli + S(I)$ . Prin acestă relație se știe care segment din curbele de viteză va fi luat în considerare. Se calculează viteza tremului VS, timpul de mers T, lucrurile mecanice AR și AF în sfîrșitul elementului de profil cu ajutorul formulelor corespondente.

i- Subroutine VITILA pentru a calcula viteza tremului, timpul de mers, lucrul mecanic al forței de rezistență la mers, cind tremul circulă după ecuația (3-13)

Aici ecuația (3-13) în forma:  $V = C(N, M) \times (F - S(N, M)) + L(N, M)$

Se mai folosesc funcțiile formule TILIT2 RL,V1 și AREZ2 RL,V1 în această subroutine.

Variabilele folosite în subroutine VITILA sunt le fel ca cele prezentate în subroutine VITILU.

In subroutinele VITILU, VITILA variabila S(I)  $\leq 0,688$  m.

Cind lungimea elementului de profil este mai mare decât valoarea această, se imparte în mărți.

Aceste subprograme nu cuprind cazul în care tremul circulă în sensul de frinare.

k- Subroutine PHRUF

Se știe că calculul cheltuielilor de exploatare se face pentru ambele sensuri de circulație. Cu ajutorul acestor subroutine se face permutarea elementelor de profil în vederea calculului cheltuielilor de exploatare în sensul invers de circulație.

Se folosesc următoarele variabile:

PA(I) - declivitatea elementului de profil, în

SA(I) - lungimea elementului de profil în  $\text{mm}$

RCA(I) - rezistență dată de curbă în pasul I, în  $\text{kN}/\text{m}$

SCA(I) - lungimea curbelor aflate în pasul I, în  $\text{mm}$

În programul nu se include subprogramul pentru a calcula costurile lucrărilor de artă. Se poate intregi acest subprogram după formula (2-23)

În acest program se folosesc următoarele cartele:

a- cartela numărul 1, care conține: H, J1, HAB, HFA, TAXI, UNITA, N, VO, conform instrucțiunii FORMAT(3I5,5X,4F6.2,F8.3)

b- cartela numărul 2, care conține: H(I), RCB(I), SC(I), RC(I), CU(I), CS(I), ZO(I) cu  $I=1$ , conform instrucțiunii FORMAT(2I5, 5F10.2)

c- cartela numărul 3, care conține: MOB(I, M1), X(I, M1), ZOB(I, M1) cu  $I=1$ ,  $M1=1+3$ , conform instrucțiunii FORMAT(3I5, 5X, 6F10.2)

d- cartela numărul 4, care conține variabile ca cele prezentate în carte la 2 cu  $I=2$

e- cartela numărul 5, care conține variabile ca cele prezentate în carte la 3 cu  $I=2$

Se repetă pe rînd: una, care conține variabile ca cele prezentate în cartela 2 și alta, care conține variabile ca cele prezentate în cartela 3 pînă cînd  $I= N$ .

f- cartelele, care conțin C(J) cu  $J= 1+J1$  conform instrucțiunii FORMAT(10 F 7, 2)

g- cartelele, care conțin P(J) cu  $J= 1+J1$  conform instrucțiunii FORMAT(10 F 7, 2)

i- cartelal, care conțin A(K,L) cu  $L= 1+9$ ,  $K= 1+12$  conform instrucțiunii FORMAT(9F8.3)

k- cartelele, care conțin VT(K,L) cu  $L= 1+9$ ,  $K= 1+12$  conform instrucțiunii FORMAT(9F8.3)

l- cartelale, care conțin ST(K,L) cu  $L= 1+9$ ,  $K= 1+12$  conform instrucțiunii FORMAT(7F8.3, F9.3, F7.3)

n- cartela, care conține  $\alpha(L)$  cu  $L = 1 + 9$  conform instrucțiunii FORMAT  
(7F8.3, F9.3, F7.3)

n- cartela, care conține  $B(L)$  cu  $L = 1 + 9$  conform instrucțiunii FORMAT  
(7F8.3, F9.3, F7.3)

o- cartela, care conține  $CA(I_1)$  cu  $I_1 = 1 + 0$  conform instrucțiunii FORMAT  
(1oF7.4)

p- cartela, care conține  $PO(1)$ ,  $PO(2)$ ,  $IO(M)$ ,  $SO(1)$ ,  $SO(2)$ ,  $SO(M)$   
conform instrucțiunii FORMAT (6F7.3).

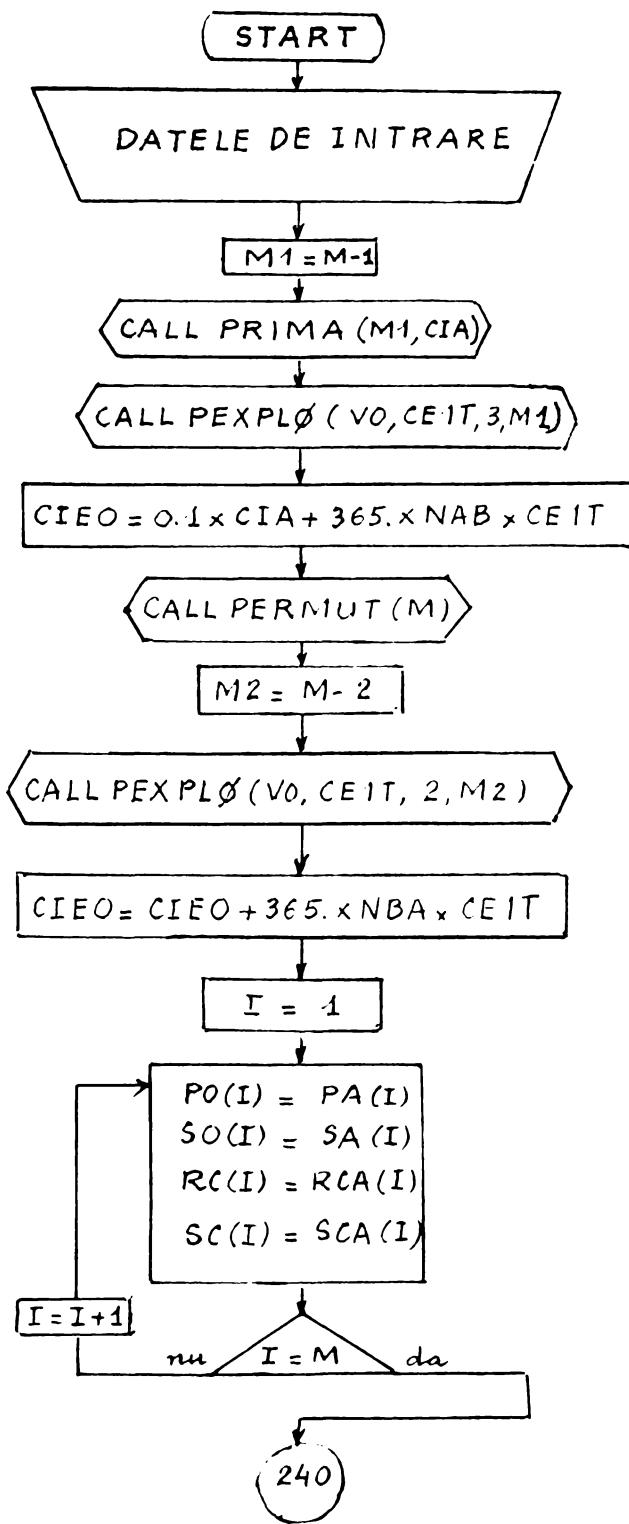
Programul conceput are lungimea de 10,7 Kbytes

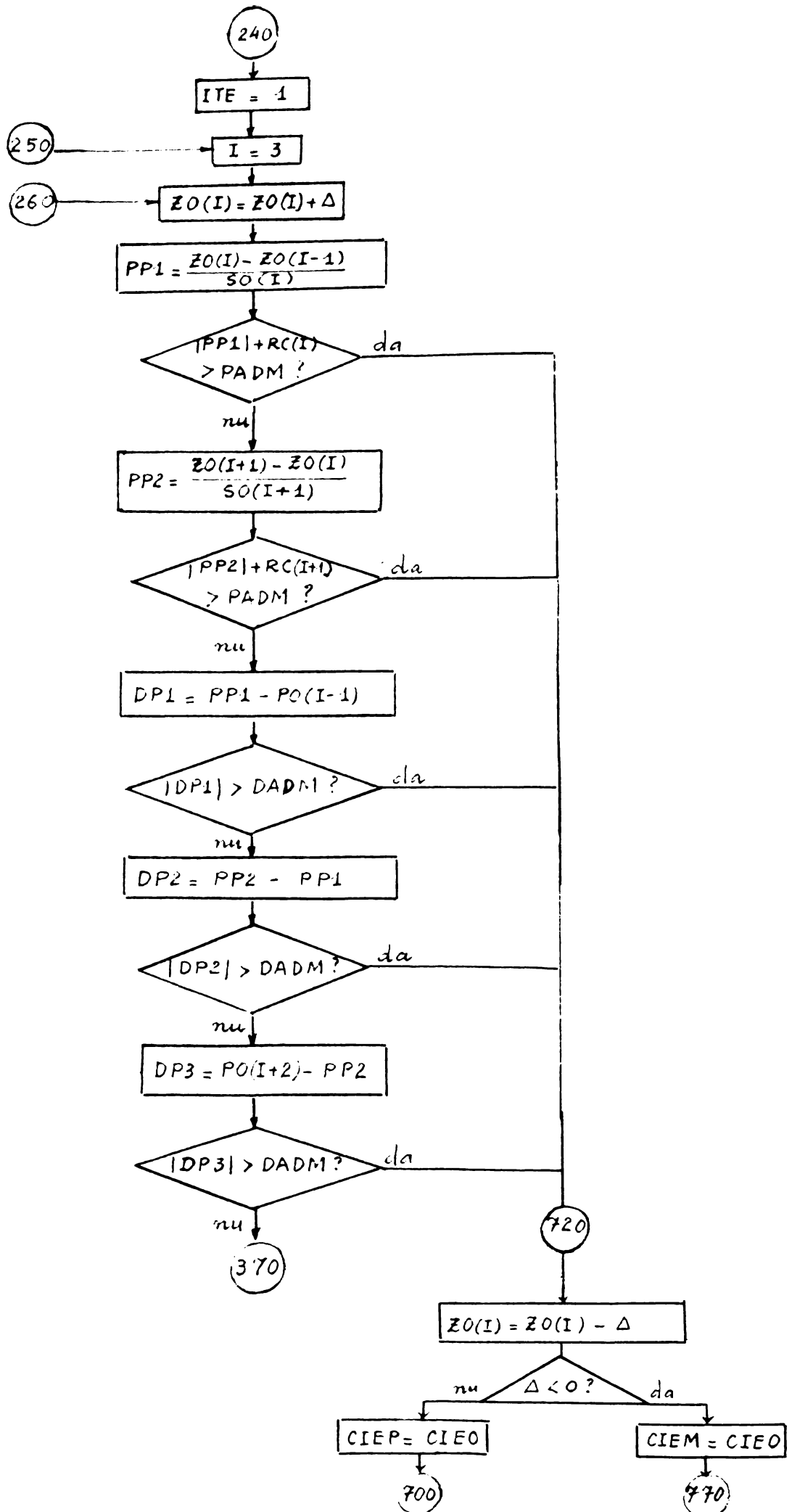
Pentru a rula la calculatorul cu capacitatea mică autorul a scris conform algoritmului mai su 2 programe, una numită OLROS pentru căutarea liniei roșii cu cheltuielile de construcții minime și alta numită LIROP pentru calculul cheltuielilor de exploatare. Programul LIROP se scrie pentru declivitatea caracteristică de 8%

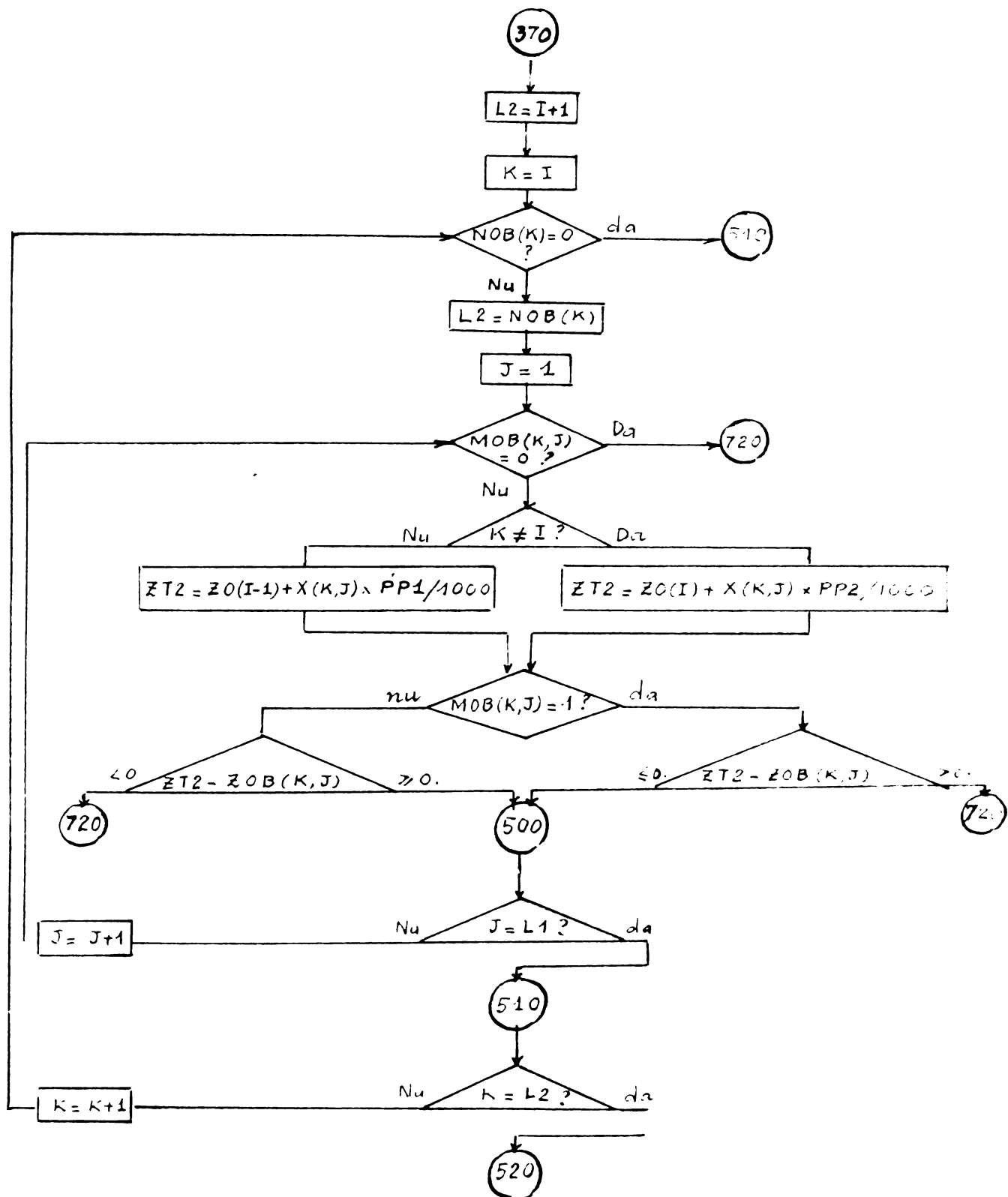
Autorul a rulat:

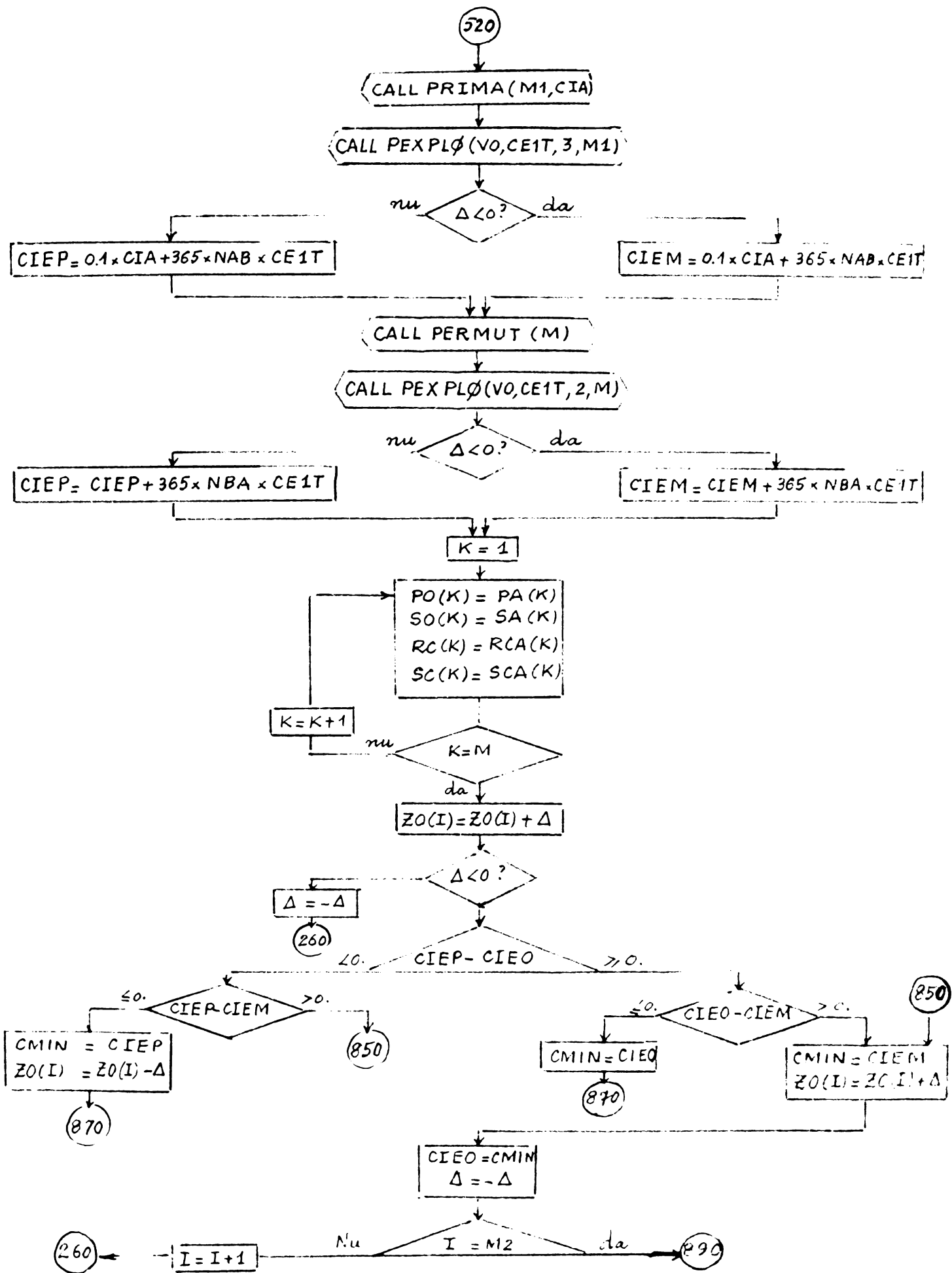
- programul OLROS pentru un tronson de cale ferată de 4 Km (echidistanță dintre pichenți  $r = 50$  m) Timpul necesar la calculator este 2 min. 25 sec. adică 36 sec/km

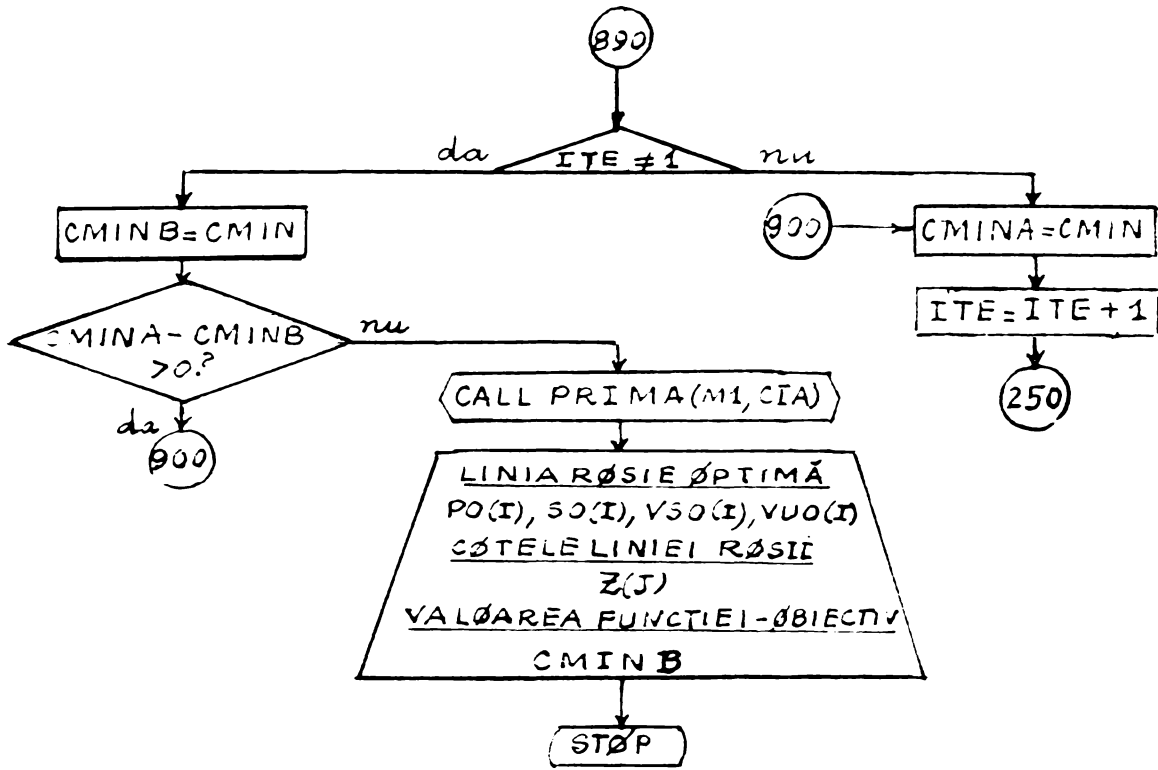
- programul LIROP pentru 5 variante de profilul longitudinal al căii ferate fiecare variantă are lungimea 4 Km Timpul necesar la calculator este 1<sup>min</sup>49 adică 55 sec/km.



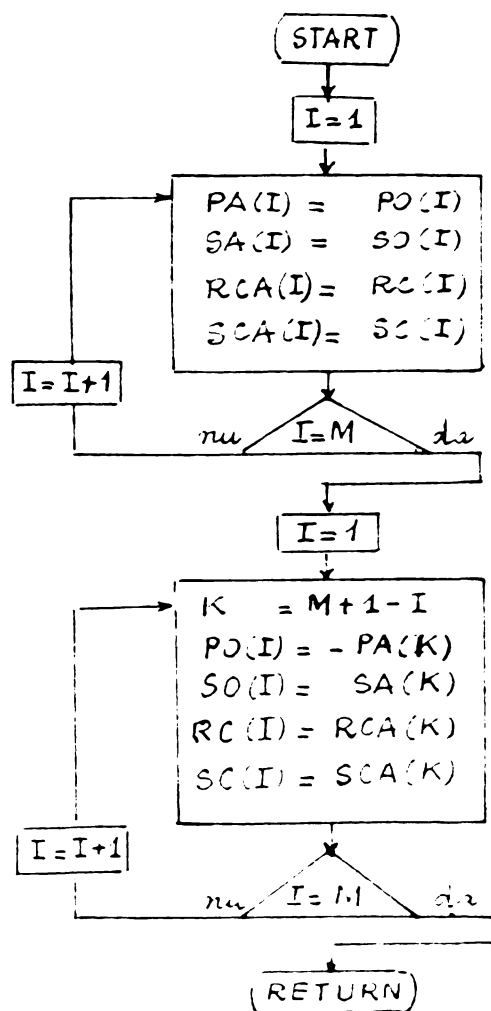




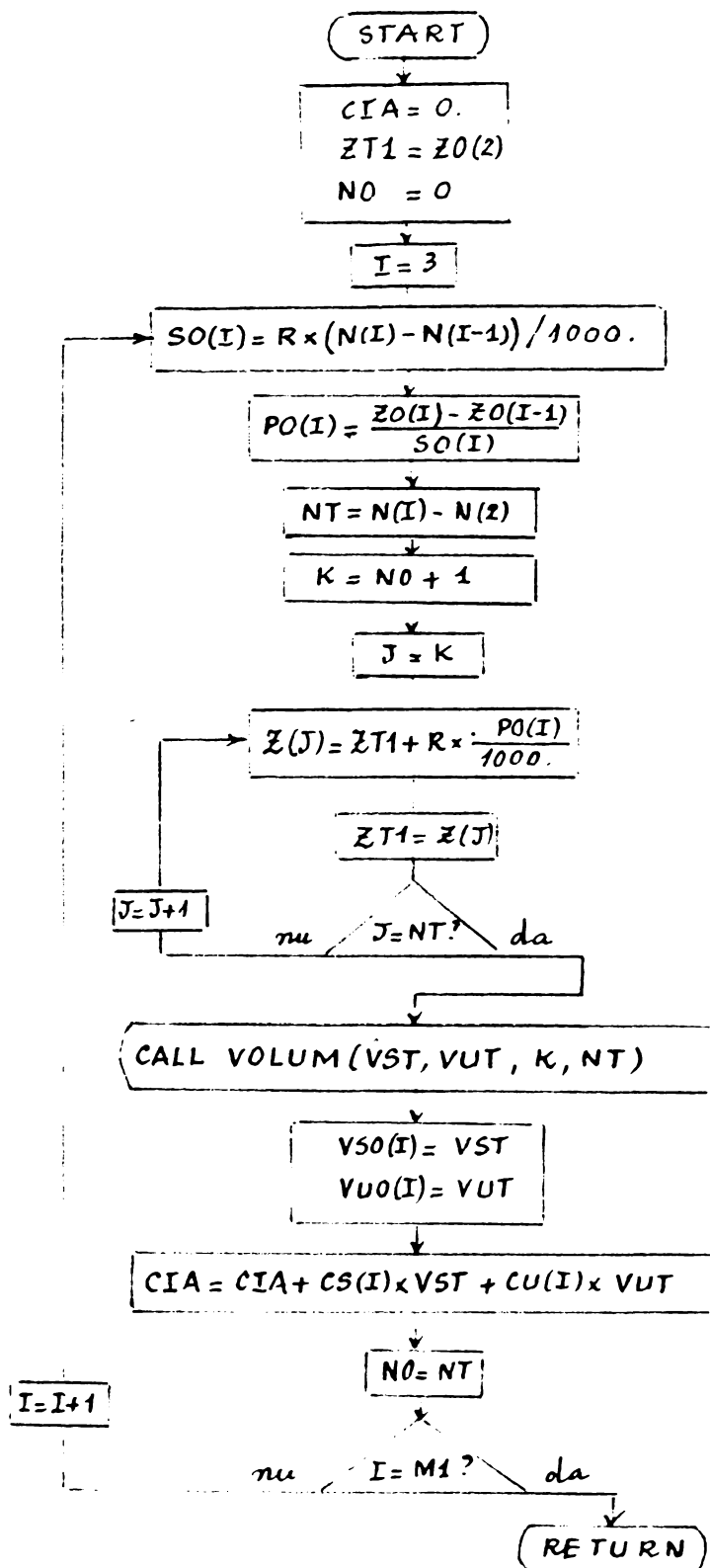




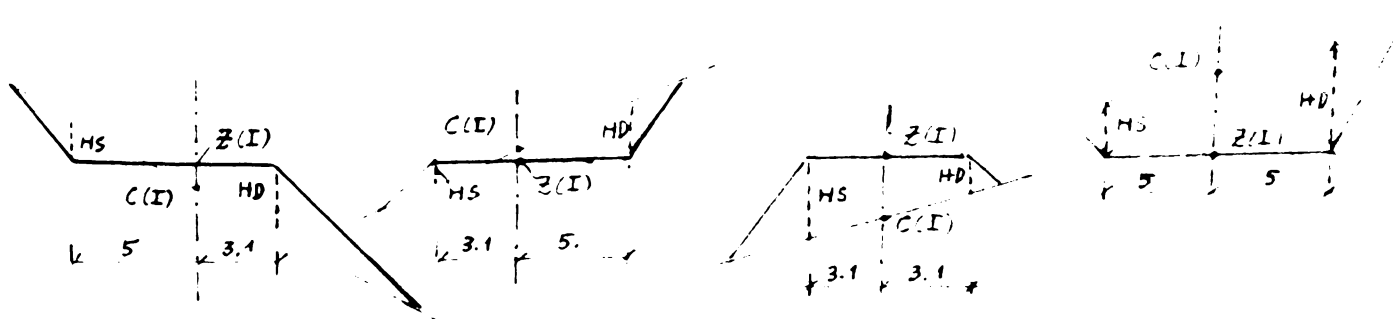
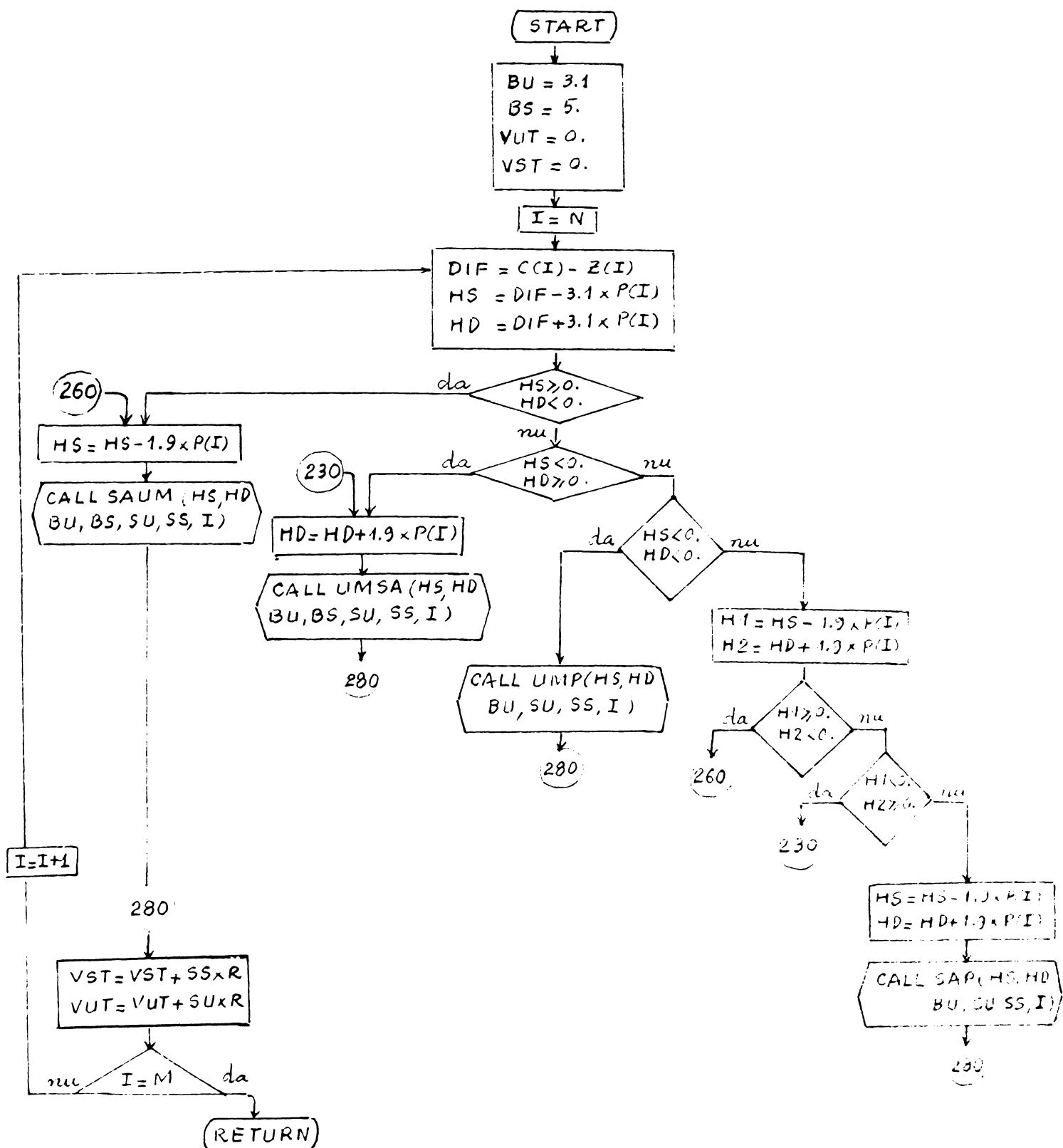
### SUBROUTINE PERMUT(M)



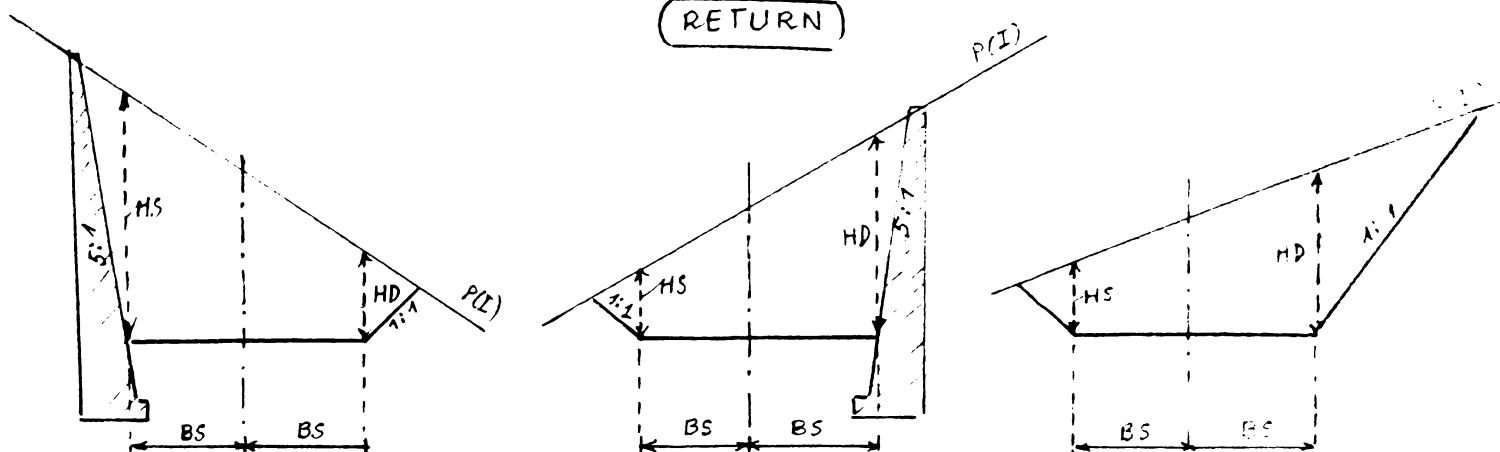
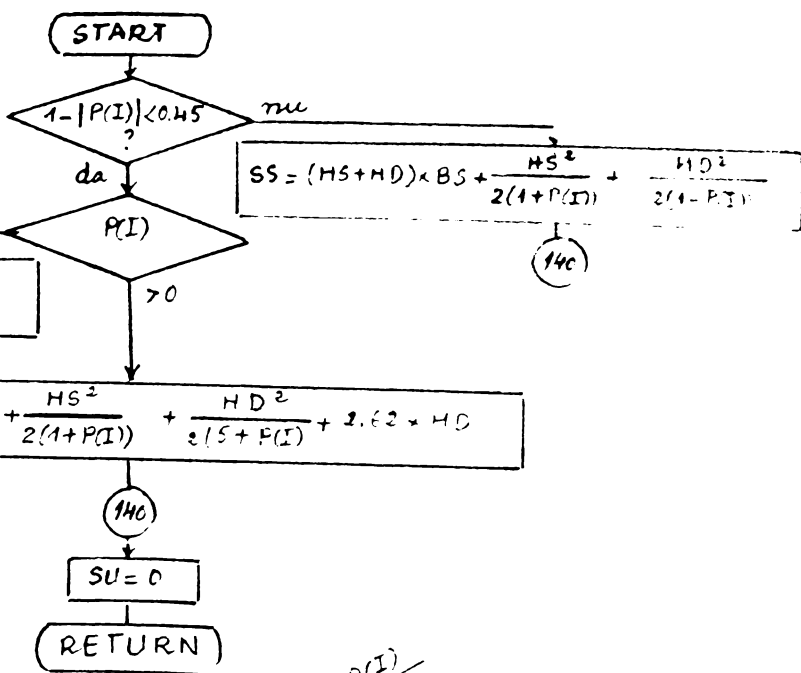
SUBROUTINE PRIMA(MI, CIA)



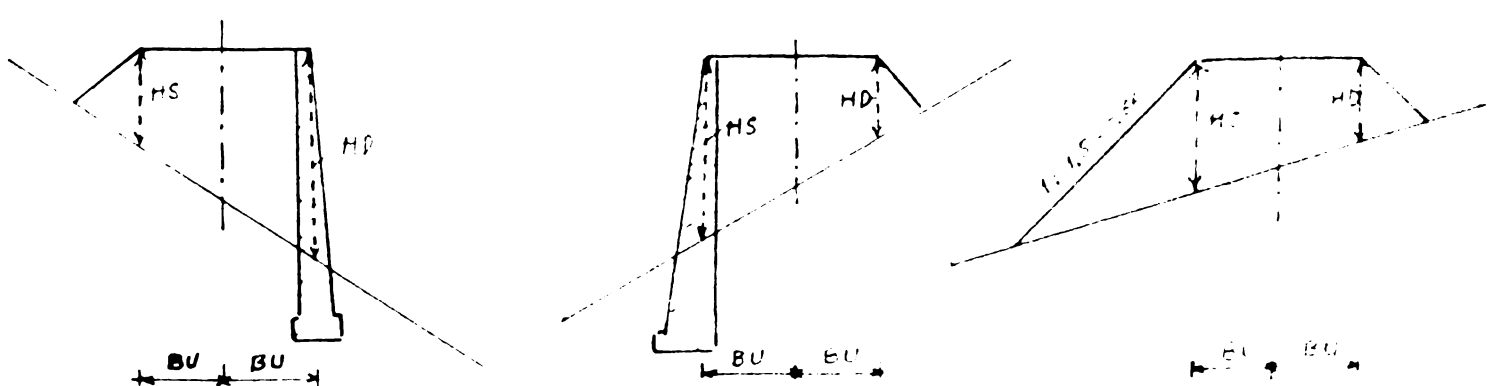
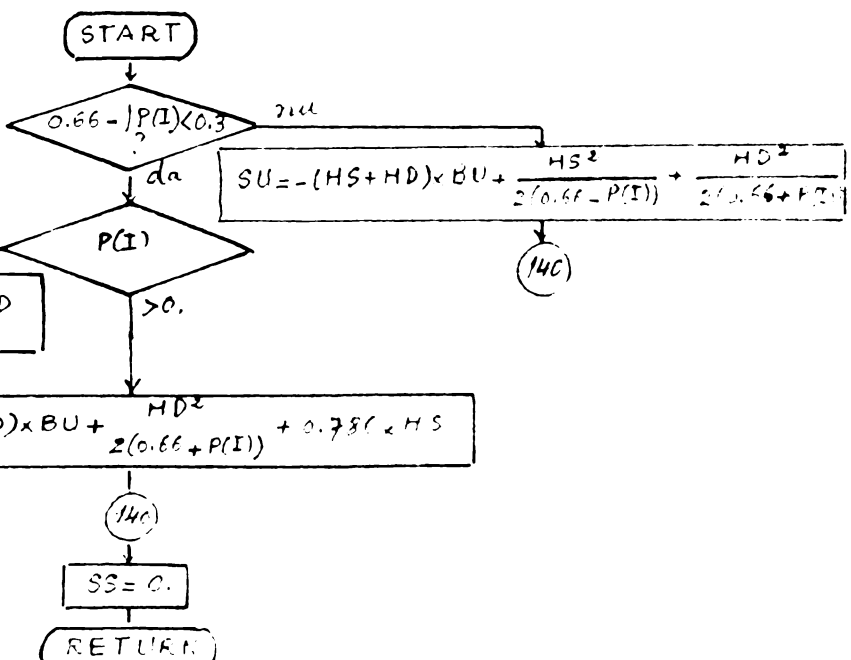
SUBROUTINE VOLUM(VST,VUT,N,M)



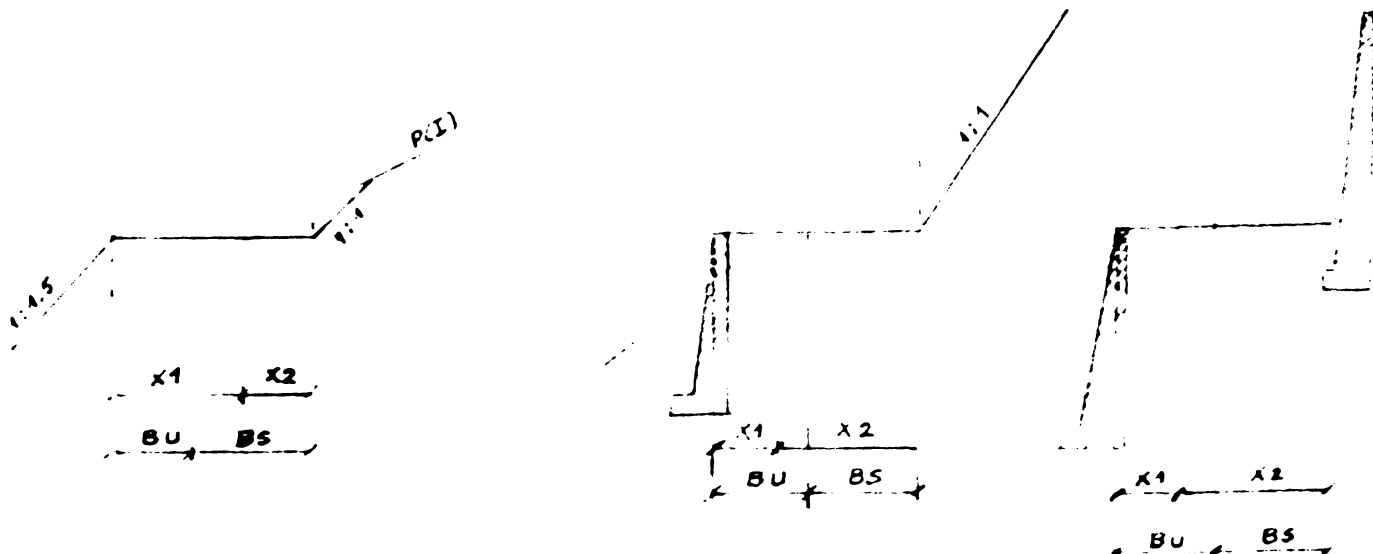
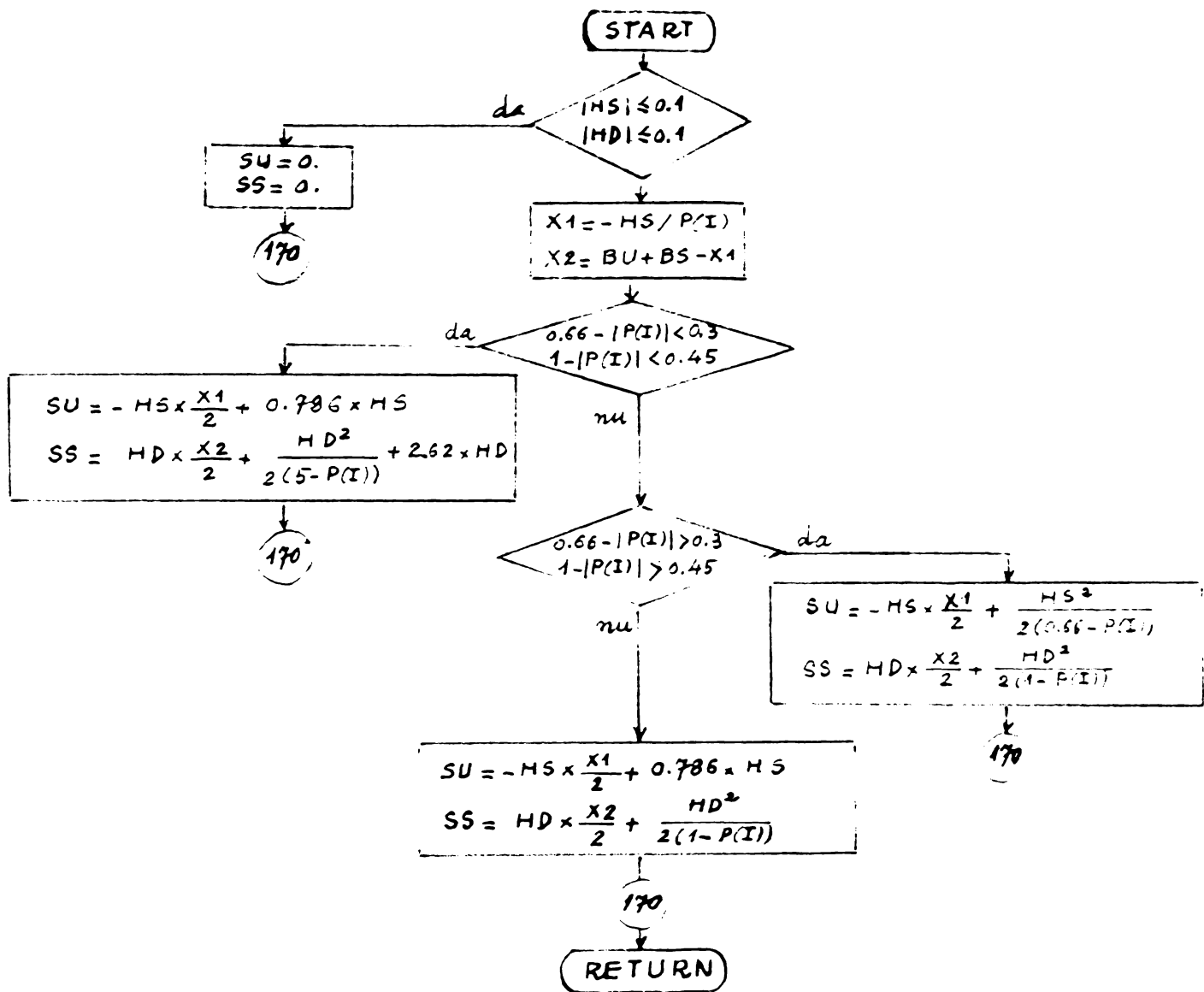
SUBROUTINE SAP(HS, HD, BS, SU, SS, I)



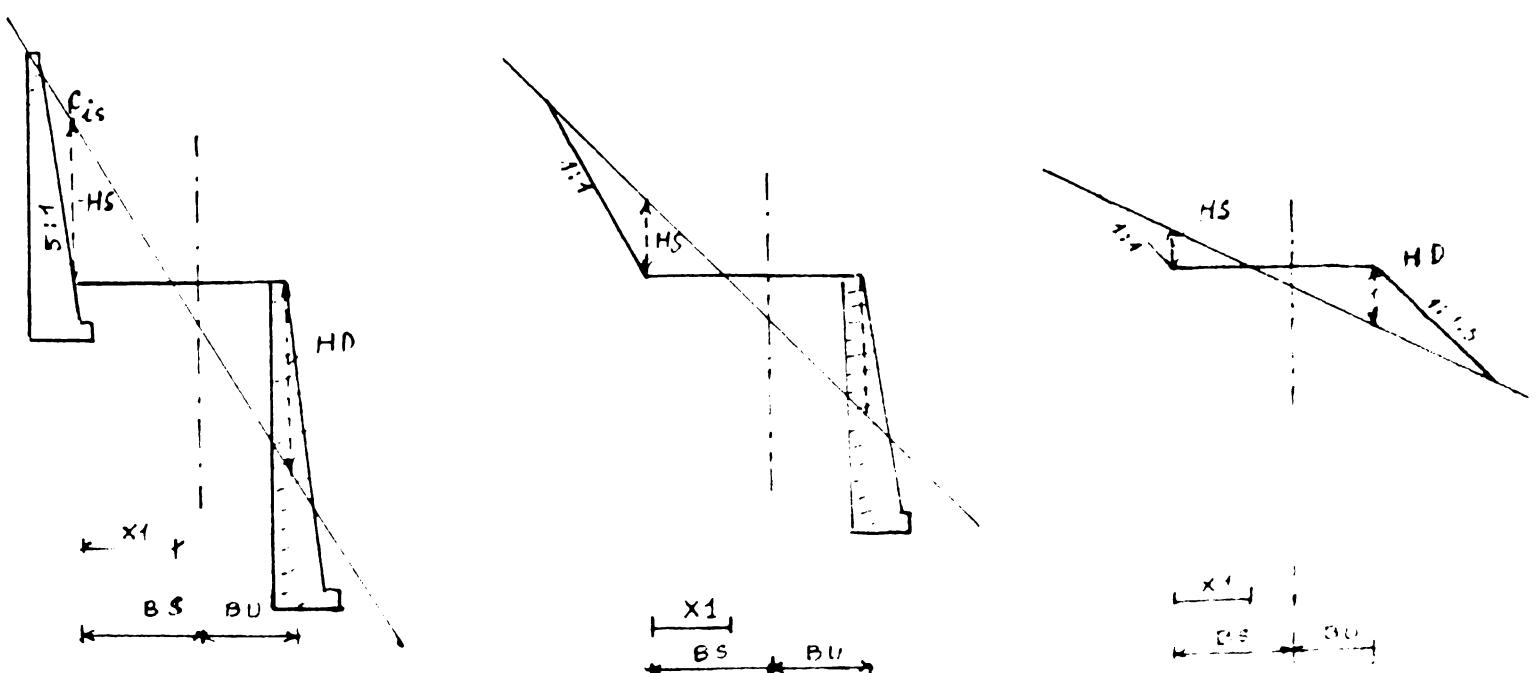
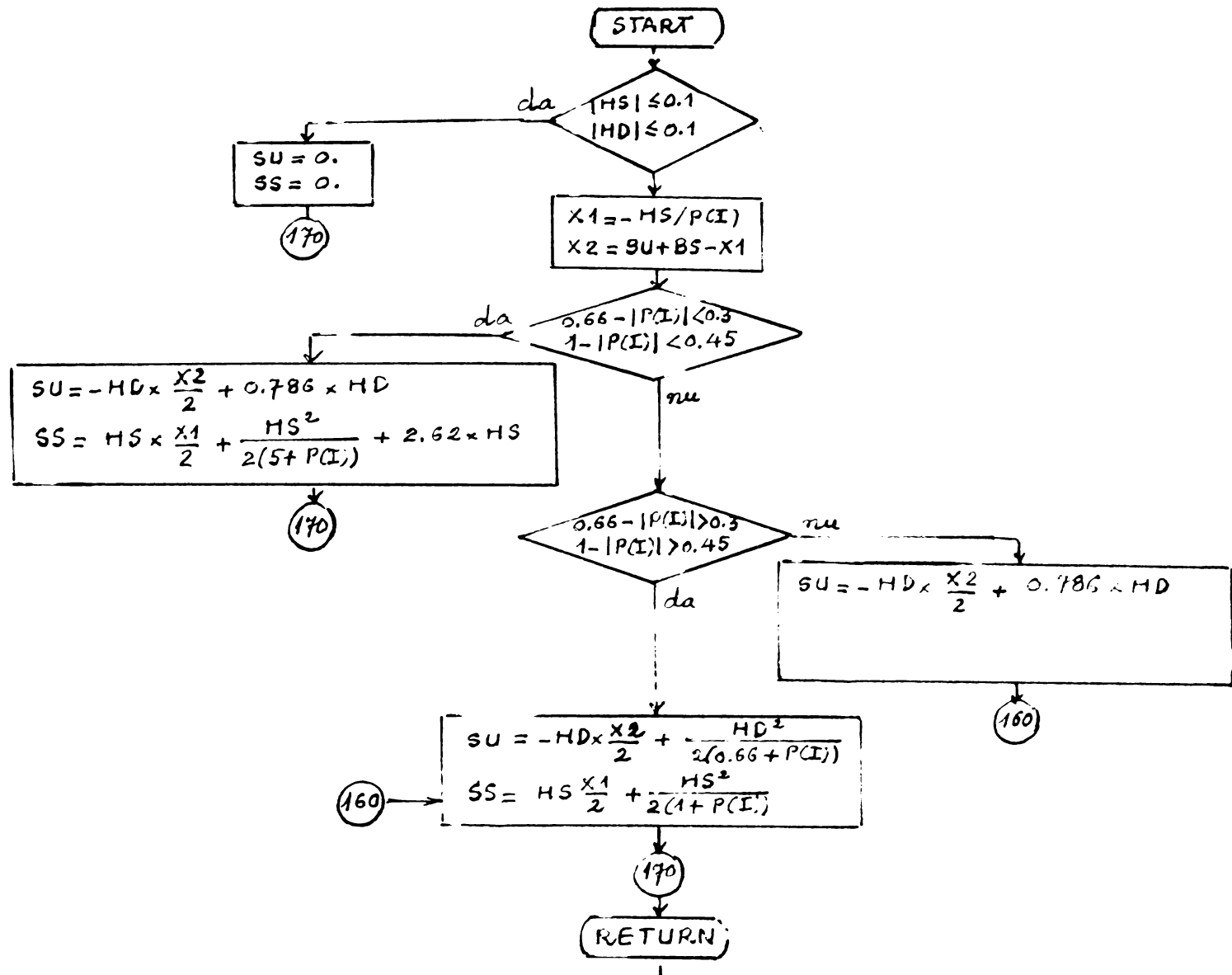
SUBROUTINE UMP(HS, HD, BU, SU, SS, I)



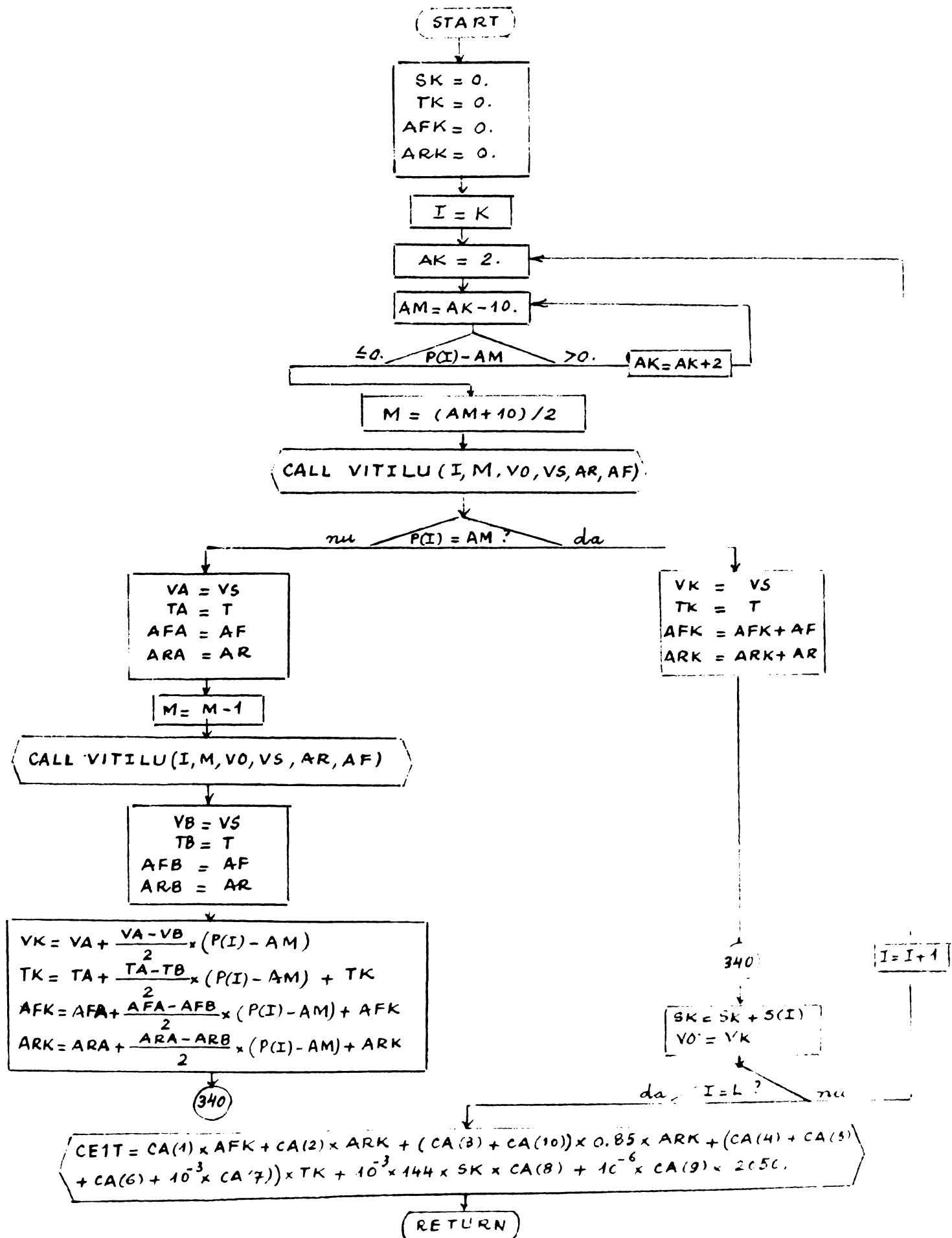
SUBROUTINE UMSA (HS, HD, BU, BS, SU, SS, I)



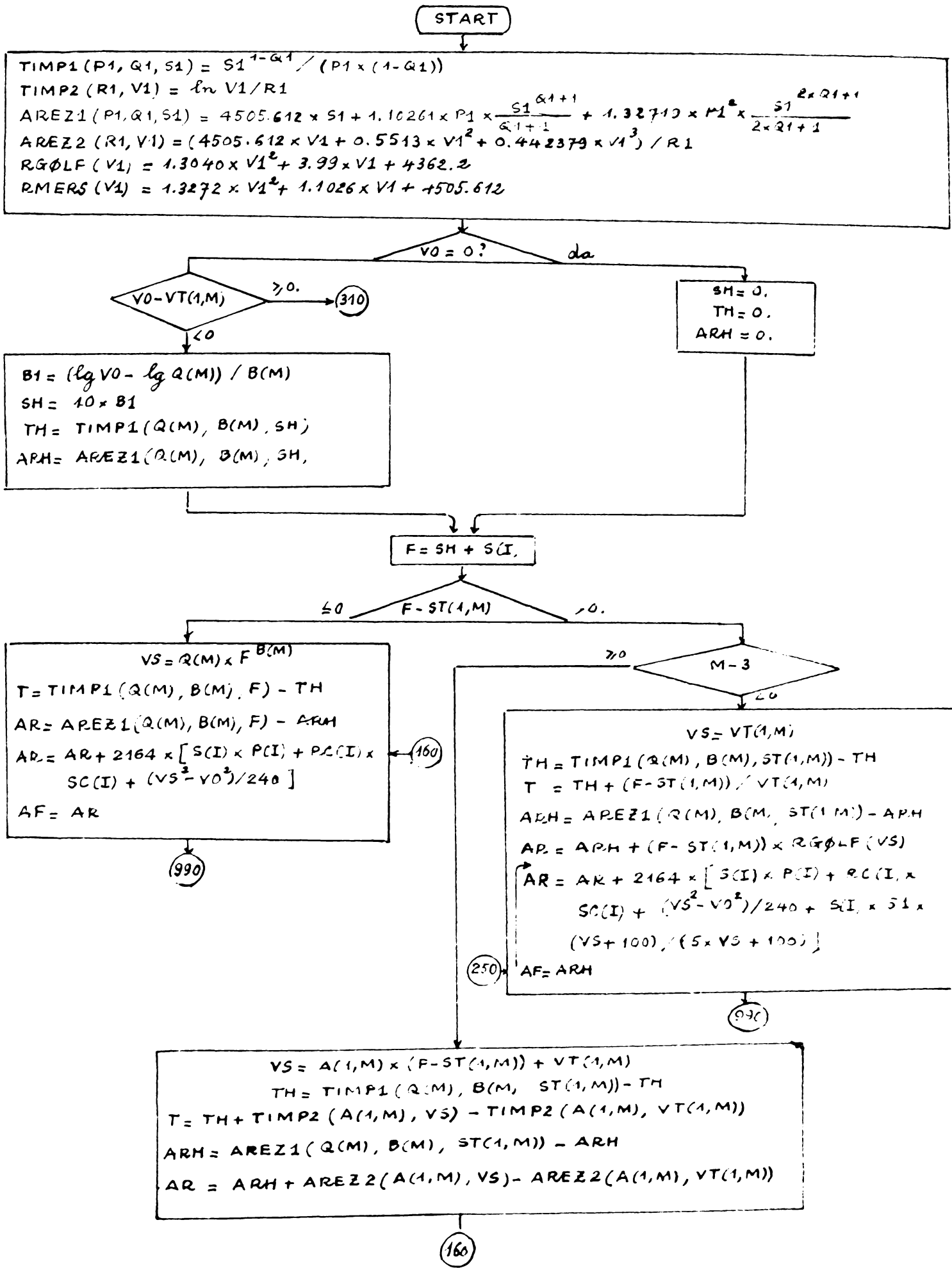
SUBROUTINE SAUM(HS, HD, BU, BS, SU, SS, I)

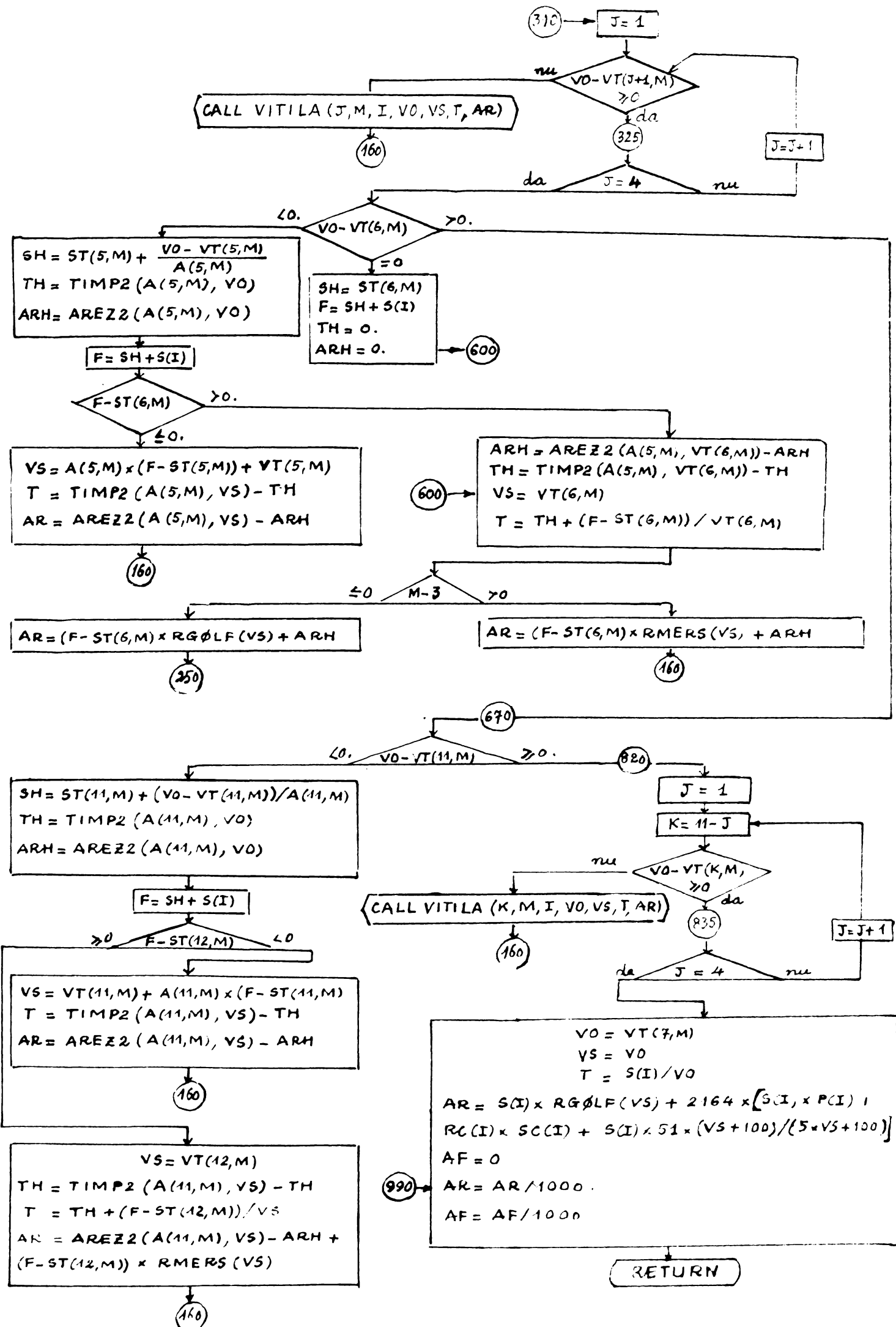


SUBROUTINE PEXPLφ (VO, CE1T, K, L)

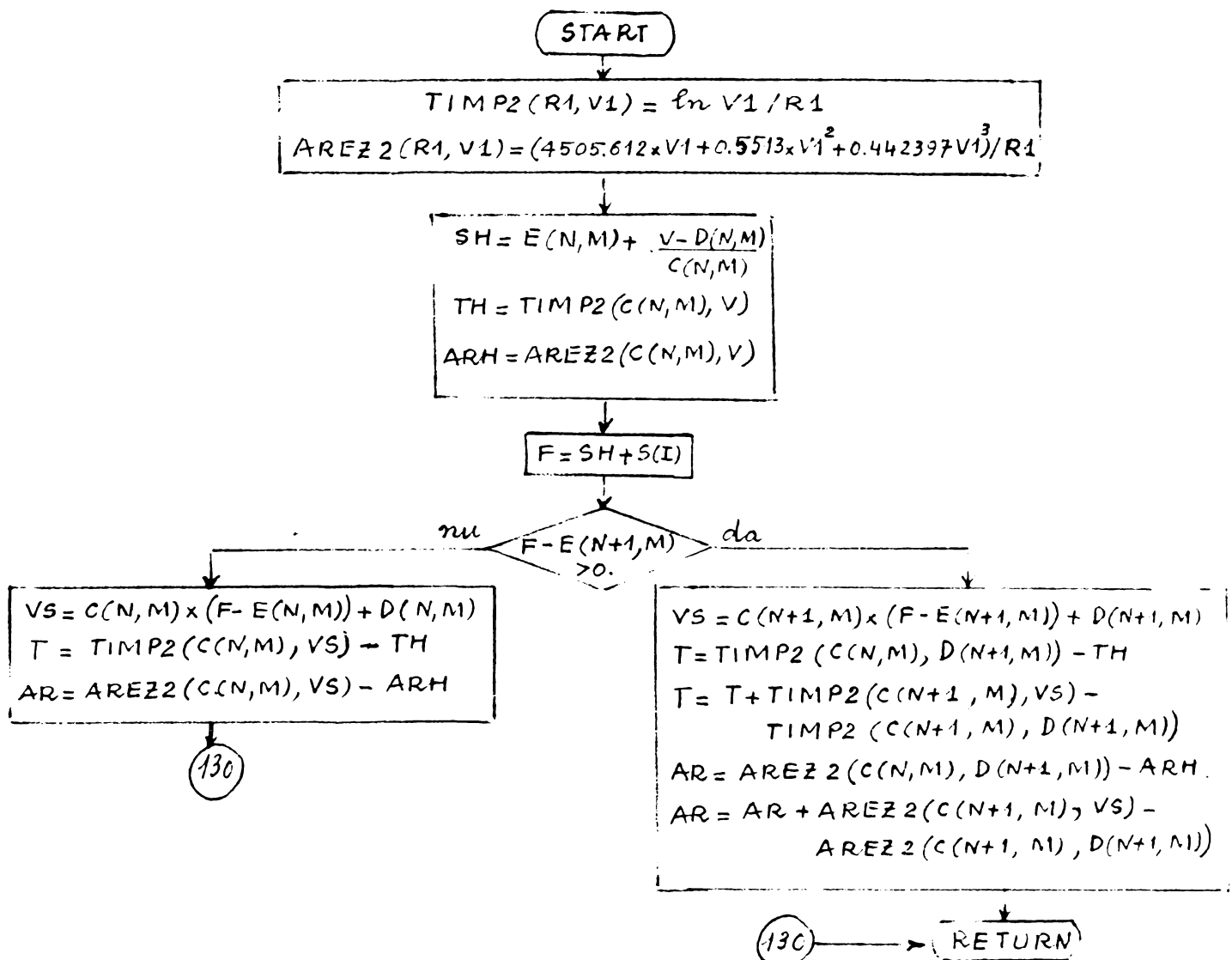


SUBROUTINE VITILU (I, M, VO, VS, T, AR, AF)





SUBROUTINE VITILA (N,M,I,V,VS,T,AR)



```

:
:          JUS OLIROS.AN:PIOR.PN:LUONG
:          FORMATTED FORTRAN
:          COMPLF FORTRAN
:          STARTED
FORTRAN 00.00

FORTRAN 00.00

OLIROS 03/05/77 18.02.36

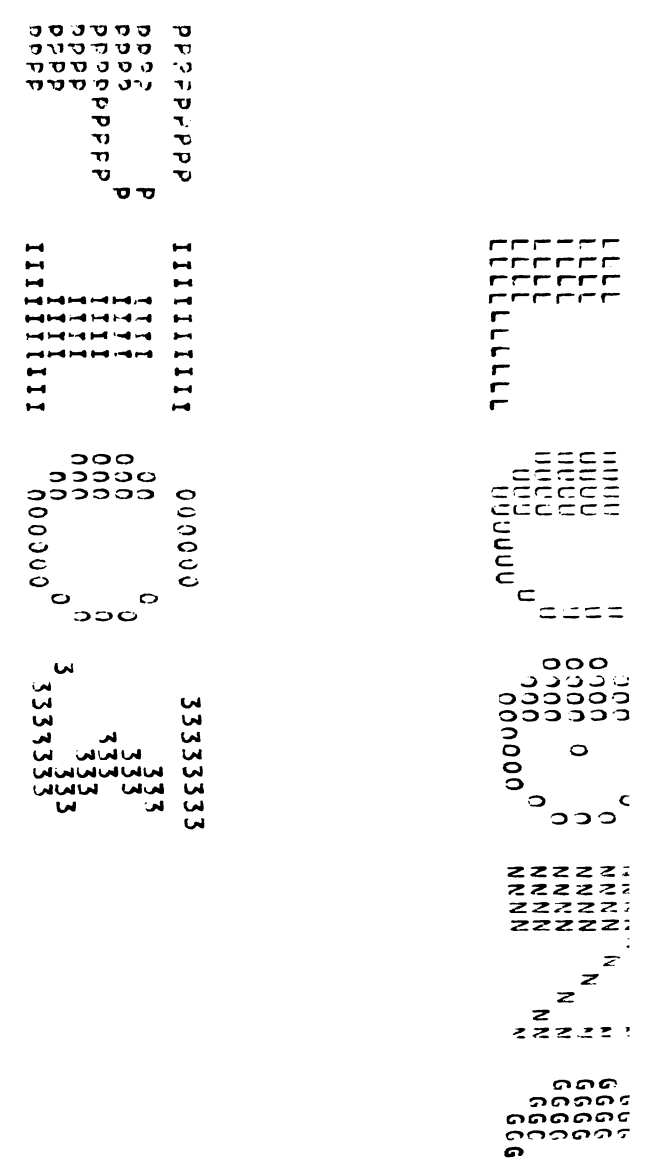
```

|           | 00000   | 33333333 |
|-----------|---------|----------|
| PPPPPPPPP | 1111111 | 0000000  |
| PPPP      | 0000000 | 3333333  |
| PPPPPPPPP | 0000000 | 3333333  |
| BBBB      | 0000000 | 3333333  |
| PPPP      | 0000000 | 3333333  |

```

:
:          JUS OLIROS.AN:PIOR.PN:LUONG
:          FORMATTED FORTRAN
:          COMPLF FORTRAN
:          STARTED
FORTRAN 00.00

```



BUPT

OLIROOS 03/05/77 18.02.36

34

RTRAN 00.00

```

      820 IF(CIEN=CIEM)830,830,850
R70 CMIN=CIEM
850 GOTO R70
70(I)=70(I)+DELTA
870 GOTO ECMIN
R80 DELTAM=DELTA
900 CMINA=CMIN TO 950
930 CMINA=CMIN K=1,M
930 TAK(K)=70(K)
74F=74F+1
950 CMINR=CMIN
TF((CMINR-CMINR)>GT.0.)GO TO 900
CALL PRIMA(M1,RA)
900 WRITE(108,1010)(PN(I),S0(I),VS0(I),VU0(I),I=3,M1)
COMMON S0(20),P0(20)
COMMON /BL0CA/P0(20)
COMMON /BL0CE/7(200),C(200),N(20),Z0(20)/BL0CE/CU(20),CS(20)
CTA=0.0
271=20(2)
N0=0
DO 160 I=3,M1
SD(I)=R*FLNAT(N(I)-N(I-1)),RN0(I),
R0(I)=(Z0(I)-Z0(I-1))/RN0(I),
NT=N(I)-N(2)
K=N0+1
10 J=K,NT
74J=Z(J)
CALL VOLUM(VST,VUT,K,NT)
VST(I)=VST
VUT(I)=VUT
CTA=CTA+CS(I)*VST+CU(I)*VUT
160 RETURN
END

```

FORTRAN 00.00

OLIROS 03/05/77 18.02.58

FORTRAN 00.00

```

27      T 0 230
28      HS=HS-1.9*p(I)
29      CALL SAUM(HS,HD,BU,BS,SU,SS,I)
30      RETURN
31      END
32

FORTRAN 00.00          OLIROS   03/05/77  18.03:17

11      II      ( U )
12      SROUTINE UMP(HS*HD*BU*SU*SS*I)
13      COMMON /BLOCA/P(200)
14      IF((1.0-ABS(P(I))))LT.0.45)GO TO 90
15      SS=(HS+HD)*RS+HS**2/(2.*(1.+P(I)))+HD**2/(2.*(1.-P(I)))
16      GO TO 140
17      IF(P(I)>1.0-1.00130/((2.*(5.+P(I)))+HD**2/(2.*(1.-P(I))))+2.62*HS
18      SS=(HS+HD)*BS+HS**2/(2.*(1.+P(I)))+HD**2/(2.*(5.-P(I)))+2.62*HD
19      GO TO 140
20      SS=0.0
21      RETURN
22      END

FORTRAN 00.00          OLIROS   03/05/77  18.03:27

1       SUBROUTINE UMSA(HS,HD,BU,BS,SU,SS,I)
2       COMMON /BLOCA/P(200)
3       IF((0.66-ARS(P(I)))LT.0.3)GO TO 90
4       SS=(HS+HD)*BU+HD**2/(2.*((0.66+P(I))+0.786*HS
5       GO TO 140
6       IF(P(I)>1.00130/((2.*((0.66+P(I))+0.786*HS
7       SS=(HS+HD)*P(I)+HS**2/(2.*((0.66+P(I))+0.786*HS
8       GO TO 140
9       SS=0.0
10      RETURN
11      END

FORTRAN 00.00          OLIROS   03/05/77  18.03:37

1       SUBROUTINE UMSA(HS,HD,BU,BS,SU,SS,I)
2       COMMON /BLOCA/P(200)
3       IF((HS/P(I))X1=HS/RS-X1
4       RS=RS-ARS(P(I)),LT.0.3.AND.(1.0-ABS(P(I))),LT.0.45)GO TO 120
5       IF((0.66-ARS(P(I)))LT.0.3.AND.(1.0-ARS(P(I))),GT.0.45)GO TO 150
6       SS=HS*X1/2.0+RS*RS-HC
7       GO TO 160
8       SS=0.0
9       GO TO 170
10      SS=HS*X1/2.0+HD**2/(2.*((0.66-P(I)))
11      SS=HD*X2/2.0+HS**2/(2.*((1.-P(I)))
12      GO TO 170
13      SS=0.0
14      GO TO 170
15      SS=HS*X1/2.0+HS**2/(2.*((0.66-P(I)))
16      SS=HD*X2/2.0+HD**2/(2.*((1.-P(I)))
17      RETURN
18      END

FORTRAN 00.00          OLIROS   03/05/77  18.03:47

1       SUBROUTINE SAUM(HS,HD,BU,BS,SU,SS,I)
2       COMMON /BLOCA/P(200)
3       IF((ABS(HS).LE.0.1.AND.:ABS(HD).LE.0.1)GO TO 90
4       X1=HS/P(I)
5       X2=RS-X1
6       RS=RS-ARS(P(I))
7       HD=ABS(P(I))
8       HT=0.03*ANR*(1.0-ABS(P(I))),HT:0.45)GO TO 130
9       SS=-HS*X2/2.0+0.786*HS
10      GO TO 160
11      SS=0.0
12      END

```

```

      SS
      = 0
11
12 60 T0 170
13 SII=-HD*X2/2.0+0.786*HD
14 SS=HS*X1/2.+HS**2/(2.*((5.+P(I))+2.62*HS
15 SS=HD*X2/2.+HD**2/((2.*((9.66+P(I))
16 SS=HS*X1/2.+HS**2/((2.*((1.+P(I))
170 RETURN
END

```

TRAN 00.00

OLIROS 03/09/77 18.03:47

| MODULE | BLOC    | TYPE | C | LONGUEUR | 0644 ('01604') |
|--------|---------|------|---|----------|----------------|
| MODULE | BLOC    | TYPE | C | LONGUEUR | 00A0 (00160)   |
| MODULE | BLOCD   | TYPE | C | LONGUEUR | 0140 (00320)   |
| MODULE | BLNCA   | TYPE | C | LONGUEUR | 0320 (00800)   |
| MODULE | FZRLK   | TYPE | C | LONGUEUR | 0140 (00320)   |
| MODULE | FXMDATA | TYPE | P | LONGUEUR | 1098 (04248)   |
| MODULE | BLOC    | TYPE | C | LONGUEUR | 00A0 (00160)   |
| MODULE | BLNCD   | TYPE | C | LONGUEUR | 0140 (00320)   |
| MODULE | BLOCF   | TYPE | C | LONGUEUR | 0644 (01604)   |
| MODULE | BLNCA   | TYPE | C | LONGUEUR | 0320 (00800)   |
| MODULE | FZRLK   | TYPE | C | LONGUEUR | 00A0 (00160)   |
| MODULE | PRIMA   | TYPE | P | LONGUEUR | 0140 (00320)   |
| MODULE | BLOCF   | TYPE | C | LONGUEUR | 0644 (01604)   |
| MODULE | BLNCA   | TYPE | C | LONGUEUR | 0320 (00800)   |
| MODULE | VOLUM   | TYPE | P | LONGUEUR | 0208 (00728)   |
| MODULE | BLNCA   | TYPE | C | LONGUEUR | 0320 (00800)   |
| MODULE | SAP     | TYPE | P | LONGUEUR | 0208 (00520)   |
| MODULE | BLNCA   | TYPE | C | LONGUEUR | 0320 (00800)   |
| MODULE | UMP     | TYPE | P | LONGUEUR | 0140 (00440)   |
| MODULE | BLNCA   | TYPE | C | LONGUEUR | 0320 (00800)   |
| MODULE | IMSA    | TYPE | P | LONGUEUR | 0208 (00648)   |
| MODULE | BLNCA   | TYPE | C | LONGUEUR | 0320 (00800)   |
| MODULE | SALIM   | TYPE | P | LONGUEUR | 0208 (00648)   |

JOB L1ROPT,AN:PI03,PN:LJONG  
FORMAT,CTRNC05,50,  
COMPILE,F0PTAIN  
STARTED

ORTRAN UJ. UC

८८

२८

CALCULUL CHELTUIELILOR DE EXPLOATARE ALE CAMPURATII  
SI PRODUCERII VITRIINII  
SI PRODUCERII VITRIALA

CALCULUL CHELTUIELILOR DE EXPLOATARE ALE CANTERATE  
 SUBROUTINE VITRA  
 SUBROUTINE VITRA  
 COMMON S(20),P(20),RC(20),SK(20),Q(9),R(9),CA(10)  
 COMMON /PLORP/ A(12,9),V(12,9),R(12,9)  
 RFAD(105,1) K=1,10  
 FORMAT(215,F10.3)  
 FORMATT(16F5.2)  
 RFAD(105,2) S(1),J=K1,L1  
 READ(105,2) RC(J,J),JEKA(L1)  
 READ(105,2) SP(1),J=K1,L1  
 READ(105,5) ((UT(K,L),K=1,9),L=1,9),K=1,12  
 RFAD(105,8) ((ST(K,L),K=1,9),L=1,9),K=1,12  
 READ(105,RD(101),I=1,10)  
 READ(105,RD(101),I=1,10)  
 RFAD(105,8) ((R(I),I=1,9),I=1,9)  
 RFAD(105,60) RA(T1),T1=1,10  
 FORMATT(10F8.3)  
 FORMATT(10F7.4)  
 FORMATT(7F8.3,F9.3,F7.3)  
 RFAD(105,2) RP(1),J=K1,L1  
 SKILO  
 ARKHO  
 ARKHO  
 D0 350 I=K1,L1  
 AK=2,0  
 AK=AK-10,0  
 TE(P(T)-AM)110,110,90  
 AK=AK+2,0  
 GOTO 70  
 M=IFIX(AM)/2+5  
 CALL VITLU(1,M,V0,VST,AR,AF)  
 TE(P(T),FN,AM)90 300  
 VAMVS  
 TA=T  
 AF=AF  
 AF=AF  
 MEM=1  
 CALL VITLU(1,M,V0,VST,AR,AF)  
 VAMVS  
 TRET  
 AF=AF  
 AF=AF  
 VV=VA+(VA-VR)\*(P(T)-AM)/2,0  
 TV=TK+(TA-TA)\*(P(T)-AM)/2,0+TA

FORTRAN 00, 00

```

COMMON S(20),P(20),RC(20),SC(20),0(9),B(9)
COMMON /810F8/,(12,9),VT(12,9),S7(12,9)
TMP1(P1,0,1)=S1=(S1+1,-01),(P1+1,-01)
TMP2(P1,0,1)=S1=INC(V1)/81
*32719*(P1,*+2)*(54+*(2+1+1))/{(2+1+1)} /R1
ARF21(P1,V1)=(L555612*V1+(65513*(V1**2))+((L67397*(V1**3))))/R4
RGOLF(V1)=1.3646*V1+*2+3.9*V1+43622
RHERS(V1)=3272*V1+*2+3.9*V1+43622
IF(V0,FO,0,0) GO TO R0
IF(V0-VT(1,M))40,310,310
81=(ALOG1C(V0)-ALOG10(M))/B(M)
SHE10(n+R1)(M),B(M),SH)
THEIMP1(O(M),B(M),SH)
ARHARF71(O(M),B(M),SH)
GO TO 410
80 SHE=0
THE=0
ARH=0
110 F=S(H+S(I))
IF(F-ST(1,M))130,130,190
130 VSEQ(M)*F*B(M)
THEIMP1(O(M),B(M),F)-TH
ARHARE71(O(M),B(M),F)-ARH
ARHAR+2164.0*(S(I)+RC(I)+SC(I)+VS*2-V0*2)/240.0+51.0+5(I)*
(VS+100.0)/(5.+VS+100.0);
250 AREAR+2164.0*(S(I)+P(I)+RC(I)+SC(I)+(VS*2-V0*2)/240.0+51.0+5(I)*
(VS+100.0)/(5.+VS+100.0));
280 VSE=A(1,M)*(F-ST(1,M))-ST(1,M)
THEIMP1(O(M),B(M),F)-TH
THEIMP2(A(1,M),VS)-IMP2(A(1,M),VT(1,M))
ARHARF72(O(M),B(M),F)-ARH
ARHAR+ARE72(O(M),VS)-ARE72(O(M),VS)
310 DO 325 J=1,6
IF(V0-VT(J+1,M))55E-7,DO 325
CAL VTRIL(A(J,M),VS,VS,7,47)
ITRIP
TRAN 00.00

```

-644-

```

AR=AREZ2(A(11,M),VS)=ARH+(F-ST(12,0))*RMERS(VS)
820
D0 835 J=1.4
K=11-1
IF((VN-VT(K,M2)).GE.0.0)GO TO 835
CALL VTTLAK(M,K,M,V0,VS,T,AR)
GO TO 160
CONTINUE
835

```

```

95
96
97
98
99
100
101
102
103
104

V0=VT(7.,M)
VS=V0
T=S(1)/V0
A=S(1)*RGOLF(VS)+2164.* (S(1)*P(1)+RC(1)*SC(1)+51.* (VS+100.)/(5.0*
*VS+100.)*S(1),
AF=0.0
AR=AR/1000.
AF=AF/1000.
RETURN
END

```

```

SUBROUTINE VITLA(N,M,I,V,VS,TAR)
COMMON NS(20),R10CR/C(12,9),D(12,9),E(12,9)
T=TMP2*(R1*V1)=1.0G(V1)/R1
AREF22(R1,V1)=(4505612*V1+(0.5513*(V1**2))+(0.442397*(V1**3)))/R1
SH=CN.M)+(V1*D(N,M))/R(N,M)
TH=TMP2(CC(N,M),V)
ARH=AREF22(CC(N,M),V)
ARH=SH+S(T1)
HF=((F-F(N+1,M))-GT)0.0)60 TO 100
VS=C(C(N,M)*(F-F(N,M))+n(N,M))
T=TMP2(CC(N,M),VS)-TH
AR=AREF22(CC(N,M),VS)-ARH
GOTO 130
VS=C(C(N+1,M)*(F-F(N+1,M))+D(N+1,M))
T=TMP2(CC(N,M)+D(N+1,M))-TH
T=TMP2(CC(N+1,M),VS)-TMP2(CC(N+1,M),D(N+1,M))
AREF22(CC(N,M)+D(N+1,M))-ARH
AREF22(CC(N,M),VS)-AREF22(CC(N+1,M),D(N+1,M))
RETURN
END

```

LITROPT 29/04/77 17.13.35

| MODULE | BLOC B  | TYPE | C | LONGUEUR | 0510 (01296) |
|--------|---------|------|---|----------|--------------|
| MODULE | F%ALK   | TYPE | C | LONGIFUR | 01R0 (00432  |
| MODULE | F%MDATA | TYPE | P | LONGIFUR | 0R40 (02112  |
| MODULE | BINCR   | TYPE | C | LONGIFUR | 0510 (01296  |
| MODULE | F%ALK   | TYPE | C | LONGIFUR | 01R0 (00392  |
| MODULE | VITLU   | TYPE | P | LONGIFUR | 1270 (04720  |
| MODULE | BLNCB   | TYPE | C | LONGIFUR | 0510 (01296; |
| MODULE | F%ALK   | TYPE | C | LONGIFUR | 0050 (00080) |
| MODULE | VITLU   | TYPE | P | LONGIFUR | 0520 (01312) |

\*\*\*\*\* FIN DE COMPILATION (PLUS HAUT NIVEAU D'ERREUR RENCONTRE = 0)  
0176 LIROPT AN = PI03 FAZA= 0001 DATA = 29104177

B I B L I O G R A F I E

- 1 Andrei Gh. Contribuții la elaborarea proiectelor de supructură a căilor ferate pe calculatorul electronic. In "Revista căilor ferate române" nr. 11-1976
- 2 Babicicov A.H., Gurakii P.A., Novicov A.F. Tiaga poezăv i tingovih racio-  
ti Izdatelstvo "Transport", Moscova 1971
- 3 Bellman R. Reducerea matricelor simetrice generale la formă diagonală.  
Tradus din limba engleză București 1969
- 4 Efimov V.I., Sibirco. Modelirovanie na EVM (electronno-vicislitelnh magi-  
nah) zadaci optimalnovo proectirovania prodolnovo profilia zelcanih do-  
rog. In "Trudi vsegoznameno nauchnoissledovatel'skovo instituta transport-  
novo stroitelestva", vypusk 63 "Voprosi proiectirovaniia zelenih dorog"  
Izdatelstvo "Transport", Moscova 1967
- 5 Brentein I.N., Semendjaev K.A. Spravecinie po matematike. Izdatelstvo  
"Uprugost", Moscova 1971
- 6 Ciernousco F.L. Metod localnih variatii dlja cislenovo posenija varia-  
tionsnih zadaci. In revista "Vicislitelnaia matematika i matematicheskaiia  
fizika" nr. 4, Moscova 1965
- 7 Cotoreanu A și Neagru Al. Indreptarea profilelor roale de cale ferată  
cu ajutorul calculatorelor electronice cifrice. In "Revista căilor fe-  
rate române" nr. 9 1972
- 8 Dancsa I. Metoda de optimizare. Editura Dacia, Cluj Napoca 1976
- 9 Dincă I. Programarea în Fortran. Editura didactică, București 1972
- 10 Dorebanțiu S. Contribuții la studiul și proiectarea liniei roșii optime  
la drumuri folosind calculatorul electronic. Tesa de doctorat. Institu-  
tul de construcții din București 1974
- 11 Dorebanțiu S. Trasee și terasamente. Institutul de construcții din Bucu-  
rești 1971
- 12 Dragomirescu N., Mălită N. Programare neliniare. Editura științifică  
București 1972

- 13 Dumitru V. Proiectare sechimare. Algoritmi, programe, rezultate numerice. Editura Academiei R.S.R. Bucureşti 1975
- 14 Gerasimov A.V. Iziscania i proiectirovanie sechenih dorog. Izdatelstvo "Transizert" Moscow 1969
- 15 Davkin L.S., Lazovskii A.D. Proiectirovaniye profilja avtomobilnih dorog. (Metodi i avtomatizatsija). Izdatelstvo "Transport" Moscow 1961
- 16 Mighinei N., Dracea I., Racaru E. - rezerva de cale si colecte in automobil. Editura tehnica Bucureşti 1974
- 17 Ivocatic A. I. odset s pussenem VU exlputajionih razulcov po elementam profilja puti. Proiectirovanje i exlputajia sechenih dorog. Knadif I.I.T., vypusl. 246, Moscow 1977
- 18 Jitkin G.Z., Babici V.V. Primenenie avtomaticheskikh metod v planirovaniyi zelenomodorozhnoe stroitelstva. Moscow "Transport" 1973
- 19 Jitkovici L.P., Krasnoshov A.S. Metodi poljaca oblikov zelenomodorozhnoe zemfianova bolotna na RVE. In "Transportnoe stroitelstvo", nr 1/1976
- 20 Laurențiu N. Terasamente. Profiluri transversale ale terasamentelor de drumuri și căi ferate. Institutul politehnic "Traian Vuia" Timișoara 1972
- 21 Lishovskii V.E., Khailovici V.S., Bicov V.I. Opracovanie na svyazi navigodneisovo polojenija osnovoi linii prodoljnovo profilja na volnom hodu. In "Transportnoe stroitelstvo" nr. 4 1961
- 22 Lalită N., Zidărăiu C. Matematica organizarii. Editura tehnica, Bucureşti 1975
- 23 Maruşciac I. Metode de rezolvare a problemelor de programare sechimare. Editura Academiei, Cluj 1973
- 24 Maruşciac I. și Mihalcescu C. metoda de rezolvare a problemelor de programare sechimare. Studia Universitatis Babeş-Bolyai- Series mathematica- physica. Fasciculus 1. Cluj 1966
- 25 Maruşciac I. și Mihalcescu C. ne algorithm pour résoudre le problème de la programmation quadratique. Studia Universitatis Babeş-Bolyai - Seria mathematica - fizica, t.7, Anj 1.65
- 26 Mihalcescu C., Maria I., Dumitru V. Metode matematice moderne aplicate in

- 1 / 7 -
- organizarea și planificarea lucrărilor de construcții și montaj. Editura Academiei R.S.R. București 1969
- 27 Metodiceskie usluzenia po aravmeniu variantiv proektov reacmii po novim zaledneniem liniom. Izdatelstvo "Transport" Moscow 1962
- 28 Mihailovici V.S., Bicov V.I., Sibirov A.N. E voprosu proektirovaniia optimalnovo prodolnovo dorogi. In "Transportnoe stroitelstvo" nr. 6- 1975
- 29 Bihoc Gh. și Stefanescu A. Programarea matematică. Editura didactică și pedagogică, București 1973
- 30 Dumitrescu G. Tractiunea trenurilor și exploatarea materialului rulant. Îndrumător . Institutul politehnic "Traian Vuia", Timișoara 1973
- 31 Niculaescu St. Inițiere în X-MATIK. Editura tehnica București 1972
- 32 Petrescu C. Calculale de tractiune cu mașini electronice de birou "Olivetti-Razvanza 101". In "Revista căilor ferate române" nr. 9- 1970
- 33 Petrescu C. Calculul timpilor de mers și al consumului de energie cu ajutorul calculatorului electronic "Siemens 4004/45" din dotarea Ministerului transporturilor și telecomunicațiilor. In "Revista căilor ferate române" nr. 10- 1971
- 34 Popa Al. Utilizarea calculatoarelor electronice în transportul feroviar. Editura tehnica, București 1971
- 35 Popa Al., Chima N., Haagru Al. Tractiunea trenurilor. Editura didactică și pedagogică, București 1965
- 36 Popescu C. Caracteristicile de tractiune ale locomotivelor Diesel și electrice
- 37 Popa L. și Cristea P. Analiza și sinteza circuitelor electrice. Editura tehnica, București 1968
- 38 Programarea și utilizarea calculatoarelor. Catedra de calculatoare Institutul politehnic "Traian Vuia", Timișoara 1974
- 39 Rafiroiu M. Programare, optimizare, sisteme informaționale. Institutul politehnic "Traian Vuia", Timișoara 1975
- 40 Knovodstvo po sostavlenii ishodnoi informatsii k programme dlja podsesta otionov zonal'noi sluzhby na VM. Kontrol'nii nauchno-issledovatel'skii institut transportnovo stroitelstva TNIIS, Moscow 1962

- 41 Rumyškii L.Z. Matematicecciaia obrabotca rezultatov experimenta.  
Izdatelstvo "Nauka", Moscow 1971
- 42 Săndulescu I. Felosirea calculatoarelor electronice în rezolvarea  
problemelor de proiectare. In "Revista căilor ferate române" nr. 5  
1972
- 43 Select P.A. Tiagovie racetî teplovozov promislenovo transporta.  
Moscova "Transport" 1973
- 44 Strucencov V.I., Solin V.V. Cenovi metodiki optimizatii prodolnovo  
profilia seleznoi doroghi na AVM. -In "Transportnoe stroitelstvo" nr.6  
1974
- 45 Strucencov V.I., V.V. Kosmin, Fradeov ...D. Proiectirovanie prodolnovo  
profilia doroghi na AVM. In "Transportnoe stroitelstvo" nr. 4- 1971
- 46 Schiop N. I. Metode aproximative în analiza nelinieră. Editura acade-  
micii R.S.R. Bucureşti 1972
- 47 Turbin V.I. Optimizatia proiectnoi liniî prodolnovo profilia na asnove  
cislo,novo pesentia variationnoi zadaci. In "Transportnoe stroitevte"  
nr. 4- 1970
- 48 Văduva I., Dinescu C., Săvulescu B. Metodale matematice de organizare  
și conducerea producției. Editura didactică și pedagogică, București  
1974
- 49 Virgil N. Căi ferate. Institutul de construcții din București 1975